

نشریه مهندسی

متالورژی و مواد

(نشریه دانشکده مهندسی)

(علمی - پژوهشی)

- ۱ اکسایش الکترولیتی پلاسمایی آلیاز آلومینیم T3-۲۰۲۴ و بررسی مقاومت به خوردگی و خصوصیات سطحی آن
حسین فدائی - مهدی جاویدی

- ۱۳ بررسی ترمودینامیکی فرایند آلومینیم دھی تیتانیم خالص با استفاده از مخلوط پودری
حمیدرضا کریمی زارچی - منصور سلطانیه - محمد رضا ابوطالبی - شیپیگ گوار
۲۷ بررسی تأثیر تکبیی عملیات کیفی مذاب و روش سطح شب‌دار بر مُرفولوژی
سیلیسیم در آلیاز Si-17٪
بهمن کروجی - کاره قربانی

- ۴ بازدهی جریان پالسی در فرایند پوشش دھی نانوذرات طلا از محلول دی‌سیانورات پتابیم
پریسا وحدت‌خواه - سید خطیب‌الاسلام صدرزاد

- ۵۴ تأثیر میزان کربنات سدیم و فعالسازی مکانیکی بر سینتیک احیای کربوترمی مولبیدنیت
کاظم شیبانی تازرجی - محمد حسن عباسی - مرتضی شمعانیان

- ۶۹ ساخت نانوبومادهی مرکب سه جزئی هیدروکسی آپاتایت، آلومینا و تیتانیا به روش
تفجیشی و بررسی زیست‌فعالی و سمیت سلولی آن برای کاربردهای ارتوپدی
محبوبه محمودی - پیمان محمودی هاشمی - رعنا ایمانی

- ۸۵ تهیه پوشش مناسب برای مقاومت سیم پیچی شده‌ی نیکل-کروم و بررسی
گرانروی و کشش سطحی آن
مهدی محسنی - علیرضا میرحبیبی - حسین قصاعی

- ۹۷ اتصال اسفنج آلومینیمی به ورق آلومینیمی در سازه‌های ساندویچی
آروین تقی‌زاده تبریزی - مازیار آزاده

- ۱۰۰ ریزساختار و خواص مکانیکی یک فولاد پرکربن و کم آلیاز فراوری شده
با فرایند سرمایش سریع و بخش‌بندی
عبدالله شیرعلی - عباس هنریخش رئوف - سهیلا براز بنایی

سال ۲۶، شماره ۱

پاییز و زمستان، ۱۳۹۳



نشریه مهندسی متالورژی و مواد

ISSN: 2008-7462

علمی-پژوهشی

شماره نامه مجوز: ۱۴۸۴۲۳

سودبیر: جلیل وحدتی خاکی

مدیر مسؤول: علی حائریان اردکانی

صاحب امتیاز: دانشگاه فردوسی مشهد

هیأت تحریریه:

دانشکده مهندسی مواد، دانشگاه صنعتی سهند تبریز	دکتر رسول آذری خسروشاهی	دانشیار
دانشکده مهندسی و علم مواد، دانشگاه صنعتی شریف	دکتر رضا باقری	استاد
دانشکده مهندسی مواد و متالورژی، دانشگاه علم و صنعت ایران مشهد، مؤسسه آموزش عالی سجاد	دکتر جعفر جوادپور	استاد
گروه متالورژی و مواد، دانشکده مهندسی، دانشگاه فردوسی مشهد	دکتر علی حائریان اردکانی	استاد
گروه متالورژی و مواد، دانشکده مهندسی، دانشگاه فردوسی مشهد	دکتر محسن حداد سبزوار	استاد
گروه متالورژی و مواد، دانشکده مهندسی، دانشگاه فردوسی مشهد	دکتر سید مجتبی زبرجد	استاد
دانشکده مهندسی مواد، دانشگاه صنعتی اصفهان	دکتر سید عبدالکریم سجادی	استاد
دانشکده مهندسی مواد، دانشگاه صنعتی اصفهان	دکتر مهدی صالحی	استاد
دانشکده مهندسی متالورژی و مواد، دانشگاه علم و صنعت ایران	دکتر محمد رضا طرقی نژاد	دانشیار
گروه متالورژی و مواد، دانشکده مهندسی، دانشگاه فردوسی مشهد	دکتر حسین عربی	استاد
گروه متالورژی و مواد، دانشکده مهندسی، دانشگاه فردوسی مشهد	دکتر مهرداد کاشفی تربیتی	دانشیار
گروه متالورژی و مواد، دانشکده مهندسی، دانشگاه فردوسی مشهد	دکتر علیرضا کیانی‌رشید	استاد
گروه متالورژی و مواد، دانشکده مهندسی، دانشگاه فردوسی مشهد	دکتر محمد مزینانی	دانشیار
گروه متالورژی و مواد، دانشکده مهندسی، دانشگاه فردوسی مشهد	دکتر جلیل وحدتی خاکی	استاد

مسؤول دفتر نشریه: تکتم هوشمند

ویراستار متن: دکتر محمد مزینانی

این نشریه در کتابخانه منطقه‌ای علوم و تکنولوژی شیراز (ISC) نمایه می‌شود.

نشانی: مشهد - دانشگاه فردوسی مشهد - دانشکده مهندسی - دفتر نشریه - صندوق پستی: ۹۱۷۷۵-۱۱۱۱

تلفن: ۰۵۱۱-۸۷۶۳۳۰۱ فاکس: ۰۴۰۶۰۸۸ - ejour@um.ac.ir و ب سایت: <http://jm.um.ac.ir>

چاپ: مؤسسه چاپ و انتشارات دانشگاه فردوسی مشهد

فهرست مطالب

- 1 اکسایش الکتروولتی پلاسمایی آلیاژ آلومینیم T3-2024 و بررسی مقاومت به خوردگی و خصوصیات سطحی آن - حسین فدائی - مهدی جاویدی
- 13 بررسی ترمودینامیکی فرایند آلومینیم دهی تیتانیم خالص با استفاده از مخلوط پودری - حمیدرضا کریمی زارچی - منصور سلطانیه - محمد رضا ابوطالبی - شیپینگ گوا
- 27 بررسی ثأیر ترکیبی عملیات کیفی مذاب و روش سطح شیبدار بر مُفولوژی سیلیسیم در آلیاژ Al-17% Si - بهمن کروجی - کاوه قربانی
- 41 بازدهی جریان پالسی در فرایند پوشش دهی نانوذرات طلا از محلول دی سیانورات پتابیم - پریسا وحدت خواه - سید خطیب‌الاسلام صدرنژاد
- 53 تأثیر میزان کربنات سدیم و فعال‌سازی مکانیکی بر سیستیک احیای کربوپترمی مولیبدنیت - کاظم شیبانی تذریجی - محمد حسن عباسی - مرتضی شمعانیان
- 69 ساخت نانوبیوماده‌ی مرکب سه جزئی هیدروکسی آپاتایت، آلومینا و تیتانیا به روش تفجوشی و بررسی زیست‌فتالی و سمیت سلولی آن برای کاربردهای ارتودندی
- 85 تهییه پوشش مناسب برای مقاومت سیم‌پیچی شده‌ی نیکل-کروم و بررسی گرانروی و کشش سطحی آن - مهدی محسنی - علیرضا میرحبیبی - حسین قصاعی
- 97 اتصال اسفنج آلومینیمی به ورق آلومینیمی در سازه‌های ساندویچی - آروین تقی‌زاده تبریزی - مازیار آزاده
- 105 ریزساختار و خواص مکانیکی یک فولاد پرکربن و کم آلیاژ فراوری شده با فرایند سرمایش سریع و بخش‌بندی - عبدال... شیرعلی - عباس هنریخی رئوف - سهیلا بزار بنایی

اکسایش الکترولیتی پلاسمایی آلیاژ آلومینیم T3-2024 و بررسی مقاومت به خوردگی و خصوصیات سطحی آن*

(۱) حسین فدائی

(۲) مهدی جاویدی

چکیده

در این تحقیق، پوشش دهنی آلیاژ آلومینیم T3-2024 به کمک روش اکسایش الکترولیتی پلاسمایی بررسی شده است. الکترولیت مورد استفاده، محلولی قلیابی از افزودنی‌های سیلیکات، فسفات، هیدروکسید پتاسیوم و گلیسرین بود و از منبع جریان DC با ولتاژ اعمالی پایین استفاده شد. مقاومت به خوردگی نمونه‌ها به کمک آزمون‌های پلاریزاسیون و طیف‌سنجی آمپلانس الکتروشیمیایی، و مقاومت به سایش آن‌ها، به روش پین بر روی دیسک بررسی شد. افزون بر این، مُرفولوژی سطح و مقطع عرضی لایه اکسایدی به کمک میکروسکوپ الکترونی روبیش مطالعه شد. نتایج نشان دادند که پس از فرایند اکسایش الکترولیتی پلاسمایی، مقاومت به خوردگی و سایش آلیاژ بهبود می‌یابد.

واژه‌های کلیدی اکسایش الکترولیتی پلاسمایی، آلیاژ آلومینیم، محلول قلیابی، خوردگی.

Plasma Electrolytic Oxidation of 2024-T3 Aluminum Alloy and the Study of its Corrosion Resistance and Tribological Behavior

H. Fadaee

M. Javidi

Abstract

In this study, plasma electrolytic oxidation of 2024-T3 aluminum alloy was investigated. The electrolyte used in this investigation was an alkaline solution containing additives of silicate, phosphate, potassium hydroxide and glycerin. A conventional DC power source with a low applied voltage was employed. Corrosion resistance of the oxide layer was investigated by means of Tafel plots and electrochemical impedance spectrometry. Furthermore, the wear resistance was investigated by pin on disc method. The surface and cross-sectional morphology of the oxide layer was also investigated by scanning electron microscopy. The composition of the oxide layer was studied by XRD. The results showed that after plasma electrolytic oxidation, the corrosion and wear resistance of the alloy are improved.

Key Word Plasma electrolytic oxidation, Aluminum alloy, Alkaline solution, Corrosion.

* نسخه‌ی نخست مقاله در تاریخ ۹۱/۹/۲۵ و نسخه‌ی پایانی آن در تاریخ ۹۳/۴/۲۵ به دفتر نشریه رسیده است.

(۱) نویسنده‌ی مسئول: دانش آموخته‌ی کارشناسی ارشد بخش مهندسی مواد، دانشکده مهندسی، دانشگاه شیراز

(۲) استادیار بخش مهندسی مواد، دانشکده مهندسی، دانشگاه شیراز

هوایی، دریایی و غیره دارند. آلیاژهای سری ۲۰۰۰، به دلیل برخورداری از استحکام ویژه‌ی (نسبت استحکام به وزن) بالا، در صنایع هوایی و دریایی بهمیزان زیاد استفاده می‌شوند. متأسفانه، برخی از آلیاژهای آلومینیم، به خصوص انواع متداول T3-2024 و T6-2024، اغلب مستعد به خوردگی می‌باشند. این آلیاژها، در گروه آلیاژهای کار شده‌ی آلومینیم عملیات حرارتی پذیر فرار دارند که استحکام ویژه‌ی بالایی دارند. آلیاژهای کار شده‌ی آلومینیم عملیات حرارتی پذیر، مقاومت به خوردگی پایین‌تری نسبت به آلیاژهای کار شده‌ی آلومینیم که عملیات حرارتی ناپذیر هستند، دارند. مقاومت به خوردگی کم این آلیاژها، به حضور مقادیر نسبتاً زیادی از ترکیبات بین فلزی مربوط می‌شود که به صورت ذرات رسوب توزیع شده‌اند و ریزساختار غیریکنواختی تشکیل داده و به این ترتیب، مقاومت کلی آلیاژ را در برابر محیط‌های خورنده کاهش داده‌اند. ریزساختار غیریکنواخت می‌تواند منجر به ایجاد اثرات گالوانیک بین زمینه و ذرات بین فلزی اختلاف ممکن است بین زمینه و ذرات باشد که سبب تشکیل جفت پتانسیل وجود داشته باشد که سبب شود تا آلیاژها به خوردگی‌های موضعی مانند خوردگی حفره‌ای یا بین دانه‌ای حساسیت بیشتری پیدا کنند، به خصوص وقتی که هنگام گار در معرض محیط خورنده هم قرار داشته باشند [9].

آلیاژهای آلومینیم ممکن است خواص سطحی ضعیف دیگری به خصوص در شرایط لغزشی، داشته باشند. ظرفیت کم تحمل بار و مقاومت کم به خراش به دلیل سختی کم و تمایل به چسبندگی زیاد به دلیل انعطاف‌پذیری و واکنش‌پذیری نسبتاً زیاد، از جمله‌ی این خواص هستند. روش‌های پیشرفته‌ی مهندسی سطح برای بهبود خواص سطحی این آلیاژها ارائه شده‌اند [9].

مقدمه

اکسایش الکتروولتی پلاسما (Plasma Electrolytic Oxidation, PEO) روشی نسبتاً جدید برای اصلاح سطحی می‌باشد (این روش، اکسایش ریزقوس، MAO، Micro-arc Oxidation نیز نامیده می‌شود). در این روش، توجه زیادی به ساخت پوشش‌های اکسیدی سرامیکی بر روی آلیاژهای سبک آلومینیم، تیتانیم و منیزیم شده است [1-6]. فرایند PEO، مقاومت به خوردگی و سایش آلیاژها را می‌تواند افزایش دهد [6,7]. افزون بر این، خواص متنوع دیگری از جمله مقاومت در برابر لغزش، حفاظت حرارتی، نوری و دی‌الکتریک را می‌تواند به دنبال داشته باشد [8,9].

صرف‌نظر از این‌که چه نوعی از الکتروولت و یا چه شیوه‌های کنترل متغیرهای الکتریکی (جریان ثابت یا ولتاژ ثابت) اعمال شوند، سازوکار اساسی تشکیل پوشش‌های PEO مشابه است. ابتدا، یک پوسته‌ی غیرفعال، طبیعی و نازک بر روی سطوح فلزی زیرلایه به وجود می‌آید که می‌تواند اثر حفاظتی خیلی محدودی را فراهم نماید. با افزایش ولتاژ اعمالی، مقدار زیادی حباب گاز در اطراف الکترود تولید می‌شود که آندایزینگ و تشکیل یک پوسته‌ی عایق متخلفل با ساختار ستونی عمود بر زیرلایه را به دنبال دارد. وقتی که ولتاژ از حد معینی (ولتاژ شکست) بیش‌تر می‌شود، شکست دی‌الکتریک در برخی از نواحی پراکنده در طول پوسته‌ی عایق اتفاق می‌افتد و این، با پدیده‌ی تخلیه‌ی جرقه‌ای همراه است. در این حالت، تعداد زیادی از جرقه‌های سفید، یکنواخت و ریز در سطح نمونه تولید می‌شود که در نهایت، منجر به تشکیل تعداد زیادی از ریزحفرات یکنواخت می‌شود [10-14]. آلیاژهای آلومینیم، به دلیل داشتن خواص عالی مانند استحکام بالا، چگالی پایین، خواص غیرمغناطیسی و شکل‌پذیری مناسب، کاربردهای گسترده‌ای در صنایع

عمل آماده‌سازی به صورت مکانیکی با استفاده از کاغذهای ساینده‌ی شماره‌ی ۴۰۰، ۸۰۰، ۱۰۰۰ و ۱۲۰۰ انجام شد. پس از پولیش کاری شیمیایی، نمونه‌ها با آب مقطر و الكل شسته شدند و سپس، با دمنده‌ی $\text{Na}_2\text{SiO}_3: ۳۰\text{ g/l}$, $\text{Glycerin}: ۱۰\text{ g/l}$, $\text{KOH}: ۱۵\text{ g/l}$, $\text{Na}_3\text{PO}_4: ۲۵\text{ g/l}$ برای عملیات PEO استفاده شد. فرایند PEO، درون یک بشر ۲ لیتری حاوی یک لیتر محلول برای مدت زمان ۱۰ دقیقه انجام شد. از یک ورق فولاد زنگنزن به ابعاد $۲۰ \times ۳۰ \times ۲\text{ cm}$ به عنوان الکترود کاتد در اطراف الکترود آند استفاده شد. نمونه‌هایی از آلیاژ آلومینیم 2024-T3 به عنوان آند برای عملیات PEO، در محلول غوطه‌ور شدند. ولتاژ ۳۰۰ ولت به کمک منبع تغذیه‌ی DC اعمال شد. به ازای این ولتاژ ثابت، چگالی جریان DC از $۱۳/۲۵\text{ A/dm}^2$ تا $۳/۷۵\text{ A/dm}^2$ تغییر کرد. نمونه‌ها بعد از فرایند PEO، درون آب مقطر شسته و با هوا فشرده خشک شدند.

در این پژوهش، پوشش PEO بر روی آلیاژ آلومینیم 2024-T3 درون الکترولیت بهینه ایجاد شد. الکترولیت مورد استفاده، از اجزای خیلی ارزان و فراوان تشکیل شده بود. از یک منبع تغذیه‌ی DC برای اعمال پوشش استفاده شد. ابتدا، بهینه‌سازی الکترولیت انجام شد و سپس، مقاومت به خوردگی و سایش پوشش بررسی شد. نوآوری این تحقیق، معرفی ترکیب جدیدی از الکترولیت (افزوختن گلیسرین به عنوان ماده‌ی جدید در فرایند PEO)، پایین آوردن ولتاژ اعمالی و بهبود مقاومت به خوردگی و سایش بوده است. در این جهت، مقایسه‌ای از متغیرهای فرایند در آلیاژ ۲۰۲۴ بین نتایج این تحقیق و نتایج تحقیقات دیگر انجام شد و نتیجه در جدول (۱) گزارش شده است.

مواد و روش‌های انجام آزمون

الکترود مورد استفاده در این تحقیق، آلیاژ آلومینیم 2024-T3 با ترکیب ارائه شده در جدول (۲)، می‌باشد. نمونه‌هایی با ابعاد $۱\text{ mm} \times ۲۰\text{ mm} \times ۲۰\text{ mm}$ تهیه شد و

جدول ۱ مقایسه‌ی متغیرهای فرایند در این تحقیق و برخی از تحقیقات دیگر

مرجع	نام	ترکیب الکترولیت	ولتاژ (V)	چگالی جریان (A/dm^2)	زمان (دقیقه)	دما ($^{\circ}\text{C}$)
[15]	دو و همکاران	$\text{NaOH}, \text{Na}_2\text{SiO}_3$ and an organic agent	Pulsed, with CPV and TSFC modes	-	۴۰	<۲۵
[4]	ون و همکاران	$\text{Na}_2\text{SiO}_3\text{H}_2\text{O}, (\text{NaPO}_3)_6, \text{Na}_2\text{WO}_4$	Pulsed, ۴۵۰	-	-	-
[3]	ون و همکاران	$\text{Na}_2\text{SiO}_3, \text{NaOH}, (\text{NaPO}_3)_6, \text{Na}_2\text{WO}_4$	Pulsed, ۶۰۰	-	۱۰	-
[7]	گادجا و همکاران	Electrolyte 1(E1): water glass, NaOH Electrolyte 2(E2): water glass, $(\text{NaPO}_3)_{12-13}$, NaOH	E1:AC E2: DC	E1: ۳۰ E2: ۳۰	E ₁ : ۳۰ E ₂ : ۳۰	<۲۰
[5]	وُو و همکاران	sodium aluminate, Graphite	Pulsed	۱۰	-	۳۰
تحقيق حاضر	فدائی و همکاران	$\text{Na}_2\text{SiO}_3, \text{Na}_3\text{PO}_4, \text{KOH}$, glycerin	DC, ۲۹۰	$۳/۷۵-۱۳/۲۵$	-	۳۰

بحث و نتایج

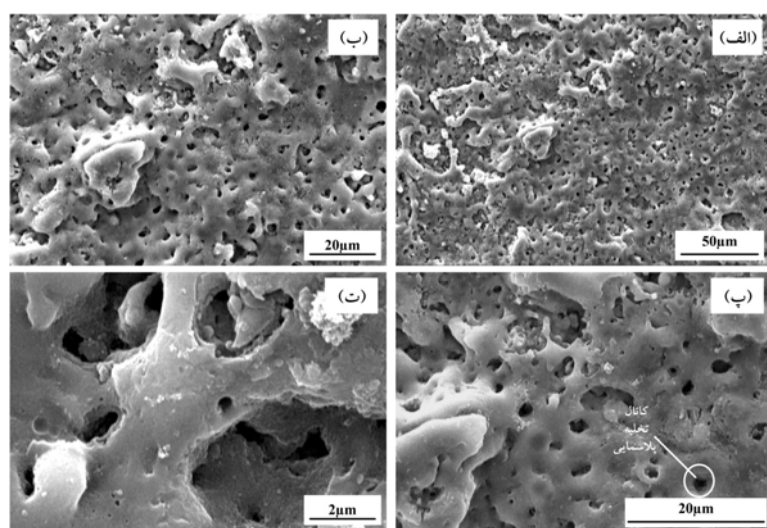
ریزساختار و مُرفولوژی پوشش

شکل‌های (۱) و (۲)، به ترتیب تصویرهای SEM از سطح و مقطع عرضی پوشش PEO بر روی آلیاژ آلومینیم 2024 را در بزرگنمایی‌های مختلف نشان می‌دهند. این تصویرها، وجود کانال‌های تخلیه که به صورت لکه‌های دایره‌ای تاریک در تمام سطح توزیع شده‌اند را به‌وضوح نشان می‌دهند [۱۶, ۱۷]. همان‌طور که قبلاً اشاره شد، در فرایند PEO تعداد زیادی از کانال‌های تخلیه‌ی پراکنده در نتیجه‌ی عدم پایداری ریزنواحی هنگام دسترسی به ولتاژ شکست، تولید می‌شوند. اثر فروپاشی الکترون تحریک شده باعث می‌شود. تا مواد پاشش در اطراف مرکز تخلیه به دلیل دمای زیاد و فشار بالا، در مدت زمان کمتر از 5°C به سرعت به درون کانال‌های تخلیه کشیده شوند و سبب ایجاد پوشش شوند. اجزای آنیونی مانند PO_4^{3-} و SiO_3^{2-} ، تحت یک نیروی میدان الکتریکی قوی از طریق الکتروفورسیس وارد کانال‌ها می‌شوند. در همان زمان، گذرگاه‌های تحت تأثیر دما و فشار زیاد به عنصر آلیاژی زیرلایه اجازه‌ی ذوب یا نفوذ به درون کانال‌ها را می‌دهند [۹]. محصولات اکسیدی تحت خنک شدن سریع الکتروولیت مجاور منجمد می‌شوند و ضخامت پوشش در ناحیه‌ی موضعی نزدیک به کانال‌های تخلیه افزایش می‌یابد. وقتی که کانال‌های دیواره‌های کanal نزدیک به کانال‌های تخلیه رسوب می‌کنند. در نهایت، گازهای تولید شده تحریک می‌شوند تا پس از آن به سمت بیرون از کانال‌های تخلیه فرار کنند و به‌این ترتیب، حفره‌های بسته شبیه به کوه آتش‌فشنان تولید می‌شوند [۱۶, ۱۷]. افزون بر این، تصویر مقطع عرضی در شکل (۲) ضخامت لایه‌ی اکسیدی را در حدود $10 \mu\text{m}$ نشان می‌دهد.

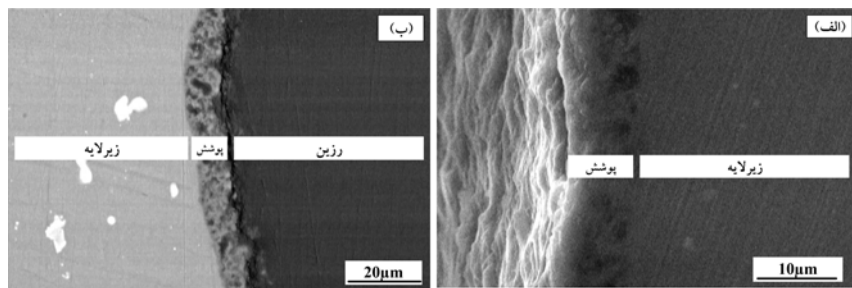
جدول ۲ ترکیب شیمیایی آلیاژ T3-2024 (درصد وزنی)

زمینه	Al
۴/۴۵	Cu
۱/۵۷	Mg
۰/۰۶	Si
۰/۱۷	Fe
۰/۱۶	Zn
۰/۵۶	Mn
۰/۰۴	بقیه

فازهای مربوط به لایه‌های اکسیدی به‌وسیله‌ی پراش سنج پرتوی X مدل Bruker Advance D8 به‌کمک الکتروود هدف از نوع مس بررسی شدند. ریزساختار و مُرفولوژی سطحی نمونه‌های فرایند PEO، به‌کمک میکروسکوپ الکترونی روبشی (CambridgeStereoscan) S360 بررسی شدند. مقاومت به خوردگی نمونه‌ها در محلول ۳.۵ wt.%NaCl در دمای اتاق بررسی شد. قبل از انجام آزمون، نمونه‌ها به مدت ۳۶ ساعت در محلول غوطه‌ور شدند. از الکتروود نقره-کلرید نقره به عنوان الکتروود مرجع و از میله‌ی پلاتینی به عنوان الکتروود محاسبه‌گر استفاده شد. در آزمون بروون‌یابی تألف که در محدوده‌ی $200 \pm 50 \text{ mV}$ مدار باز انجام شد، پتانسیل شروع، پایانی و نرخ روبش برای نمونه‌ی پوشش داده شده، به ترتیب -0.382 V ، -0.005 V/s و 0.005 V/s برابر نمونه‌ی بدون پوشش، به ترتیب -0.902 V ، -0.502 V و 0.005 V/s انتخاب شد. افزون بر این، اندازه‌گیری‌های طیف‌سنجی به‌کمک آمپدانس الکتروشیمیایی در گستره‌ی فرکانس 0.01 Hz تا 100 kHz و دامنه‌ی موج ولتاژ سینوسی 10 mV انجام شد. آزمون سایش به‌وسیله‌ی دستگاه پین بر روی دیسک با پین‌های استاندارد به قطر 5 mm و به طول 50 mm از جنس فولاد SAE52100 انجام شد. بار عمودی N 2 ، سرعت خطی پین 0.04 m/s و فاصله‌ی لغزش برابر با 100 m انتخاب شد.



شکل ۱ تصویرهای SEM از سطح پوشش PEO بر روی زیرلایه‌ی آلیاژ آلومینیم 2024-T3 در بزرگنمایی‌های مختلف؛
الف) ۱۰۰۰X، ب) ۲۰۰۰X، پ) ۵۰۰X و ت) ۲۰۰X



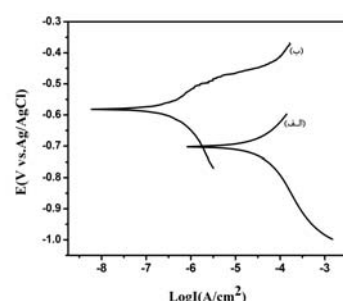
شکل ۲ تصویر SEM از مقطع عرضی پوشش PEO بر روی زیرلایه‌ی آلیاژ آلومینیم 2024-T3

پلاریزاسیون تافل. شکل (۳)، نمودارهای پلاریزاسیون تافل برای نمونه‌های بدون پوشش و نمونه‌ی اکسید شده به روش PEO را نشان می‌دهد. مقادیر پتانسیل خوردگی (E_{corr})، چگالی جریان خوردگی (I_{corr})، نرخ خوردگی و مقاومت پلاریزاسیون (R_p)، با استفاده از نمودارها و به کمک نرم‌افزار مربوطه (General Purpose Electrochemical System (Purpose Electrochemical System جدول (۳). لازم به ذکر است که مقاومت پلاریزاسیون (R_p) بر اساس رفتار پلاریزه‌ی خطی در نزدیکی پتانسیل مدار باز (OCP) و با استفاده از رابطه‌ی استرن-گری [8]، به‌شکل زیر محاسبه شد. نتایج در جدول (۳) گزارش شده‌اند.

$$R_p = \beta_a \beta_c / 2.3(\beta_a + \beta_c) I_{corr} \quad (1)$$

رفتار خوردگی پوشش PEO

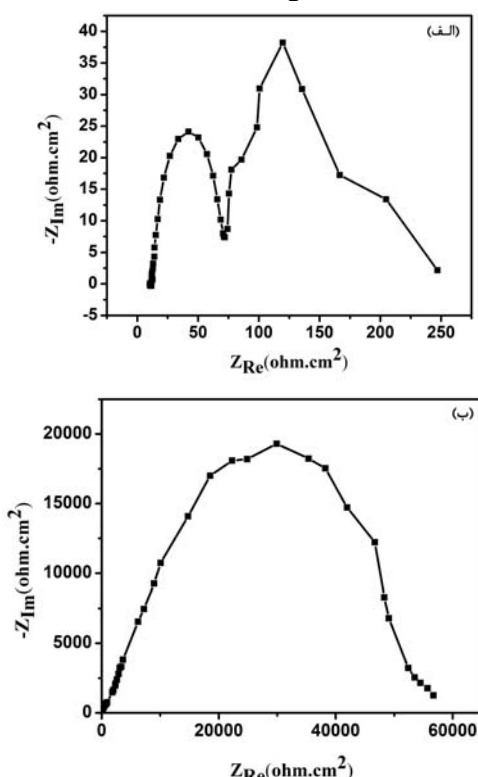
به منظور ارزیابی مقاومت به خوردگی نمونه‌های اکسید شده به روش PEO، از آزمون‌های پلاریزاسیون تافل و طیف‌سنجی امپدانس الکتروشیمیایی (Electrochemical Impedance Spectroscopy, EIS) درون محلول ۳/۵ درصد وزنی کلرید سدیم استفاده شد. نتایج به دست آمده در ادامه ارائه شده‌اند.



شکل ۳ نمودارهای پلاریزاسیون تافل برای نمونه‌های بدون پوشش PEO (الف) و با پوشش PEO (ب).

می باشد که بیان گر آن است که با اعمال پوشش PEO، چگالی جریان خوردگی زیرلایهی بدون پوشش حدود ۱۶۰ برابر کمتر شده است. با توجه به نتایج به دست آمده در آزمون پلاریزاسیون و ذکر این نکته که نمونه ها به مدت زمان ۳۶ ساعت قبل از انجام آزمون پلاریزاسیون در محلول کلرید سدیم غوطه ور شده اند، می توان نتیجه گرفت که پوشش ایجاد شده به کمک فرایند PEO در این تحقیق با توجه به مدت زمان غوطه وری، مقاومت بهتری در برابر محیط خورنده داشته است.

بررسی آمپلانس الکتروشیمیایی. شکل های (۴) و (۵) به ترتیب نمودارهای نایکوئیست و بوید برای نمونه های با و بدون پوشش PEO را در محلول $\frac{3}{5}$ درصد وزنی کلرید سدیم بعد از غوطه وری به مدت زمان ۳۶ ساعت نشان می دهند.



شکل ۴ نمودارهای نایکوئیست برای نمونهی بدون پوشش PEO و با پوشش PEO (الف) و (ب)

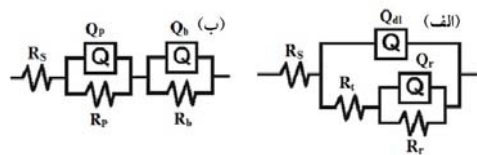
در رابطهی α ، β و β_c به ترتیب شیب خطوط آندی و کاتدی در نمودار تافل می باشند.

جدول ۳ متغیرهای تافل محاسبه شده برای نمونه های با پوشش و بدون پوشش PEO

با پوشش PEO	بدون پوشش PEO	
-۰/۵۸۲	-۰/۷۰۲	E_{corr} (V vs. Ag-AgCl)
۲/۰۸۸E-۷	۳/۲۶۸E-۵	I_{corr} (A/cm ²)
۱/۷۴۲E+۴	۴/۰۳۸E+۲	R_p ($\Omega \cdot \text{cm}^2$)
۲/۲۶۷E-۳	۳/۸۲۵E-۱	Corrosion Rate(mm/year)

این داده ها نشان می دهند که با اعمال پوشش PEO بر روی آلیاژ آلومینیم 2024-T3، مقاومت به خوردگی در محلول آبی $\frac{3}{5}$ درصد کلرید سدیم در حدود چهل برابر افزایش می یابد. در مقایسه با آلیاژ آلومینیم بدون پوشش، نمونه های با پوشش PEO پتانسیل خوردگی نجیب تر و چگالی جریان خوردگی پایین تر و مقاومت به خوردگی بهتری را از خود نشان داده است. ونگ و همکاران [۴]، خوردگی پوشش های PEO اعمال شده بر روی آلیاژ آلومینیم 2024 بررسی کرده اند. نتایج پلاریزاسیون تافل حاصل از تحقیق آنها نشان می دهند که چگالی جریان خوردگی آلیاژ پوشش دار، ۱۰۰ برابر کمتر از آلیاژ بدون پوشش بوده است [۴]. راج و همکارش [۸]، تشکیل پوشش های نانومادهی مرکب سرامیکی از نوع آلومینیا بر روی آلومینیم به منظور افزایش مقاومت به خوردگی بدون غوطه وری را بررسی کرده اند. نتایج تحقیق آنها نیز نشان می دهند که با اعمال پوشش، پتانسیل خوردگی نجیب تر و چگالی جریان خوردگی کاهش می یابد. مقدار I_{corr} در تحقیق آنها، در محدوده $5/۲۶۹ \times 10^{-8} \text{ A/cm}^2$ تا $1/۹۷۰ \times 10^{-6} \text{ A/cm}^2$ برای نمونهی پوشش دار و $6/۳۵۳ \times 10^{-7} \text{ A/cm}^2$ برای حالت بدون پوشش بوده است [۸]. در تحقیق حاضر، میزان I_{corr} برای نمونهی با پوشش PEO و بدون آن، به ترتیب $3/۲۶۸ \times 10^{-5} \text{ A/cm}^2$ و $2/۰۸۸ \times 10^{-7} \text{ A/cm}^2$ برابر با

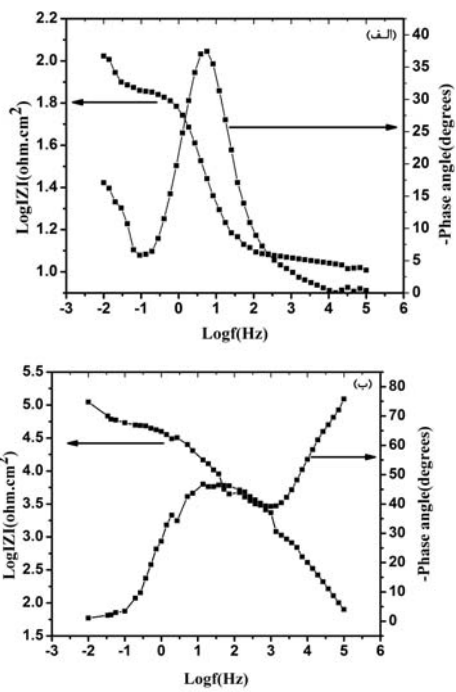
سطح مربوط می‌شود و برای در نظر گرفتن رفتار غیرایده‌آل خازن ایده‌آل به کار می‌رود.



شکل ۶ مدار معادل EIS برای نمونه‌ی بدون پوشش PEO (الف) و با پوشش PEO (ب)

در این مدار معادل، R_s مقاومت محلول، Q_{dil} ظرفیت لایه‌ی دوگانه و R_t مقاومت انتقال بار لایه‌ی دوگانه بین آلیاژ و محلول، R_p مقاومت پوشش متخلخل خارجی، Q_p ظرفیت خازنی پوشش متخلخل خارجی، Q_b ظرفیت خازنی پوشش متراکم داخلی، R_b مقاومت پوشش متراکم داخلی و Q_r و R_r (در شکل الف)، به ترتیب ظرفیت خازنی و مقاومت خوردگی بین آلیاژ و محیط خورنده می‌باشد.

دو ثابت زمانی در نمودار بوید برای نمونه‌ی با پوشش PEO در شکل (۵-ب) وجود دارد. ثابت اول، ثابت زمانی است که در فرکانس‌های بالا ظاهر می‌شود و به ظرفیت Q_p و مقاومت R_p (پوشش متخلخل خارجی) مربوط است، در حالی که ثابت زمانی دوم که در فرکانس‌های متوسط ظاهر می‌شود، با ظرفیت Q_b و مقاومت انتقال بار R_b مربوط به پوشش متراکم داخلی ارتباط دارد. با توجه به این که در این شکل دو ثابت زمانی مشاهده می‌شود و ثابت زمانی سوم مربوط به زیرلایه ملاحظه نمی‌شود، می‌توان پی برد که پس از غوطه‌وری به مدت ۳۶ ساعت، محیط خورنده به فصل مشترک زیرلایه با پوشش متراکم داخلی نفوذ نکرده است. این امر بیان گر مقاومت مطلوب پوشش متراکم داخلی در برابر نفوذ محیط خورنده است. بنابراین، می‌توان گفت که با اعمال پوشش اکسیدی، مقاومت به خوردگی آلیاژ به نحو چشم‌گیری بهبود یافته است. به طور مشابه، نمودارهای نایکوئیست و بوید برای نمونه‌ی بدون پوشش، به ترتیب در شکل‌های (۴-الف) و (۵-الف) نشان داده شده‌اند. دو ثابت زمانی در



شکل ۵ نمودارهای بوید برای نمونه‌ی بدون پوشش PEO (الف) و با پوشش PEO (ب)

با در نظر گرفتن نمودارهای EIS و مُرفولوژی خاص نمونه‌ی با پوشش PEO (شکل ۱) و نمونه‌ی بدون پوشش، مدار معادل EIS برای نمونه‌ی با پوشش PEO و نمونه‌ی بدون پوشش، در شکل (۶) نشان داده شده است. به دلیل ناهمگونی‌های لایه‌های متخلخل و متراکم برای نمونه‌ی پوشش دار و ناهمگونی‌های سطح نمونه‌ی بدون پوشش، واکنش‌های الکتروشیمیایی این لایه‌ها با تعریف عنصر فاز ثابت (CPE) که در اینجا به اختصار با Q نشان داده شده است، بهتر شبیه‌سازی می‌شود. رابطه‌ی آمپدانس مربوط به Q به صورت زیر تعریف می‌شود:

$$Z_{CPE} = \frac{1}{(Y_0(j\omega))^n} \quad (2)$$

عامل Y_0 ، مقدار عددی آدمیتانس است که مقدار آن برابر با عکس مقدار آمپدانس می‌باشد. n عامل پراکندگی فرکانس می‌باشد که از 0 تا 1 تغییر می‌کند. این کمیت به عوامل زیادی از جمله میزان خشونت

جدول ۴ داده‌های الکتروشیمیایی به دست آمده از آزمون EIS برای نمونه‌ی پوشش دار و بدون پوشش

پوشش دار		بدون پوشش	
۱۹	R_s ($\Omega \cdot \text{cm}^2$)	۱۱/۴۷	R_s ($\Omega \cdot \text{cm}^2$)
۵۳۸۰۰	R_b ($\Omega \cdot \text{cm}^2$)	۷۲/۸	R_{dl} ($\Omega \cdot \text{cm}^2$)
۴/۵۴۷E-۷	Q_b ($\text{F} \cdot \text{cm}^{-2}$)	۰/۰۰۱۳	Q_{dl} ($\text{F} \cdot \text{cm}^{-2}$)
۳۸۹۰	R_p ($\Omega \cdot \text{cm}^2$)	۶۴/۷	R_f ($\Omega \cdot \text{cm}^2$)
۱/۱۱۶E-۶	Q_p ($\text{F} \cdot \text{cm}^{-2}$)	۰/۲۸۶۷	Q_r ($\text{F} \cdot \text{cm}^{-2}$)

XRD آزمون

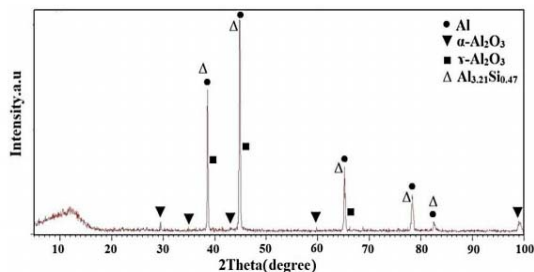
شكل (۷)، الگوی پراش پرتوی X برای نمونه‌ی پوشش داده شده را نشان می‌دهد. بدلیل این‌که پوشش متخلخل است و به اندازه‌ی کافی ضخیم نیست، پرتوهای X به‌آسانی در آن نفوذ کرده است [۱۸, ۱۹]، و به‌این ترتیب، پیک‌های پراش مربوط به زیرلایه‌ی آلیاژ آلومینیوم بروشندی در الگوی XRD نمایان شده‌اند. طیف‌های XRD نشان می‌دهند که پوشش اساساً از فازهای Al_2O_3 (γ و α ، SiO_2 و فاز بسیار شکل تشکیل شده است.

آزمون سایش

نتایج مربوط به آزمون سایش برای نمونه‌های با و بدون پوشش PEO به صورت نمودارهای ضریب سایش بر حسب فاصله‌ی لغزش، در شکل (۸) نشان داده شده‌اند. نتایج بیان‌گر آن هستند که مقدار متوسط ضریب سایش برای نمونه‌ی پوشش دار برابر با $0/۱$ و برای نمونه‌ی بدون پوشش برابر با $۰/۵$ می‌باشد. این نشان می‌دهد که نمونه‌ی پوشش دار مقاومت به سایش بالاتری دارد. ونگ و همکاران [۲۰]، تأثیرات فلورید بر ساختار و خواص پوشش اکسایش ریزقوس بر روی آلیاژ آلومینیوم را بررسی کرده‌اند. نتایج حاصل از آزمون سایش در تحقیق آن‌ها، مقدار متوسطی برابر با $۰/۱۹$ را

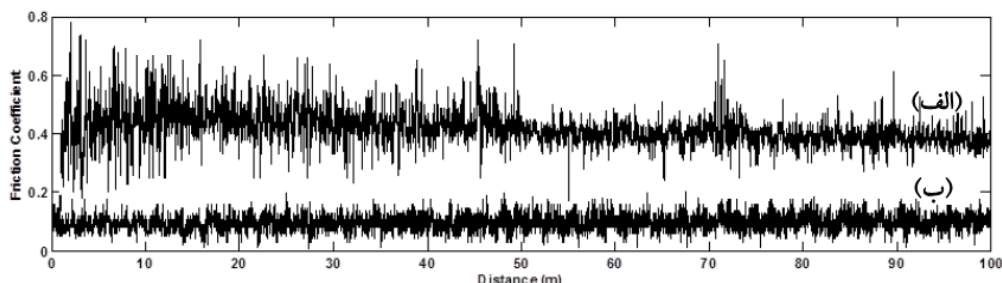
نمودار بوید در شکل (۵-الف) مشاهده می‌شود. دو کمان ظرفیت در نمودار نای کوئیست متناظر در شکل (۵-الف) دیده می‌شود. کمان اول که در فرکانس‌های متوسط ظاهر می‌شود، به ظرفیت لایه‌ی دوگانه (Q_{dl}) و محلول مربوط می‌شود، در حالی که کمان دوم که در فرکانس‌های پایین ظاهر می‌شود، به واکنش خوردگی بین آلیاژ و محیط خورنده مربوط می‌شود که ظرفیت (Q_r) و مقاومت (R_r) را نتیجه می‌دهد. داده‌های حاصل از نتایج EIS برای نمونه‌های با و بدون پوشش PEO در جدول (۴) نشان داده شده‌اند. با توجه به جدول، پوشش‌های متراکم داخلی و متخلخل خارجی نسبت به زیرلایه بدون پوشش مقدار مقاومت (R) بالاتری را نشان می‌دهند. به طوری که این امر بیانگر مقاومت بالاتر نمونه پوشش دار نسبت به زیرلایه بدون پوشش در برابر خوردگی می‌باشد. بعلاوه هر دوی پوشش متراکم داخلی و متخلخل خارجی ظرفیت خازنی (Q) به مراتب پایین‌تری دارند که این امر نیز بیانگر مقاومت بالاتر نمونه پوشش دار در برابر خوردگی می‌باشد. برای توجیه مقدار پایین ظرفیت خازنی در افزایش مقاومت به خوردگی می‌توان گفت که هرچه مقدار ظرفیت خازن کمتر باشد، با مصرف جریان کمتر شارژ شده و از مدار خارج می‌شود. با خارج شدن خازن از مدار دیگر جریان برقرار نیست. زیرا با شارژ شدن خازن، جریان از آن عبور نمی‌کند و مدار قطع می‌شود. لایه اکسیدی متراکم بر روی سطح آلیاژ آلومینیوم نیز چنین حالتی دارد و مانند یک خازن پس از شارژ شدن کامل، با خارج شدن از مدار، مدار الکتریکی را قطع کرده و در نتیجه، نرخ خوردگی آلیاژ را کاهش می‌دهد. با مشاهده نمودارهای EIS و داده‌های بدست آمده، می‌توان نتیجه گرفت که مقاومت به خوردگی نمونه‌ی با پوشش اکسایش الکتروولیتی پلاسمایی بهتر از نمونه‌ی بدون پوشش می‌باشد. این نتایج تأیید کننده نتایج آزمون پلاریزاسیون می‌باشند.

و تنها در نواحی اندکی از سطح دیده می‌شوند. خطوط موازی مربوط به سازوکار چسبنده مشاهده نمی‌شوند که این، بیان‌گر سایش نرم و حاکم بودن سایش خراشان به عنوان سازوکار اصلی سایش می‌باشد [9].

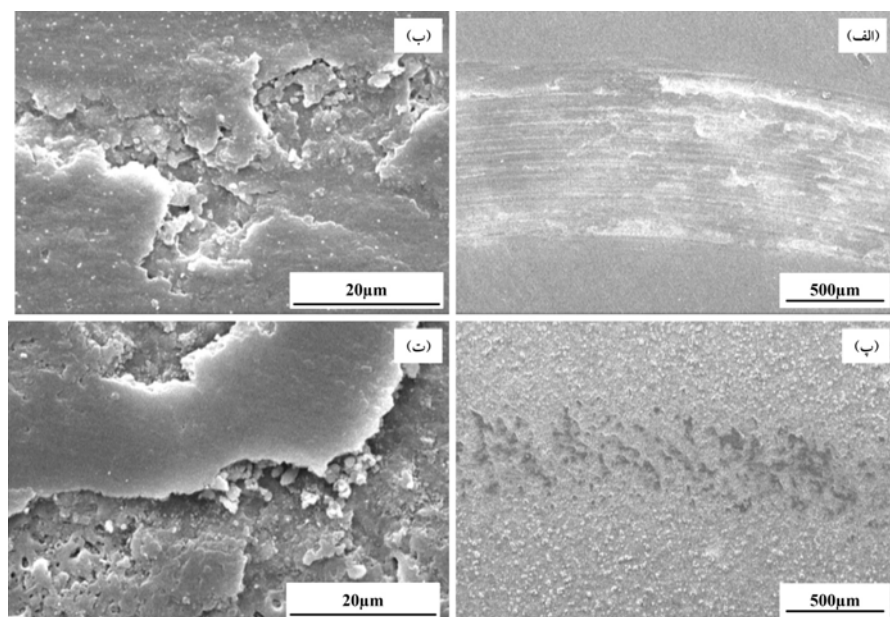


شکل ۷ الگوی پراش پرتوی X مربوط به آلیاژ آلومینیم 2024-T3 با پوشش PEO

نشان می‌دهد. این مقدار از مقدار به دست آمده در این تحقیق بزرگ‌تر است. شکل (۹)، تصویرهای میکروسکوپ الکترونی رویشی از سطوح سایش برای نمونه‌های پوشش‌دار و بدون پوشش در بزرگ‌نمایی‌های مختلف را نشان می‌دهد. همان‌گونه که مشاهده می‌شود، میزان آسیب ایجاد شده در نمونه‌ی بدون پوشش بیش از نمونه‌ی پوشش‌دار است. در تصویر با بزرگ‌نمایی پایین مربوط به سطح سایده شدهی نمونه‌ی بدون پوشش، چند خط موازی در جهت لغزش مشاهده می‌شود. در بزرگ‌نمایی بالا، کندگی‌های متعدد مشاهده می‌شود که نشان‌دهنده‌ی عمل کرد هر دو سازوکار چسبنده (adhesive) و خراشان (abrasive) برای نمونه‌ی بدون پوشش است. از طرف دیگر، برای نمونه‌ی پوشش‌دار، میزان سایش سطح پوشش ناچیز است، اثرات سایش پیوسته نیستند.



شکل ۸ نمودارهای ضریب سایش بر حسب فاصله‌ی لغزش برای نمونه‌های بدون پوشش PEO (الف) و با پوشش PEO (ب)



شکل ۹ تصویرهای میکروسکوپ الکترونی رویشی از سطح سایش در: (الف و ب) نمونه بدون پوشش، (پ و ت) نمونه پوشش دار

افزایش مقاومت به خوردگی نمونه‌ی پوشش دار در مقایسه با نمونه‌ی بدون پوشش بود.

۲- با مقایسه‌ی مقادیر ضرب سایش و سطوح سایش برای نمونه‌های پوشش دار و بدون پوشش، می‌توان پی بردن که نمونه‌ی با پوشش PEO در مقایسه با نمونه‌ی بدون پوشش، مقاومت به سایش بهتری دارد.

نتیجه‌گیری

در این تحقیق، پوشش PEO با ضخامت حدود ۱۰ میکرومتر در یک الکتروولتی با مواد خیلی ارزان بر روی سطح آلیاژ آلومینیم 2024-T3 ایجاد شد. پوشش که اکثراً از $\gamma\text{-Al}_2\text{O}_3$ و میزان اندکی از فاز بی‌شکل تشکیل شده بود، متراکم، یکنواخت و بدون ترک بود و ریزحفره‌های زیادی در سطح آن مشاهده شد.

۱- نتایج به دست آمده از آزمون پلاریزاسیون تافل و طیف‌سنجی آمپدانس الکتروشیمیایی، بیان‌گر

مراجع

- Wei, C.B., Tian, X.B., Yang, S.Q., Wang, X.B., Ricky, K.Y. F. and Paul, K.C., "Anode current effects in plasma electrolytic oxidation", *Surface & Coatings Technology*, Vol. 201, pp. 5021–5024, (2007).
- Yerokhina, A.L., Nieb, X., Leylandb, A., Matthewsb, A. and Dowey, S.J., "Plasma electrolysis for surface engineering", *Surface and Coatings Technology*, Vol. 122, pp. 73–93, (1999).
- Wen, L., Wang, Y.M., Liu, Y., Zhou, Y., Guo, L.X., Ouyang, J.H. and Jia, D.C., "EIS study of a self-repairing microarc oxidation coating", *Corrosion Science*, Vol. 53, pp. 618–623, (2011).
- Wen, L., Wang, Y., Zhou, Y., Ouyang, J.H., Guo, L. and Dechangia, J., "Corrosion evaluation of microarc oxidation coatings formed on 2024 Aluminium alloy", *Corrosion Science*, Vol. 52, pp. 2687–2696, (2010) .
- Wu, X., Qin, W., Guo, Y. and Xie, Z., "Self-lubricative coating grown by micro-plasma oxidation on aluminum alloys in the solution of aluminate-graphite", *Applied Surface Science*, Vol. 254, pp. 6395–6399, (2008).
- Wang, K., Byeon, S.S. and Koo, B.H., "Nitrogen inducing effect on preparation of AlON-Al₂O₃ coatings on Al6061 alloy by electrolytic plasma processing", *Surface & Coatings Technology*, Vol. 205, pp.S11–S14, (2010).
- Godja, N., Kiss, N., Locker, Ch., Schindel, A., Gavrilovic, A., Wosik, J., Mann, R., Wendlinsky, J., Merstallinger, A. and Nauer, G.E., "Preparation and characterization of spark-anodized Al-alloys: Physical, chemical and tribological properties", *Tribology International*, Vol. 43, pp.1253–1261, (2010).

8. Raj, V. and Mubarak Ali, M., "Formation of ceramic alumina nanocomposite coatings on aluminium for enhanced corrosion resistance", *Journal of Materials Processing Technology*, Vol. 209, pp. 5341–5352, (2009).
9. Dong, H., "Surface Engineering of Light Alloys: Aluminum, Magnesium and Titanium Alloys", Woodhead Publishing in materials. illustrated ed., Taylor & Francis, (2010).
10. Gu, W.Ch. Lv, G.H., Chen, H., Chen, G.L., Feng, W.R. and Yang, S.Z., "Characterisation of ceramic coatings produced by plasma electrolytic oxidation of aluminum alloy", *Materials Science and Engineering*, Vol. A 447, pp. 158–162, (2007).
11. Lv, G., Gu, W., Chen, H., Feng, W., Khosa, M.L., Li, L., Niu, E., Zhang, G. and Yang, S.Z., "Characteristic of ceramic coatings on aluminum by plasma electrolytic oxidation in silicate and phosphate electrolyte", *Applied Surface Science*, Vol. 253, pp. 2947–2952, (2006) .
12. Dunleavy, C.S., Golosnoy, I.O., Curran, J.A. and Clyne, T.W. "Characterisation of discharge events during plasma electrolytic oxidation", *Surface & Coatings Technology*, Vol. 203, pp. 3410–3419, (2009).
13. Sundararajan, G. and Krishna, L.R. "Mechanisms underlying the formation of thick alumina coatings through the MAO coating technology", *Surface and Coatings Technology*, Vol. 167, pp. 269–277, (2003).
14. Stojadinovic, S., Vasilic, R., Belca, I., Petkovic, M., Kasalica, B., edic, Z. and Zekovic, L., "Characterization of the plasma electrolytic oxidation of aluminium in sodium tungstate", *Corrosion Science*, Vol. 52, pp. 3258–3265, (2010).
15. Du, K., Gou, X., Gou, Q., Wang, F. and Tian, Y., "A monolayer PEO coating on 2024Al alloy by transient self-feedback control mode", *Materials Letters*, Vol. 91, pp. 45–49, (2013).
16. Duan, H., Yan, Ch. and Wang, F., "effect of electrolyte additives on performance of plasma electrolytic oxidation films formed on magnesium alloy AZ91D", *Electrochimica Acta*, Vol. 52, pp. 3785–3793, (2007).
17. Curran, J.A. and Clyne, T.W., "Thermo-physical properties of plasma electrolytic oxide coatings on aluminium", *Surface & Coatings Technology*, Vol. 199, pp. 168–176, (2005).
18. Wang, K., Koo, B.H., Lee, C.G., Kim, Y.J., Lee, S.H. and Byon, E., "Effects of electrolytes variation on formation of oxide layers of 6061 Al alloys by plasma electrolytic oxidation", *Trans Nonferrous Met . Soc. China*, Vol. 19, pp. 866-870, (2009).
19. Oh, Y.J., Mun, J. and H.Kim, J., "Effects of alloying elements on microstructure and protective properties of Al₂O₃coatings formed on aluminum alloy substrates by plasma electrolysis", *Surface & Coatings Technology*, Vol. 204, pp. 141–148, (2009) .

20. Wang, Z., Wu, L., Caib, W., Shan, A. and Jiang, Z., "Effects of fluoride on the structure and properties of microarc oxidation coating on aluminium alloy", *Journal of Alloys and Compounds*, Vol. 505, pp. 188–193, (2010).

بررسی ترمودینامیکی فرایند آلمینیم‌دهی تیتانیم خالص با استفاده از مخلوط پودری

حمیدرضا کریمی زارچی^(۱) منصور سلطانیه^(۲) شیپینگ گوا^(۴) محمد رضا ابوطالبی^(۳)

چکیده

در این تحقیق، از مخلوط پودری آلمینیم‌دهی حاوی یکی از دو ماده‌ی فعال کننده‌ی NH_4Cl و NaF برای آلمینیم‌دهی نمونه‌های تیتانیمی خالص استفاده شد. نتایج نشان داد که بهتر ترتیب لایه‌هایی از جنس α_2 - Ti_3Al , $TiAl_3$, $TiAl_2$, γ - $TiAl$ و محلول جامد آلغما بر روی این نمونه‌ها در هر دو حالت تشکیل می‌شود، اما میزان افزایش وزن نمونه‌ها و ضخامت لایه‌ی $TiAl_3$ به نگام استفاده از ماده‌ی فعال کننده‌ی NH_4Cl بیشتر از حالتی بود که از NaF استفاده شد. استفاده از یک مدل ترمودینامیکی نشان داد که فشارهای جزئی گازهای حاوی آلمینیم در حالتی که از NH_4Cl استفاده شد، بیشتر بود. بنابراین، نتایج مشاهده‌ات فوق الذکر توجیه شد.

واژه‌های کلیدی آلمیناید تیتانیم، آلمینیم‌دهی پودری، مدل ترمودینامیکی، واکنش‌های آلمینیم‌دهی،

Thermodynamic Investigation of Pack Aluminizing Process of Pure Titanium

H. R. Karimi Zarchi M. Soltanieh M. R. Aboutalebi Xiping Guo

Abstract

In this research, aluminizing packs containing NaF and NH_4Cl activators were used for aluminizing of pure titanium samples at 1100 °C. The results showed that the layers of $TiAl_3$, $TiAl_2$, γ - $TiAl$, α_2 - Ti_3Al , and α -solid solution are formed on titanium samples in both cases. However, the weight gain and the thickness of $TiAl_3$ layer in treated samples with NH_4Cl activator are greater than those when NaF activator is used. Using a thermodynamic model showed that the partial pressures of aluminum-containing gases when NH_4Cl is used are much greater and accordingly, the experimental results were justified.

Key Word Titanium Aluminide, Pack aluminizing, Thermodynamic model, Aluminizing reactions.

* نسخه‌ی نخست مقاله در تاریخ ۹۲/۴/۱۰ و نسخه‌ی پایانی آن در تاریخ ۹۳/۳/۱۲ به دفتر نشریه رسیده است.

(۱) نویسنده مسئول: استادیار، دانشکده مهندسی معدن و متالورژی، دانشگاه یزد

(۲) استاد، دانشکده مهندسی مواد و متالورژی، دانشگاه علم و صنعت ایران

(۳) استاد، دانشکده مهندسی مواد و متالورژی، دانشگاه علم و صنعت ایران

(۴) استاد، آزمایشگاه فرایندهای انجامداد، دانشگاه پلی‌تکنیک شمال غرب چین، شیان، چین

تبیین واکنش‌هایی که در عملیات آلومینیم دهی پودری آلیاژ نیکل IN-100 اتفاق می‌افتد، پرداخته‌اند. این محققان ثابت کردند که انتقال و نفوذ گازهای مربوط به هالیدهای آلومینیم درون مخلوط پودری حاوی پودر آلومینیم خالص و مواد فعال‌کننده مختلف NaX و NH₄X (X می‌تواند F، Cl، Br و یا I باشد)، سیتیک افزایش وزن نمونه‌ها در این فرایند را کنترل می‌کنند. پس از آن، سیگل و همکاران با بررسی دقیق‌تر واکنش‌هایی که درون سیستم آلومینیم دهی مخلوط پودری نیکل خالص [15,16]، و آلیاژهای Ni-Cr [17] با استفاده از دو ماده‌ی فعال‌کننده AlF₃ و NaF اتفاق می‌افتد، مدل سیتیکی لیوانی و گاویس را بهبود دادند و ثابت کردند که فشارهای جزئی هالیدهای آلومینیم نقش اصلی را در تعیین میزان آلومینیم مستقل شده به سطح نمونه‌ها دارند. افزون بر این، سیگل و کنداسامی [18,19]، با تحلیل ترمودینامیکی واکنش‌هایی که در فرایند آلومینیم دهی نیکل خالص با استفاده از ۴ درصد وزنی پودر آلومینیم و ماده‌ی فعال‌کننده AlF₃ رخ می‌دهند، نشان داده‌اند که فشارهای جزئی گازهای مختلف درون مجموعه بهشلت به مقدار ماده‌ی فعال‌کننده AlF₃ وابسته است، به طوری که اگر این ماده به اندازه‌ی کافی درون مخلوط پودری وجود داشته باشد، فاز متراکم شده‌ی آن درون مجموعه پایدار می‌شود و به‌این ترتیب، فشارهای جزئی مستقل از مقدار آن می‌شوند. افزون بر این، نسیری و وندرباکل [20,21]، ترمودینامیک فرایند آلومینیم دهی آهن خالص و چند نوع از فولاد را با استفاده از ماده‌ی فعال‌کننده NH₄Cl بررسی کردند. آن‌ها با محاسبه‌ی فشارهای گازی، تلاش کردند تا سیتیک افزایش وزن نمونه‌ها را با استفاده از این فشارهای جزئی تعیین نمایند. کانگ و رپ [22,23]، هم با در نظر قرار دادن ترمودینامیک فرایند آلومینیم دهی مخلوط پودری آهن خالص با استفاده از ماده‌ی فعال‌کننده NaCl درون محیط‌های گاز آرگون و مخلوط گازی آرگون همراه با ۵ درصد گاز هیدروژن در دمای ۹۰۰ °C، تأثیر گاز هیدروژن در این فرایند را بررسی کردند.

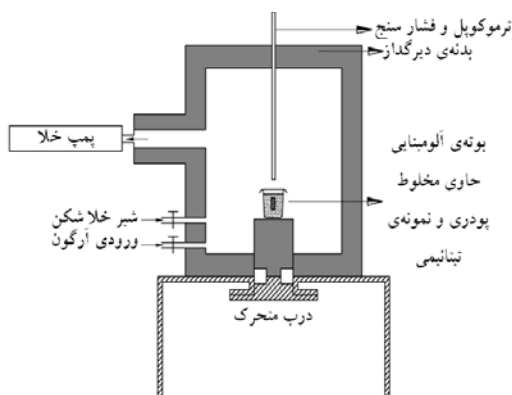
مقدمه

در طول چند دهه‌ی اخیر، تیتانیم و آلیاژهای آن (T_{Melting}^{Ti} = ۱۶۷۰°C) به عنوان جای‌گزین برای آلیاژهای نیکل (T_{Melting}^{Ti} = ۱۴۵۵ °C) مطرح شده‌اند، چرا که علاوه بر دمای ذوب بالاتر، به اندازه‌ی تقریبی ۴۵ درصد وزنی سبک‌تر از آلیاژهای نیکل می‌باشند [1,2]. با این وجود، به دلیل تشکیل لایه‌ی شکننده اکسید تیتانیم در دماهای بالاتر از ۱۰۰ °C، مقاومت به اکسایش این آلیاژها از مقاومت به اکسایش نیکل و آلیاژهای آن کم‌تر است [3-5]. به همین دلیل، فرایند آلومینیم دهی با استفاده از مخلوط پودری شامل ماده‌ی پرکننده (Al₂O₃)، ماده‌ی آلومینیم ده (پودر Al) و ماده‌ی فعال‌کننده NaF و یا Cl₄N، یکی از روش‌هایی است که امروزه برای بهبود مقاومت به اکسایش و خوردگی سطح آن‌ها به کار رفته است [3,6-8]. استفاده از این فرایند در محدوده دمایی ۸۰۰-۱۲۰۰ °C موجب تشکیل لایه‌های غنی از آلومینیم در سطح تیتانیم می‌شود. اگر این لایه در معرض محیط اکسیدان و خورنده قرار گیرد، لایه‌ای از اکسید آلومینیم به جای اکسید تیتانیم بر روی سطح آن‌ها تشکیل می‌شود. اول آن‌که این لایه نرم‌تر است و چسبندگی بهتری به سطح دارد و دوم آن‌که از نفوذ بیش‌تر اکسیژن و پیش‌روی پدیده‌ی اکسایش در نمونه‌ها جلوگیری می‌کند [9].

افزون بر پوشش دهی، از این فرایند برای سنتز اسفنج‌هایی از جنس ترکیب‌های بین فلزی نیکل-آلومینیم با استفاده از پیش‌اسفنجهای نیکل هم استفاده شده است [10-12].

در فرایند آلومینیم دهی مخلوط پودری، ابتدا تمام و یا بخشی از ماده‌ی فعال‌کننده به حالت گاز در می‌آید و سپس، با آلومینیم موجود درون مخلوط پودری واکنش می‌کند و هالیدهای فرار آلومینیم را تشکیل می‌دهد. این هالیدها، عامل عمداءی در انتقال آلومینیم به سطح قطعه (نمونه‌ی عادی یا اسفنج) می‌باشند [13,14]. لیوانی و گاویس [13]، اوّلین محققانی هستند که با بررسی ترمودینامیکی و سیتیکی این فرایند، به

طرح وارهای از مجموعه‌ای که برای آلمینیم‌دهی استفاده شد، در شکل (۱) نشان داده شده است. مخلوط پودری و نمونه‌های تیتانیمی پس از آماده‌سازی، درون بوته‌ی آلمینیایی جاسازی شدند و در آن با استفاده از سیمان آلمینیایی بسته شد. سپس، بوته درون کوره قرار داده شد. به منظور فراهم کردن یک محیط خنثی برای جلوگیری از اکسایش نمونه‌ها و مخلوط پودری، ابتدا محیط کوره تا فشار 3×10^{-3} Pa با استفاده از دو پمپ مکانیکی دورانی و فوژی روغنی از هوا تخلیه شد و پس از آن، کوره روشن شد. بخش گرمادهی کوره برای هر آزمون به گونه‌ای تنظیم شد تا دمای کوره در مدت زمان یک ساعت به دمای مورد نظر (1100°C) برسد. پس از آن، زمان در نظر گرفته شده برای هر آزمون (۰ تا ۳ ساعت) ثبت شد. افزون بر این، به منظور کاهش اثر خورندگی گازهای هالیدی بر دیواره و ایمنت‌های کوره، مقداری گاز آرگون نوع ۶ در مرحله‌ی پیش‌گرمایش و قبل از فعال شدن ماده‌ی فعال‌کننده به درون کوره تزریق شد، به گونه‌ای که فشار آن به $1/19$ اتمسفر رسید. این عمل برای انجام آزمایش با مواد فعال‌کننده‌ی NaF و NH_4Cl به ترتیب در دماهای 400°C و 350°C انجام شد. با توجه به این که آرگون گازی خنثی است و در هیچ‌یک از واکنش‌ها در عملیات آلمینیم‌دهی دخالتی ندارد، بر فشارهای جزئی اجزای گازی تأثیری نداشت و تنها موجب افزایش فشار کل مجموعه شد.



شکل ۱ طرح وارهای از مجموعه‌ی استفاده شده برای آلمینیم‌دهی نمونه‌های تیتانیمی

با بررسی تمام گزارش‌هایی که در زمینه‌ی ترمودینامیک فرایند مخلوط پودری، ملاحظه می‌شود که تا به حال گزارش خاصی در مورد تیتانیم ارائه نشده است و به همین دلیل در این پژوهش، بررسی ترمودینامیکی فرایند آلمینیم‌دهی تیتانیم خالص با استفاده از دو ماده‌ی فعال‌کننده‌ی NaF و NH_4Cl ، مورد توجه قرار گرفت. برای این منظور، واکنش‌هایی که درون یک مجموعه‌ی بسته هنگام عملیات آلمینیم‌دهی تیتانیم خالص اتفاق می‌افتد، از نقطه نظر ترمودینامیکی تحلیل شده‌اند. افرون بر این، فشارهای جزئی گازهای مختلف درون مجموعه هنگام استفاده از این ماده‌ی فعال‌کننده با به‌کارگیری یک مدل ترمودینامیکی-شیمیایی محاسبه شدند. هم‌چنین، تلاش شده است تا نتایج تجربی اندازه‌گیری شده از جمله تغییرات وزن و ضخامت‌های لایه‌ی TiAl_3 ، با استفاده از این فشارهای جزئی توجیه شوند.

مواد و روش انجام تحقیق

در این تحقیق، از نمونه‌های تیتانیم با خلوص ۹۹/۹۹ درصد وزنی با ابعاد $8 \times 8 \times 10$ mm استفاده شد. این نمونه‌ها پس از برش‌کاری، به‌وسیله‌ی کاغذسنبله‌های ۴۰۰، ۶۰۰ و ۱۰۰۰ سنباده‌زنی شدند و سپس، در آستون شسته شدند و در نهایت، به مدت ۱۵ دقیقه در تمیز کننده‌ی ماورای صوت قرار داده شدند. نمونه‌ها قبل از استفاده، توسط ترازویی با دقت ± 0.001 گرم وزن شدند و ابعاد آن‌ها هم به‌کمک کولیس اندازه‌گیری شد.

به منظور انجام فرایند آلمینیم‌دهی، از ۱۰۰ گرم مخلوط پودری شامل ۸۵ درصد وزنی پودر آلمینیا، ۱۰ درصد وزنی پودر آلمینیم (با خلوص ۹۹ درصد وزنی) و ۵ درصد وزنی ماده‌ی فعال‌کننده‌ی NaF یا NH_4Cl استفاده شد. مخلوط پودر پس از وزن شدن اجزای آن، به مدت زمان چهار ساعت در آسیای گلوله‌ای همگن شد.

به درون نمونه‌ی تیتانیم نفوذ کرده است و سپس، با آن واکنش داده و منجر به تشکیل لایه‌های مختلف آلومینایدی شده است.

همان‌گونه که در تصویرهای میکروسکوپ الکترونی رویشی با استفاده از الکترون‌های برگشتی شکل (۲-ب) و (۲-ت) مشاهده می‌شود، لایه‌ی α_2 - Ti_3Al قابل مشاهده نیست، ولی تشکیل و حضور آن در نتایج مربوط به آزمون EPMA در همین شکل، ثابت می‌شود. این پدیده به دلیل آن است که محلول جامد آلفا که با لایه‌ی α_2 - Ti_3Al در دمای $1100^{\circ}C$ در تماس و تعادل است، ۲ درصد اتمی کمتر آلمینیم دارد (بر اساس نمودار تعادلی Ti-Al در این دما، [24]). این مقدار برای ایجاد تمایز در تصویرهای میکروسکوپ الکترونی رویشی کافی نیست. البته ذکر این نکته لازم است که اگر دمای عملیات آلمینیم دهی کاهش یابد و اختلاف تغییرات غلظت تعادلی زیادتر شود، لایه‌ی α_2 - Ti_3Al نیز نمایان می‌شود. این موضوع برای نمونه‌ای که در دمای $950^{\circ}C$ به مدت ۶ ساعت در مخلوط پودری حاوی NaF آلمینیم دهی شده است، در شکل (۳) نشان داده شده است (اختلاف غلظت اتمی آلمینیم بین Ti_3Al و محلول جامد آلفا در دمای $950^{\circ}C$ برابر با ۶ درصد اتمی است [24]).

در تصویرهای شکل‌های (۲) و (۳) ملاحظه می‌شود که ضخامت لایه‌های $TiAl_2$, $TiAl_3$, γ - $TiAl$ و α_2 - $TiAl$ در مقایسه با لایه‌ی $TiAl_3$ ناچیز و در عین حال، بسیار کمتر است. این پدیده نیز به دلیل آن است که ضریب بین نفوذی ($D = X_{Ti} \cdot D_{Al} + X_{Al} \cdot D_{Ti}$) در این لایه‌ها به مراتب کمتر از لایه‌ی $TiAl_3$ می‌باشد. به عنوان مثال، محاسبه‌ی ضریب‌های نفوذ [۲۵]، نشان داده است که ضریب بین نفوذی در $TiAl_3$ در دمای $1100^{\circ}C$ تقریباً 310 برابر بزرگ‌تر از ضریب بین نفوذی در α_2 - Ti_3Al و 570 برابر بزرگ‌تر از ضریب بین نفوذی در γ - $TiAl$ است. از طرف دیگر، با توجه به این که نسبت ضخامت دو لایه از جنس ترکیب بین‌فلزی در حال رشد با نسبت ضریب‌های نفوذ اتمی در آن‌ها متناسب است [۲۶]، ضخامت این لایه‌ها در مقایسه با لایه‌ی $TiAl_3$ کمتر رشد می‌کند.

پس از شروع هر آزمون، فشار کل مجموعه در فاصله‌های زمانی ۱۵ دقیقه توسط فشارسنج ثبت شد. پس از پایان هر آزمون، کوره خاموش می‌شد و اجازه داده می‌شد تا دمای کوره به وسیله‌ی گردش آب تا دمای محیط سرد شود.

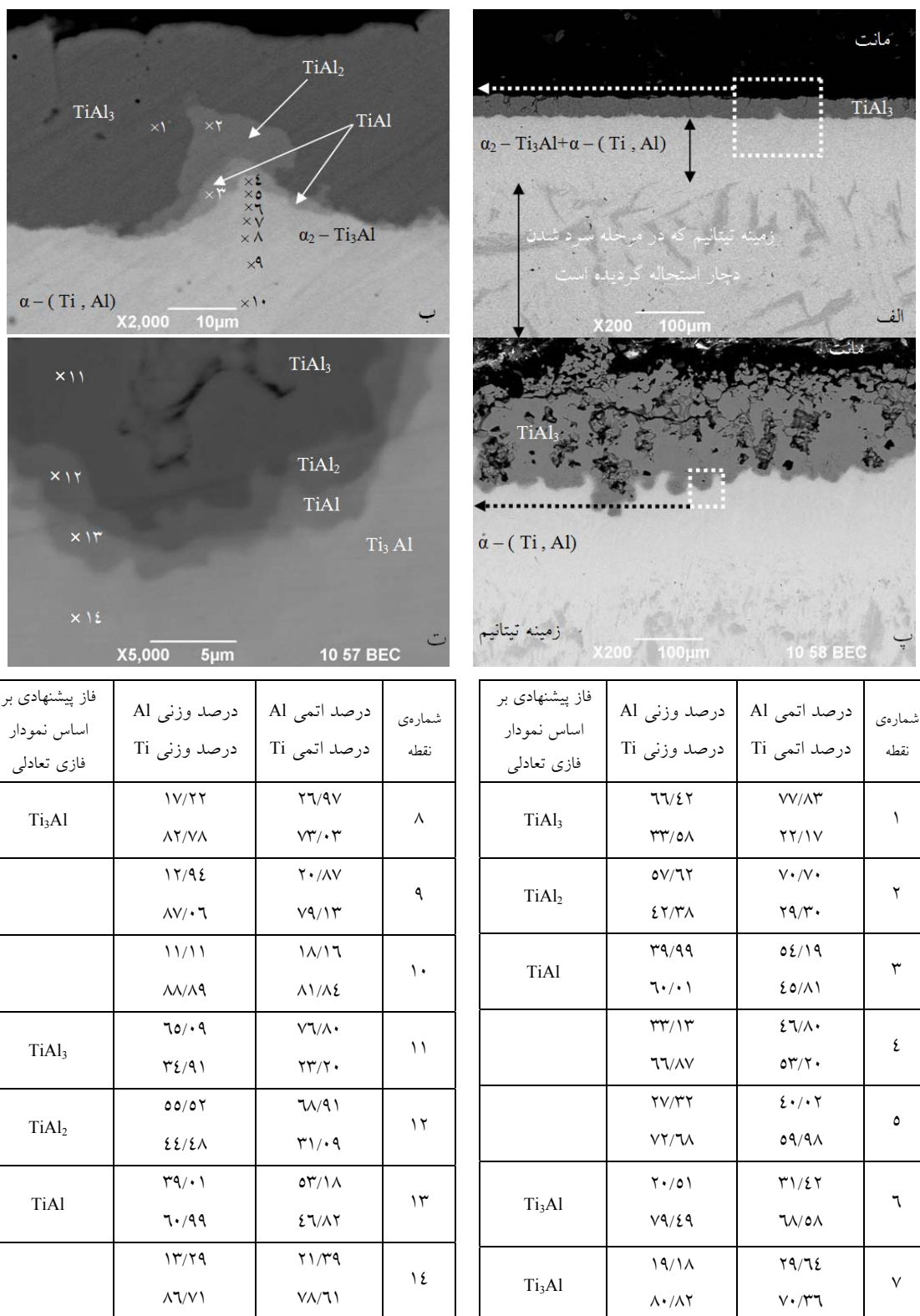
وزن نمونه‌ها پس از خروج از کوره به وسیله‌ی ترازو به دقت اندازه‌گیری شد. ضخامت لایه‌ی آلمینایدی، با استفاده از تصویرهای سطح مقطع میکروسکوپی نمونه‌ها و به کمک نرم‌افزار تحلیل Clemex Vision (TM) Version 3.5.025 تصوری گیری شد. افزون بر این، برای تشخیص فازی اندازه‌گیری شد. افزون بر این، برای تشخیص فازی لایه‌ی پوشش، آزمون پراش پرتوی ایکس (دستگاه مدل فیلیپس X'pert Pro Pananalytical) انجام شد. برای تحلیل عنصری لایه‌ی پوشش، از دستگاه میکرو آنالیزور الکترون پویشی (EMPA) مدل JEOL استفاده شد.

ثابت‌های تعادل و دیگر داده‌های ترمودینامیکی مورد نیاز برای انجام تحلیل‌های ترمودینامیکی و محاسبه‌ی فشارهای جزئی، با استفاده از نرم‌افزار HSC Chemistry Version 5.11 استخراج شد.

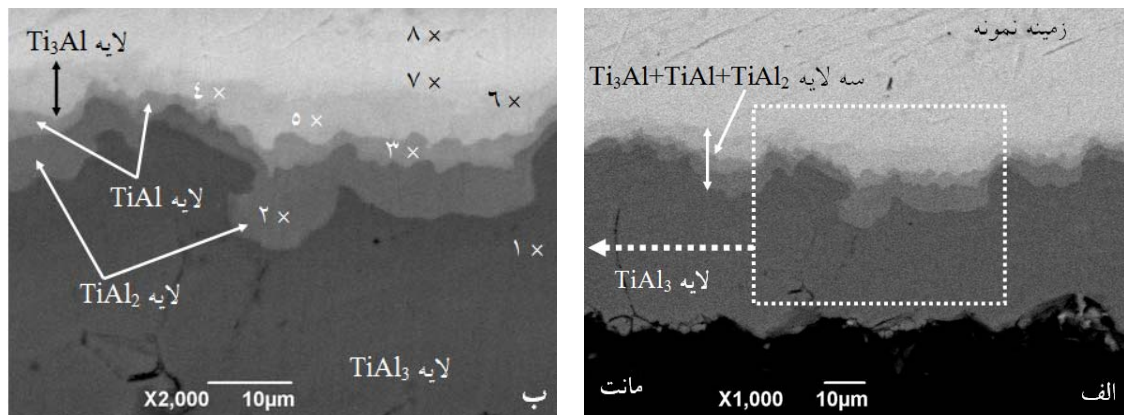
نتایج و بحث

بررسی‌های ریزساختاری

نتایج نشان می‌دهند که بر روی تمام نمونه‌هایی که با استفاده از هر دو ماده‌ی فعال‌کننده‌ی NH_4Cl و NaF آلمینیم دهی شده‌اند، به ترتیب لایه‌هایی از جنس α_2 - Ti_3Al , $TiAl_2$, $TiAl_3$ و محلول جامد آلفا تشکیل شده است. به عنوان مثال، ریزساختار نمونه‌های تیتانیم که به مدت زمان ۱ ساعت در دمای $1100^{\circ}C$ آلمینیم دهی شده‌اند، در شکل (۲) نشان داده شده است. نتایج نشان می‌دهند که این لایه‌ها حتی در زمان صفر (بلافاصله پس از مرحله‌ی گرمایش در کوره تا دمای $1100^{\circ}C$) نیز تشکیل شده‌اند. این پدیده این نکته را تأیید می‌کند که بلافاصله پس از فعال شدن ماده‌ی فعال‌کننده در محدوده دمایی $350^{\circ}C$ تا $450^{\circ}C$ ، واکنش‌های تشکیل هالیدهای گازی آلمینیم شروع شده‌اند و این هالیدها، آلمینیم را به سطح قطعه منتقل کرده‌اند. در نتیجه، آلمینیم آزاد شده در سطح



شکل ۲ تصویرهای میکروسکوپ الکترونی روبشی به همراه نتایج آزمون EPMA مربوط به سطح مقطع نمونه‌های آلومینیم‌دهی شده در دمای 1100°C به مدت ۱ ساعت در مخلوط پودری شامل NaF (الف) و (ب) و NH₄Cl (پ) و (ت)



فاز پیشنهادی بر اساس نمودار فازی تعادلی	درصد وزنی Al درصد وزنی Ti	درصد اتمی Al درصد اتمی Ti	شماره نقطه
Ti ₃ Al	۱۷/۱۵ ۸۲/۸۵	۲۶/۸۷ ۷۳/۱۳	۵
محلول جامد آلفا و Ti ₃ Al	۱۳/۵۷ ۸۶/۴۳	۲۱/۸۰ ۷۸/۲۰	۶
محلول جامد آلفا و Ti ₃ Al	۹/۹۸ ۹۰/۰۲	۱۶/۴۵ ۸۳/۵۵	۷
محلول جامد آلفا	۳/۹۵ ۹۶/۰۵	۶/۸۰ ۹۳/۲۰	۸

فاز پیشنهادی بر اساس نمودار فازی تعادلی	درصد وزنی Al درصد وزنی Ti	درصد اتمی Al درصد اتمی Ti	شماره نقطه
TiAl ₃	۶۵/۱۳ ۳۴/۸۷	۷۶/۸۳ ۲۳/۱۷	۱
TiAl ₂	۵۵/۱۳ ۴۴/۸۷	۶۸/۵۷ ۳۱/۴۳	۲
TiAl	۲۸/۵۴ ۶۱/۴۶	۵۲/۶۸ ۴۷/۳۲	۳
Ti ₃ Al	۱۷/۶۴ ۸۲/۳۶	۲۷/۵۵ ۷۲/۴۵	۴

شکل ۳ تصویرهای میکروسکوپ الکترونی روبشی به همراه نتایج آزمون EPMA مربوط به سطح مقطع نمونه‌های آلمینیم دهی شده در دمای ۹۵۰ °C به مدت ۶ ساعت در مخلوط پودری شامل NaF

دمای ۱۱۰۰ °C پوشش داده شده بود، به ترتیب برابر با ۱۳۷ و ۱۲۲ میکرومتر به دست آمد، در حالی که ضخامت این لایه‌ها در شرایط مشابه برای مادهٔ فعال کنندهٔ NaF، برابر با ۲۸ و ۸۴ میکرومتر بود.

تغییرات وزن نمونه‌های آلمینیم دهی شده در دمای ۱۱۰۰ °C در مدت زمان یکسان نیز همانند نتایج حاصل از ضخامت سنجی لایهٔ TiAl₃ در این نمونه‌ها می‌باشد. این به معنی آن است که افزایش وزن نمونه‌های تیتانیم پس از عملیات آلمینیم دهی در حالتی که از مادهٔ فعال کنندهٔ NH₄Cl استفاده شد، بیش از حالتی است که از مادهٔ فعال کنندهٔ NaF استفاده شد، بیش از

تغییرات ضخامت لایه‌های γ -TiAl و α_2 -Ti₃Al به دلیل کوچکی و تغییرات زیاد آنها در نقاط مختلف نمونه، قابل اندازه‌گیری نیست، ولی مجموع ضخامت آنها بین ۵ تا ۱۵ میکرومتر متغیر است. در مقابل، ضخامت لایه‌های TiAl₃ و محلول جامد آلفا قابل اندازه‌گیری است. نتایج اندازه‌گیری‌ها نشان دادند که ضخامت میانگین این لایه‌ها در حالتی که از مادهٔ فعال کنندهٔ NH₄Cl استفاده شد، بیش از حالتی است که از NaF به عنوان مادهٔ فعال کننده استفاده شد. به عنوان مثال، ضخامت این لایه‌ها برای نمونه‌ای که در مخلوط پودری حاوی NH₄Cl به مدت ۱ ساعت در

نیز بیش از حالت مربوط به NaF باشد.

جدول ۱ فشارهای جزئی گازهای مختلف درون مجموعه در دمای 1100°C که با مدل ترمودینامیکی - شیمیابی محاسبه شده‌اند

فشار اجزای گازی (atm.)	
مریبوط به NH_4Cl	مریبوط به NaF
$P_{\text{AlCl(g)}}$	$1/10 \times 10^{-1}$
$P_{\text{AlCl}_2(\text{g})}$	$5/99 \times 10^{-4}$
$P_{\text{AlCl}_3(\text{g})}$	$3/27 \times 10^{-2}$
$P_{\text{Al}_2\text{Cl}_6(\text{g})}$	$2/83 \times 10^{-6}$
$P_{\text{TiCl(g)}}$	$3/17 \times 10^{-12}$
$P_{\text{TiCl}_2(\text{g})}$	$2/14 \times 10^{-8}$
$P_{\text{TiCl}_3(\text{g})}$	$1/95 \times 10^{-7}$
$P_{\text{TiCl}_4(\text{g})}$	$9/36 \times 10^{-11}$
$P_{\text{HCl(g)}}$	$7/12 \times 10^{-2}$
$P_{\text{H}_2(\text{g})}$	$4/189 \times 10^{-1}$
$P_{\text{Cl}_2(\text{g})}$	$1/27 \times 10^{-14}$
$P_{\text{NH}_3(\text{g})}$	$1/10 \times 10^{-11}$
$P_{\text{N}_2(\text{g})}$	$1/71 \times 10^{-12}$
$P_{\text{Al(g)}}$	$1/29 \times 10^{-7}$
$P_{\text{Ti(g)}}$	$3/87 \times 10^{-10}$
$P_{\text{Ar(g)}}$	$4/33 \times 10^{-1}$
$\sum P_i$	$9/95 \times 10^{-1}$
	$\sum P_i$
	$5/78 \times 10^{-1}$

مدل ترمودینامیکی - شیمیابی

استفاده از NaF برای محاسبه فشارهای اجزای گازی، می‌باید تمام واکنش‌های مستقلی را که درون مجموعه اتفاق افتاده و به تعادل می‌رسند، در نظر گرفت. برای رسیدن به این واکنش‌ها، به صورت زیر عمل می‌شود. هنگامی که به مخلوط پودری گرما داده می‌شود، ابتدا NaF به بخار تبدیل می‌شود (واکنش (۱)). سپس، این بخار با پودر آلمینیم موجود در مخلوط پودری تماس برقرار می‌کند و با آن واکنش می‌دهد و به این ترتیب، فلوریدهای مختلف آلمینیم تشکیل می‌شوند (واکنش‌های (۲) تا (۵)).

شده است. به عنوان مثال، افزایش وزن نمونه تیتانیم آلمینیم‌دهی شده به مدت ۱ ساعت در دمای 1100°C با استفاده از NH_4Cl ، برابر با $27/55 \text{ mg/cm}^2$ بود و این مقدار بیشتر از حالتی است که از NaF به عنوان NaF استفاده شده است. فعال‌کننده ($10/60 \text{ mg/cm}^2$) استفاده شده است.

به منظور پی بردن به علت افزایش بیشتر وزن نمونه‌های تیتانیم و ضخیم‌تر بودن لایه‌ی TiAl_3 به هنگام استفاده از NH_4Cl نسبت به حالتی که از NaF استفاده شده است، می‌باید اصول ترمودینامیکی مربوط به واکنش‌هایی که درون دستگاه اتفاق می‌افتد، مورد توجه قرار گیرند و فشارهای جزئی گازهای حاوی آلمینیم درون آن محاسبه شوند. فشارهای جزئی تمام اجزای گازی با استفاده از یک مدل ترمودینامیکی-شیمیابی که جزئیات آن در قسمت بعد ارائه شده است، در دمای 1100°C محاسبه شد و نتایج حاصل در جدول (۱) آورده شده‌اند. نتایج حاصل از به کارگیری این مدل نشان می‌دهند که به هنگام استفاده از ماده‌ی فعال‌کننده NH_4Cl تمام این ماده تجزیه می‌شود و فشارهای جزئی بیشتری از کلریدهای آلمینیم را تولید می‌کند. اما، این در حالی است که در مورد ماده‌ی فعال‌کننده NaF ، فقط 19 درصد از آن وارد عمل می‌شود و فلوریدهای آلمینیم را تولید می‌کند. همان‌گونه که در نتایج ارائه شده در جدول (۱) ملاحظه می‌شود، فشارهای جزئی $\text{Cl}, \text{AlCl}_3, \text{AlCl}_2, \text{AlCl}$ ، $1/28$ و Al_2Cl_6 درون مجموعه به ترتیب به میزان $4820, 239, 6610$ برابر فشارهای جزئی مربوط به NaF ، AlF_3 ، AlF_2 و Al_2F_6 به هنگام استفاده از NaF می‌باشد. در نتیجه، مقدار آلمینیمی که توسط کلریدهای مختلف آلمینیم برای نمونه‌های تیتانیمی مهیا می‌شود، بیش از مقداری است که فلوریدهای آلمینیم به هنگام استفاده از NaF برای نمونه‌های تیتانیمی فراهم می‌کنند. از طرف دیگر، فشارهای جزئی بالاتر گازهای حاوی آلمینیم در اطراف نمونه‌های تیتانیم به هنگام استفاده از ماده‌ی فعال‌کننده NH_4Cl موجب می‌شود تا تخلخل شکل گرفته در لایه‌ی TiAl_3

معادله‌های حاصل از این شرایط در نظر گرفته شوند، ۱۴ معادله با ۱۵ فشار جزئی مجهول به دست می‌آیند. برای حل این دستگاه معادلات، به معادله‌ی دیگری نیاز است. این معادله را می‌توان از قوانین بقای جرم سدیم (رابطه‌ی (۱-۱۵)) و فلور (رابطه‌ی (۲-۱۵)) استخراج نمود.

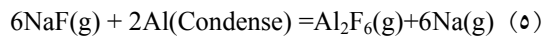
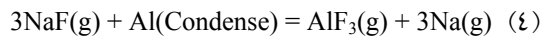
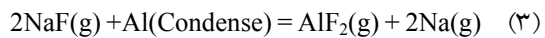
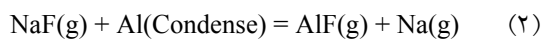
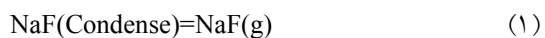
$$\begin{aligned} M_{\text{Na}}^0 &= M_{\text{NaF}}^0 = M_{\text{NaF(Condense)}} + M_{\text{NaF(g)}} + M_{\text{Na(g)}} + \\ &2M_{\text{Na}_2\text{(g)}} + 2M_{\text{Na}_2\text{F}_2\text{(g)}} \end{aligned} \quad (1-15)$$

در این رابطه، M_{NaF}^0 تعداد مول سدیم اولیه، $M_{\text{NaF(Condense)}}$ تعداد مول NaF اولیه، $M_{\text{NaF(g)}}$ تعداد مول باقیمانده NaF به صورت فاز متراکم بعد از تشکیل تمام گازها و $M_{\text{i(g)}}$ تعداد مول جزء گازی i می‌باشد. این رابطه، به قانون بقای جرم سدیم مربوط است و به این معناست که سدیم اولیه که مقدار آن با ماده‌ی فعال کننده NaF اولیه یکی است، درون مجموعه با اجزای مختلف وارد واکنش‌ها می‌شود. با توجه به این که مجموعه بسته است، مقدار آن می‌باید با تعداد مول سدیم موجود در NaF باقیمانده به صورت متراکم به اضافه‌ی تعداد مول‌های سدیم موجود در گازهای Na_2 و Na_2F_2 برابر باشد. با به کارگیری منطقی مشابه، می‌توان به رابطه‌ی مربوط به قانون بقای جرم عنصر فلور (رابطه‌ی (۲-۱۵)) رسید:

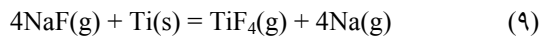
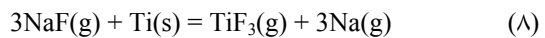
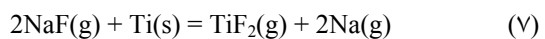
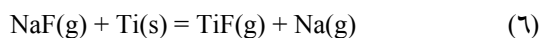
$$\begin{aligned} M_{\text{F}}^0 &= M_{\text{NaF}}^0 = M_{\text{NaF(Condense)}} + M_{\text{NaF(g)}} + 2M_{\text{Na}_2\text{F}_2\text{(g)}} + 2M_{\text{F}_2\text{(g)}} + \\ &M_{\text{AlF(g)}} + 2M_{\text{AlF}_2\text{(g)}} + 3M_{\text{AlF}_3\text{(g)}} + 6M_{\text{Al}_2\text{F}_6\text{(g)}} + M_{\text{TiF(g)}} + \\ &2M_{\text{TiF}_2\text{(g)}} + 3M_{\text{TiF}_3\text{(g)}} + M_{\text{TiF}_4\text{(g)}} \end{aligned} \quad (2-15)$$

حال، با مساوی قرار دادن بخش‌های سوم رابطه‌های (۱-۱۵) و (۲-۱۵)، رابطه‌ی (۳-۱۵) نتیجه می‌شود:

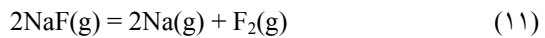
$$\begin{aligned} M_{\text{Na(g)}} + 2M_{\text{Na}_2\text{(g)}} &= 2M_{\text{F}_2\text{(g)}} + M_{\text{AlF(g)}} + 2M_{\text{AlF}_2\text{(g)}} + \\ &3M_{\text{AlF}_3\text{(g)}} + 6M_{\text{Al}_2\text{F}_6\text{(g)}} + M_{\text{TiF(g)}} + 2M_{\text{TiF}_2\text{(g)}} + \\ &3M_{\text{TiF}_3\text{(g)}} + M_{\text{TiF}_4\text{(g)}} \end{aligned} \quad (3-15)$$



از طرف دیگر، بخار NaF با نمونه‌های تیتانیم هم در تماس است و بنابراین، به ناجار واکنش بین آن‌ها نیز اتفاق می‌افتد (واکنش‌های (۶) تا (۹)).



واکنش‌های مستقل دیگری که ممکن است بین گازهای به وجود آمده در مجموعه رخ دهنده، واکنش‌های مربوط به گازهای NaF و Na هستند. این واکنش‌ها مطابق با واکنش‌های (۱۰) تا (۱۲) انجام می‌شوند:



افرون بر این، دو واکنش دیگری که در این مجموعه رخ می‌دهند، مربوط به تغییر آلمینیم (واکنش (۱۳)) و تضعید نمونه‌ی تیتانیم (واکنش (۱۴)) هستند.



با توجه به این‌که دما در فرایند آلمینیم دهی بسیار بالاست (800°C تا 1200°C) و دستگاه هم بسته می‌باشد، واکنش‌های مذکور در مدت زمان کوتاهی به تعادل می‌رسند. به همین دلیل، برای محاسبه‌ی فشارهای اجزای گازی درون مجموعه، از حالت تعادل برای این واکنش‌ها استفاده شد (جدول (۲)). حال اگر

جدول ۲ دستگاه معادلات شامل فشارهای جزئی در مجموعه آلمینیمدهی در حالتی که از

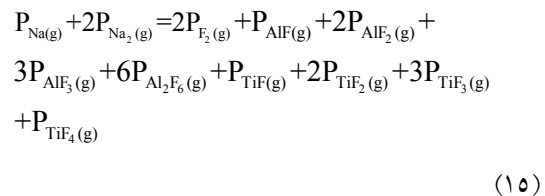
ماده‌ی فعال‌کننده‌ی NaF استفاده شد

شماره	واکنش	شرط تعادل	بازنویسی شرط تعادل
۱	$\text{NaF}(\text{Condense}) = \text{NaF(g)}$	$K_{P(1)} = \frac{P_{\text{NaF(g)}}}{a_{\text{NaF}}}$	$P_{\text{NaF(g)}} = K_{P(1)} \cdot a_{\text{NaF}}$
۲	$\text{NaF(g)} + \text{Al}(\text{Condense}) = \text{AlF(g)} + \text{Na(g)}$	$K_{P(2)} = \frac{P_{\text{AlF(g)}} \cdot P_{\text{Na(g)}}}{P_{\text{NaF(g)}} \cdot a_{\text{Al}}}$	$P_{\text{AlF(g)}} = \frac{K_{P(2)} \cdot P_{\text{NaF(g)}} \cdot a_{\text{Al}}}{P_{\text{Na(g)}}}$
۳	$2\text{NaF(g)} + \text{Al}(\text{Condense}) = \text{AlF}_2(\text{g}) + 2\text{Na(g)}$	$K_{P(3)} = \frac{P_{\text{AlF}_2(\text{g})} \cdot P_{\text{Na(g)}}^2}{P_{\text{NaF(g)}}^2 \cdot a_{\text{Al}}}$	$P_{\text{AlF}_2(\text{g})} = \frac{K_{P(3)} \cdot P_{\text{NaF(g)}}^2 \cdot a_{\text{Al}}}{P_{\text{Na(g)}}^2}$
۴	$3\text{NaF(g)} + \text{Al}(\text{Condense}) = \text{AlF}_3(\text{g}) + 3\text{Na(g)}$	$K_{P(4)} = \frac{P_{\text{AlF}_3(\text{g})} \cdot P_{\text{Na(g)}}^3}{P_{\text{NaF(g)}}^3 \cdot a_{\text{Al}}}$	$P_{\text{AlF}_3(\text{g})} = \frac{K_{P(4)} \cdot P_{\text{NaF(g)}}^3 \cdot a_{\text{Al}}}{P_{\text{Na(g)}}^3}$
۵	$6\text{NaF(g)} + 2\text{Al}(\text{Condense}) = \text{Al}_2\text{F}_6(\text{g}) + 6\text{Na(g)}$	$K_{P(5)} = \frac{P_{\text{Al}_2\text{F}_6(\text{g})} \cdot P_{\text{Na(g)}}^6}{P_{\text{NaF(g)}}^6 \cdot a_{\text{Al}}^2}$	$P_{\text{Al}_2\text{F}_6(\text{g})} = \frac{K_{P(5)} \cdot P_{\text{NaF(g)}}^6 \cdot a_{\text{Al}}^2}{P_{\text{Na(g)}}^6}$
۶	$\text{NaF(g)} + \text{Ti(s)} = \text{TiF(g)} + \text{Na(g)}$	$K_{P(6)} = \frac{P_{\text{TiF(g)}} \cdot P_{\text{Na(g)}}}{P_{\text{NaF(g)}} \cdot a_{\text{Ti}}}$	$P_{\text{TiF(g)}} = \frac{K_{P(6)} \cdot P_{\text{NaF(g)}} \cdot a_{\text{Ti}}}{P_{\text{Na(g)}}}$
۷	$2\text{NaF(g)} + \text{Ti(s)} = \text{TiF}_2(\text{g}) + 2\text{Na(g)}$	$K_{P(7)} = \frac{P_{\text{TiF}_2(\text{g})} \cdot P_{\text{Na(g)}}^2}{P_{\text{NaF(g)}}^2 \cdot a_{\text{Ti}}}$	$P_{\text{TiF}_2(\text{g})} = \frac{K_{P(7)} \cdot P_{\text{NaF(g)}}^2 \cdot a_{\text{Ti}}}{P_{\text{Na(g)}}^2}$
۸	$3\text{NaF(g)} + \text{Ti(s)} = \text{TiF}_3(\text{g}) + 3\text{Na(g)}$	$K_{P(8)} = \frac{P_{\text{TiF}_3(\text{g})} \cdot P_{\text{Na(g)}}^3}{P_{\text{NaF(g)}}^3 \cdot a_{\text{Ti}}}$	$P_{\text{TiF}_3(\text{g})} = \frac{K_{P(8)} \cdot P_{\text{NaF(g)}}^3 \cdot a_{\text{Ti}}}{P_{\text{Na(g)}}^3}$
۹	$4\text{NaF(g)} + \text{Ti(s)} = \text{TiF}_4(\text{g}) + 4\text{Na(g)}$	$K_{P(9)} = \frac{P_{\text{TiF}_4(\text{g})} \cdot P_{\text{Na(g)}}^4}{P_{\text{NaF(g)}}^4 \cdot a_{\text{Ti}}}$	$P_{\text{TiF}_4(\text{g})} = \frac{K_{P(9)} \cdot P_{\text{NaF(g)}}^4 \cdot a_{\text{Ti}}}{P_{\text{Na(g)}}^4}$
۱۰	$2\text{NaF(g)} = \text{Na}_2\text{F}_2(\text{g})$	$K_{P(10)} = \frac{P_{\text{Na}_2\text{F}_2(\text{g})}}{P_{\text{NaF(g)}}^2}$	$P_{\text{Na}_2\text{F}_2(\text{g})} = K_{P(10)} \cdot P_{\text{NaF(g)}}^2$
۱۱	$2\text{NaF(g)} = 2\text{Na(g)} + \text{F}_2(\text{g})$	$K_{P(11)} = \frac{P_{\text{Na(g)}}^2 \cdot P_{\text{F}_2(\text{g})}}{P_{\text{NaF(g)}}^2}$	$P_{\text{F}_2(\text{g})} = \frac{K_{P(11)} \cdot P_{\text{NaF(g)}}^2}{P_{\text{Na(g)}}^2}$
۱۲	$2\text{Na(g)} = \text{Na}_2(\text{g})$	$K_{P(12)} = \frac{P_{\text{Na}_2(\text{g})}}{P_{\text{Na(g)}}^2}$	$P_{\text{Na}_2(\text{g})} = K_{P(12)} \cdot P_{\text{Na(g)}}^2$
۱۳	$\text{Al}(\text{Condense}) = \text{Al(g)}$	$K_{P(13)} = \frac{P_{\text{Al(g)}}}{a_{\text{Al}}}$	$P_{\text{Al(g)}} = K_{P(13)} \cdot a_{\text{Al}}$
۱۴	$\text{Ti(s)} = \text{Ti(g)}$	$K_{P(14)} = \frac{P_{\text{Ti(g)}}}{a_{\text{Ti}}}$	$P_{\text{Ti(g)}} = K_{P(14)} \cdot a_{\text{Ti}}$
۱۵	$P_{\text{Na(g)}} + 2P_{\text{Na}_2(\text{g})} = 2P_{\text{F}_2(\text{g})} + P_{\text{AlF(g)}} + 2P_{\text{AlF}_2(\text{g})} + 3P_{\text{AlF}_3(\text{g})} + 6P_{\text{Al}_2\text{F}_6(\text{g})} + P_{\text{TiF(g)}} + 2P_{\text{TiF}_2(\text{g})} + 3P_{\text{TiF}_3(\text{g})} + P_{\text{TiF}_4(\text{g})}$		

به صورت توابعی از $P_{Na(g)}$ به دست می‌آیند. با جایگذاری این فشارها در معادله (۱۵) در جدول (۲)، معادله‌ای حاصل می‌شود که $P_{Na(g)}$ تنها متغیر آن است. این معادله را می‌توان به روش عددی تصنیف یا با روش‌های عددی دیگر حل کرد. با به دست آمدن $P_{Na(g)}$ ، بقیه فشارهای جزئی نیز محاسبه می‌شوند. نتیجه‌ی حل دستگاه معادلات جدول (۲) در دمای $1100^{\circ}C$ ، در جدول (۱) ارائه شده است. مجموع فشارهای اجزای گازی برابر با $5/78 \times 10^{-1}$ اتمسفر است. فشار کل واقعی اندازه‌گیری شده برابر با $5/92 \times 10^{-1}$ اتمسفر بود که $2/3$ درصد با مقدار محاسبه شده تفاوت دارد. بنابراین، با توجه به اختلاف ناچیز فشارهای کل، می‌توان نتیجه گرفت که مدل ترمودینامیکی در محاسبه فشارهای جزئی صادق است.

ماده_i فعال کننده_i NH_4Cl اگر تحلیل مشابهی برای
حالتی که از ماده_i فعال کننده_i NH_4Cl استفاده
می شود انجام گیرد، معادله های جدول (۳) به دست
می آیند. جزئیات بیشتر در مورد چگونگی استنتاج این
رابطه ها، در مراجع [۲۵] و [۲۸] ارائه شده اند. با به کار
بردن روش مشابه با روش حل این دستگاه معادلات،
فشارهای جرئی گازهای مختلف در مجموعه_i
آلومینیم دهی با استفاده از این ماده_i فعال کننده محاسبه
می شود. نتایج این محاسبات، در جدول (۱) برای دمای
 $1100^{\circ}C$ نشان داده شده اند. مجموع فشارهای اجزای
گازی برابر با $10^{10} \times 9.5 / 9$ اتمسفر است. فشار کل
واقعی اندازه گیری شده برابر با $atm = 10^{10} \times 10^{10}$ بود که
۱/۰۴ د. صد با مقدار محاسبه شده تفاوت دارد.

اگر برای اجزای گازی رفتار کامل در نظر گرفته شود (یعنی $P_i \propto M_i^{\alpha}$ باشد)، رابطه‌ی (۱۵-۳) را می‌توان به شکل رابطه‌ی (۱۵) بازنویسی کرد. این رابطه، فشارهای اجزای گازی را درون مجموعه‌ی بسته بهم مرتبط می‌کند و افزون بر این، به عنوان معادله‌ی مورد نیاز برای حل دستگاه معادلات شامل فشارهای جزئی استفاده می‌شود.



به منظور حل دستگاه معادلات در جدول (۲)، به مقادیر ثابت تعادل و اکتیویتهای اجزای متراکم شده نیاز است. بنابراین، مقادیر ثابت تعادل در دمای 1100°C با استفاده از نرم‌افزار شیمیایی اچ اس سی ۵.۱۱ (HSC Chemistry) به دست آمد. افروزن بر این، اکتیویتهای آلومینیم، NH_4Cl و NaF با توجه به خلوص آزمایشگاهی بالای آن‌ها، برابر با ۱ در نظر گرفته شد. هم‌چنین، اکتیویتهای تیتانیم برای سطح نمونه‌های تیتانیم در دمای 1100°C ، با استفاده از داده‌های موجود در مرجع [۲۷] و رابطه‌ی گیبس-دوهِم، برابر با 4×10^{-1} محاسبه شد [۲۵]. از طرف دیگر، با توجه به این‌که دستگاه معادلات فوق‌الذکر دارای درجه‌ی غیر خطی بالایی است، استفاده از روش‌ها و الگوریتم‌های عددی معمول برای حل این دستگاه بی‌نتیجه است و جواب به دست آمده هم‌گرا نخواهد شد. بنابراین، برای حل این دستگاه معادلات از یک روش تحلیلی- عددی استفاده شد. برای این منظور، معادله‌های (۱) تا (۱۴) به صورت ستون چهارم جدول (۲) بازنویسی شدند. با این بازنویسی، از یک طرف فشارهای جزئی ($P_{\text{Al(g)}}$ ، $P_{\text{NaF(g)}}$ و $P_{\text{Ti(g)}}$) از معادله‌های (۱)، (۱۳) و (۱۴) محاسبه می‌شود و از طرف دیگر، فشارهای جزئی ($P_{\text{Al-E(g)}}$ ، $P_{\text{AlF(g)}}$ ، $P_{\text{AlF-E(g)}}$ و $P_{\text{AlF-Ti(g)}}$) از معادله‌های (۱)، (۱۳) و (۱۴) محاسبه می‌شود.

جدول ۳ دستگاه معادلات شامل فشارهای جزئی در مجموعه آلمینیمدهی در حالتی

که از ماده‌ی فعال‌کننده NH₄Cl استفاده شد.

شماره	واکنش	شرط تعادل	بازنویسی شرط تعادل
	NH ₄ Cl(Condense) = NH ₃ (g) + HCl(g)	با توجه به این که ۱۰ گرم ماده‌ی فعال‌کننده در مجموعه وجود دارد، این واکنش به تعادل نمی‌رسد و تمام NH ₄ Cl تجزیه می‌شود.	
۱	HCl(g) + Al(Condense) = AlCl(g) + 0.5H ₂ (g)	$K_{P(1)} = \frac{P_{AlCl(g)} \cdot P_{H_2(g)}^{0.5}}{P_{HCl(g)} \cdot a_{Al}}$	$P_{AlCl(g)} = \frac{K_{P(1)} \cdot P_{HCl(g)} \cdot a_{Al}}{P_{H_2(g)}^{0.5}}$
۲	2HCl(g) + Al(Condense) = AlCl ₂ (g) + H ₂ (g)	$K_{P(2)} = \frac{P_{AlCl_2(g)} \cdot P_{H_2(g)}}{P_{HCl(g)}^2 \cdot a_{Al}}$	$P_{AlCl_2(g)} = \frac{K_{P(2)} \cdot P_{HCl(g)}^2 \cdot a_{Al}}{P_{H_2(g)}}$
۳	3HCl(g) + Al(Condense) = AlCl ₃ (g) + 1.5H ₂ (g)	$K_{P(3)} = \frac{P_{AlCl_3(g)} \cdot P_{H_2(g)}^{1.5}}{P_{HCl(g)}^3 \cdot a_{Al}}$	$P_{AlCl_3(g)} = \frac{K_{P(3)} \cdot P_{HCl(g)}^3 \cdot a_{Al}}{P_{H_2(g)}^{1.5}}$
۴	6HCl(g) + 2Al(Condense) = Al ₂ Cl ₆ (g) + 3H ₂ (g)	$K_{P(4)} = \frac{P_{Al_2Cl_6(g)} \cdot P_{H_2(g)}^3}{P_{HCl(g)}^6 \cdot a_{Al}^2}$	$P_{Al_2Cl_6(g)} = \frac{K_{P(4)} \cdot P_{HCl(g)}^6 \cdot a_{Al}^2}{P_{H_2(g)}^3}$
۵	HCl(g) + Ti(s) = TiCl(g) + 0.5H ₂ (g)	$K_{P(5)} = \frac{P_{TiCl(g)} \cdot P_{H_2(g)}^{0.5}}{P_{HCl(g)} \cdot a_{Ti}}$	$P_{TiCl(g)} = \frac{K_{P(5)} \cdot P_{HCl(g)} \cdot a_{Ti}}{P_{H_2(g)}^{0.5}}$
۶	2HCl(g) + Ti(s) = TiCl ₂ (g) + H ₂ (g)	$K_{P(6)} = \frac{P_{TiCl_2(g)} \cdot P_{H_2(g)}}{P_{HCl(g)}^2 \cdot a_{Ti}}$	$P_{TiCl_2(g)} = \frac{K_{P(6)} \cdot P_{HCl(g)}^2 \cdot a_{Ti}}{P_{H_2(g)}}$
۷	3HCl(g) + Ti(s) = TiCl ₃ (g) + 1.5H ₂ (g)	$K_{P(7)} = \frac{P_{TiCl_3(g)} \cdot P_{H_2(g)}^{1.5}}{P_{HCl(g)}^3 \cdot a_{Ti}}$	$P_{TiCl_3(g)} = \frac{K_{P(7)} \cdot P_{HCl(g)}^3 \cdot a_{Ti}}{P_{H_2(g)}^{1.5}}$
۸	4HCl(g) + Ti(s) = TiCl ₄ (g) + 2H ₂ (g)	$K_{P(8)} = \frac{P_{TiCl_4(g)} \cdot P_{H_2(g)}^2}{P_{HCl(g)}^4 \cdot a_{Ti}}$	$P_{TiCl_4(g)} = \frac{K_{P(8)} \cdot P_{HCl(g)}^4 \cdot a_{Ti}}{P_{H_2(g)}^2}$
۹	2NH ₃ (g) = N ₂ (g) + 3H ₂ (g)	$K_{P(9)} = \frac{P_{N_2(g)} \cdot P_{H_2(g)}^3}{P_{NH_3(g)}^2}$	$P_{NH_3(g)} = \sqrt{K_{P(9)} \cdot P_{N_2(g)} \cdot P_{H_2(g)}^3}$
۱۰	2HCl(g) = H ₂ (g) + Cl ₂ (g)	$K_{P(10)} = \frac{P_{H_2(g)} \cdot P_{Cl_2(g)}}{P_{HCl(g)}^2}$	$P_{Cl_2(g)} = \frac{K_{P(10)} \cdot P_{HCl(g)}^2}{P_{H_2(g)}}$
۱۱	N ₂ (g) + 2Al (Condense) = 2AlN(s)	$K_{P(11)} = \frac{1}{P_{N_2(g)} \cdot a_{Al}^2}$	$P_{N_2(g)} = \frac{1}{K_{P(11)} \cdot a_{Al}^2}$
۱۲	Al(Condense) = Al(g)	$K_{P(12)} = \frac{P_{Al(g)}}{a_{Al}}$	$P_{Al(g)} = K_{P(12)} \cdot a_{Al}$
۱۳	Ti(s) = Ti(g)	$K_{P(13)} = \frac{P_{Ti(g)}}{a_{Ti}}$	$P_{Ti(g)} = K_{P(13)} \cdot a_{Ti}$
۱۴		$M_{NH_4Cl}^0 \cdot \frac{R \cdot T}{V} = 2P_{H_2(g)} + P_{HCl(g)} + 3P_{NH_3(g)}$	
۱۵		$M_{NH_4Cl}^0 \cdot \frac{R \cdot T}{V} = P_{HCl(g)} + P_{AlCl(g)} + 2P_{AlCl_2(g)} + 3P_{AlCl_3(g)} + 6P_{Al_2Cl_6(g)} + P_{TiCl(g)} + 2P_{TiCl_2(g)} + 3P_{TiCl_3(g)} + 4P_{TiCl_4(g)} + 2P_{Cl_2(g)}$	

نتیجه‌گیری	سرعت کند نفوذ اتمی در این ترکیبات باشد.
۱- آلمینیم دهی نمونه‌های تیتانیم خالص در دمای 1100°C درون مخلوط پودری شامل ۸۵ درصد اکسید آلمینیم، ۱۰ درصد پودر آلمینیم و ۵ درصد ماده‌ی فعال‌کننده (NH_4Cl یا NaF)، منجر به تشکیل لایه‌های غنی از آلمینیم به ترتیب TiAl_3 , Ti_3Al , TiAl_2 و محلول جامد آلفا بر روی این نمونه‌ها شد.	۳- مدلی مبتنی بر شرایط تعادل ترمودینامیکی و قانون بقای جرم برای محاسبه‌ی فشارهای جزئی گازهای مختلف درون مجموعه‌ی بسته‌ی آلمینیم دهی استفاده شد. نتایج حاصل از این مدل نشان دادند که فشارهای جزئی گازهای AlCl_3 , AlCl_2 , AlCl و Al_2Cl_6 به ترتیب $۱/۲۸$, ۶۶۱۰ , $۲۳/۹$ و ۴۸۲۰ برابر بیش از فشارهای جزئی گازهای AlF_2 , AlF_3 و Al_2F_6 است. بهمین دلیل، میزان افزایش وزن نمونه‌ها و ضخامت لایه‌ی TiAl_3 در حالتی که از NH_4Cl استفاده شد، بیشتر بود.
۲- مشاهدات ریزساختاری نشان دادند که لایه‌های Ti_3Al , TiAl و TiAl_2 ضخامت کمتری نسبت به لایه‌ی TiAl_3 دارند. این پدیده ممکن است به دلیل	

مراجع

1. Leyens, C. and Peters, M., "Structure and properties of titanium and titanium alloys", Wiley- VCH, pp. 1-27, (2003).
2. Lutjering, G. and William, J. C., "Titanium", Springer, pp. 13-50, (2003).
3. Subrahmanyam, J. and Annapurna, J., "High temperature cyclic oxidation of aluminide layers on titanium", Oxidation of Metals, Vol. 26, pp. 275-285, (1986).
4. Deqing, W., Ziyuan, S. and Yingli, T., "Microstructure and oxidation of hot-dip aluminized titanium at high temperature", Applied Surface Science, Vol. 250, pp. 238-246, (2005).
5. Qian, Y.-H., Li, M.-S. and Lu, B., "Isothermal oxidation behavior of Ti_3Al -based alloy at 700–1000 °C in air", Transactions of Nonferrous Metals Society of China, Vol. 19, pp. 525-529, (2009).
6. Zhou, C. G., Xu, H. B. and Gong, S. K., "Study on aluminide coatings on TiAl alloys by pack cementation method", Acta Metallurgica Sinica (English Letters), Vol. 13, pp. 1148-1154, (2000).
7. Gurrappa, I. and Gogia, A. K., "High performance coatings for titanium alloys to protect against oxidation", Surface and Coatings Technology, Vol. 139, pp. 216-221, (2001).
8. Zhou, C., Xu, H., Gong, S. and Young Kim, K., "A study of aluminide coatings on TiAl alloys by the pack cementation method", Materials Science and Engineering A, Vol. 341, pp. 169-173, (2003).
9. Subrahmanyam, J., "Cyclic oxidation of aluminized Ti-14Al-24Nb alloy", Journal of Materials Science, Vol. 23, pp. 1906-1910, (1988).
10. Hodge, A. M. and Dunand, D. C., "Synthesis of nickel-aluminide foams by pack-aluminization of nickel foams", Intermetallics, Vol. 9, pp. 581-589, (2001).
11. Dunand, D. C., Hodge, A. M. and Schuh, C., "Pack aluminisation kinetics of nickel rods and foams",

- Materials Science and Technology, Vol. 18, pp. 326-332, (2002).
12. Choe, H. and Dunand, D. C., "Synthesis, structure, and mechanical properties of Ni-Al and Ni-Cr-Al superalloy foams", *Acta Materialia*, Vol. 52, pp. 1283-1295, (2004).
 13. Levine, S. R. and Caves, R. M., "Thermodynamic and kinetics of pack aluminide coating formation on IN-100", *Journal of the Electrochemical Society*, Vol. 121, pp. 1051-1064, (1974).
 14. Seigle, L. L., "Thermodynamics and kinetics of pack cementation processes.", *Journal*, Vol. pp. 345-369, (1984).
 15. Gupta, B. K., Sarkhel, A. K. and Seigle, L. L., "On the kinetics of pack aluminization", *Thin Solid Films*, Vol. 39, pp. 313-320, (1976).
 16. Sivakumar, R. and Seigle, L. L., "On the kinetics of the pack-aluminization process", *Metallurgical Transactions A*, Vol. 7 A, pp. 1073-1079, (1976).
 17. Tu, D. C. and Seigle, L. L., "Kinetics of formation and microstructure of aluminide coatings on Ni-Cr alloys", *Thin Solid Films*, Vol. 95, pp. 47-56, (1982).
 18. Kandasamy, N., Seigle, L. L. and Pennisi, F. J., "The kinetics of gas transport in halide-activated aluminizing packs", *Thin Solid Films*, Vol. 84, pp. 17-27, (1981).
 19. Kandasamy, N., "Erratum: The kinetics of gas transport in halide-activated aluminizing packs ", *Thin Solid Films*, Vol. 503, pp. 277-278, (2006).
 20. Nciri, B. and Vandenbulcke, L., "Thermodynamic study of the aluminizing of the iron and alloy steels by thermochemical technique", *Journal of the Less Common Metals*, Vol. 95, pp. 55-72, (1983).
 21. Nciri, B. and Vandenbulcke, L., "Theoretical and experimental study of the aluminization of iron and steel in the pack and in the gas phase", *Thin Solid Films*, Vol. 139, pp. 311-324, (1986).
 22. Kung, S. C. and Rapp, R. A., "Fundamental kinetic study of aluminization of iron by pack cementation at 900°C", *Surface and Coatings Technology*, Vol. 32, pp. 41-56, (1987).
 23. Kung, S. C. and Rapp, R. A., "kinetic study of aluminization of iron by using the pack cementation technique", *Journal of The Electrochemical Society*, Vol. 135, pp. 731-741, (1987).
 24. Raghavan, V., "Ti-Al phase Diagram", *Journal of phase equilibrium and diffusion*, Vol. 26, pp. 171-172, (2005).
 25. کریمی زارچی، ح. ر.، "بررسی تشکیل آلمیناید تیتانیم از طریق آلمینایزینگ گازی"، دانشکده مهندسی مواد و متالورژی، دانشگاه علم و صنعت ایران، (۱۳۹۲).
 26. میرجلیلی، م.، "mekanizm و سینتیک تشکیل ترکیبات بین فلزی در زوج نفوذی آلمینیوم-تیتانیم"، دانشکده مهندسی مواد و متالورژی، دانشگاه علم و صنعت ایران، (۱۳۹۱).
 27. Eckert, M., Bencze, L., Kath, D., Nickel, H. and Hilpert, K., "Thermodynamic activities in the alloys

- of the Ti-Al system", Physical Chemistry Chemical Physics, Vol. 100, pp. 418-424, (1996).
28. Karimi Zarchi, H. R., Soltanieh, M., Aboutalebi, M. R. and Guo, X., "Thermodynamic study on pack aluminizing systems of pure titanium and nickel", Transactions of Nonferrous Metals Society of China, Vol. 23, pp. 1838-1846, (2013).

*بررسی تأثیر توکیبی عملیات کیفی مذاب و روش سطح شیب‌دار بر مُرفولوژی سیلیسیم در آلیاژ $Al-17\% Si$

(۲) کاوه قربانی

(۱) بهمن کروجی

چکیده

در این تحقیق، فرایند ریختن بر روی سطح شیب‌دار به همراه تأثیر تؤام دمای فوق ذوب و عملیات کیفی مذاب بر اصلاح ساختار و سختی آلیاژهای هایپریوتکتیک آلومینیم-سیلیسیم بررسی شده است. نتایج حاصل نشان دادند که کاربرد همزمان عملیات فوق ذوب و سطح شیب‌دار باعث کاهش اندازه‌ی ذرات سیلیسیم اولیه و تغییر مُرفولوژی آن از تیغه‌ای و گل‌برگی به شبکه‌کروی می‌شود. افزون بر این، با ریزتر شساندن و اصلاح مُرفولوژی سیلیسیم اولیه، سختی آلیاژ افزایش یافت.

واژه‌های کلیدی آلومینیم-سیلیسیم‌هایپریوتکتیک، ساختار ریختگی، ریخته‌گری سطح‌شیب‌دار، عملیات کیفی مذاب.

Slope Casting and its Combined Effect with Qualitative Melt Treatment on Morphology of Silicon in Al-17%Si Alloy

B. Korojy

K. Ghorbani

Abstract

In this investigation, the slope casting method was used and its combined effect with melt overheating and melt treatment on microstructural modification and hardness of hypereutectic Al-Si alloy was studied. The results showed that the combined method leads to the refinement of primary silicon and a change in its morphology from plate-like to quasi-spherical shape. In addition, the modification and refinement of primary silicon increased the hardness of hypereutectic Al-Si alloy.

Key Word Hypereutectic Al-Si alloy, Cast structure, Slope casting, Qualitative melt treatment.

*نسخه‌ی نخست مقاله در تاریخ ۹۲/۴/۲۴ و نسخه‌ی پایانی آن در تاریخ ۹۳/۳/۱۲ به دفتر نشریه رسیده است.

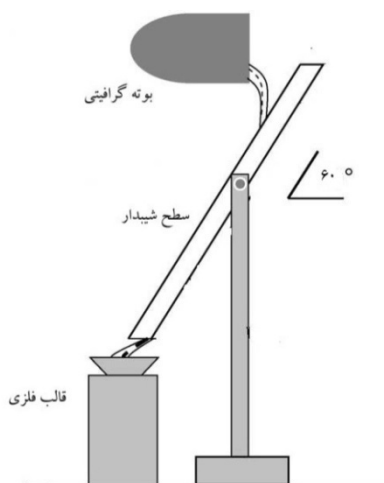
(۱) نویسنده مسئول: دانشگاه حکیم سبزواری، گروه مهندسی مواد و پلیمر

(۲) دانشگاه حکیم سبزواری، گروه مهندسی مواد و پلیمر

فوق ذوب مناسب بر روی سطح شیبدار جریان می‌یابد و تحت تأثیر شرایط سرمایش و هم‌چنین، نیروی برشی ناشی از حرکت مذاب، به حالت نیمه جامد در می‌آید[10]. در این پژوهش، ابتدا به بررسی اثر طول سطح شیبدار بر اصلاح ریزساختار آلیاژ فوق یوتکتیک Al-17%Si پرداخته می‌شود و سپس، تأثیر هم‌زمان عملیات فوق ذوب و عملیات کیفی‌سازی مذاب به روش سطح شیبدار بر اصلاح ساختار و سختی آلیاژ فوق یوتکتیک Al-17%Si بررسی خواهد شد.

مواد و روش تحقیق

آلیاژ Al-17%Si مورد استفاده در این تحقیق، در یک کوره مقاومتی با دوباره ذوب و رقیق کردن آمیزان صنعتی Al-50%Si با آلمینیم خالص تجاری در بوته‌ی گرافیتی تهیه شد. سطح شیبدار با استفاده از یک تسمه‌ی مسی به طول ۷۰، عرض ۱۰ و ضخامت ۱ سانتی‌متر ساخته شد. برای جلوگیری از چسبندگی مذاب و سهولت جریان اغتشاشی مذاب بر روی سطح شیبدار، سطح آن توسط نیترید بور (BN) پوشش داده شد. برای این منظور، پودر نیترید بور در حلال متیل کلروفرم حل شد و بر روی سطح مسی پاشیده شد. طرح واره‌ای از روش استفاده از سطح شیبدار، در شکل (۱) نشان داده شده است.



شکل ۱ طرح واره‌ای از روش سطح‌شیبدار

مقدمه

آلیاژهای فوق یوتکتیک Al-Si دارای کاربردهای گسترده‌ای هستند[1]. مقاومت عالی آن‌ها در برابر سایش، به دلیل حضور فاز سیلیسیم اولیه در زمینه‌ی یوتکتیک Al-Si می‌باشد. با این وجود، مُرفولوژی فاز سیلیسیم اولیه از نقطه نظر شکل، اندازه و توزیع تأثیر قابل ملاحظه‌ای می‌تواند بر خواص مکانیکی و خواص سایشی آن‌ها داشته باشد[2]. بهمین منظور، روش‌های گوناگونی برای بهینه‌سازی مُرفولوژی سیلیسیم اولیه ابداع شده است که از جمله‌ی آن‌ها می‌توان به سرد کردن سریع، عملیات فوق ذوب و افزودن عناصر مختلف بهینه‌ساز اشاره کرد[3,4]. عملیات فوق ذوب که شامل افزایش دمای مذاب تا ۳۰۰°C بالای دمای گداز، نگهداری در این دما به مدت زمان لازم و سپس، سرد کردن تا دمای ذوب‌ریزی می‌باشد، سبب می‌شود تا اندازه‌ی فاز سیلیسیم اولیه در آلیاژهای فوق یوتکتیک Al-Si به میزان قابل توجهی کاهش یابد[5]. تحقیقات انجام شده نشان می‌دهند که تغییرات ساختاری مذاب تحت تأثیر دمای فوق ذوب، سبب تغییر مُرفولوژی فاز سیلیسیم اولیه می‌شود[6]. با بررسی تأثیر دمای فوق ذوب بر مُرفولوژی فاز سیلیسیم اولیه، نشان داده شده است که با افزایش دمای فوق ذوب، مُرفولوژی فاز سیلیسیم اولیه از ستاره‌ای شکل و نامنظم به هشت‌وجهی تغییر می‌کند[7].

فسفر یکی از عناصر متداولی است که برای اصلاح فاز سیلیسیم اولیه استفاده می‌شود. فسفر با ایجاد ترکیب AlP، به عنوان هسته‌ای برای جوانه‌زنی فاز سیلیسیم اولیه عمل می‌کند و سبب تغییر مُرفولوژی آن می‌شود[4]. افزون بر کاربرد عناصر اصلاح کننده، از فرایند ریخته‌گری نیمه‌جامد نیز برای اصلاح ساختار آلیاژهای فوق یوتکتیک Al-Si استفاده می‌شود[8]. در سال‌های اخیر، روش استفاده از سطح شیبدار، به دلیل سادگی در مقایسه با روش‌های دیگر تولید دوغاب نیمه‌جامدمند هم‌زدن مکانیکی و الکترومغناطیسی، مورد توجه قرار گرفته است[9]. در این روش، مذاب با

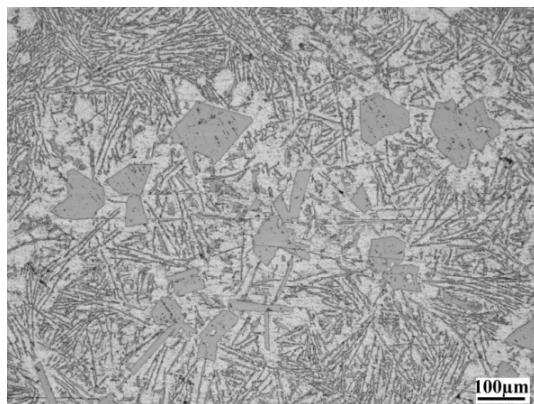
مستقیماً وارد قالب استوانه‌ای فولادی به ارتفاع ۷ و قطر ۲/۵ سانتی‌متر شد.

به‌منظور بررسی عملیات کیفی مذاب، از عناصر مینیزم خالص و استرانسیم به‌شکل آمیژان Al-10%Sr استفاده شد. برای این‌منظور، به مذاب در دمای ۷۰۰°C ۱ درصد مینیزم خالص که در فویل آلومینیم پیچیده شده بود، افزوده شد. مذاب با میله‌ای از جنس فولاد زنگ نزن به‌مدت ۲ دقیقه هم زده شد و پس از آن، در قالب استوانه‌ای فولادی ریخته‌گری شد. همین کار برای افزودن هم‌زمان (۱ درصد مینیزم + ۰/۱ درصد استرانسیم) تکرار شد. در مرحله‌ی بعدی، برای بررسی اثر ترکیبی عملیات کیفی مذاب و روش سطح شیبدار، ابتدا عملیات کیفی با عناصر فوق‌الذکر مطابق با فرایند قبلی انجام شد و سپس، مذاب در دمای ۶۲۰°C بر روی سطح شیبدار مسی با طول بهینه ریخته شد و در انتهای سطح شیبدار، وارد قالب استوانه‌ای فولادی شد. به‌منظور انجام مقایسه، یک نمونه‌ی مرجع‌بروشن ریخته‌گری متداول در دمای ۷۰۰°C درون قالب استوانه‌ای فولادی تولید شد. در جدول (۱)، مشخصات ریخته‌گری نمونه‌های آزمایش آورده شده‌اند.

در روش مرسوم ریخته‌گری سطح شیبدار [11]، دمای باربریزی به‌منظور تسهیل جوانه‌زنی فازهای جامد بر روی سطح، اندکی بالاتر از دمای گداز آلیاژ انتخاب شد. آزمون تحلیل حرارتی DTA (Differential Thermal Analysis) در محیط گاز آرگون، به‌منظور تعیین دمای گداز و بررسی تأثیر فوق ذوب بر ساختار مذاب، در بازه‌ی دمایی ۵۰۰°C تا ۱۰۰۰°C انجام شد. اندازه‌گیری‌ها نشان دادند که دمای شروع انجامد برای آلیاژ مورد آزمایش در حدود ۱۱۲°C باشد. با توجه به تحقیقات قبلی انجام شده [12]، زاویه‌ی سطح شیبدار نسبت به افق برابر با ۶۰° در نظر گرفته شد. برای به‌دست آوردن طول بهینه‌ی سطح شیبدار، ریخته‌گری در طول‌های ۴۵، ۳۰ و ۶۰ سانتی‌متری آن انجام شد. ابتدا دمای مذاب ۷۰۰°C انتخاب شد. در مرحله‌ی بعدی، برای بررسی تأثیر ترکیبی عملیات فوق ذوب و سطح شیبدار، دمای مذاب به ۹۰۰°C رسانده شد و پس از ۲۰ دقیقه نگهداری در این دما، بوته‌ی مذاب به بیرون از کوره منتقل شد تا سرد شده و به دمای مناسب برای باربریزی برسد. سپس، ریخته‌گری بر روی طول بهینه‌ی سطح شیبدار انجام شد. مذاب پس از جاری شدن بر روی سطح شیبدار،

جدول ۱ نمونه‌های ریخته‌گری شده با فرایندهای مختلف

نمونه	آلیاژ	فرایند ریخته‌گری	دمای فوق ذوب(°C)	دمای ریخته‌گری (°C)
۱	Al-17% Si	معمولی	۷۰۰	۶۲۰
۲	Al-17% Si	سطح شیبدار به طول ۳۰ سانتی‌متر	۷۰۰	۶۲۰
۳	Al-17% Si	سطح شیبدار به طول ۴۵ سانتی‌متر	۷۰۰	۶۲۰
۴	Al-17% Si	سطح شیبدار به طول ۶۰ سانتی‌متر	۷۰۰	۶۲۰
۵	Al-17% Si	فوق ذوب و سطح شیبدار	۹۰۰	۶۲۰
۶	Al-17% Si +1% Mg	معمولی	۷۰۰	۶۲۰
۷	Al-17% Si +(1% Mg+0.1% Sr)	معمولی	۷۰۰	۶۲۰
۸	Al-17% Si +1% Mg	سطح شیبدار به طول ۴۵ سانتی‌متر	۷۰۰	۶۲۰
۹	Al-17% Si +(1% Mg+0.1% Sr)	سطح شیبدار به طول ۴۵ سانتی‌متر	۷۰۰	۶۲۰



شکل ۲ ریزساختار نمونه‌ی ۱ (نمونه‌ی مرجع)

در شکل (۳-الف) تا (۳-پ)، ریزساختارهای به دست آمده از نمونه‌های ۲، ۳ و ۴ که به ترتیب بر روی سطح شیب‌دار با زاویه‌ی ثابت 60° و طول‌های ۴۵، ۳۰ و ۶۰ سانتی‌متر ریخته شده‌اند، نشان داده شده‌اند. با مقایسه تصویرهای شکل (۲) و شکل (۳)، مشاهده می‌شود که ذرات سیلیسیم اولیه ضمن توزیع یکنواخت، ریزتر شده و با تغییر مُرفولوژی، به حالت شبکه کروی پدیدار تبدیل شده‌اند. افزون بر این، ملاحظه می‌شود که فاز غنی از آلومینیم α در اطراف ذرات سیلیسیم اولیه توسعه یافته است و مانع از جوانه‌زنی سیلیسیم یوتکتیک بر روی سیلیسیم اولیه شده است. وجود تغییرات ساختاری به خاطر اثر سطح شیب‌دار است، به گونه‌ای که باعث انتقال حرارت زیاد به دلیل سطح سرد کننده و تنش برخی اعمالی به مذاب تحت تأثیر نیروی جاذبه، می‌شود [۱۴]. برخی از پژوهش‌گران تشکیل سه لایه در جریان مذاب بر روی سطح شیب‌دار را گزارش کرده‌اند که هر یک از این لایه‌های تشکیل شده، با نرخ متفاوتی سرد می‌شود. لایه‌ی زیرین که در تماس مستقیم با سطح شیب‌دار است، به دلیل انتقال حرارت شدید بین مذاب و سطح، حاوی فاز جامد اولیه است و قوع میزان بالای انجماد در آن، منجر به تشکیل جامد پوسته‌ای می‌شود. لایه‌ی میانی، یک لایه‌ی نیمه جامد شامل مذاب و فازهای جامد تشکیل شده می‌باشد. لایه‌ی بالایی حاوی آلیاژ مذاب است که در آن، نرخ انتقال حرارت بالاتر از لایه‌ی میانی است [۱۵, ۱۶].

نمونه‌هایی از بخش میانی مقطع عرضی قطعه‌های ریخته‌گری شده به منظور بررسی‌های ریزساختاری و اندازه‌گیری سختی، تهیه شد. نمونه‌های متالوگرافی پس از عملیات سنباده‌زنی و صیقل‌کاری، در محلول ۰/۵ درصد HF حکاکی شدند. برای آشکارسازی سیلیسیم اولیه، نمونه در محلول ۱۰ درصد HCl به مدت ۲۰ دقیقه حکاکی شد. پس از آماده‌سازی سطحی، ریزساختار نمونه‌ها به وسیله‌ی میکروسکوپ نوری نوع Olympious و میکروسکوپ الکترونی TESCAN-LMU بررسی شد. بررسی متالوگرافی کمی با استفاده از نرم‌افزار Clemex انجام شد. بررسی‌ها شامل به دست آوردن اندازه‌ی متوسط ذرات سیلیسیم اولیه و تعیین ضریب شکل یا کرویت (S) با استفاده از رابطه یزیر بود [۱۳].

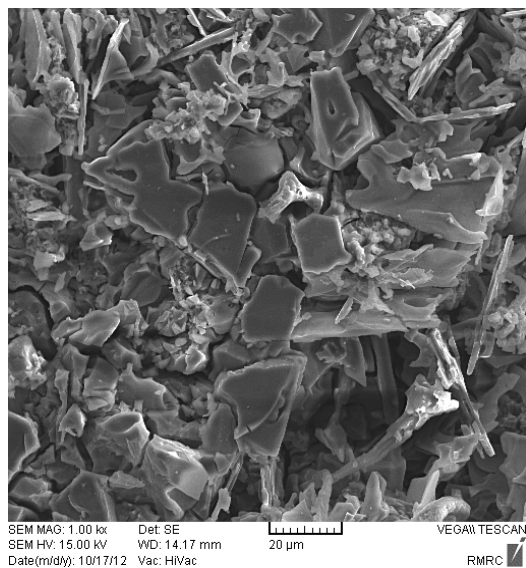
$$S = \frac{4\pi A}{P^2} \quad (1)$$

که در آن، A و P به ترتیب مساحت و محیط ذرات سیلیسیم اولیه هستند. هر چه S به ۱ نزدیکتر باشد، کرویت ذرات سیلیسیم اولیه بیشتر است. برای اندازه‌گیری سختی، از روش برینل (نیروی اعمالی kN ۴/۹ و ساقمه‌ی فولادی به قطر ۱۰ میلی‌متر) استفاده شد.

نتایج و بحث

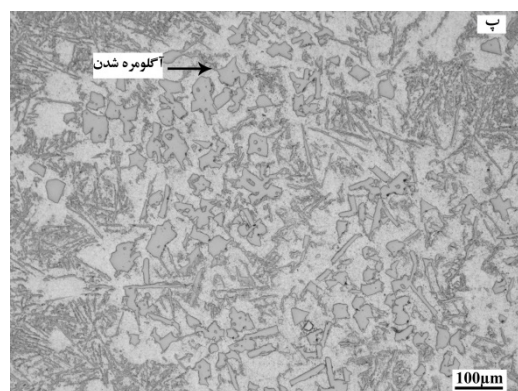
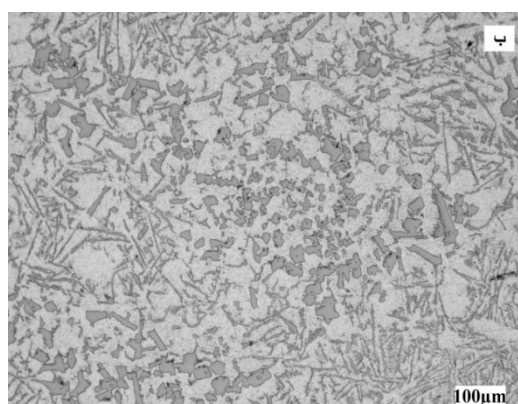
تأثیر طول تماس مذاب با سطح شیب‌دار- در شکل (۲)، ریزساختار نمونه‌ی ۱ (آلیاژ مرجع) نشان داده شده است. همان‌طور که مشاهده می‌شود، ساختار حاصل از انجماد حاوی ذرات فاز سیلیسیم اولیه که تقریباً توسط فاز α احاطه شده‌اند، درون زمینه یوتکتیک Si-Al می‌باشد. در بعضی از نواحی، ساختار یوتکتیکی از روی ذرات سیلیسیم اولیه جوانه زده است. افزون بر این، سیلیسیماولیه دارای مُرفولوژی تیغه‌ای، گلبرگی و نامنظم‌های با گوشه‌های تیز است. با انجام اندازه‌گیری کمی، اندازه‌ی میانگین ذرات سیلیسیم اولیه برابر با 15.0 ± 1.5 میکرومتر به دست آمد.

به تفکیک ذرات فاز سیلیسیم جدید تشکیل شده بر روی سطح می‌شود. این ذرات، در مسیر جریان مذاب قرار می‌گیرند و به سمت قالب در انتهای سطح شیبدار پایین می‌آیند. در شکل (۴)، تصویر میکروسکپ الکترونی از ریزساختار نمونه‌ی شماره ۳ که بر روی سطح شیبداری به طول ۴۵ سانتی‌متر ریخته شده است، نشان داده شده است. همان‌طور که در این تصویر دیده می‌شود، حرکت مذاب بر روی سطح شیبدار سبب شده است تا ذرات سیلیسیم اولیه با هر شکل و اندازه‌ای، به هنگام غلطیدن درون مذاب به هم برخورد کنند و لبه‌های تیز آن‌ها شکسته شوند. از طرف دیگر، تنش برشی و تلاطم ایجاد شده نیز به رشد ذرات به شکل کروی کمک کرده‌اند.



شکل ۴ تصویر میکروسکپ الکترونیک نمونه‌ی شماره ۳ که بر روی سطح شیبداری به طول ۴۵ سانتی‌متر ریخته شده است.

با توجه به اندازه‌گیری کمی انجام شده، مشخص شد که با افزایش طول سطح شیبدار از ۳۰ به ۴۵ سانتی‌متر، اندازه‌ی متوسط ذرات سیلیسیم اولیه از ۹۲ به ۸۷ میکرومتر کاهش می‌یابد و ضریب شکل ذرات (S) در این شرایط، از ۰/۴۵ به ۰/۵۳ افزایش می‌یابد. افزایش طول سطح شیبدار از ۴۵ به ۶۰ سانتی‌متر،



شکل ۳ ریزساختار آلیاژ Al-17% Si با دمای فوق ذوب ۷۰۰ °C و ریخته شده از دمای ۶۲۰ °C بر روی سطح شیبدار به طول ۳۰ cm (الف)، ۴۵ cm (ب) و ۶۰ cm (پ)

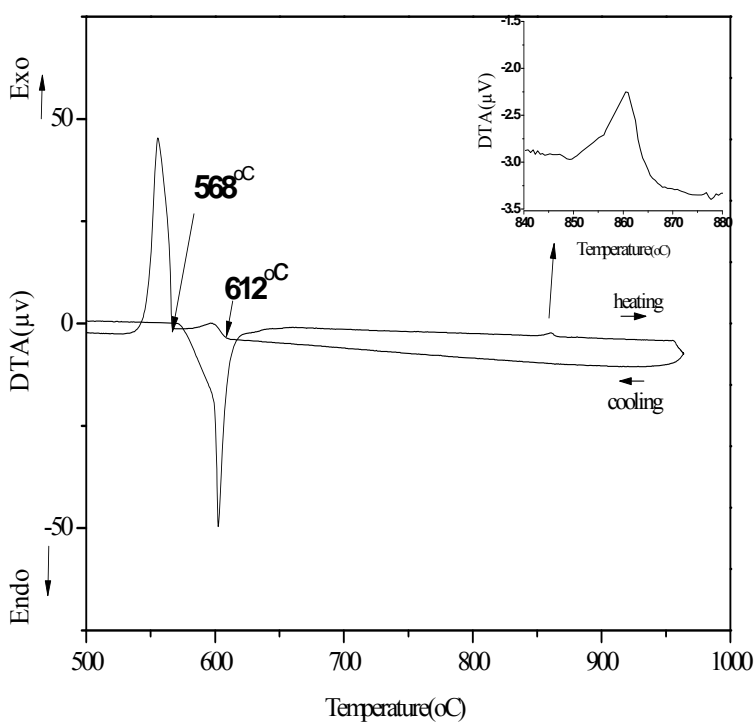
با توجه به نزدیکی دمای ذوب ریزی به دمای شروع انجام‌داد، هنگام عبور مذاب از روی سطح شیبدار جوانه‌های سیلیسیم اولیه در شرایط سرعت سرد کردن زیاد تشکیل می‌شوند. فوق سرمایش زیاد به همراه تنش برشی اعمالی ناشی از نیروی جاذبه، منجر

اثر ترکیبی عملیات فوق ذوب و سطح شیبدار در شکل (۵)، نمودار تحلیل حرارتی DTA مربوط به آلیاژ Al-17%Si در بازه‌ی دماهی 500°C تا 1000°C نشان داده شده است. با توجه به نتایج به دست آمده، یک اثر گرماده با افزایش دما در بازه‌ی دماهی 840°C تا 880°C مشاهده می‌شود. تحقیقات محققین در زمینه‌ی ساختار مذاب آلیاژهای هایپریوتکنیک به‌کمک پراش پرتوی ایکس نشان داده است که خوش‌های Al-Al و Al-Si و Si-Si در مذاب با دمای بالاتر از 850°C به وجود می‌آیند [۱۸, ۶]. خوش‌های اصلی Al-Al و Si-Si، با بالا بردن دما به تدریج نابود می‌شوند و در همین حین، تعداد جدیدی از پیوندهای Al-Si تشکیل می‌شود. چون انرژی برهم‌کنش جفت اتم Al-Si بزرگ‌تر از مقادیر متوسط انرژی برهم‌کنش جفت اتم Al-Al و Si-Al می‌باشد [۱۹]، انرژی پیوند آزاد شده از این فرایند منجر به ظهور اثری گرماده در نمودار تحلیل حرارتی DTA می‌شود. این تغییر ساختار در مذاب [۱۸]، می‌تواند بر فرایند جوانه‌زنی سیلیسیم اولیه تأثیر داشته باشد و در نتیجه، نحوه رشد را تغییر داده و موجب اصلاح مُرفولوژی سیلیسیم اولیه شود [۲۰]. در شکل (۶)، ریزساختار نمونه‌ی ۵ نشان داده شده است. مذاب این نمونه از دمای 900°C تا دمای باریزی (620°C)، در بیرون از کوره سرد و بر روی سطح شیبدار با زاویه‌ی 60° و طول ۵۴ سانتی‌متر ریخته شده است. با مقایسه‌ی شکل‌های (۳) و (۶)، مشاهده می‌شود که فوق ذوب بالا موجب شده است تا ذرات سیلیسیم اولیه ریزتر، توزیع آن‌ها یکنواخت‌تر و مُرفولوژی آن‌ها به‌حالت کروی نزدیک‌تر شود. این تغییر ساختار، افزون بر فوق سرمایش بالا، می‌تواند به‌دلیل تغییرات ساختار مذاب که قبلاً تشریح شده باشد.

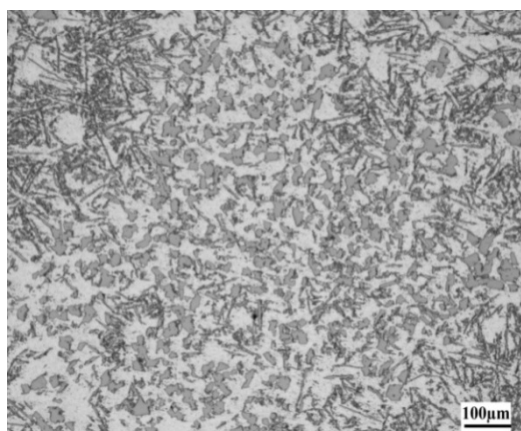
موجب افزایش اندازه‌ی متوسط ذرات سیلیسیم اولیه به ۹۵ میکرومتر و کاهش ضریب شکل به $0/43$ شده است. نتایج به‌دست آمده نشان‌دهنده‌ی شرایط مطلوب‌تر ریزساختار به‌ازای طول ۴۵ سانتی‌متر است. به‌نظر می‌رسد که دلیل کاهش اولیه‌ی اندازه‌ی ذرات با افزایش طول، جریان یافتن بیش‌تر مذاب بر روی سطح و افزایش مدت زمان انتقال حرارت بین مذاب و سطح بوده است که این موجب فراهم شدن تنفس برشی لازم برای شکسته شدن بیش‌تر ذرات سیلیسیم اولیه شده است. بر اساس رابطه‌های مربوط به انتقال حرارت [۱۷]، متناسب با افزایش طول سطح شیبدار و افزایش زمان انتقال حرارت از مذاب به صفحه‌ی مسی، پوسته‌ی منجمد شده بر روی سطح شیبدار ضخیم‌تر شده است [۱۴]، و استحکام لازم برای غلبه بر فشار فلزایستایی مذاب را کسب نموده است. در این شرایط، انقباض پوسته سبب ایجاد فاصله‌ی هوایی بین پوسته و سطح مسی شده است و در نتیجه، نرخ انتقال حرارت بین مذاب و سطح مسی کاهش یافته است. این پدیده موجب کاهش نرخ جوانه‌زنی فاز سیلیسیم اولیه شده است. در نتیجه، جوانه‌های سیلیسیم اولیه رشد بیش‌تری یافته و در محل‌هایی تجمع می‌یابند و در صورت رشد بیش‌تر، بهم می‌چسبند (شکل ۳-۳ پ) و به‌این ترتیب، ذرات بزرگ‌تر می‌شوند. جدول (۲)، درصد حجمی فاز سیلیسیم اولیه در نمونه‌ی مرتع و نمونه‌های ریخته شده بر روی سطح شیبدار را نشان می‌دهد. ثابت ماندن درصد حجمی فاز سیلیسیم اولیه نشان می‌دهد که ریز شدن ذرات سیلیسیم‌اولیه تنها به‌دلیل شکسته شدن در نتیجه‌ی وجود تنفس برشی اعمالی ناشی از نیروی جاذبه به‌هنگام عبور از سطح شیبدار می‌باشد.

جدول ۲ درصد حجمی فاز سیلیسیم اولیه

نمونه‌ی مرتع	طول ۳۰ cm	طول ۴۵cm	طول ۶۰ cm
$10/2 \pm 1/24$	$9/96 \pm 1/38$	$10/1 \pm 1/35$	$9/86 \pm 1/45$



شکل ۵ نمودار تحلیل حرارتی DTA مریبوط به آلیاژ Si-17%Al در بازه‌ی دماهی ۵۰۰-۱۰۰۰ °C تا ۵۰۰ °C

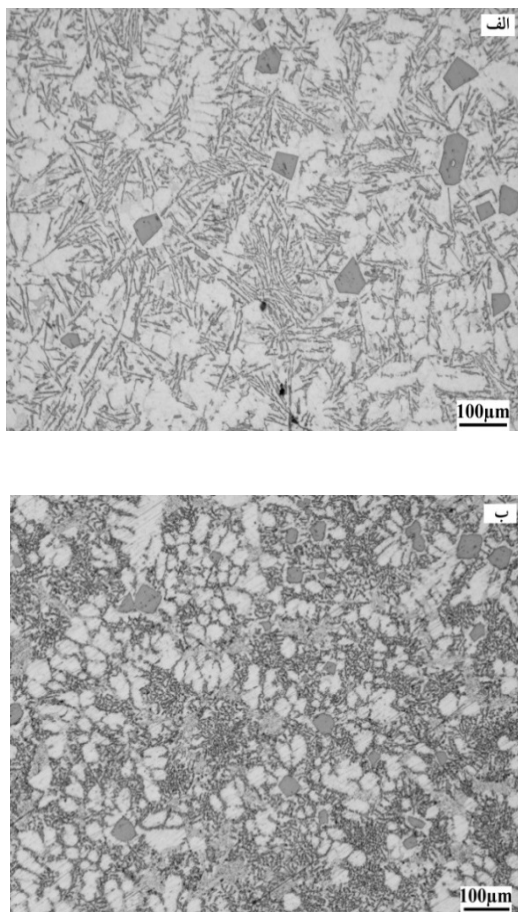


شکل ۶ ریزساختار آلیاژ Si-17%Al با فوق ذوب ۹۰۰ °C ریخته شده از دمای ۶۲۰ °C بر روی سطح شبیه داری به طول ۴۵ سانتی متر

تحقیقات نشان داده‌اند که افزودن برخی از عناصر مانند فسفر به مذاب، موجب ایجاد ترکیبات بین فلزی با نقطه ذوب بالا می‌شود که در نتیجه‌ی آن،

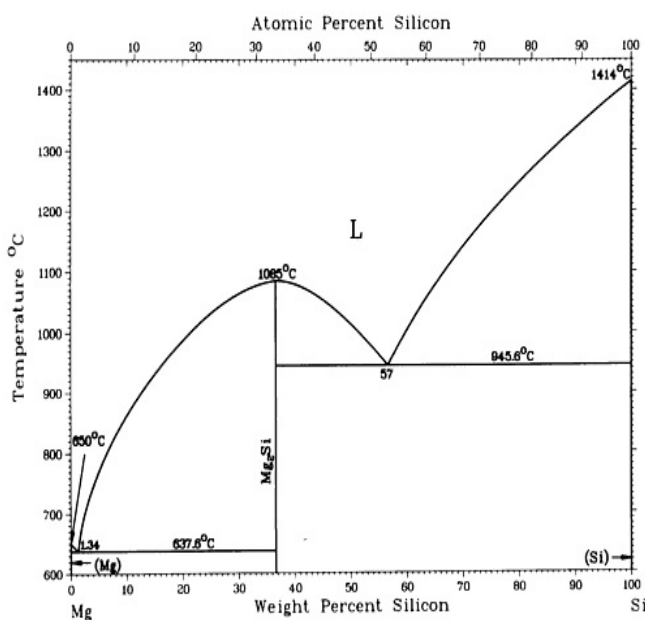
اثر عملیات کیفی مذاب- در شکل‌های (۷-الف) و (۷-ب)، به ترتیب ریزساختارهای نمونه‌های ۶ و ۷ بعد از افزودن ۱ درصد منیزیم و ۱ درصد منیزیم + ۰/۱ درصد استرانسیم نشان داده شده‌اند. با مقایسه‌ی شکل‌های (۲) و (۷-الف)، مشاهده می‌شود که با افزودن منیزیم ضمن افزایش حجم آلومنیم α ، مُرفولوژی ذرات سیلیسیم اولیه از حالت تیغه‌ای و گلبرگی به چندوجهی منظم تبدیل شده است. سیلیسیم اولیه از ۱۵۰ به ۹۲ میکرومتر کاهش یافته است. افزون بر این، با مقایسه‌ی شکل‌های (۲) و (۷-ب)، مشاهده می‌شود که با افزودن همزمان منیزیم و استرانسیم، مُرفولوژی ذرات سیلیسیم اولیه به شبه کروی تبدیل شده است. همچنین، اندازه‌ی متوسط ذرات سیلیسیم اولیه از ۱۵۰ به ۸۸ میکرومتر کاهش یافته است.

در شکل (۷-ب) مشاهده می‌شود، افزودن هم‌زمان منیزیم و استرانسیم موجب اصلاح هر دو فاز سیلیسیم اولیه و یوتکتیکی شده است. یکی از ویژگی‌های اصلاح سیلیسیم اولیه و سیلیسیم یوتکتیکی با افزودن عنصر اصلاح کننده، کاهش دمای واکنش تشکیل آن‌هاست، به‌گونه‌ای که عنصر اصلاح کننده با تأخیر در جوانه‌زنی سیلیسیم اولیه و یوتکتیکی و هم‌چنین، به تأخیر انداختن رشد، سبب اصلاح ساختار می‌شود [25].

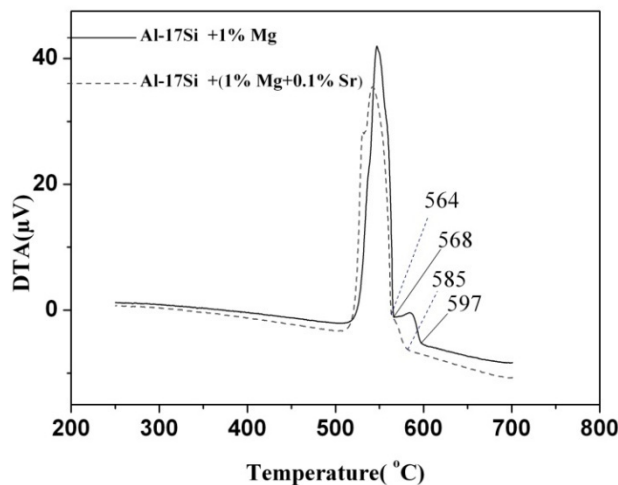


شکل ۷ ریزساختار آلیاژ اصلاحشده‌ی Al-17% Si در دمای ۷۰۰ °C با فرودن ۱ درصد منیزیم (الف) و ۱ درصد منیزیم + ۱ درصد استرانسیم (ب)

مراکزی برای جوانه‌زنی سیلیسیم اولیه به وجود می‌آیند [21]. با توجه به این فرضیه، به‌نظر می‌رسد که با افزودن منیزیم به مذاب آلیاژ، ترکیب Mg_2Si با نقطه ذوب $1085^{\circ}C$ (شکل ۸) [22]، در سرتاسر مذاب به وجود می‌آید. به علت خواص و رفتار انجام‌دادی مشابه Mg_2Si و Si ، جوانه‌زنی سیلیسیم اولیه بر روی سیلیسیم اولیه را پایین می‌آورد [23]. از طرف دیگر، سرعت رشد فاز سیلیسیم اولیه با افزایش تعداد مراکز جوانه‌زنی کاهش می‌یابد. افزون بر این، براساس مدل‌های ارائه شده [20] به‌نظر می‌رسد که سرعت نفوذ بیش‌تر به‌خاطر تلاطم مذاب حین عبور از روی سطح شبی‌دار، سبب کاهش نیروی محرکه برای رشد سیلیسیم اولیه می‌شود. لازم به ذکر است با افزودن استرانسیم مُرفولوژی‌ذرات سیلیسیم یوتکتیک از حالت صفحه‌ای به شبکه‌ای از سیلیسیم رشتہ‌ای تغییر می‌کند. تغییر مُرفولوژی‌به‌این علت است که اتم‌های ناخالصی استرانسیم در فصل مشترک و در جبهه‌ی رشد ذرات سیلیسیم قرار می‌گیرند و با جذب در فاز سیلیسیم در حال رشد، دوقلویی‌های متعددی را ایجاد می‌کنند که باعث تغییر مُرفولوژی‌سیلیسیم یوتکتیک می‌شود [24]. با مشاهده نمودار تحلیل حرارتی DTA مربوط به آلیاژ Al-17% Si (شکل ۵)، نتیجه می‌شود که دمای جوانه‌زنی‌سیلیسیم اولیه (دمای گداز) برابر با $612^{\circ}C$ و دمای یوتکتیک $568^{\circ}C$ می‌باشد. در شکل (۹)، نمودار تحلیل حرارتی DTA مربوط به آلیاژ Si-17% Al پس از افزودن ۱ درصد منیزیم به‌نهایی و ۱ درصد منیزیم + ۰/۱ درصد استرانسیم نشان داده شده است. با مقایسه‌ی شکل‌های (۵) و (۹)، مشاهده می‌شود که پس از افزودن منیزیم تنها دمای گداز کاهش یافته است، در حالی که افزودن هم‌زمان منیزیم و استرانسیم دمای گداز را از $612^{\circ}C$ به $585^{\circ}C$ و دمای واکنش یوتکتیک را از $568^{\circ}C$ به $564^{\circ}C$ کاهش داده است. همان‌گونه که



شکل ۸ نمودار فازی تعادلی منزیم - سیلیسیم [22]

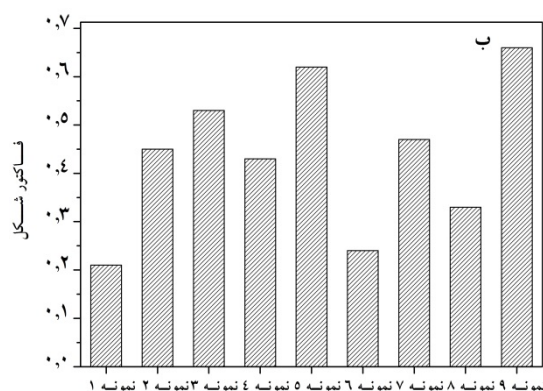
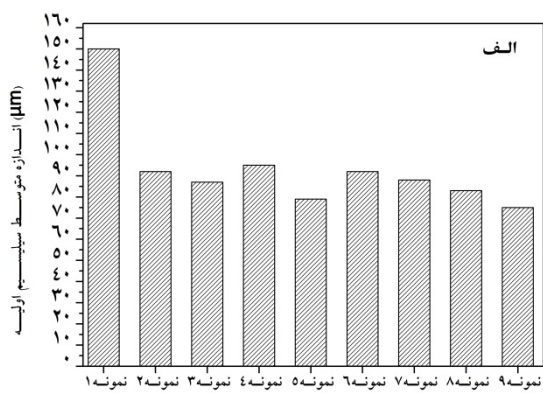


شکل ۹ نمودار تحلیل حرارتی DTA مربوط به آلیاژ Al-17% Si اصلاح شده با منزیم و استرانسیم، نشان دهنده تأثیر توأم عملیات کیفی مذاب و روش سطح شیبدار

است. با مقایسه شکل های ۷-الف) و (۱۰-الف)، مشاهده می شود که ذرات سیلیسیم اولیه ریزتر و توزیع آنها یکنواخت تر شده است. اندازه گیری کمی نشان داد که اندازه متوسط ذرات سیلیسیم اولیه از ۹۲ به ۸۳ میکرومتر کاهش یافته است و ضریب شکل ذرات از ۰/۲۴ به ۰/۳۳ افزایش یافته است. با مقایسه

در شکل های (۱۰-الف) و (۱۰-ب)، ریزساختارهای آلیاژ Al-17% Si نشان داده شده است که در دمای ۷۰۰°C به ترتیب ۱ درصد منزیم و ۱ درصد منزیم + ۰/۱ درصد استرانسیم به آن اضافه شده است و سپس، در دمای ۶۲۰°C بر روی سطح شیبدار مسی با زاویه ۶۰° و طول ۴۵ سانتی متر ریخته شده

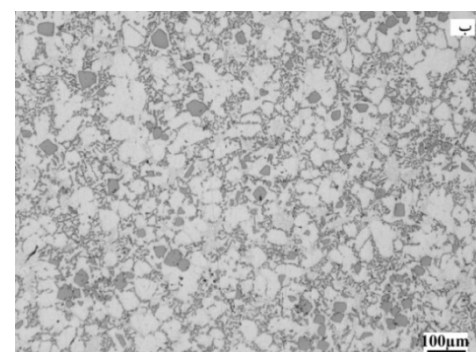
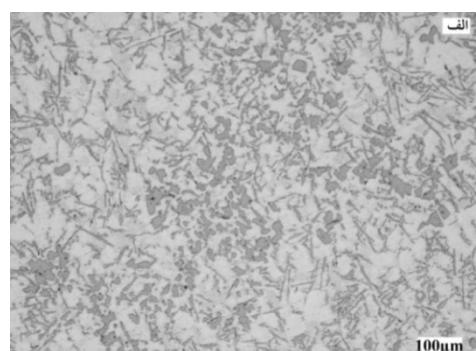
ترکیبی عملیات فوق ذوب و عملیات کیفی مذاب با روش سطح شیب دار به ترتیب در نمونه های ۵ و ۹ کاهش بیشتری را در اندازه هی متوسط ذرات سیلیسیم اولیه را موجب شده است، به طوری که در نمونه ۹ اندازه هی متوسط ذرات سیلیسیم اولیه به ۷۵ میکرون کاهش یافته است. با مشاهده نمودار (۱۰-ب)، در می باییم که تأثیر ترکیبی عملیات کیفی مذاب با روش سطح شیب دار منجر به کروی شدن بیشتر ذرات سیلیسیم اولیه شده است، به طوری که در نمونه ۹ ضریب شکل ذرات به ۰/۶۶ افزایش یافته است.



شکل ۱۱(الف) اندازه هی متوسط سیلیسیم اولیه و (ب) فاکتور شکل در نمونه های ریخته شده

در شکل (۱۲)، ساخته های برینل نمونه ها که در شرایط مختلف ریخته گری شده اند، با یکدیگر مقایسه شده اند. با توجه به نمودار، مشاهده می شود که مطابق با نتایج قبلی حاصل از بررسی های میکروسکوپی، با ریز

شکل های (۷-ب) و (۱۰-ب)، نتیجه می شود که ذرات سیلیسیم اولیه ریزتر و توزیع آن ها یکنواخت تر شده است و اندازه هی متوسط آن ها از ۸۸ به ۷۵ میکرومتر کاهش و ضریب شکل آن ها از ۰/۴۷ به ۰/۶۶ افزایش یافته است. حرکت لایه ای - دورانی - خطی مذاب بر روی سطح شیب دار با طول و زاویه های مختلف که باعث القای نیروی برشی - جرمی به مذاب می شود، باعث شده است تا ذرات سیلیسیم اولیه با هر شکل و اندازه های حین غلطیدن درون مذاب به هم برخورد کنند و لبه های تیز آن ها شکسته شود و مُرفولوژی نهایی متمایل به کروی را به خود بگیرند [۲۶].



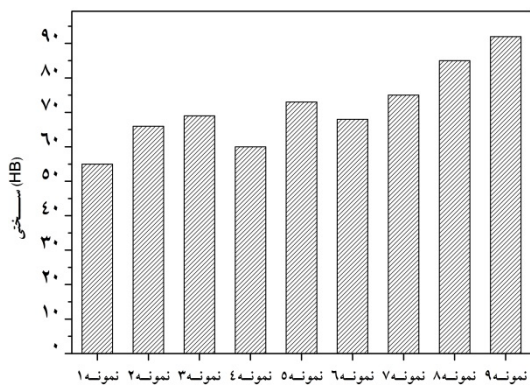
شکل ۱۰(الف) ریخته شده در دمای ۶۲۰°C سطح شیب دار و اصلاح شده با ۱ درصد مینزیم (الف) و ۱ درصد مینزیم + ۰/۱ درصد استرانسیم (ب)

در شکل های (۱۱-الف) و (۱۱-ب)، اندازه هی متوسط و ضریب شکل ذرات سیلیسیم اولیه در نمونه های مختلف با یکدیگر مقایسه شده اند. با ملاحظه نمودار (۱۱-الف)، نتیجه می شود که تأثیر

نتیجه‌گیری

- ۱- اثر ترکیبی عملیات حرارتی مذاب و روش سطح شیب دار به طور قابل توجهی ریزساختار آلیاژ Al-Si ۱۷% را اصلاح کرد و موجب ریزتر شدن، توزیع یکنواخت‌تر و کروی شدن بیش‌تر ذرات سیلیسیم اولیه شد.
- ۲- افزودن ۱ درصد منیزیم به آلیاژ Al-17% Si موجب ریز شدن ذرات سیلیسیم اولیه و تغییر شکل آن‌ها به چندوجهی منظم شد و افزودن ۱ درصد منیزیم به همراه ۰/۱ درصد استرانسیم باعث کاهش دمای رسوب گذاری سیلیسیم اولیه و دمای واکنش یوتکتیک و در نتیجه، اصلاح هم‌زمان سیلیسیم اولیه و یوتکتیک گردید.
- ۳- تأثیر توأم عملیات کیفی مذاب و روش سطح شیب دار منجر به ریزتر شدن ذرات سیلیسیم اولیه و اصلاح بیش‌تر ریزساختار شد. با اصلاح مُرفولوژی سیلیسیم اولیه و ریزتر شدن آن، سختی آلیاژ افزایش یافت. اصلاح‌هر دو فاز سیلیسیم اولیه و یوتکتیک، سختی را بیش‌تر افزایش داد.

شدن و اصلاح مُرفولوژی ذرات سیلیسیم اولیه، سختی افزایش یافته است. در نمونه‌های ۹ و ۸، به دلیل افزودن هم‌زمان منیزیم و استرانسیم، اصلاح هم‌زمان سیلیسیم اولیه و یوتکتیک انجام شده است و سختی بیش‌تر شده است، به طوری که بیش‌ترین سختی مربوط به نمونه ۹ (بریتانیا) می‌باشد. به طور کلی، گزارش شده است که با اعمال نیروی مخرب، سیلیسیم اولیه‌ی درشت از زمینه جدا می‌شود، در حالی که سیلیسیم اولیه‌ی ریز و اصلاح شده با داشتن پیوندی قوی با زمینه، منجر به بهبود خواص مکانیکی می‌شود [27].



شکل ۲ اسختی بریتانیا نمونه‌های ریخته شده

مراجع

1. Gupta, M., and Ling, S., "Microstructure and mechanical properties of hypo/hyper-eutectic Al-Si alloys synthesized using near-net shape forming technique", *Journal of Alloys and Compounds*, pp. 284-294, (1999).
2. Kyffin, W., Rainforth,W. and Jones, H., "Effect of treatment variables on size refinement by phosphide inoculants of primary silicon in hypereutectic Al-Si alloys", *Materials Science and Technology*, pp. 901-905, (2001).
3. Li,P., Nikitin,V.I.,and.Kandalova,E.G , "Effect of melt overheating, cooling and solidification rates on Al-16%Si alloy structure", *Materials Science and Engineering A*,pp. 371-374, (2002).
4. Chong,C., Zhong,L.I.and Bo,R.E., "Influences of complex modification of P and RE on microstructure and mechanical properties of hypereutectic Al-20Si alloy", *Transactions of Nonferrous Metals Society of China*, pp. 301-306, (2007).
5. Bian,X.,Ma,J. and Ma,Z., "Thermal-rate treatment of molten Al-Si alloys", *Chinese Journal of Mechanical Engineering*, Vol. 5, pp. 176-182, (1992).

6. Bian,X., Qin,J. and Wang,S.i., "The atomic-structre changes in Al-16%Si alloy above the liquidius", *Metallurgical and Materials Transactions A*,pp. 2163-2168, (2000).
7. Xu,C.L. and Jiang,Q.C, "Morphologies of primary silicon in hypereutectic Al-Si alloys with melt overheating temperature and cooling rate",*Materials Science and Engineering A*, pp. 451-455, (2006).
8. Diewwanit,A., "Semi-solid processing of hypereutectic aluminum–silicon alloys", MIT, (1996).
9. Hga, T. and Kapranos,P., "Microstructure at Semi-solid condition of Al alloy Strip Cast using a Twin Roll Caster", *7th Int. Conf. on Semi-Solid Proc.Of Alloys and Composites*, Japan, (2002).
10. Hga, T. and Kapranos,P., "Rheocasting Processes using a Cooling Slope plate Low Superheat Casting", *7th Int. Conf. on Semi-Solid Proc. of Alloys and Composites*, Japan, (2002).
11. Birol,Y.,"Cooling slope casting and thixoforming of hypereutectic A390 alloy", *Journal of Materials processing Technology*, pp. 200-203, (2008).
12. Birol,Y.,"A357 thixoforming feedstock produced by cooling slope casing", *Journal of Materials processing Technology*, pp. 94-101, (2007).
13. Hekmat-Ardakan, Alireza.Ajersch, Frank."Effect of isothermal aging on the semi-solid microstructure of rheoprocessed and partially remelted of A390 alloy with 10% Mg addition", *Material Characterization*, pp.778-785, (2010).
14. Taghavi,F. and GhasemiA., "Study on the effects of the length and angle of inclined plate on the microstructure of A356 aluminum alloy",*Material and Design*, pp.1762-1767,(2009).
15. Birol,Y.,"Semi-solid processing of the primary aluminum die casting alloy A365" ,*Journal of Alloys and Compounds*, pp. 133-138, (2009).
16. Haga,T. and Suzuki,Sh., "Casting of aluminum alloy ingots for thixoforming using a cooling slope",*Journal of Materials Processing Technology*, pp. 169-172, (2001).
17. Fredriksson, H. and Akerlind, A., "Materials Processing during Casting", John Wiley & Sons, Ltd., Chichester, pp. 77-86, (2006).
18. Bian, X. and Wang,W., "Thermal-rate treatment and structure transformation of Al-13%Si alloy melt", *Materials Letters*, pp. 54-58, (2000).
19. Sun,Y., Wang, Q.and Geng,H., "Effects of complex modificanting technique on microstructure and mechanical properties of hypereutectic Al-Si alloys", *Journal of Materials Science*, pp. 2104-2109, (2012).
20. West, R. and Fredrikssson, H., "On the mechanism of faceted growth", *Journal of Materials Science*, pp. 1061-1068, (1985).
21. Dai,H.S. and Liu,X.F., "Optimal holding temperatures and phosphorus additions for primary silicon refinement in Al-high Si alloys",*Materials Science and Technology*, pp. 1183-1188, (2009).
22. Langer, E., "ASM Handbook, Vol. 3", ASM International, USA, pp.1105, (1998).
23. Zhang,J., Fan, Z.and Zhou, L., "Microstructure development of Al-15% Mg₂Si in situ composite with mischmetal addition",*Materials Science and Engineering A*, pp. 104-112,(2000).

24. Nogita,K., Drennan, J.and Dahle,A., "Evaluation of Silicon Twinning in Hypoeutectic Al-Si alloys",*Materials Transactions*, pp. 625-628, (2003).
25. Chang, J., Moon, I. and Choi, C., "Refinement of cast microstructure of hypereutectic Al-Si alloys through the addition of rare earth metals", *Journal of Materials Science*, Vol. 33, pp. 5015-5023,(1998).
۲۶. قلم باز، م. ، شاهمیری، م. و کریم خرازی، " بررسی اثر سطح شیبدار روی سیلیسیم اولیه و سیلیسیم یونکتیک در آلیاز A390 "،ششمین همایش علمی-دانشجویی مهندسی مواد و متالورژی،دانشگاه علم و صنعت ایران، (۱۳۸۵).
27. Jiang, Q.C., Xu, C.L., Lu, M.and Wang,H.Y., "Effect of new Al-P-Ti-TiC-Y modifier on primary silicon in hypereutectic Al-Si alloys",*Materials Letters*, pp. 624-628,(2005).

بازدهی جریان پالسی در فرایند پوشش‌دهی نانوذرات طلا از محلول دی‌سیانورات پتاسیم*

پریسا وحدت‌خواه^(۱)

سید خطیب‌الاسلام صدرنژاد^(۲)

چکیده

مقایسه‌ی اثر دو نوع زیرلایه و افزودنی نشان داد که هنگام پوشش‌دهی پالسی نانوذرات طلا، استفاده از اکسید ایندیم-قلع (به جای مس) و سیس‌تین (به جای یدید پتاسیم) سبب بهبود مُرفولوژی، افزایش تعداد نانوبالورها و بازدهی جریان الکتریکی و خواص فتوکاتالیزی می‌شود. مطالعات میکروسکوپ الکترونی رویشی گسیل میدانی نشان داد که با افزایش فرکانس پالسی از ۵۰ به ۱۴۲.۸ هرتز و استفاده از یدید پتاسیم، نانوخوشه‌های طلا روی سطح مس ظاهر می‌شوند. وضخامت پوشش و بازدهی جریان افزایش می‌یابند، ولی با کاهش چگالی جریان از ۱۰ به ۲/۵ میلی‌آمپر بر سانتی‌متر مریع، ضخامت پوشش و بازدهی جریان کاهش می‌یابند.

واژه‌های کلیدی نانوذرات طلا، رسوب‌دهی الکتریکی پالسی، سیس‌تین، یدید پتاسیم، مس، اکسید ایندیم-قلع.

Pulse Current Efficiency in Coating Process of Gold Nanoparticles from Potassium Dicyanoaurate Solution

P. Vahdatkhah

S.K. Sadrnezhaad

Abstract

Comparison of the effects of two substrates and additives on pulse current electrodeposition of Au nanoparticles showed that using indium-tin oxide instead of Cu and cysteine instead of potassium iodide can improve morphology, current efficiency, photocatalytic effect and increase the number of nanocrystals. The examinations using the field-emission scanning-electron-microscope (FE-SEM) showed that Au nanoclusters appear on the Cu surface when pulse frequency increases from 50 to 142.8 Hz and potassium iodide additive is added, whereas both the coating thickness and the current efficiency increased with the frequency of the pulse current. As current density decreased, the deposition thickness and the cathodic current efficiency decreased from 10 to 2.5 mA/cm².

Key Word Gold nanoparticles, Pulse electrodeposition, Cysteine, Potassium iodide, Cu, Indium-Tin oxide.

* نسخه‌ی نخست مقاله در تاریخ ۹۲/۴/۲۹ و نسخه‌ی پایانی آن در تاریخ ۹۳/۲/۳ به دفتر نشریه رسیده است.

(۱) دانشجوی کارشناسی ارشد، دانشکده مهندسی و علم مواد، دانشگاه صنعتی شریف.

(۲) نویسنده‌ی مسئول، استاد، دانشکده مهندسی و علم مواد، دانشگاه صنعتی شریف.

نیز برای اتصال (Nanospherical lithography) [9]، نیز برای اتصال نانوذرات طلا روی اکسید ایندیم- قلع استفاده می شود. اخیراً هم رسوب دهی الکتروشیمیایی که روشی نسبتاً ساده، سریع، دارای انتخاب پذیری بالا و مقرون به صرفه است، به عنوان روشی مطلوب برای سنتز نانوذرات، به کار گرفته شده است [2,8,10].

برای رسوب دهی الکتروشیمیایی نانوذرات طلا بر اکسید ایندیم- قلع، قبل از ولتاوتمتری چرخه ای (Cyclic Potential) [2,8,11]، پتانسیل پیمایشی (voltammetry) [7] و پلکه پتانسیل (sweeping potential-step) [7] استفاده شده است. در آب کاری طلا، جریان پالسی نسبت به جریان مستقیم، رسوب های براق تر و صاف تری نتیجه می دهد. ریز شدن دانه ها، کم شدن گاز، کاهش تخلخل، افزایش چسبندگی، کاهش مقاومت الکتریکی، یکنواخت شدن ضخامت و سختی، بهبود مقاومت به سایش، تسریع آب کاری و افزایش بازدهی جریان کاتدی در اثر آب کاری با جریان پالسی مشاهده شده است [12,13]. در آب کاری با جریان مستقیم، تنها عامل متغیر، چگالی جریان است؛ اما در آب کاری پالسی، زمان روشن شدن، زمان خاموش شدن و چگالی جریان پیک، سه متغیر مستقل قابل کنترل هستند [13].

نتایج تحقیقات قبلی نشان داده است که استفاده از افزودنی و نوع آن تأثیر به سزایی بر مُرفولوژی سطحی نانوذرات رسوب داده شده بر سطح پلاتین دارد. استفاده از افزودنی سیس تئین، سبب تشکیل کُمپلکسی با یون های طلا می شود و ذرات طلا را بر سطح پلاتین به طور مجزا رسوب می دهد [14]. به این ترتیب، تعداد نانوذرات طلای رسوب داده شده افزایش می یابد و ذرات دندربیتی شکل، تیغه ای و ناهموار حاصل می شوند [15]. وجود سیس تئین یا یون های یُدید در محلول رسوب دهی الکتریکی، باعث تغییر قابل ملاحظه ای اندازه و جهت گیری نانوذرات طلا روی زیرلایه ای کربن شیشه ای می شود [16]. با حضور ۱۰۰ میکرومولار سیس تئین و یون یُدید، نانوذرات طلا

مقدمه

نانوذرات طلا به دلیل خواص منحصر به فرد از قبیل هدایت الکتریکی، زیست سازگاری، رفتار نوری و الکترونیکی تنظیم پذیر، فعالیت کاتالیزوری، مقاومت به سایش و پایداری، مورد توجه محققین قرار گرفته اند [1-3]. بیشترین کاربرد نانوذرات طلا، در حسگرهای الکترونیکی، بیوحسگرهای و الکترودهای مورد استفاده در سیستم های کاتالیزوری است. در صورتی که نانوذرات طلا روی مواد هادی نشانده شوند، خواص الکتروکاتالیزوری یگانه ای برگرفته از خصوصیات نانوذرات فلزی و نیز، زیرلایه هادی به دست می آورند؛ به طوری که می توانند در ساخت حسگرهای الکترونیکی، بیوحسگرهای و الکترودهای کاتالیزوری به کار روند [1,4-8]. مثال قابل توجه، پوشش نانوذرات طلا بر اکسید ایندیم- قلع (AuNPs-ITO) است که به دلیل شفافیت نوری و هدایت الکتریکی خوب اکسید ایندیم- قلع همراه با پایداری شیمیایی بالا، به طور خاص به سیستم انتقال ناهمگن الکترون کمک کرده و کاربردهای الکتروشیمیایی و الکتروکاتالیزوری وسیعی را فراهم کرده است [1,2,5]. چند نمونه از کاربردهای این ماده عبارتند از اندازه گیری الکتروشیمیایی بیوملکول ها مانند اسید اوریک، شناسایی نوری غیرخطی و آشکارسازی طیف نگاری مانند طیف نگاری رزنانس پلامسای سطحی [5].

شیوه های مختلفی برای رسوب دهی نانوذرات طلا روی اکسید ایندیم- قلع وجود دارند. راه کار کلی، خود蒙تزاژی بر اساس مُلکول های پیونددهنده (Binder) است، ولی در این روش، هدایت و فعالیت کاتالیزوری نانوذرات تحت تأثیر مُلکول های پیونددهنده قرار می گیرند [8]. برای غلبه بر این مشکل، تاکنون بیشتر از روش رشد دانه ای (Seed-mediated growth) بیشتر از سایر روش ها بهره گرفته شده است [5,8]، اما این روش تا حدی پیچیده و زمان بر است. از روش های نشاندن با فرکانس رادیویی (Radio frequency) [1]، و لیتوگرافی نانوکروی (Sputtering frequency)

استفاده شد. الکترود مسی ابتدا و قبل از هر مرحله‌ی آزمون، با سنباده‌ی ۳۰۰۰ سنباده زده شد و سپس، با استفاده از ذرات پودر آلومینا به قطر 0.05 mm میکرومتر تا رسیدن به سطح آینه‌ای پولیش شد. پس از آن، با اسید کلریدیریک ۵ درصد به مدت ۲۰ ثانیه اسیدشویی شد و در نهایت، با آب مقطر و آستون شستشو و خشک شد. الکترود اکسید ایندیم-قلع نیز به ترتیب در محلول‌های آب صابون، آب مقطر و آستون به مدت ۱۰ دقیقه تحت امواج فوق صوت قرار گرفت. در جدول (۲)، شرایط اعمالی و تغییرات بازدهی جریان در رسوب‌دهی الکتریکی پالسی نانوذرات طلا آورده شده است. شرایط اولیه در این پژوهش (نمونه‌ی یک)، بر اساس شرایط بهینه‌ی به دست آمده در تحقیق قبلی [۱۳]، انتخاب شد و با بررسی متغیرهای مختلف در جدول (۲)، رسوب‌دهی الکتریکی پالسی نانوذرات طلا روی زیرلایه‌های مختلف انجام شد.

جدول ۲ شرایط اعمالی در رسوب‌دهی الکتریکی پالسی نانوذرات طلا (زمان کل آب‌کاری: ۱ دقیقه، چرخه‌ی کاری: ۳۰ دقیقه، غلظت طلا: 0.05 mM)

زیرلایه	افزودنی	فرکانس (Hz)	چگالی جریان (mA/cm^2)	نمونه
مس	سیستئین	۵۰	۱۰	۱
مس	سیستئین	۱۰۰	۱۰	۲
مس	سیستئین	۱۴۲/۸	۱۰	۳
مس	سیستئین	۵۰	۵	۴
مس	سیستئین	۵۰	۲/۵	۵
مس	KI	۵۰	۱۰	۶
ITO	سیستئین	۵۰	۱۰	۷

برای تعیین بازدهی جریان کاتدی، از نسبت ضخامت تجربی به ضخامت تئوری استفاده شد. ضخامت‌های تئوری و تجربی با استفاده از معادله زیر محاسبه می‌شوند [۱۷]:

$$T = \frac{w \times 10000}{d \times A} \quad (1)$$

در این رابطه، w وزن ماده‌ی آب‌کاری شده (گرم)، d چگالی (گرم بر سانتی‌متر مکعب)، A مساحت

به ترتیب در محدوده اندازه‌ی ۵۰ تا ۳۰۰ نانومتر در صفحه‌های (۱۰۰) و (۱۱۰) و در محدوده اندازه‌ی ۱۰ تا ۴۰ نانومتر در صفحه‌ی (۱۱۱) روی کربن شیشه‌ای توسط محققین قبلی تشکیل شده‌اند [۱۶]. در تحقیق حاضر، تأثیر زیرلایه‌های اکسید ایندیم-قلع و مس و دو نوع افزودنی سیس‌تئین و یُدید پتابسیم بر مُرفولوزی سطحی و بازدهی جریان کاتدی در رسوب‌دهی الکتریکی پالسی نانوذرات طلا از محلول دی‌سیانورات پتابسیم به‌طور کمی و در مقایسه با هم بررسی می‌شوند. اثر متغیرهای رسوب‌دهی مانند فرکانس پالس و چگالی جریان کاتدی بر مُرفولوزی سطحی رسوب و بازدهی جریان الکتریکی با هم مقایسه و مقادیر بهینه معرفی می‌شوند. درک اثر این متغیرها می‌تواند تلاش برای بهبود خواص غیرخطی نوری و انتقال بار در پوشش نانوذرات طلا بر سطح زیرلایه‌ی اکسید ایندیم-قلع و مس را تسهیل کند و تعداد محصولات به دست آمده برای کاربردهای گوناگون با استفاده از پوشش طلا با ابعاد نانو را افزایش دهد.

مواد و روش انجام آزمایش

برای انجام عملیات آب‌کاری، از محلول نشان داده شده در جدول (۱) استفاده شد. غلظت طلا و افزودنی‌ها در محلول، به ترتیب 0.05 M و 0.05 M میلی‌مولار بود.

جدول ۱ شرایط محلول در رسوب‌دهی الکتریکی پالسی نانوذرات طلا

pH (تثبیت شده با KOH)	غلظت (گرم بر لیتر)	نام ترکیب
$\approx 8/5$	۰/۱۰	$\text{KAu}(\text{CN})_2$
	۱/۵۰	$\text{K}_4\text{P}_2\text{O}_7$
	۰/۵۰	$\text{C}_4\text{H}_6\text{O}_4$
	۰/۱۰	$\text{C}_2\text{H}_2\text{O}_4$

در این تحقیق، از الکترودهای اکسید ایندیم-قلع و مس برای رسوب‌دهی الکتریکی پالسی نانوذرات طلا

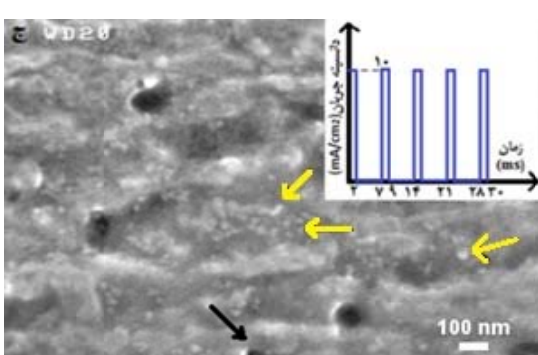
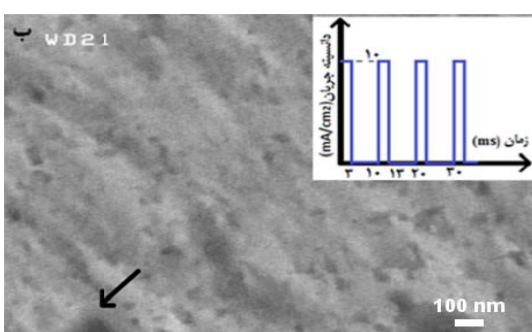
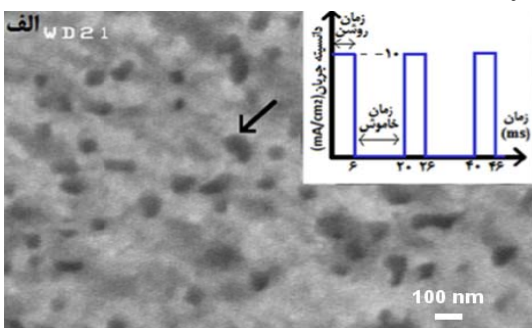
می‌یابد، بر بازدهی جریان کاتدی بیش از ۲۰۰ درصد افزوده می‌شود. اثر فرکанс بر ریزاساختار پوشش‌های طلای رسوبر داده شده، در شکل (۱) نشان داده شده است.

جدول ۳ درصد افزایش بازدهی جریان الکترودها نسبت به

نمونه اول

۶	۵	۴	۳	۲	نمونه
۱۵۰	-۳۳/۳	-۱۶/۷	۲۱۶/۷	۱۰۰	$\frac{(CE_n - CE_1)}{CE_1} \times 100$

CE_n : بازدهی جریان در نمونه‌ی ۱۱۱ م و CE_1 : بازدهی جریان در نمونه اول.



شکل ۱ تصویرهای میکروسکوپ الکترونی روی گسیل میدانی از الکترود نانوذرات طلا روی مس در فرکانس (الف) ۵۰ و (ب) ۱۴۲/۸ هرتز. حفره‌ها و خوشه‌ها به ترتیب با پیکان‌های مشکی و زرد رنگ نشان داده شده‌اند.

(سانتی‌متر مربع) و T صخامت ماده‌ی رسوبر داده شده است. برای به دست آوردن وزن تئوری ماده‌ی رسوبر

داده شده، از رابطه‌ی (۲) استفاده می‌شود [۱۷]:

$$W = \frac{I_{av} \times t \times \text{atomic weight}}{96500 \times \text{valency}} \quad (2)$$

در رابطه‌ی (۲)، I_{av} جریان میانگین (جریان پیک × چرخه‌ی کاری) و t زمان واقعی (کل رسوبر دهی) بر حسب ثانیه است. وزن تجربی ماده‌ی آب کاری شده‌روی الکترود نیز با به دست آوردن تفاوت وزن الکترود قبل و بعد از آب کاری به دست می‌آید. مطابق با تعریف بازدهی جریان، ضخامت با بازدهی نسبت مستقیم دارد. در این تحقیق، با توجه به زمان رسوبر دهی و چرخه‌ی کاری مساوی در تمام آزمون‌ها، وزن نانوذرات طلای رسوبر داده شده (تئوری) در تمام نمونه‌ها برابر بود. بهمین دلیل، برای بررسی بهتر بازدهی جریان کاتدی الکترودها، وزن نانوذرات طلای رسوبر داده شده (تجربی) با یکدیگر مقایسه شد و الکترود شماره‌ی ۱ به عنوان شرایط اولیه، مبنای مقایسه‌ی نمونه‌ها در نظر گرفته شد.

برای تعیین مقدار طلا در محلول سیانیدی طلا، از دستگاه طیف‌نگار جذب اتمی (AAS) مدل جی‌بی‌اسی آواتا پی‌ام (GBC Avanta PM) ساخت کشور استرالیا و برای بررسی تعیین مُرفولوژی ریزاساختار پوشش‌های ایجاد شده، از میکروسکوپ الکترونی روی گسیل (Hitachi S4160) میدانی مدل هیتاچی اس ۴۱۶۰ استفاده شد. برای تحلیل ساخت کشور ژاپن استفاده شد. برای تحلیل تصویرهای گرفته شده توسط میکروسکوپ الکترونی روی گسیل میدانی، از نرم‌افزار کلمکس (Clemex) استفاده شد.

نتایج و بحث

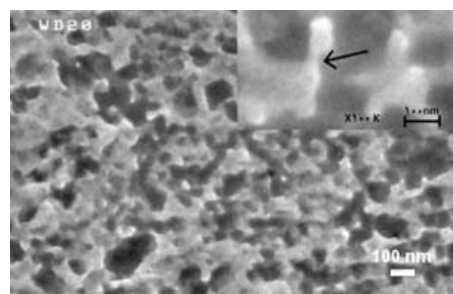
اثر فرکانس بر بازدهی جریان کاتدی و مُرفولوژی سطحی الکترود. در جدول (۳)، درصد افزایش بازدهی جریان کاتدی در الکترودها نسبت به نمونه اول آورده شده است. مطابق با نتایج داده شده در جدول (۳)، وقتی فرکانس از ۱۰۰ به ۱۴۲/۸ هرتز افزایش

تئوری جوانه‌زنی، است که سازوکارهای جوانه‌زنی و رشد در کل زمان رسوب‌دهی، در الکترودها در حال وقوع است. رقابت بین این دو سازوکار، تعیین کننده‌ی اندازه، شکل، چگالی، توزیع و فاصله‌ی بین ذرات در نمونه‌ها می‌باشد [15]. با توجه به تئوری جوانه‌زنی، با افزایش فرکانس، ذرات ریز می‌شوند، ولی با توجه به مساحت مقطع پوشش روی الکترود و چگالی ذرات رسوب کرده، زمانی که چگالی ذرات از حد بهینه بیشتر شود، به هم پیوستگی و افزایش اندازه‌ی ذرات مشاهده خواهد شد. در الکترودهای AuNPs-Cu نیز به دلیل بیشتر چگالی ذرات از حد بهینه با افزایش فرکانس، اندازه‌ی ذرات افزایش یافته است (شکل ۱). تعداد زیادی از خوش‌های کوچک نانوذرات طلای تشکیل شده روی سطح که به طور اتفاقی توزیع شده‌اند، در شکل (۱-ج) مشاهده می‌شود. خوش، مجموعه‌ای از اتم‌ها یا مولکول‌های متصل به هم و یک جسم فیزیکی واسطه بین اتم‌ها یا مولکول‌های انفرادی و ماده‌ی متراکم است. خوش‌ها به دلیل اندازه‌ی محدودی که دارند، خواص الکترونیکی، نوری، مغناطیسی و کاتالیزی ویژه‌ای دارند [19]. پس از ایجاد جوانه‌ها، خوش‌های کوچکی ایجاد می‌شوند. با رشد این خوش‌ها، ساختارهای بلوری متفاوتی می‌توانند به وجود آیند که منجر به تولید نانوبلورهای با شکل‌های متفاوت می‌شوند. بنابراین، با استفاده از خوش‌ها، مشاهده‌ی تغییر خواص اساسی ماده با شکل‌گیری ساختارهای بلوری متفاوت از جوانه‌ها می‌سر است [20]. برخی از خوش‌های دارای شکل مشخصه، با پیکان در شکل (۱-ج) نشان داده شده‌اند. چون خوش‌ها به خوبی از هم جدا نشده‌اند، اندازه‌ی میانگین خوش‌های قابل اندازه‌گیری نیست.

با توجه به ضخامت پوشش در اطراف حفره‌ها که در شکل (۱) با پیکان مشخص شده است، افزایش ضخامت پوشش در این مناطق به خوبی قابل مشاهده است. این تأثیر با افزایش بازدهی جریان کاتدی داده شده در جدول (۳) منطبق است. نتایج

تصویرهای (۱-الف)، (۱-ب) و (۱-ج)، به ترتیب مربوط به نمونه‌های ۱، ۲ و ۳ هستند. منطقه‌ی روشن، مُرفولوژی سطوح مربوط به پوشش نانوذرات طلا روی مس و مناطق تیره، تخلخل پوشش را نشان می‌دهد. مُرفولوژی سطح رسوب به پتانسیل اعمالی، زمان رسوب‌دهی، ترکیب محلول و آماده‌سازی زیرلایه بستگی دارد [18]. فرکانس پالس بر غلظت یون‌های فلزی موجود در لایه‌ی نفوذ و اضافه‌ولتاژ سطحی تأثیر می‌گذارد. افزایش نوسان تناوبی مربوط به لایه‌ی نفوذ پالسی، با افزایش فرکانس پالس همراه است. با توجه به رابطه‌های (۱) و (۲) وزن و ضخامت تئوری ماده‌ی آب‌کاری شده و بازدهی نباید با فرکانس تغییر کند؛ ولی وزن و ضخامت تجربی و بازدهی عملابه با فرکانس تغییر کند، ولی با تغییر فرکانس، وزن تجربی ماده‌ی آب‌کاری شده، ضخامت تجربی و بازده تغییر می‌کند که دلیل آن، افزایش غلظت یون‌های فلزی در لایه‌ی نفوذ است. با افزایش فرکانس تا حدود ۳ برابر (از ۵۰ به ۱۴۲/۸ هرتز)، وزن تجربی نانوذرات پوشش داده شده نیز تا حدود ۳ برابر افزایش می‌یابد.

با توجه به تئوری جوانه‌زنی، انتظار می‌رود با افزایش فرکانس پالس و افزایش سرعت جوانه‌زنی، رسوبات دانه‌ریز به دست آیند [12]؛ ولی با توجه به مُرفولوژی سطوح نشان داده شده در شکل (۱)، افزایش فرکانس سبب افزایش ضخامت، چگالی و به هم پیوستگی ذرات می‌شود. در شکل (۲)، به هم پیوستگی ذرات و بزرگ شدن قطر آنها که با پیکان مشخص شده‌اند، به خوبی دیده می‌شود.



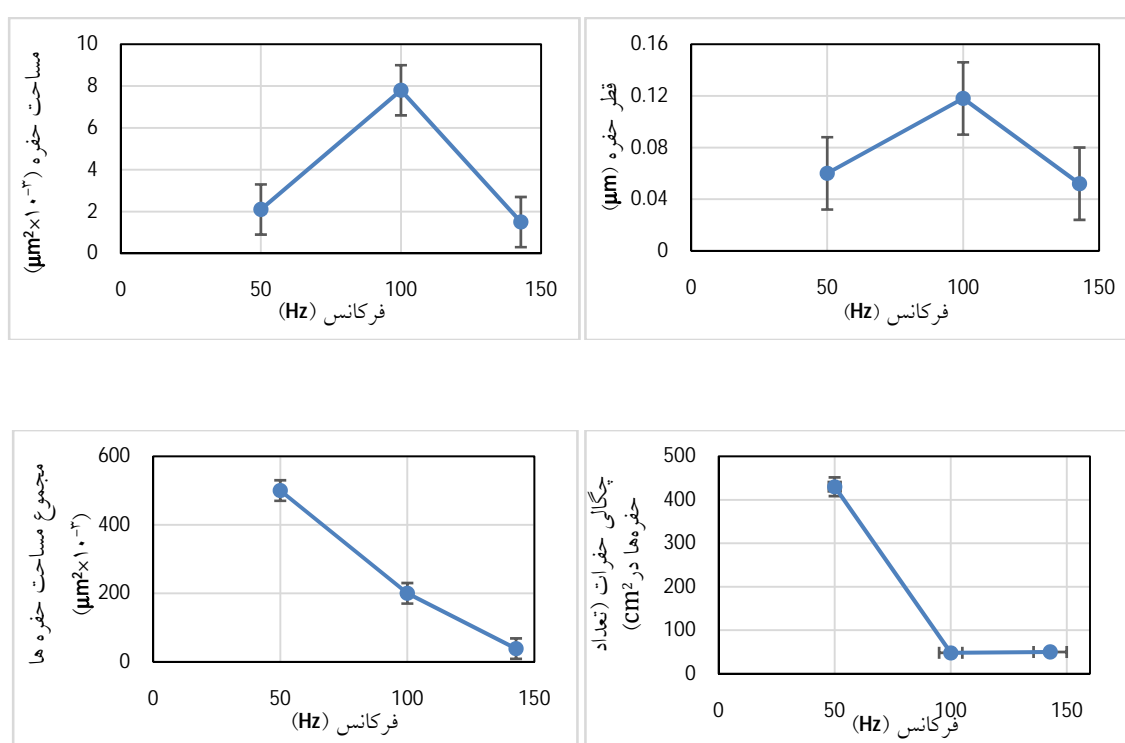
شکل ۲ تصویر میکروسکوپ الکترونی روبشی گسیل میدانی از الکترود نانوذرات طلا روی مس ساخته شده در فرکانس ۱۴۲/۸ هرتز دلیل وجود تناقض در مشاهدات عینی به نتایج

است، ولی از ۱۰۰ تا ۱۴۲/۸ هرتز میزان ثابتی داشته است. در واقع در فرکانس ۱۴۲/۸ هرتز، هم میزان کل تخلخل کاهش یافته است و هم قطر و مساحت حفره‌ها کوچک شده‌اند. این موضوع، نشان‌دهنده کیفیت سطحی بالای به‌دست‌آمده در این فرکانس است.

با افزایش فرکانس، به‌همپیوستگی ذرات و توزیع باز قطر ذرات رخ می‌دهد. این اثر با افزایش فرکانس از ۵۰ تا ۱۰۰ هرتز، منجر به کاهش مساحت کل حفره‌های سطحی و افزایش اندازه و مساحت حفره‌ها مطابق شکل (۱) می‌شود. اما با افزایش فرکانس از ۱۰۰ تا ۱۴۲/۸ هرتز، چگالی ذرات تولید شده به حدی زیاد است که افزون بر کاهش مساحت کل حفره‌های سطحی، مساحت و اندازه آن‌ها نیز کاهش می‌یابد. مشاهدات عینی نشان می‌دهند که فرکانس ۱۵۰ هرتز، فرکانس مناسبی برای رسوب‌دهی نانوذرات طلا روی مس است.

حاصل از بررسی تأثیر فرکانس بر اندازه‌ی ذرات طلا پوشش داده شده، با مشاهدات به‌دست‌آمده در مرجع [3] مطابقت دارد. تأثیر افزایش فرکانس بر اندازه و مساحت حفره‌های سطحی برای الکترود نانوذرات طلا روی مس، با استفاده از نرم‌افزار تحلیل تصویری کلمکس تعیین شد و نتایج حاصل در شکل (۳) آورده شده است.

مقایسه‌ی قطر، مساحت و چگالی حفره‌های موجود در نمونه‌های ۱، ۲ و ۳ نشان می‌دهد که با افزایش فرکانس تا حدود ۱۵۰ هرتز، مساحت حفره‌ها در مجموع کاهش می‌یابد (شکل ۳). کمینه، بیشینه و میانگین قطر و مساحت حفره‌ها از فرکانس ۵۰ تا ۱۰۰ هرتز افزایش و سپس، از ۱۰۰ تا ۱۴۲/۸ هرتز کاهش می‌یابد. چگالی حفره‌های سطحی نیز با افزایش فرکانس از ۵۰ تا ۱۰۰ هرتز کاهش چشم‌گیری داشته



شکل ۳ تأثیر افزایش فرکانس بر قطر، مساحت و چگالی حفره‌های سطحی الکترود نانوذرات طلا روی مس

هم زمان با میزان تخلخل، کاهش می‌یابند. این نتیجه با رابطه‌ی (۲) هم خوانی دارد. با فرض یکسان بودن سطح الکترودهای پوشش داده شده، کاهش چگالی جریان را می‌توان مستقیماً به کاهش جریان پیک، وزن ماده‌ی کرد. طبق این رابطه، با کاهش جریان پیک، وزن ماده‌ی رسوب کرده، ضخامت پوشش نانوذرات طلا و در نتیجه، بازده جریان کاتدی کاهش خواهد یافت. ضخامت لایه‌ی نفوذی پالسی، افزون بر فرکانس، به چگالی جریان نیز مرتبط است. در نتایج تحقیقات قبلی نیز مشاهده شده است که چگالی جوانه‌زنی به‌طور نمایی با ولتاژ اضافی افزایش می‌یابد. رابطه‌ی بین چگالی جریان (i) و ولتاژ اضافی (η) با معادله‌ی تافل بیان می‌شود (رابطه‌ی (۳)). در این رابطه، a و b ثابت‌های تافل می‌باشند. وابستگی نمایی به‌دلیل توزیع انرژی فعال‌سازی، با مکان‌های جوانه‌زنی مرتبط است.

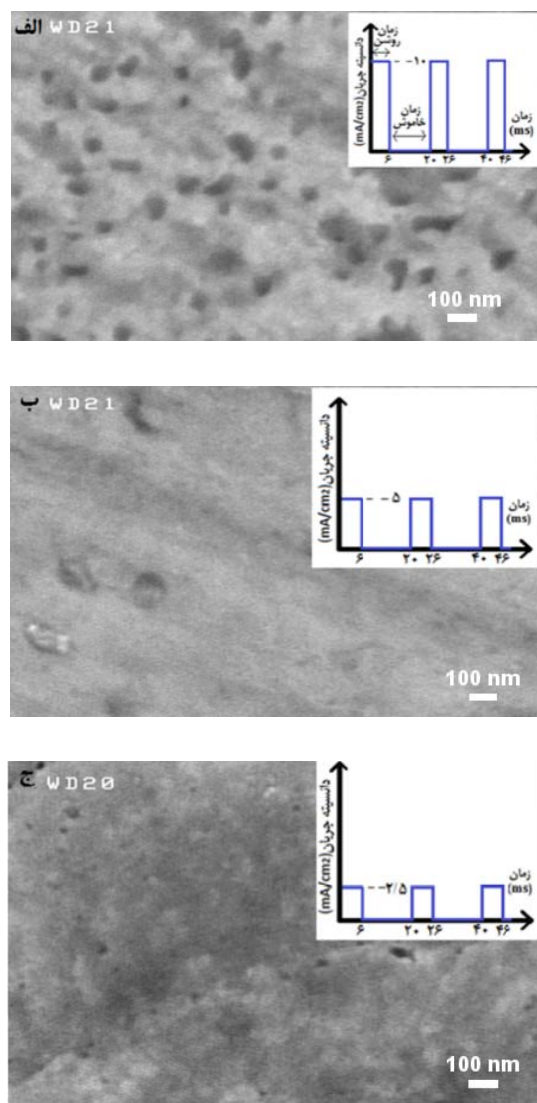
[۴]

$$\eta = a + b \times \log i \quad (3)$$

با کاهش چگالی جریان، مکان‌های جوانه‌زنی برای نانوذرات طلا کاهش می‌یابند، ولی هم زمان با آن، رشد ذرات افزایش خواهد یافت. مطابق شکل (۴)، ذرات به گونه‌ای رشد کرده اندکه سطح الکترود را پوشانده‌اند و باعث کاهش تخلخل سطحی شده‌اند.

اثر افزودنی بر بازدهی جریان کاتدی و مُورفولوژی سطحی الکترود. شکل (۵-الف) و (۵-ب)، به ترتیب مربوط به نمونه‌های ۱ و ۶ هستند. در نمونه‌ی ۱، افزودنی سیس‌تین و در نمونه‌ی ۶، افزودنی یدید پتاسیم استفاده شده است. در شکل (۵) مشاهده می‌شود که با افزودن یدید پتاسیم، تخلخل کاهش پیدا کرده است و تعداد زیادی از نانوخوشه‌ها در سطح تشکیل شده‌اند. برخی از این خوشه‌ها در شکل (۵-ب) با پیکان مشخص شده‌اند. با توجه به نتایج ارائه شده در جدول (۳)، بازدهی جریان کاتدی و در نتیجه،

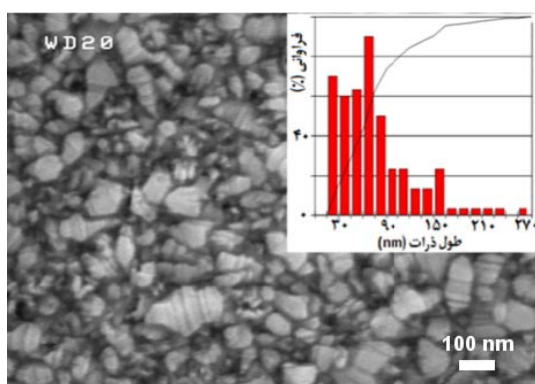
اثر چگالی جریان بر بازدهی جریان کاتدی و مُورفولوژی سطحی الکترود. در شکل (۴)، اثر چگالی جریان بر مُورفولوژی پوشش قابل مشاهده است. تفاوت قابل توجه در شکل‌های (۴-ب) و (۴-ج) نسبت به (۴-الف)، کاهش تخلخل همراه با کاهش چگالی جریان و تشکیل لایه‌ی هموار است.



شکل ۴ تصویرهای میکروسکُپ الکترونی رویشی گسیل میدانی از الکترود نانوذرات طلا روی مس در چگالی جریان (الف)، ۱۰، (ب) و (ج) 5 mA/cm^2

همان‌گونه که در جدول (۳) مشاهده می‌شود، با کاهش چگالی جریان، ضخامت و بازدهی کاتدی

مُرفولوژی پوشش، فرایند الکتروشیمیایی است، ولی زمانی که ضخامت رسوب کاهش می‌یابد، زیرلایه نقش بسیار مهمی در این زمینه ایفا می‌کند [22]. از آنجا که ضخامت تئوری در تمام نمونه‌ها به جز نمونه‌ی ۵، شماره‌ی ۵، برابر با $0/2$ میکرومتر و برای نمونه‌ی ۵، برابر با $0/05$ میکرومتر است، زیرلایه در مُرفولوژی پوشش مورد مطالعه در این تحقیق نقش اساسی دارد.

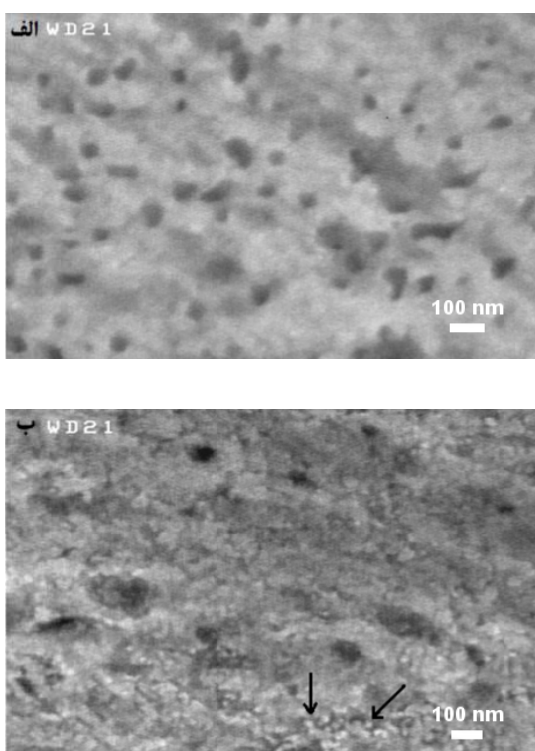


شکل ۶ تصویر میکروسکُپ الکترونی رویشی گسیل میدانی مربوط به الکترود AuNPs-ITO پس از فرایند پوشش دهنده

مقاومت ویژه‌ی مس برابر با $16/8$ نانواهم.متر و مقاومت زیر لایه (Sheet) اکسید ایندیم- قلع برابر با 15 اهم بر سانتی متر مربع است. این اعداد نشان دهنده‌ی این هستند که اکسید ایندیم- قلع نسبت به مس، از مقاومت الکتریکی بیشتری برخوردار است. گزارش‌ها در مراجع علمی حکایت از رابطه‌ی عکس بین مقاومت زیرلایه با اندازه‌ی ذرات طلا دارد [23,24].

همان‌طور که در تصویر به‌دست آمده توسط میکروسکُپ الکترونی رویشی گسیل میدانی از الکترود نانوذرات طلا روی الکترود اکسید ایندیم- قلع مشاهده می‌شود (شکل ۶)، سطح پوشش مشتمل بر دو فاز است؛ یکی با دانه‌های کوچک و توزیع سطحی غیریکنواخت و دیگری، دارای دانه‌های بزرگ که بر روی بلورهای رشد کرده در فاز اول، شکل می‌گیرند. هیستوگرام اندازه‌ی نانوذرات طلا روی اکسید ایندیم- قلع، در شکل (۶) آمده است. با توجه به این

ضخامت رسوب در حضور افزودنی یُدید پتابسیم بیش‌تر از سیس‌تین است. بنابراین، افزودنی یُدید پتابسیم بیش‌تر از سیس‌تین با یون‌های طلا تشکیل کُمپلکس می‌دهد و در نتیجه، افزایش چگالی جوانه‌زنی موجب کاهش تخلخل و تشکیل نانوخوشه‌ها بر سطح الکترود می‌شود.



شکل ۵ تصویرهای میکروسکُپ الکترونی رویشی گسیل میدانی از الکترود نانوذرات طلا روی مس در حضور افزودنی سیس‌تین (الف) و یُدید پتابسیم (ب)

اثر زیرلایه بر مُرفولوژی سطحی الکترود - همان‌گونه که در شکل (۶) مشاهده می‌شود، با تغییر زیرلایه از مس به اکسید ایندیم- قلع، بلورهای فراوانی با اندازه‌های متنوع با گذشت زمان، رشد می‌کنند. سیتیک جوانه‌زنی و رشد بلورها در مراحل آغازین رسوب‌گذاری که بستگی به ترکیب محلول، پیاج، دما و ماهیّت زیرلایه دارد، بر خواص فیزیکی و مُرفولوژی رسوب تأثیر دارد [21]. هنگامی که ضخامت رسوب به 1 میکرومتر یا بیش‌تر می‌رسد، عامل اصلی در

- ۲- با افزایش فرکانس و افزودن یُدید پتاسیم، ضخامت پوشش و بازدهی جریان کاتدی افزایش یافتند و نانوخرشهای طلا روی سطح مس مشاهده شدند.
- ۳- با کاهش چگالی جریان، ضخامت و بازدهی الکتریکی کاهش پیدا کرد.
- ۴- با تغییر زیرلایه از مس به اکسید ایندیم- قلع، مُفولوژی سطح بهبود یافت. این بهبود، با افزایش چگالی جوانهزنی و تنوع تعداد، اندازه و شکل بلورهای رشد کرده با گذشت زمان همراه بود که منجر به تولید نانوذرارات طلا با میانگین اندازه ذرات ۷۵ نانومتر شد.

تشکر و قدردانی

به این وسیله، از همکاری ارزنده‌ی آقایان روزبه سیاوش مؤخر و محسن صالحی دولابی برای انجام این پژوهش و حمایت معاون پژوهشی دانشگاه صنعتی شریف، قدردانی می‌شود.

هیستوگرام، کمینه، بیشینه و میانگین اندازه‌ی نانوذرارات طلا به ترتیب ۲۰، ۳۰۰ و ۷۵ نانومتر است. در شکل (۶)، سطح صاف و بلورین نانوذرارات طلا مشاهده می‌شود که با سازوکار رشد جانبی غیریکنواخت ایجاد شده‌اند. رشد این سطوح صاف در مقیاس اتمی به وسیله‌ی حرکت پلّه‌ها روی سطوح صورت می‌گیرد. در واقع، فصل مشترک نفوذی از تعداد زیادی پلّه‌ی سطحی (تولید تعدادی پلّه از صفحه‌های فشرده) که شامل ناپیوستگی (jog) هستند، تشکیل می‌شود. چنین سطحی، ضریب جایابی (Accommodation factor) بسیار بالایی دارد و رشد آن به‌آسانی انجام می‌شود. با پیوستن یا ترک اتم‌ها در ناپیوستگی‌های موجود در این پلّه‌ها، حرکت این پلّه‌ها روی سطح بلور امکان‌پذیر می‌شود [25].

نتیجه‌گیری

- ۱- با افزایش فرکانس تا ۱۴۲/۸ هرتز، کاهش چگالی جریان تا ۲/۵ میلی‌آمپر بر سانتی‌متر مربع و استفاده از افزودنی یُدید پتاسیم، تخلخل کاهش یافت.

مراجع

- Ballarin, B., Cassani, M. C., Maccato, C. and Gasparotto, A., "RF-sputtering preparation of gold-nanoparticle-modified ITO electrodes for electrocatalytic applications," *Nanotechnology*, Vol. 22, p. 275711, (2011).
- Dai, X. and Compton, R. G., "Direct electrodeposition of gold nanoparticles onto indium tin oxide film coated glass: Application to the detection of arsenic(III)," *Analytical sciences : the international journal of the Japan Society for Analytical Chemistry*, Vol. 22, pp. 567-70, (2006).
- Sarvestani, R. K. and Williams, J. D., "Frequency-Dependent Control of Grain Size in Electroplating Gold for Nanoscale Applications," *Electrochemical and Solid-State Letters*, Vol. 13, pp. D37-D39, (2010).
- Olson, T. S., Atanassov, P. and Brevnov, D. A., "Electrodeposition of Gold Particles on Aluminum Substrates Containing Copper," *The Journal of Physical Chemistry B*, Vol. 109, pp. 1243-1250, (2004).
- Oyama, M., "Wet Chemical Preparations and Electrochemical Applications of Metal Nanoparticle-

- Attached Indium Tin Oxide Electrodes," *Review of Polarography*, Vol. 53, pp. 3-18, (2007).
6. Mei Gao, D., Sun, Y. Y., Zhao, Q., Bo Hu, J. and Long Li, Q., "Determination of hemoglobin at a novel NH₂/ITO ion implantation modified electrode," *MicrochimicaActa*, Vol. 160, pp. 241-246, (2008).
 7. Tang, Y.-Y. and Chen, P.-Y., "Gold Nanoparticle-electrodeposited Electrodes Used for p-NitrophenolDetection in Acidic Media: Effect of Electrodeposition Parameters on Particle Density, Size Distribution, and Electrode Performance," *Journal of the Chinese Chemical Society*, Vol. 58, pp. 723-731, (2011).
 8. Wang, L., Mao, W., Ni, D., Di, J., Wu, Y. and Tu, Y., "Direct electrodeposition of gold nanoparticles onto indium/tin oxide film coated glass and its application for electrochemical biosensor," *Electrochemistry Communications*, Vol. 10, pp. 673-676, (2008).
 9. Sun, F., Cai, W., Li, Y., Duan, G., Nichols, W., Liang, C., Koshizaki, N., Fang, Q. and Boyd, I., "Laser morphological manipulation of gold nanoparticles periodically arranged on solid supports," *Applied Physics B*, Vol. 81, pp. 765-768, (2005).
 10. Ustarroz, J., Gupta, U., Hubin, A., Bals, S. and Terryn, H., "Electrodeposition of Ag nanoparticles onto carbon coated TEM grids: A direct approach to study early stages of nucleation," *Electrochemistry Communications*, Vol. 12, pp. 1706-1709, (2010).
 11. Choi, Y.-B., Kim, H., Han, G., Kim, H.-H. and Kim, S., "Voltammetric detection of trimethylamine using immobilized trimethylamine dehydrogenase on an electrodeposited goldnanoparticle electrode," *Biotechnology and Bioprocess Engineering*, Vol. 16, pp. 631-637, (2011).
 12. QI-XIA, Y., "The effects of duty cycle and frequency on the crystal size of pulse-plated gold," *Plating and surface finishing*, Vol. 76, pp. 52-53, (1989).
 13. سیاوش مخر، ر، "آبکاری پالسی طلای خالص و آلیازی"، پایان نامه کارشناسی ارشد، دانشگاه صنعتی شریف، (۱۳۸۹).
 14. Dolati, A., Imanieh, I., Salehi, F. and Farahani, M., "The effect of cysteine on electrodeposition of gold nanoparticle," *Materials Science and Engineering: B*, Vol. 176, pp. 1307-1312, (2011).
 15. Sakai, N., Fujiwara, Y., Arai, M., Yu, K., and Tatsuma, T., "Electrodeposition of gold nanoparticles on ITO: Control of morphology and plasmon resonance-based absorption and scattering," *Journal of Electroanalytical Chemistry*, Vol. 628, pp. 7-15, (2009).
 16. El-Deab, M. S., Sotomura, T. and Ohsaka, T., "Oxygen reduction at electrochemically deposited crystallographically oriented Au (100)-like gold nanoparticles," *Electrochemistry Communications*, Vol. 7, pp. 29-34, (2005).
 17. Shanthi, C., Barathan, S., Jaiswal, R. and Arunachalam, R. "Study of surface morphology in DC and pulse plating of silver alloy," *Indian Journal of Engineering and Materials Sciences*, Vol. 16, p. 128, (2009).

18. Li, Y. and Lasia, A., "Study of gold deposition on copper by electrochemical and microscopic techniques," *Journal of applied electrochemistry*, Vol. 27, pp. 643-650, (1997).
19. Kashtanov, P., Hippel, R., Smirnov, B. and Bhattacharyya, S., "Thermal fragmentation of nano-size clusters on surfaces," *EPL (Europhysics Letters)*, Vol. 90, p. 16001, (2010).
20. Binns, C., "Materials produced by assembling gas-phase nanoclusters," *Current Opinion in Solid State and Materials Science*, Vol. 8, pp. 203-209, (2004).
21. Li, Y., Chrzanowski, W. and Lasia, A., "Nucleation and crystal growth in gold electrodeposition from acid solution Part I: Soft gold," *Journal of applied electrochemistry*, Vol. 26, pp. 843-852, (1996).
22. Paunovic, M., Schlesinger, M. and Snyder, D. D., "Fundamental Considerations," in *Modern Electroplating*, ed: John Wiley & Sons, Inc., pp. 1-32, (2010).
23. Bu, L., Wang, W. and Wang, H., "Effect of the substrate on the electrodeposition of $\text{Bi}_2\text{Te}_{3-y}\text{Se}_y$ thin films," *Materials Research Bulletin*, Vol. 43, pp. 1808-1813, (2008).
24. Bouraiou, A., Aida, M., Tomasella, E. and Attaf, N., "ITO substrate resistivity effect on the properties of CuInSe_2 deposited using two-electrode system," *Journal of materials science*, Vol. 44, pp. 1241-1244, (2009).
25. Abbaschian, R. and Reed-Hill, R. E., "Physical Metallurgy Principles", 3rd ed., pp. 441, Tehran: Nopardazan Publisher, (2002).

تأثیر میزان کربنات سدیم و فعال‌سازی مکانیکی بر سینتیک احیای کربوترومی مولبیدنیت*

کاظم شبیانی تدریجی^(۱) محمد حسن عباسی^(۲) مرتضی شمعانیان^(۳)

چکیده

در این پژوهش، سینتیک احیای کربوترومی مولبیدنیت در حضور مقادیر مختلفی از کربنات سدیم بررسی شده است. برای این منظور، مخلوط پودری مولبیدنیت، گرافیت و کربنات سدیم با سه نسبت مولی مختلف ۱:۴:۲، ۱:۴:۳ و ۱:۴:۴ هر کدام به مدت ۴ ساعت فعال‌سازی شد. الگوهای پراش پرتوی ایکس از نمونه‌های فعال‌سازی شده نشان دادند که با انجام آسیاکاری بر روی نمونه‌ها با نسبت‌های مختلف کربنات سدیم تا ۴ ساعت، هیچ واکنشی درون محفظه‌ی آسیاکاری رخ نمی‌دهد. افزون بر این، تأثیر فعال‌سازی مکانیکی بر کاهش اندازه‌ی ذرات مولبیدنیت در سه مخلوط با نسبت‌های مختلف کربنات سدیم با استفاده از روش ولیامسون-هال بررسی شد و مشخص شد که افزایش میزان کربنات سدیم درون مخلوط سبب کاهش تأثیر فعال‌سازی مکانیکی بر اندازه‌ی ذرات مولبیدنیت می‌شود. به منظور بررسی فرایند احیاء، آزمون آنالیز حرارتی هم‌زمان با سه نرخ حرارت دهنی خطی ۱۰، ۱۵ و ۲۰ درجه‌ی سانتی‌گراد بر دقيقه بر روی نمونه‌ها انجام شد و مشخص شد که افزایش کربنات سدیم بیش از مقادار استوکیومتری سبب افزایش دمای واکنش احیاء می‌شود. نتایج حاصل از آزمون آنالیز حرارتی به سه روش سینتیکی فریدمن، کسینجر، و اوزاوا تحلیل شد و دیده شد که انرژی فعال‌سازی واکنش احیاء با افزایش میزان کربنات سدیم افزایش می‌یابد.

واژه‌های کلیدی مولبیدنیت، احیای کربوترومی، سینتیک، کربنات سدیم، فعال‌سازی مکانیکی.

The Effects of Mechanical Activation and Sodium Carbonate on Kinetics of Carbothermic Reduction of Molybdenite

K. Sheybani M.H. Abbasi M. shamanian

Abstract In this research, kinetics of carbothermic reduction of molybdenite in the presence of different amounts of sodium carbonate has been studied. Mixed powders consisting of molybdenite, graphite and sodium carbonate with three mole-ratios of 1:4:2, 1:4:3 and 1:4:4 were mechanically activated for 40 hours. The results of X-ray diffraction on activated samples showed that no reaction occurs in different samples during milling. The effect of mechanical activation on reduction of molybdenite particle size in three mixtures having different amounts of sodium carbonate was investigated by the Williamson-Hall method. The results indicated that the grain size of molybdenite increases with increasing the amount of sodium carbonate in different samples. To study the kinetics of carbothermic reduction of molybdenite in the presence of different amounts of sodium carbonate, simultaneous thermal analysis (STA) with heating rates of 10, 15 and 20 °C/min was carried out on activated samples. The results were evaluated using the Friedman, Kissinger and Ozawa approaches and it was found that the temperature and activation energy of molybdenite carbothermic reduction in the presence of sodium carbonate increase with an increase in the amount of sodium carbonate in different samples.

Key Word Molybdenite, Carbothermic reduction, Kinetics, Sodium Carbonate, Mechanical activation.

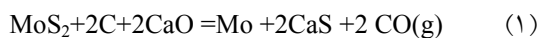
* نسخه‌ی نخست مقاله در تاریخ ۹۲/۶/۷ و نسخه‌ی پایانی آن در تاریخ ۹۳/۲/۲۲ به دفتر نشریه رسیده است.

(۱) نویسنده‌ی مسئول، دانشجوی کارشناسی ارشد، دانشکده مهندسی مواد، دانشگاه صنعتی اصفهان

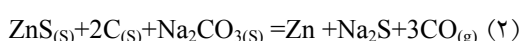
(۲) استاد، دانشکده مهندسی مواد، دانشگاه صنعتی اصفهان

(۳) استاد، دانشکده مهندسی مواد، دانشگاه صنعتی اصفهان

جادب گوگرد به حساب می‌آیند. در واقع، استفاده از آهک این امکان را می‌دهد تا واکنش احیای کربوترمی که از لحظه ترمودینامیکی در دماهای زیر 1300°C امکان پذیر نیست، با تشکیل فاز میانی CaMoO_4 انجام پذیر شود [۱۱-۸]. معادله کلی واکنش احیای کربوترمی مولیبدنیت در حضور آهک به شکل زیر است:



در تحقیق دیگری که توسط بیرالوند و همکاران انجام شده است، اکسید منیزیم به عنوان ماده جاذب گوگرد در موضوع احیای کربوترمی مولیبدنیت استفاده شده است. در این تحقیق، مشخص شده است که احیای کربوترمی مولیبدنیت در حضور اکسید منیزیم امکان پذیر است و فرایند احیا با تشکیل فازهای میانی MoO_4 و MgMoO_4 پیش می‌رود. اکسید مولیبدن و مولیبدات منیزیم تولید شده، در مرحلهٔ بعدی احیا توسط گاز مُنوکسید کربن به مخلوط Mo_2C ، Mo و MgS تبدیل می‌شود [۱۲ و ۱۳]. برای احیای کربوترمی مولیبدنیت در حضور عوامل جاذب گوگرد، عمدتاً از عوامل جاذب گوگرد مانند آهک و ترکیب‌های آن و اکسید منیزیم استفاده شده است و سایر عوامل جاذب گوگرد از جمله اکسید و کربنات‌های فلزات قلیایی، به منظور احیای کربوترمی مولیبدنیت استفاده نشده‌اند. با مطالعه و بررسی سولفید فلزات دیگر از جمله سولفید روی، مشخص شده است که احیای کربوترمی این سولفیدها در حضور کربنات فلزات قلیایی نظری کربنات سدیم، به خوبی امکان پذیر است و جذب گوگرد توسط سدیم به خوبی صورت می‌گیرد [۱۶-۱۴]. واکنش احیای کربوترمی سولفید روی در حضور کربنات سدیم، به شکل زیر است:



با توجه به واکنش (۲)، مشخص است که احیای کربوترمی سولفیدها از جمله سولفید روی، در حضور

مقدمه

مولیبدن و آلیاژهای آن، از جمله مواد فلزی ارزشمندی هستند که در صنایع مختلف نظری صنایع شیمیایی، صنایع فولاد، انرژی هسته‌ای و صنایع الکترونیکی کاربردهای وسیعی دارند. مولیبدنیت، منبع اصلی و مهم‌ترین کانی برای استحصال مولیبدن به شمار می‌آید. با توجه به اهمیت مولیبدن و آلیاژهای آن، همواره مطالعه و بررسی به منظور بهبود فرایندهای استحصال و تولید این فلز مورد توجه بوده است.

در بین روش‌های صنعتی و آزمایشگاهی متعددی که برای استحصال مولیبدن از گنسانتره مولیبدنیت (MoS_2) وجود دارند، روش تشویه (Roasting) مرسوم‌ترین است. در این روش، پس از تشویهٔ مولیبدنیت و خالص‌سازی اکسید به وجود آمده، احیای اکسید خالص توسط هیدروژن برای تولید مولیبدن انجام می‌شود [۱]. این روش، عیب‌های متعددی از جمله آلدگی زیست محیطی به دلیل تولید و پخش SO_2 ، هزینهٔ بالا به دلیل طولانی بودن زمان تشویه در کوره‌های طبقه‌ای و هدر رفتن مولیبدن به دلیل فرار بودن ترکیب‌های اکسیدی، دارد [۲-۴]. به همین دلیل، در سال ۱۹۹۳ احیای کربوترمی مولیبدنیت مورد توجه قرار گرفت. احیای مستقیم مولیبدنیت توسط کربن، از نقطه نظر ترمودینامیکی میسر نیست، زیرا ثابت تعادل این واکنش کوچک است و انجام واکنش به دمای بسیار بالایی نیاز دارد [۵]. از این‌رو، استفاده از عواملی که بتوانند جنبه‌های ترمودینامیکی احیا را تقویت کنند، مطرح شده است. استفاده از مواد جاذب گوگرد، یکی از این عوامل است. در واقع، استفاده از مواد جاذب گوگرد می‌تواند دو پیامد مثبت به شرح زیر برای واکنش احیای مستقیم مولیبدنیت داشته باشد [۶ و ۷]:

- ۱- غلبه بر مشکل انتشار SO_2 و جلوگیری از آلدگی محیط با توجه به جذب گوگرد
- ۲- افزایش ثابت تعادل واکنش و مهیا کردن شرایط ترمودینامیکی انجام واکنش احیا
- ۳- اکسید کلسیم (آهک) و کربنات کلسیم عوامل

قطر ۲۰ میلی‌متر استفاده شد. عملیات فعال‌سازی در مدت زمان ۴۰ ساعت انجام گرفت. برای بررسی تأثیر فعال‌سازی مکانیکی بر اندازه‌های دانه‌های مولیبدنیت در هر یک از مخلوطها و بررسی کرنش شبکه، از روش ویلیامسون-هال و از نرم‌افزارهای X-pert و سیگماپلات استفاده شد. از دستگاه میکروسکپ الکترونی رویشی نیز برای بررسی مُرفلوژی و اندازه‌ی ذرات قبل و بعد از فعال‌سازی استفاده شد. به‌منظور انجام آنالیز حرارتی غیر هم‌دمای بر روی مخلوط پودری، از دستگاه آنالیز حرارتی هم‌زمان (STA) استفاده شد. آزمون‌ها در محیط گاز آرگون با خلوص بالا و با سرعت‌های گرمایش ۱۰، ۱۵ و ۲۰ درجه‌ی سانتی‌گراد بر دقیقه انجام شد. وزن اولیه‌ی تمام نمونه‌ها تقریباً برابر با ۳۰ میلی‌گرم انتخاب شد. آزمون‌های فازشناسی، به‌کمک دستگاه پراش پرتوی ایکس مدل Philips X-pert با سرعت رویش S^{-1} ۰/۰۵ انجام شد. برای بررسی سیستیک فرایند احیاء، از روش‌های فریدمن، کسینجر و اوزاوا استفاده شد.

نتایج و بحث

بررسی ساختاری نمونه‌های فعال‌سازی شده - در شکل (۱)، الگوهای پراش پرتوی ایکس مربوط به مخلوط پودری مولیبدنیت، گرافیت و کربنات سدیم با نسبت‌های مولی ۱:۴، ۲:۴، ۱:۳ و ۱:۴ که به مدت ۴۰ ساعت آسیاکاری شده‌اند، نشان داده شده است. بررسی الگوهای پراش پرتوی ایکس در نمونه‌ی فعال‌سازی نشده و نمونه‌های فعال‌سازی شده با نسبت‌های مختلف کربنات سدیم، نشان داد که با افزایش میزان کربنات سدیم و انجام فعال‌سازی مکانیکی تا ۴۰ ساعت، هیچ فاز جدیدی در الگوی پراش مشاهده نمی‌شود، به‌یان دیگر، هیچ واکنش شیمیایی یا تغییر فازی در فرایند آسیاکاری درون محفظه‌ی آسیا انجام نشده است. نکته‌ی مشهودی که در الگوهای پراش دیده می‌شود این است که با انجام فعال‌سازی مکانیکی در تمامی نمونه‌ها، شلت پیک‌های مولیبدنیت کاهش و

کربنات سدیم امکان‌پذیر است و سدیم به عنوان عامل مناسبی برای جذب گوگرد، باعث جذب گوگرد و تشکیل سولفید سدیم می‌شود. به‌طور مشابه، می‌توان واکنش احیای کربوترمی مولیبدنیت در حضور کربنات سدیم را به صورت زیر نوشت:



مهم‌ترین مشکلی که در واکنش احیای کربوترمی مولیبدنیت در حضور عوامل جاذب گوگرد وجود دارد، سرعت کم این واکنش در دمای‌های زیر ۱۳۰°C است. از جمله عواملی که می‌توانند بر سیستیک واکنش احیای کربوترمی مولیبدنیت در حضور عوامل جاذب گوگرد مؤثر باشند، فرایند فعال‌سازی مکانیکی (به‌منظور ایجاد ذرات ریز با سطح فعال و انرژی درونی بالا برای بالا بردن سرعت انجام واکنش) و میزان و نوع عامل جاذب گوگرد مصرفی می‌باشند [۱۷]. در این پژوهش، از کربنات سدیم به عنوان ماده‌ی جاذب گوگرد استفاده شده است و تأثیر هم‌زمان فعال‌سازی مکانیکی و مقادیر کربنات سدیم مصرفی بر سیستیک احیای کربوترمی مولیبدنیت در حضور این عامل جاذب گوگرد بررسی شده است.

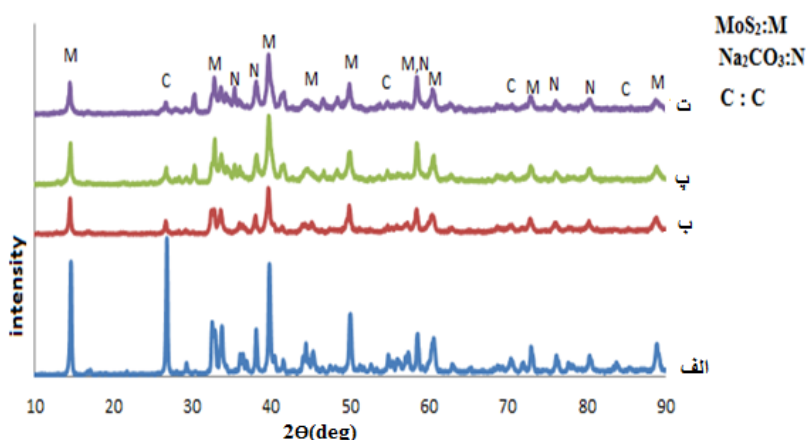
روش تحقیق

در این تحقیق، از پودر مولیبدنیت با خلوص ۹۹/۹ درصد محصول شرکت مِرک آلمان، گرافیت با خلوص ۹۹/۹ درصد محصول شرکت یونیکم و کربنات سدیم با خلوص ۹۹/۹ درصد محصول شرکت مِرک آلمان استفاده شده است.

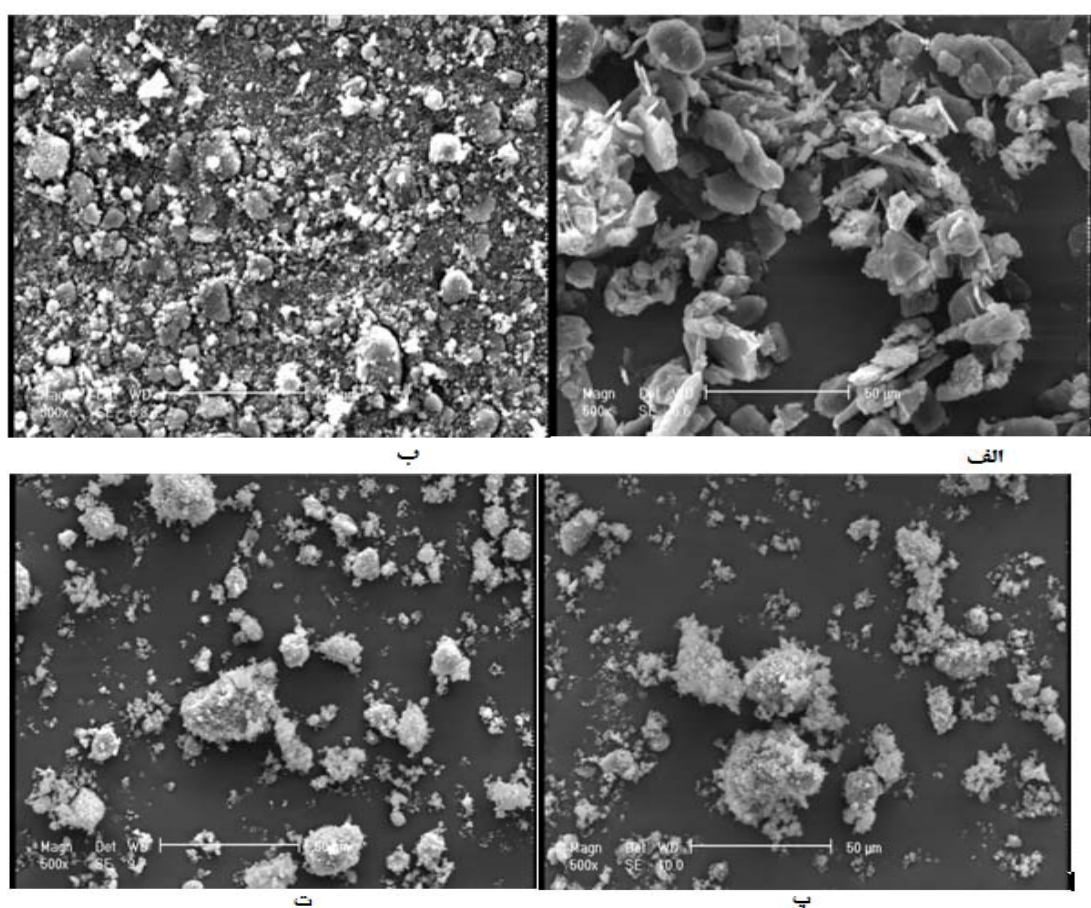
مخلوط‌های MoS_2 ، C و Na_2CO_3 با سه نسبت مولی ۱:۴:۲، ۱:۴:۳ و ۱:۴:۴ تهییه شد. برای فعال‌سازی نمونه‌ها، از آسیای گلوله‌ای نوع سیاره‌ای ساخت شرکت رستک آلمان، با سرعت حرکت ۳۰۰ دور بر دقیقه و نسبت گلوله به پودر برابر با ۱۵ به ۱ و گلوله‌های فولادی کروم سخت شده ضد سایش به

شبکه رخ داده است [۱۸].

پنهانی آنها افزایش یافته است. کاهش ارتفاع و پهن شدگی پیک‌ها، به دلیل ریزشدن دانه‌ها و افزایش کرنش



شکل ۱ الگوی پراش پرتونی ایکس؛ (الف) نمونه‌ی فعال‌سازی نشده، (ب) مخلوط ۱ : ۴ با ۴۰ ساعت فعال‌سازی، (پ) مخلوط ۱ : ۴ با ۳۰ ساعت فعال‌سازی و (ت) مخلوط ۱ : ۴ با ۴۰ ساعت فعال‌سازی



شکل ۲ تصویرهای میکروسکوپ الکترونی رویشی؛ (الف) فعال‌سازی نشده، (ب) مخلوط ۱ : ۴ با ۴۰ ساعت فعال‌سازی، (پ) مخلوط ۱ : ۴ با ۳۰ ساعت فعال‌سازی و (ت) مخلوط ۱ : ۴ با ۴۰ ساعت فعال‌سازی

دانه و کرنش داخلی، داشتن پهنهای پیک در نیمه‌ی ارتفاع آن لازم است. به منظور بالا بردن دقّت و حذف خطأ در اندازه‌گیری پهنهای پیک‌ها، از نرم‌افزار سیگماپلات که نرم‌افزاری پیشرفته برای رسم نمودار و برآش آن است، استفاده شد.

ابتدا برای بررسی تأثیر فعال‌سازی مکانیکی بر اندازه‌ی دانه‌های مولیبدنیت در یک نسبت ثابت از کربنات سدیم، مخلوط پودرهای مولیبدنیت، گرافیت و کربنات سدیم با نسبت $1:4:2$ به مدت زمان‌های 10 ، 20 و 40 ساعت آسیاکاری شد. نمودار تغییرات $B\cos\theta$ بر حسب $\sin\theta$ برای نمونه‌های با زمان‌های مختلف فعال‌سازی رسم شد و اندازه‌ی دانه مولیبدنیت، کرنش شبکه و عامل فعال‌سازی (d/ϵ) در زمان‌های مختلف محاسبه شدند. نتایج این محاسبات، در جدول (۱) قابل مشاهده‌اند.

همان‌طور که در جدول (۱) مشاهده می‌شود، انجام فعال‌سازی بر روی مخلوط پودری در یک نسبت ثابت از مواد اوئیه سبب کاهش اندازه‌ی دانه‌های مولیبدنیت و افزایش کرنش شبکه در آن شده است. برای بررسی تأثیر میزان کربنات سدیم، سه مخلوط پودری مولیبدنیت، گرافیت و کربنات سدیم با نسبت‌های مولی مختلف از کربنات سدیم، به مدت 40 ساعت فعال‌سازی شدند و تأثیر میزان کربنات سدیم بر فعال‌شدن و کاهش اندازه‌ی دانه‌های مولیبدنیت مشاهده شد. نتایج محاسبات مربوط به این سه نسبت مولی، در جدول (۲) آمده است. با مقایسه‌ی نسبت کربنات سدیم در نمونه‌های فعال‌سازی شده در جدول (۲) که هر سه به یک میزان آسیاکاری شده‌اند، در می‌یابیم که با افزایش میزان کربنات سدیم، اندازه‌ی دانه‌های مولیبدنیت افزایش و عامل فعال‌سازی کاهش یافته است. در شکل (۳)، تأثیر میزان کربنات سدیم بر اندازه‌ی دانه مولیبدنیت پس از 40 ساعت فعال‌سازی نشان داده شده است. برای توجیه این که چرا با افزایش میزان کربنات سدیم از تأثیر فعال‌سازی مکانیکی بر کاهش اندازه‌ی دانه‌های مولیبدنیت کاسته شده است،

شکل (۲)، تصویرهای میکروسکوپ الکترونی روبشی مربوط به مخلوط آسیاکاری نشده (الف) و نمونه‌های آسیاکاری شده به مدت 40 ساعت با درصدهای مختلفی از کربنات سدیم در بزرگنمایی 500 برابر را نشان می‌دهد. همان‌طور که ملاحظه می‌شود، با انجام آسیاکاری نمونه‌های با درصدهای مختلف کربنات سدیم تا 40 ساعت، خردشده‌ی ذرات پودر و افزایش سطح ویژه‌ی آن‌ها رخ داده است. با افزایش میزان کربنات سدیم، اگر چه خرد شدن ذرات هم اتفاق افتاده است، ولی پدیده‌ی غالب تجمع ذرات خرد شده و تشکیل کلوخه‌ها می‌باشد. همان‌گونه که در تصویرهای (۲-پ) و (۲-ت) مشاهده می‌شود، با افزایش میزان کربنات سدیم، ذرات تا اندازه‌ای در یکدیگر فرو رفته‌اند. در واقع، ذرات کربنات سدیم و گرافیت با در بر گرفتن ذرات مولیبدنیت، به ایجاد ساختار مرکب کمک کرده‌اند. در ادامه، با افزایش نسبت مولی کربنات سدیم، مشاهده می‌شود که ذرات به شدت در هم درگیر شده‌اند و اندازه‌ی کلوخه‌های تشکیل شده در این حالت بزرگ‌تر شده است.

محاسبه‌ی اندازه‌ی دانه‌های بلوری مولیبدنیت در مخلوط‌های با نسبت‌های مختلف کربنات سدیم. با استفاده از رابطه‌ی ویلیامسون- هال و الگوی پراش پرتوی ایکس، می‌توان اندازه‌ی دانه و کرنش ذرات پودر آسیا شده را به دست آورد. رابطه‌ی ویلیامسون- هال به شکل زیر می‌باشد:

$$B \cos\theta = 0.9\lambda/d + 2\epsilon \sin\theta \quad (4)$$

در این رابطه، λ طول موج پرتوی ایکس، d اندازه‌ی دانه و B پهنه‌ای پیک در نیمه‌ی ارتفاع آن (بر حسب رادیان) و θ زاویه‌ی برآگ می‌باشد. همان‌طور که از نوع معادله مشخص است، اگر داده‌های مربوط به $B\cos\theta$ بر حسب $\sin\theta$ برای چند پیک در الگوی پراش پرتوی ایکس در زاویه‌های مختلف رسم شود، تغییرات به صورت خطی خواهد بود و شب آن کرنش و عرض از مبدأ آن اندازه‌ی دانه خواهد بود. برای تعیین اندازه‌ی

بالا، به عنوان یک عامل ساینده در فرایند آسیاکاری عمل می‌کند، در حالی که کربنات سدیم و گرافیت به دلیل استحکام بسیار پایین‌تر، به عنوان یک عامل روان‌کار عمل می‌کند، به طوری که مانع از تأثیر سایش بر فعال‌سازی مکانیکی می‌شود. بنابراین، افزایش میزان کربنات سدیم به دلیل استحکام کمتر شبکه‌ی بلوری، می‌تواند باعث کم شدن تأثیر فعال‌سازی مکانیکی بر اندازه‌ی دانه‌های مولیبدنیت شود. به عبارت دیگر، آهک اثر افزایشی بر میزان فعال‌شوندگی مولیبدنیت دارد، در حالی که کربنات سدیم از شدت فعال‌شوندگی مولیبدنیت می‌کاهد.

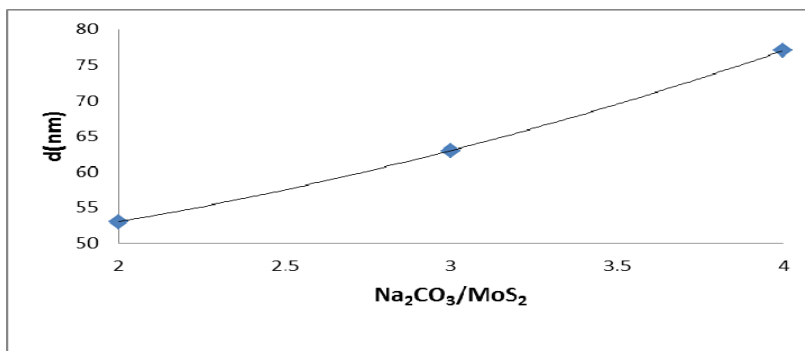
می‌توان به مقایسه‌ی آهک و کربنات سدیم پرداخت. در مقایسه‌ی بین آهک و کربنات سدیم به عنوان دو عامل جاذب گوگرد، آهک به دلیل استحکام بسیار بالای شبکه‌ی بلوری، حتی پس از ۱۰۰ ساعت فعال‌سازی هم هیچ‌گونه تغییری در پیک‌های مربوط به الگوی پراش پرتوی ایکس خود بروز نمی‌دهد [۹]. بنابراین، حضور آهک در مخلوط مولیبدنیت، گرافیت و آهک در مقایسه با کربنات سدیم در مخلوط مولیبدنیت، گرافیت و کربنات سدیم، می‌تواند به شدت موجب افزایش عامل فعال‌سازی مولیبدنیت شود. در واقع، آهک با یک شبکه‌ی سخت و متراکم و با سختی بسیار

جدول ۱ مقایسه‌ی کرنش و اندازه‌ی دانه‌ی مولیبدنیت با افزایش زمان فعال‌سازی

عامل فعال‌سازی (ϵ/d)	کرنش شبکه (ϵ ، درصد)	اندازه‌ی دانه‌ی بلوری مولیبدنیت (d ، نانومتر)	زمان فعال‌سازی (ساعت)
۰/۰۰۳۵	۰/۳۵	۹۹	صفر
۰/۰۰۴۱	۰/۳۸	۹۲	۱۰
۰/۰۰۵۷	۰/۴	۷۰	۲۰
۰/۰۰۷۸	۰/۴۳	۵۵	۴۰

جدول ۲ مقایسه‌ی اندازه‌ی دانه‌ی مولیبدنیت و میزان کرنش در نمونه‌های با نسبت‌های مختلف کربنات سدیم

عامل فعال‌سازی (ϵ/d)	کرنش شبکه (ϵ ، درصد)	اندازه‌ی دانه‌ی بلوری مولیبدنیت (d ، نانومتر)	نسبت مولیبدنیت: گرافیت: کربنات سدیم
۰/۰۱۶	۰/۸۷	۵۳	۱ : ۴ و ۴۰ ساعت فعال‌سازی
۰/۰۱۲	۰/۸	۶۳	۱ : ۴ و ۴۰ ساعت فعال‌سازی
۰/۰۱	۰/۸	۷۷	۱ : ۴ و ۴۰ ساعت فعال‌سازی



[شکل ۳ تأثیر نسبت مولی کربنات سدیم به اندازه‌ی دانه‌ی مولیبدنیت پس از ۴۰ ساعت فعال‌سازی]

کاهش تماس بین ذرات احیاء کنندهٔ کربن و ذرات مولیبدنیت می‌شود و این می‌تواند دمای انجام واکنش را افزایش و سرعت آن را کاهش دهد [۷].

بررسی سیستیک احیاء در حضور مقادیر مختلفی از کربنات سدیم - روش‌های بدون مدل در محاسبهٔ عوامل سیستیکی بر این اساس استوار هستند که سازوکار واکنش با تغییر سرعت گرمایش تغییری نمی‌کند. با این فرض، سرعت واکنش در کسر معینی از پیشرفت واکنش تنها تابع دما خواهد بود. در اغلب موارد، از عامل کسر تبدیل α در محاسبات سیستیکی واکنش‌های در حالت جامد استفاده می‌شود. این عامل مطابق با رابطهٔ زیر محاسبه می‌شود:

$$\alpha = \frac{(W_0 - W_t)}{(W_0 - W_f)} \quad (5)$$

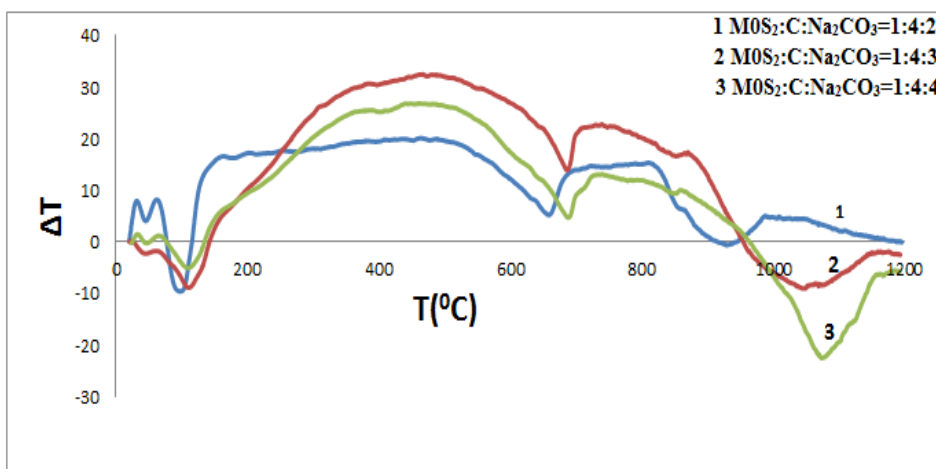
که در آن، W_t ، W_0 و W_f به ترتیب وزن اولیهٔ نمونه، وزن نمونه در زمان t و وزن نهایی نمونه می‌باشد. نمودار تغییرات کسر انجام واکنش احیاء بر حسب دما برای نمونه‌ای با سه نسبت مولی مختلف از کربنات سدیم با نرخ حرارت دهی $20^{\circ}\text{C}/\text{min}$ (۵) نشان داده شده است. با توجه به این شکل، مشخص است که افزودن کربنات سدیم بیش از مقدار استوکیومتری به مخلوط پودری سبب افزایش دمای شروع و پایان واکنش احیاء شده است. افزون بر این، با رسم نمودار کسر انجام واکنش بر حسب دما در سه نرخ حرارت دهی برای هر نمونه، مشخص می‌شود که روند تغییرات کسر انجام واکنش با توجه به سرعت‌های گرمایش 10 و 20 درجهٔ سانتی‌گراد بر دقيقه، مشابه یکدیگر است. بنابراین، می‌توان نتیجه گرفت که سرعت واکنش در کسر معینی از پیشرفت واکنش تنها تابع دما بوده است. با توجه به این موضوع، استفاده از روش‌های بدون مدل برای این نمونه‌ها صحیح است.

احیاء

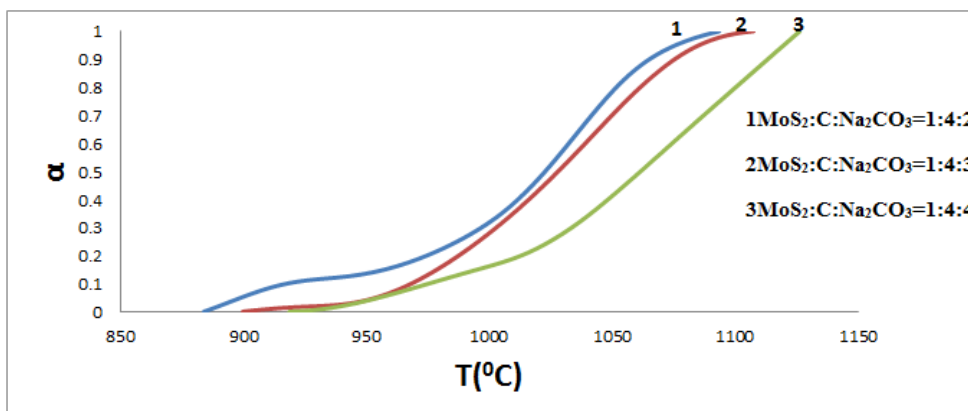
با توجه به تأثیر فعال‌سازی مکانیکی بر فعال شدن دانه‌های مولیبدنیت (جدول (۱)), سه مخلوط مولیبدنیت، گرافیت و کربنات سدیم با درصدهای مختلف کربنات سدیم به مدت 40 ساعت آسیاکاری شدند و پس از آن، به منظور بررسی احیاء کربوتومی مولیبدنیت با نسبت‌های مولی مختلف از کربنات سدیم، مخلوط C, MoS_2 و Na_2CO_3 با سه نسبت مولی $1:4:4$ ، $1:2:4$ و $1:4:3$ که هر سه به مدت 40 ساعت فعال‌سازی شده بودند، از دمای محیط تا دستگاه آنالیز حرارتی همزمان با نرخ حرارت دهی 10 ، 20 درجهٔ سانتی‌گراد بر دقيقه گرم شدند. در شکل (۴)، نمودارهای آنالیز حرارتی افتراقی (DTA) مربوط به سه مخلوط پودری با نرخ حرارت دهی $10^{\circ}\text{C}/\text{min}$ نشان داده شده‌اند. با توجه نتایج نشاده داده شده در شکل (۴)، مشخص است که حضور کربنات سدیم بیش از مقدار استوکیومتری سبب افزایش دمای شروع و پایان واکنش احیاء شده است. این رفتار می‌تواند ناشی از دو عامل مهم به شرح زیر باشد:

۱- با توجه به محاسبات مربوط به فعال‌سازی مکانیکی، مشاهده شد که افزایش کربنات سدیم درون مخلوط تأثیر منفی بر فعال‌سازی مولیبدنیت داشته است و از کاهش اندازهٔ دانه‌های مولیبدنیت حین فرایند آسیاکاری جلوگیری کرده است. بنابراین، با افزایش میزان کربنات سدیم بیش از مقدار استوکیومتری، دمای واکنش احیاء افزایش می‌یابد.

۲- تحقیق انجام شده در مورد آهک و کربنات کلسیم نیز نشان می‌دهد که با افزایش میزان آهک و کربنات کلسیم بیش از میزان استوکیومتری، سرعت انجام واکنش کاهش و دمای آن افزایش می‌یابد. دلیلی که محققان در این مورد ذکر کرده‌اند این است که افزایش عامل جاذب گوگرد بیش از مقدار استوکیومتری سبب



شکل ۴ نمودار آنالیز حرارتی افتراقی مربوط به نمونه‌های با نسبت‌های مختلف کربنات سدیم و ۴۰ ساعت فعال‌سازی شده با نرخ حرارت دهنی $10\text{ }^{\circ}\text{C}/\text{min}$



شکل ۵ نمودار تغییرات کسر انجام واکنش مخلوط پودری با نسبت‌های مختلف کربنات سدیم

نمودارهای $\ln[\beta(d\alpha/dT)_a]$ بر حسب $1/T$ برای واکنش احیای کربوترمی مولیبدنیت در حضور سه مقدار مختلف کربنات سدیم در مقادیر مختلف α رسم شد و مقادیر انرژی فعال‌سازی واکنش احیاء در این شرایط محاسبه شد. نتایج این محاسبات برای سه نسبت مولی مختلف مولیبدنیت، گرافیت و کربنات سدیم، در جدول (۳) آمده است. همان‌طور که در این جدول مشاهده می‌شود، مقادیر انرژی فعال‌سازی واکنش احیاء برای مقادیر α بین $0/2$ تا $0/8$ در هر مخلوط، تقریباً ثابت می‌باشند. بنابراین، با توجه به مقادیر انرژی فعال

روش بدون مدل فریدمن، مدل کسر تبدیل برابر که توسط فریدمن پیشنهاد شده است، مطابق با رابطه زیر است:

$$\ln[\beta(d\alpha/dT)_a] = \ln[A.f(\alpha)] - (E/RT)_a \quad (6)$$

در این روش، آزمایش در سرعت‌های گرمایش متفاوت انجام می‌شود و مقدار $d\alpha/dT$ در مقادیر مختلف α محاسبه می‌شود. با رسم نمودارهای $\ln[\beta(d\alpha/dT)_a]$ بر حسب $1/T$ به‌ازای مقادیر α ، می‌توان به سادگی مقادیر E_a را به‌دست آورد.

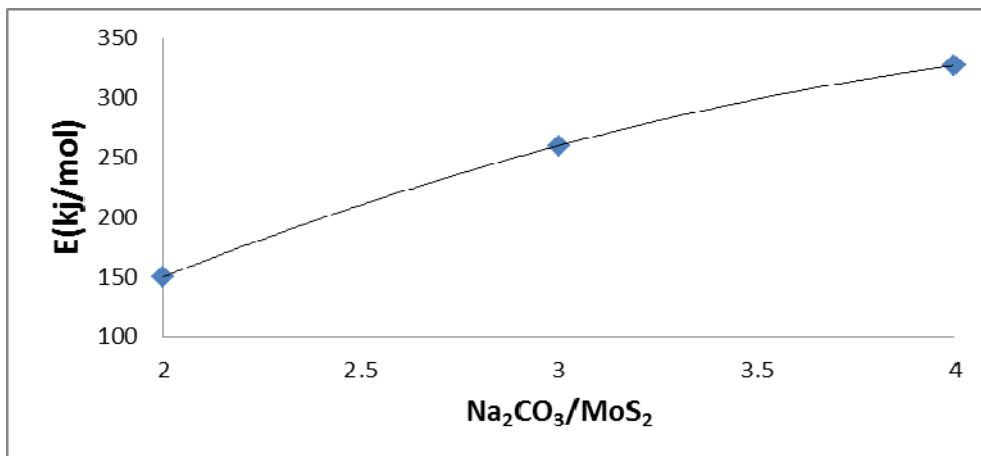
فعال‌سازی واکنش احیاء از حدود ۱۵۰ kJ/mol به ۳۲۷ kJ/mol افزایش پیدا کرده است. با توجه به این که زمان فعال‌سازی در هر سه نمونه برابر با ۴۰ ساعت بوده است، علت افزایش انرژی فعال‌سازی با افزایش مقدار کربنات سدیم را می‌توان به عامل تأثیر میزان کربنات سدیم بر فعال شدن دانه‌های مولیبدنیت نسبت داد. به عبارت دیگر، چون با افزایش میزان کربنات سدیم در مخلوط پودری از تأثیر فعال‌سازی مکانیکی بر کاهش اندازه دانه‌های مولیبدنیت کاسته شده و دمای واکنش افزایش یافته است، انرژی فعال‌سازی واکنش احیاء نیز با افزایش مقدار کربنات سدیم افزایش یافته است.

سازی که در یک محدوده α تقریباً ثابت مانده است و نیز، با توجه به نمودارهای آنالیز حرارتی در شکل (۵)، می‌توان نتیجه گرفت که با افزایش میزان کربنات سدیم در مخلوط‌های پودری، سازوکار واکنش ثابت می‌ماند و تنها مقادیر انرژی فعال‌سازی و دمای واکنش ها تغییر می‌کنند. در شکل (۶)، نمودار تغییرات انرژی فعال‌سازی بر حسب نسبت مولی کربنات سدیم به مولیبدنیت برای مخلوط‌های با ۴۰ ساعت فعال‌سازی نشان داده شده است. با توجه نتایج این شکل، مشخص است که انرژی فعال‌سازی واکنش احیاء کربوتومی مولیبدنیت در حضور کربنات سدیم با افزایش میزان کربنات سدیم افزایش یافته است. به عبارت دیگر، با افزایش میزان کربنات سدیم از نسبت ۲ به ۴، انرژی

جدول ۳ مقادیر انرژی فعال‌سازی در نسبت‌های مختلف کربنات سدیم

به دست آمده با استفاده از روش فریدمن

α	۰/۱	۰/۲	۰/۲۵	۰/۳	۰/۴	۰/۶	۰/۸	۰/۹
E1:4:0 (kJ/mol)	۲۲۱	۱۹۸	۱۵۳	۱۴۹	۱۳۸	۱۳۶	۱۶۰	۱۹۸
E1:4:3 (kJ/mol)	۳۳۴	۲۸۶	۲۶۳	۲۶۶	۲۵۸	۲۶۰	۲۶۵	۳۱۱
E1:4:4 (kJ/mol)	۳۵۱	۳۳۶	۳۳۴	۳۳۹	۳۲۶	۳۴۰	۳۴۶	۳۶۰



شکل ۶ نمودار تغییرات انرژی فعال‌سازی بر حسب نسبت مولی کربنات سدیم به مولیبدنیت برای مخلوط‌های با ۴۰ ساعت فعال‌سازی

قابل توجه، نزدیک بودن مقادیر انرژی فعال سازی در این روش با دو روش قبلی (فریدمن و کسینجر) می باشد. در روش اوزاوا نیز مقادیر انرژی فعال سازی به ازای نسبت های مختلف کربنات سدیم در محدوده α بین $0/2$ تا $0/8$ تقریباً ثابت بود. این نتایج، ثابت بودن سازو کار واکنش با افزایش مقدار کربنات سدیم را تأیید می کند. در جدول (۴)، مقادیر انرژی فعال سازی احیاء برای مخلوط هایی با نسبت مولی مختلف که با استفاده از سه روش فریدمن، کسینجر و اوزاوا به دست آمده اند، با یکدیگر مقایسه شده اند. با توجه به نتایج نشاد داده شده در جدول (۴)، مشخص است که مقادیر انرژی فعال سازی به دست آمده با استفاده از سه روش برای هر ترکیب، بسیار به هم نزدیکند و در هر سه روش، این انرژی با افزایش مقدار کربنات سدیم افزایش یافته است. دلیل های به دست آمدن این نتایج را می توان به صورت زیر بیان کرد:

۱- همان طور که در تصویرهای میکروسکوپ الکترونی شکل (۲) مشاهده می شود، افزایش میزان کربنات سدیم با توجه به تشکیل کلوخه ها و کاهش انرژی آسیاکاری به منظور فعال سازی ذرات، می تواند از تأثیر فعال سازی مکانیکی بر ذرات مولیبدنیت کاسته و سبب بالارفتن دمای واکنش احیاء و انرژی فعال سازی شود.

۲- با مقایسه کربنات سدیم و آهک، می توان گفت که کربنات سدیم به دلیل نداشتن استحکام کافی نمی تواند در فرایند آسیاکاری به عنوان یک عامل ساینده عمل کند. بنابراین، شبیه به گرافیت به عنوان یک عامل روان کار عمل می کند و افزایش آن، موجب کاهش تأثیر فعال سازی مکانیکی بر مولیبدنیت می شود.

۳- در تحقیقات انجام گرفته پیرامون تأثیر افزایش آهک و کربنات کلسیم نیز دیده شده است که افزایش عامل جاذب گوگرد بیش از مقدار استریکومتری سبب افزایش انرژی فعال سازی و دمای واکنش می شود.

روش بدون مدل کسینجر. روش دیگری که در تحلیل غیر هم دما استفاده می شود، روش کسینجر می باشد. در این روش، برای محاسبه انرژی فعال سازی از معادله (۷) استفاده می شود:

$$\ln(\beta_i / T_m^2) = C - (E/RT_m) \quad (7)$$

با تعیین نمودارهای DTA با سرعت های گرمایش مختلف و به کمک معادله (۷)، می توان انرژی فعال سازی را برای واکنش احیاء محاسبه کرد [۱۹]. نمودارهای تغییرات $\ln(\beta_i/T_m^2)$ بر حسب $1/T_m$ برای واکنش احیاء کربوترمی مولیبدنیت در حضور مقادیر مختلفی از کربنات سدیم رسم شد. با توجه به شبیه این نمودارها، مقادیر انرژی فعال سازی واکنش احیاء نیز مطابق با روش فریدمن، روند منظمی را طی کرده است و با افزایش میزان کربنات سدیم، این مقادیر افزایش یافته اند. مقادیر انرژی فعال سازی برای نسبت های $1:1$ ، $2:4$ ، $4:1$ و $3:4$ ، به ترتیب برابر با 151 ، 252 و 333 کیلوژول بر مول به دست آمد که بسیار نزدیک به مقادیر به دست آمده از روش فریدمن می باشند.

روش بدون مدل اوزاوا. در این روش، از تقریب معادله (۸) برای محاسبه انرژی فعال سازی در یک کسر تبدیل مشخص استفاده می شود:

$$\ln(\beta_i) = C - (E_a/RT) \quad (8)$$

به کمک این رابطه، به آسانی می توان مقادیر E_a را با توجه به نمودارهای تغییرات (β_i) بر حسب $1/T$ به ازای مقدار مشخصی از α تعیین کرد. شبیه هر خط برابر با E_a/R می باشد [۲۰]. نمودار تغییرات (β_i) بر حسب $1/T$ برای سه مقدار مختلف کربنات سدیم و به ازای کسر معینی از انجام واکنش های مختلف رسم و مقادیر انرژی فعال سازی واکنش احیاء در مقادیر مختلف α محاسبه شد. نتایج حاصل از روش اوزاوا نیز افزایش انرژی فعال سازی واکنش احیاء را با افزایش میزان کربنات سدیم به خوبی تأیید می کند. نکته ای دیگر

است که در بین عوامل مختلف جاذب گوگرد، کربنات سدیم کمترین انرژی فعالسازی را دارد. در واقع، سدیم بهدلیل فعالیت شیمیایی بیشتر، تمایل بیشتری به جذب گوگرد دارد. تمایل بیشتر سدیم به واکنش با گوگرد و جذب آن، می‌تواند سبب کاهش دمای واکنش احیاء و انرژی فعالسازی واکنش احیاء شود. ترمودینامیک عامل دیگری است که می‌تواند بر احیای مولیبدنیت در حضور این عوامل جاذب گوگرد مؤثر باشد. در جدول (۴)، مقادیر ثابت تعادل و تغییرات انرژی آزاد استاندارد برای فرایند احیای کربوترمی مولیبدنیت در حضور این سه عامل جاذب گوگرد در دمای 1200°C با یکدیگر مقایسه شده‌اند [۲۱]. همان‌طور که در این جدول (۶) مشاهده می‌شود، احیای کربوترمی مولیبدنیت در حضور کربنات سدیم کمترین مقدار ΔG^0 و بیشترین مقدار ثابت تعادل را دارد. بنابراین، برای احیای مولیبدنیت در حضور این عامل جاذب گوگرد، نیروی محرکه بالاتری از نقطه نظر ترمودینامیکی وجود دارد.

جدول ۴ مقادیر انرژی فعالسازی احیاء در مخلوط‌های با نسبت‌های مولی مختلف با استفاده از سه روش فریدمن، کسینجر و اوزاوا

	$E_{1:4:2}$ (kJ/mol)	$E_{1:4:3}$ (kJ/mol)	$E_{1:4:4}$ (kJ/mol)
روش فریدمن	۱۵۳	۲۶۰	۳۲۷
روش کسینجر	۱۵۱	۲۵۲	۳۳۳
روش اوزاوا	۱۴۶	۲۶۰	۳۳۵

جدول ۵ مقایسه اثواب و اثبات تعادل و تغییرات انرژی آزاد استاندارد برای فرایند احیای کربوترمی مولیبدنیت انجام شده است، عمدتاً از آهک و اکسید منیزیم به عنوان عوامل جاذب گوگرد استفاده شده است. در این پژوهش‌ها، فرایند احیاء با سه نرخ حرارت دهی 10°C و 20°C درجه‌ی سانتی‌گراد بر دقيقه و در نسبت استوکیومتری از مواد انجام شده است. بهمین دليل، نتایج این تحقیقات در جدول (۵) با نتایج پژوهش حاضر در نسبت استوکیومتری از مواد اولیه ($1:4:2$) مقایسه شده است. با توجه به نتایج موجود در جدول (۵)، مشخص

جدول ۵ مقایسه اثواب و اثبات تعادل و تغییرات انرژی آزاد استاندارد برای فرایند احیای کربوترمی مولیبدنیت در حضور اکسید منیزیم

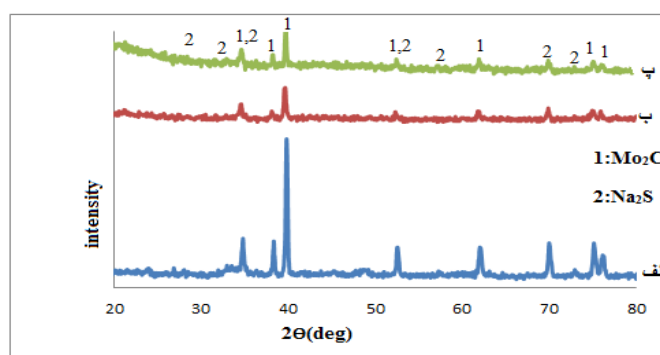
انرژی فعالسازی احیاء ، نوع عامل جاذب گوگرد	زمان فعالسازی (ساعت)	
	صفرا	۴۰
E_{CaO} (kJ/mol)	۴۹۸	۲۵۰
E_{MgO} (kJ/mol)	۴۲۵	۲۹۰
$E_{\text{Na}_2\text{CO}_3}$ (kJ/mol)	۲۲۰	۱۴۹

جدول ۶ ثابت تعادل و تغییرات انرژی آزاد استاندارد برای واکنش احیای کربوترمی مولیبدنیت در حضور عوامل مختلف جاذب گوگرد در دمای 1200°C

واکنش احیای کربوترمی مولیبدنیت	ثابت تعادل (K)	ΔG^0 (kJ/mol)
$\text{MoS}_2 + 2\text{C} + 2\text{CaO} = \text{Mo} + 2\text{CaS} + 2\text{CO(g)}$	$2/57 \times 10^{-6}$	-180/8
$\text{MoS}_2 + 2\text{C} + 2\text{MgO} = \text{Mo} + 2\text{MgS} + 2\text{CO(g)}$	$2/82$	-12/7
$\text{MoS}_2 + 4\text{C} + 2\text{Na}_2\text{CO}_3 = \text{Mo} + 2\text{Na}_2\text{S} + 6\text{CO(g)}$	$7/32 \times 10^{-11}$	-334/6

نهایی ایجاد نشده است. بهبیان دیگر، با افزایش میزان کربنات سدیم بیش از مقدار استوکیومتری، هیچ واکنش جدید یا تغییر فاز جدیدی در الگوی پراش پرتوی ایکس محصولات مشاهده نشده است و محصولات احیاء همان کاربید مولیبدن و سولفید سدیم هستند. بنابراین، جذب گوگرد توسط سدیم به خوبی صورت گرفته است و با افزایش میزان کربنات سدیم، محصول احیاء همان کاربید مولیبدن باقی مانده و تغییری در محصولات مشاهده نمی‌شود. بررسی ترمودینامیک واکنش احیای کربوترمی مولیبدنیت در حضور کربنات سدیم نیز این موضوع را تأیید می‌کند که با توجه به مقادیر ثابت تعادل و تغییرات انرژی آزاد استاندارد مربوط به واکنش‌های احیای کربوترمی مولیبدنیت، احتمال تشکیل کاربید مولیبدن بهدلیل بزرگتر بودن ثابت تعادل و منفی تر بودن مقدار ΔG° بیش از احتمال تشکیل مولیبدن می‌باشد. تغییرات انرژی آزاد استاندارد و ثابت تعادل واکنش احیای کربوترمی مولیبدنیت در جدول (۷) آمده‌اند.

فازیابی محصولات احیاء در سه محلول با نسبت‌های مختلف کربنات سدیم، برای تحلیل و بررسی محصولات فرایند احیاء با توجه به نمودار آنالیز حرارتی شکل (۴)، مخلوط‌های پودری مولیبدنیت، گرافیت و کربنات سدیم با نسبت‌های مولی ۱:۴، ۱:۳ و ۱:۲ که به مدت ۴۰ ساعت فعال سازی شده بودند، به ترتیب تا دماهای ۱۱۰۰، ۱۲۰۰ و ۱۳۰۰ درجه‌ی سانتی‌گراد (دماهایی که در آن‌ها واکنش به طور کامل انجام شده است) با نرخ حرارت دهی ۱۰ درجه‌ی سانتی‌گراد بر دقيقه در محیط گاز آرگون به تدریج گرم شدند. پس از اتمام واکنش احیاء، از محصولات واکنش در نسبت‌های مولی فوق‌الذکر پراش پرتوی ایکس گرفته شد. شکل (۷)، الگوی پراش محصولات احیاء به ازای نسبت‌های مولی مختلف از کربنات سدیم را نشان می‌دهد. همان‌طور که در این شکل مشاهده می‌شود، احیای کربوترمی مولیبدنیت در حضور کربنات سدیم منجر به تشکیل کاربید مولیبدن و سولفید سدیم شده است. نکته‌ی قابل توجه دیگر این است که با افزایش میزان کربنات سدیم، تغییری در نوع محصول



شکل ۷ الگوی پراش پرتوی ایکس مربوط به محصولات احیاء در نسبت‌های مولی مختلف از کربنات سدیم؛

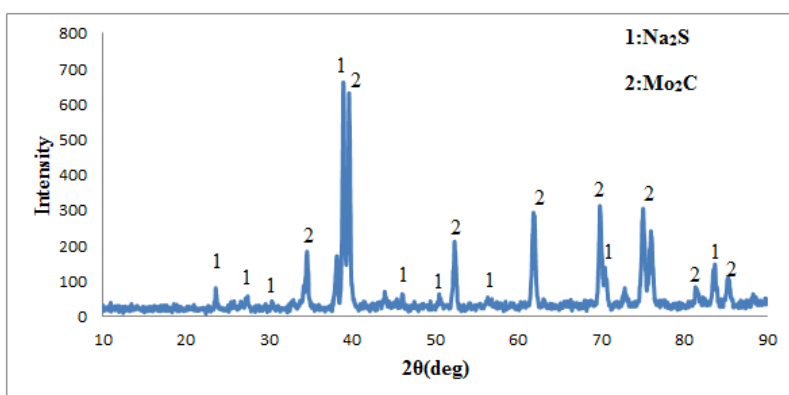
(الف) ۱:۴، (ب) ۱:۳ و (پ) ۱:۲

جدول ۷ مقادیر ثابت تعادل و تغییر انرژی آزاد استاندارد واکنش احیای کربوترمی مولیبدنیت در حضور کربنات سدیم

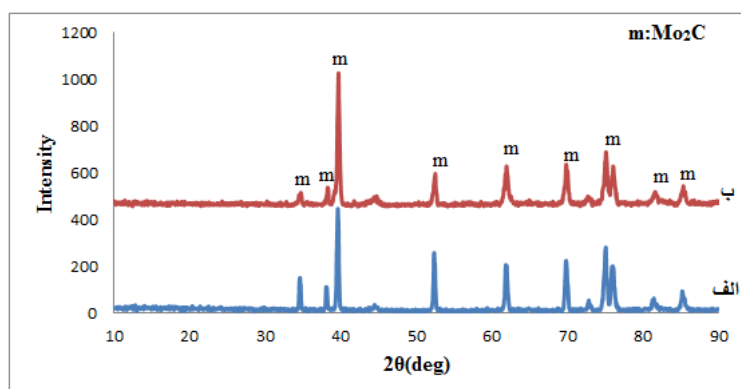
واکنش	دما (°C)	ثابت تعادل (K)	ΔG° (kJ/mol)
$2\text{MoS}_2 + 9\text{C} + 4\text{Na}_2\text{CO}_3 \rightleftharpoons \text{Mo}_2\text{C} + 4\text{Na}_2\text{S} + 12\text{CO(g)}$	۹۰۰	$4/74 \times 10^7$	-۱۷۲
	۱۰۰۰	$4/81 \times 10^{14}$	-۳۵۷/۸
	۱۱۰۰	$5/05 \times 10^{30}$	-۵۴۴/۲
$\text{MoS}_2 + 4\text{C} + 2\text{Na}_2\text{CO}_3 \rightleftharpoons \text{Mo} + 2\text{Na}_2\text{S} + 6\text{CO(g)}$	۹۰۰	$3/19 \times 10^7$	-۵۶/۲۲
	۱۰۰۰	$1/24 \times 10^7$	-۱۴۸/۵۲
	۱۱۰۰	$1/5 \times 10^9$	-۲۴۱/۲۶

سولفید سدیم در زاویه $\theta = 38/9^{\circ}$ بهوضوح قابل تشخیص است. شکل (۹)، الگوی پراش پرتوی ایکس محصولات احیاء پس از انحلال درون آب داغ و اسیدکلریدریک را نشان می‌دهد. با مقایسه‌ی شکل‌های (۸) و شکل (۹)، دیده می‌شود که پس از انحلال درون آب داغ و اسیدکلریدریک، پیک‌های مربوط به سولفید سدیم حذف شده‌اند و پیک اصلی سولفید سدیم در زاویه $\theta = 38/9^{\circ}$ (شکل (۸)) در شکل (۹) وجود ندارد. افزون بر این، با مقایسه‌ی الگوهای پراش مربوط به رسوب باقیمانده از آب داغ و اسیدکلریدریک، دیده می‌شود که در هر دو حالت سولفید سدیم بهخوبی از بین رفته است و محصول باقیمانده کاربید مولیبدن است. پیک‌های موجود در شکل (۹)، بهطور کامل پیک‌های کاربید مولیبدن مطابقت دارد.

تولید کاربید مولیبدن و جداسازی آن از سولفید سدیم – برای دست‌یابی به کاربید مولیبدن بهصورت تک جزئی، می‌توان از حللاهایی که سولفید سدیم در آنها قابل حل است، استفاده کرد. در این پژوهش، از دو حللا آب داغ و اسیدکلریدریک استفاده شد و محصولات با یکدیگر مقایسه شدند. پس از انحلال محصولات احیاء (سولفید سدیم و کاربید مولیبدن) درون این حللاه، سولفید سدیم حل شد و بهصورت محلول در آمد، در حالی که کاربید مولیبدن بهصورت رسوب و غیر قابل حل باقی ماند. در شکل (۸)، الگوی پراش پرتوی ایکس مربوط به محصولات احیاء قبل از انحلال نشان داده شده است. همان‌گونه که مشاهده می‌شود، محصولات احیاء شامل کاربید مولیبدن و سولفید سدیم بوده است. افزون بر این، پیک اصلی



شکل ۸ الگوی پراش پرتوی ایکس مربوط به محصولات احیاء قبل از انحلال



شکل ۹ الگوی پراش پرتوی ایکس مربوط به محصولات احیاء پس از انحلال؛ الف) درون HCl، ب) درون آب داغ

است و با افزایش میزان کربنات سدیم، دمای شروع و پایان واکنش احیاء افزایش می‌یابد.

۶- سیتیک احیای کربوترمی مولیبدنیت در حضور مقادیر مختلفی از کربنات سدیم به سه روش فریدمن، کسینجر و اوزاوا بررسی شد و مشاهده شد که با انجام ۴۰ ساعت فعال‌سازی بر روی سه نمونه‌ی مولیبدنیت، گرافیت و کربنات سدیم با نسبت‌های مولی ۱:۲، ۱:۳ و ۱:۴، انرژی فعال‌سازی واکنش احیاء در حدود ۱۵۰، ۲۶۰ و ۳۳۰ کیلوژول بر مول می‌باشد. به عبارت دیگر، با افزایش میزان کربنات سدیم در مخلوط‌های پودری، انرژی فعال‌سازی واکنش احیاء افزایش یافت.

۷- بررسی فازی محصولات احیاء در نمونه‌های مولیبدنیت، گرافیت و کربنات سدیم با سه نسبت مولی ۱:۴، ۲:۳ و ۱:۴ که به مدت ۴۰ ساعت فعال‌سازی شده بودند، نشان داد که محصولات احیاء شامل کاربید مولیبدن و سولفید سدیم می‌باشند و با افزایش میزان کربنات سدیم بیش از مقدار استوکیومتری، تغییری در نوع محصولات احیاء مشاهده نمی‌شود.

نتیجه‌گیری

نتایج حاصل از این تحقیق را می‌توان به صورت زیر جمع‌بندی کرد:

۱- بررسی الگوهای پراش پرتوی ایکس مربوط به نمونه‌های مولیبدنیت (گرافیت و کربنات سدیم با سه نسبت مولی ۱:۲، ۱:۳ و ۱:۴ که به مدت ۴۰ ساعت فعال‌سازی شده بودند) نشان داد که با افزایش میزان کربنات سدیم و انجام فعال‌سازی تا ۴۰ ساعت، هیچ فاز جدید یا واکنش شیمیایی حین وقوع فرایند آسیاکاری درون محفظه‌ی آسیاکاری انجام نمی‌شود.

۲- تأثیر فعال‌سازی مکانیکی بر اندازه‌ی دانه‌های مولیبدنیت در نسبت‌های مختلف از کربنات سدیم با استفاده از روش ویلیامسون- هال و نرمافزار سیگماپلات بررسی شد. با انجام ۴۰ ساعت فعال‌سازی بر روی سه نمونه‌ی مولیبدنیت، گرافیت و کربنات سدیم با نسبت مولی ۱:۲، ۱:۳ و ۱:۴، اندازه‌ی دانه‌ی مولیبدنیت در این مخلوط‌ها به ترتیب ۵۳، ۶۳ و ۷۷ نانومتر به دست آمد. به عبارت دیگر، با افزایش میزان کربنات سدیم از تأثیر فعال‌سازی مکانیکی بر کاهش اندازه‌ی دانه‌های مولیبدنیت کاسته شد.

۳- عامل فعال‌سازی (d/e) برای نمونه‌های با نسبت‌های مولی متفاوت از کربنات سدیم محاسبه شد. با افزایش نسبت مولی کربنات سدیم درون مخلوط‌ها، عامل فعال‌سازی کاهش یافت.

۴- تصویرهای میکروسکوپ الکترونی روبشی از نمونه‌ی فعال نشده و نمونه‌های فعال‌سازی شده با نسبت‌های مختلف کربنات سدیم نشان دادند که افزایش مقدار کربنات سدیم سبب تشکیل کلوخه و ایجاد ساختار مرکب می‌شود.

۵- انجام آنالیز حرارتی هم‌زمان بر روی نمونه‌های فعال‌سازی شده با نسبت‌های مولی مختلف از کربنات سدیم نشان داد که احیای کربوترمی مولیبدنیت در حضور نسبت‌های مختلف از کربنات سدیم امکان‌پذیر

فهرست علائم

MoS_2	مولیبدنیت
MoO_3	اکسید مولیبدن
CaO	آهک
CaCO_3	کربنات کلسیم
MgO	اکسید منیزیم
Na_2CO_3	کربنات سدیم
Na_2S	سولفید سدیم
d	اندازه‌ی دانه (نانومتر)
SEM	میکروسکوپ الکترونی روبشی
DTA	آنالیز حرارتی افتراقی
XRD	پراش پرتوی ایکس
TGA	آنالیز حرارتی وزن‌سنگی

hr	زمان (ساعت)	STA	آنالیز حرارتی همزمان
ε	کرنش شبکه	Mo ₂ C	کاربید مولیبدن

مراجع

- Werner V., Hugo M., "Mechanisms of the hydrogen reduction of molybdenum oxides", *International Journal of Refractory Metals*, Vol. 20, pp. 261-269, (2002).
- Cao Zh., Zhong H., "A novel technology for molybdenum extraction from molybdenite concentrate", *Hydrometallurgy*, Vol. 99, pp. 2-6, (2009).
- Ialik E., "Kinetic analysis of reduction of MoO₃ to MoO₂", *Catalysis Today*, Vol. 169, pp. 85-92, (2011).
- Gupta, C.K, Extractive metallurgy of molybdenum, CRC press, USA, (1992).
- Prasad P.M., Mankhand T.R., "Lime-scavenged reduction of molybdenite", *Minerals Engineering*, Vol. 6, No.8-10, pp.857-871, (1993).
- ابول پور، ب، افصحی، م، "بررسی اثر ریز ساختار آهک بر مدل سازی واکنش احیای هیدروژنی مولیبدن دی سولفید" نشریه شیمی و مهندسی شیمی ایران، ص ص ۴۱-۲۵، (۱۳۹۰).
- Padilla R., Ruiz M.c., Sohin H.Y., "Reduction of Molybdenite with carbon in the presence of lime", *Metallurgical and Materials Transactions*, Vol. 28B, pp.265-274, (1997).
- آذر دودران، ه، عباسی م. ح، پنجه پور، م، "بررسی اثر فعال سازی مکانیکی بر سیستیک احیای کربوترمی مولیبدنیت در حضور آهک در شرایط همدما" مجموعه مقالات دوازدهمین کنگره ملی مهندسی شیمی ایران، (۱۳۸۷).
- آذر دودران، ه، بررسی اثر فعال سازی مکانیکی بر احیای کربوترمی مولیبدنیت در حضور آهک، پایان نامه کارشناسی ارشد، دانشکده مهندسی مواد، دانشگاه صنعتی اصفهان، (۱۳۸۸).
- لقمانی دوین، ن، بررسی تأثیر آهن و کار مکانیکی بر احیای کربوترمی مولیبدنیت در حضور آهک، پایان نامه کارشناسی ارشد، دانشکده مهندسی مواد، دانشگاه صنعتی اصفهان، (۱۳۹۰).
- لقمانی ن، عباسی م.ح، احمدیان، م، "بررسی تأثیر حضور آهن بر سیستیک احیای مکانوشیمیایی مولیبدنیت" مجموعه مقالات اولین همایش ملی مس، ص ص ۵۲۴-۵۱۶، کرمان (۱۳۹۰).
- بیرالوند، خ، عباسی، م. ح، سعیدی، ع، "بررسی ترمودینامیکی احیای کربوترمی مولیبدنیت در حضور اکسید منیزیم" مواد پیشرفته در مهندسی، سال ۳۱، شماره ۱، (۱۳۹۱).
- بیرالوند، خ، تأثیر فعال سازی مکانیکی بر احیای کربوترمی مولیبدنیت در حضور اکسیدهای قلیایی، پایان نامه کارشناسی ارشد، دانشکده مهندسی مواد، دانشگاه صنعتی اصفهان، (۱۳۹۰).
- Lin C., Chen H., "Carbothermic reduction of zinc sulfide in the presence of sodium carbonate", *Journal of The Chinese Institute of Chemical Engineers*, Vol. 39, pp. 457-465, (2008).
- Huang C., Lin C., "Kinetics of the carbothermic reduction of zinc sulfide in the presence of the calcium oxide", *Journal of The Chinese Institute of Chemical Engineers*, Vol. 38, pp. 143-149, (2007).
- Lin C., Peng Y., "The effects of catalysts on the carbothermic reduction of zinc sulfide in the presence of calcium oxide", *Journal of The Chinese Institute of Chemical Engineers*, Vol.38, pp.91-

- 93, (2007).
17. Huping H., Qiyuan Ch., Zhoulan Y., "Structural change of mechanically activated molybdenite and the effect of mechanical activation on molybdenite", Materials Transactions, Vol. 35B, pp. 1203-1207, (2004).
 18. Balaz P., Tokacs L., Luxova m., "Mechanochemical processing of sulphidic minerals", *International Journal Process*, Vol. 74, pp. 365-371, (2004).
 19. Kissinger H., "Reaction kinetics in differential thermal analysis", Anal.chemical, Vol.29, pp.1702-1706, (1957).
 20. Ozawa T., "A new method of analyzing thermogravimetric data", chemical.society, Vol.38, pp.1881-1887, (1965).
 21. Roine A., : outokumpu HSC chemistry software, ver. 5.1, (2002).

ساخت نانویوماده‌ی مرکب سه جزئی هیدروکسی آپاتایت، آلومینا و تیتانیا به روش تف‌جوشی و بررسی زیست‌فعالی و سمیت سلولی آن برای کاربردهای ارتوپدی*

محبوبه محمودی^(۱)پیمان محمدی‌هاشمی^(۲)رعناء ایمانی^(۳)**چکیده**

در این مطالعه، دو نانویوماده‌ی مرکب پایه سرامیکی از جنس هیدروکسی آپاتایت (HA)، TiO_2 و Al_2O_3 با خواص زیست‌سازگاری و مکانیکی قابل توجه و قابلیت تشکیل آپاتایت بر روی سطح، با روش فشردن سرد و تف‌جوشی ساخته شد. استحکام فشاری نمونه‌های تولیدی ارزیابی شد. نتایج حاصل از آزمون تعیین استحکام، افزایش استحکام فشاری نمونه‌ی A (حاوی ۵۰ درصد وزنی ذرات تیتانیا، ۳۰ درصد وزنی هیدروکسی آپاتایت و ۲۰ درصد وزنی آلومینا) را نسبت به نمونه‌ی B (حاوی ۵۰ درصد وزنی ذرات هیدروکسی آپاتایت، ۳۰ درصد وزنی ذرات تیتانیا و ۲۰ درصد وزنی آلومینا) نشان دادند. افزون بر این، از نتایج آزمون تعیین تخلخل نتیجه شد که نمونه‌ی A دارای تخلخل کمتری نسبت به نمونه‌ی B می‌باشد. برای بررسی زیست‌فعالی، نمونه‌ها به مدت زمان ۷ روز در محلول شبیه‌سازی شده‌ی بدن (SBF) خوده‌ور شاند. نتایج حاصل از این آزمون نشان دادند که نمونه‌ی B نتوانایی بیشتری را برای تشکیل ترکیبات نوع کلسیم فسفات بر روی سطح نسبت به نمونه‌ی A دارد. هم‌چنین، آزمون‌های آزمایشگاهی برونو تنی و تعیین سمیت سلولی (MTT)، چسبیدن و پھن‌شدگی سلول‌های MG-67 (استنوبلاست) را بر روی سطح نمونه‌ها نشان دادند. از نتایج این آزمون‌ها، افزایش رشد و تکثیر سلول‌ها بر روی نمونه‌ی B نسبت به نمونه‌ی A نتیجه شد. در نهایت، آزمون پراش پرتوی ایکس (XRD)، بررسی‌های میکروسکوپ الکترونی روبشی (SEM)، آزمون تعیین عنصر (EDX) و تجزیه شد. در نهایت، آزمون طیف‌سنجی مادون قرمز تبدیل فوریه (FTIR) به ترتیب برای شناسایی فازها، مطالعه‌ی ریزساختار، تعیین درصد عنصر و شناسایی پیوندهای تشکیل شده در نمونه‌ها انجام شدند. افزون بر این، برای جلوگیری از ایجاد ریزترک و تشکیل فازهای ثانویه، عملیات تف‌جوشی نمونه‌ها در دمای 1000°C انجام شد. نتایج آزمایش‌ها نشان دادند که هر دو نانویوماده‌ی مرکب، با توجه به خواص متفاوتی که دارند، می‌توانند برای کاربرد به عنوان ماده‌ی کاشتی در دندان‌پزشکی و ارتوپدی استفاده شوند.

واژه‌های کلیدی نانویوماده‌ی مرکب، تف‌جوشی، هیدروکسی آپاتایت، تیتانیا، آلومینا، زیست‌فعالی، سمیت سلولی.

Fabrication of $\text{TiO}_2\text{-}\text{Al}_2\text{O}_3\text{-}\text{HA}$ Nanobiocomposite by Sintering and Evaluation of in Vitro Bioactivity and Cell Toxicity for Orthopedic Applications

M. Mahmoodi

P. M. Hashemi

R. Imani

Abstract

For the purposes of this study, Hydroxyapatite (HA)- $\text{Al}_2\text{O}_3\text{-}\text{TiO}_2$ nanobiocomposites with significant mechanical properties, biocompatibility and capability to form surface apatite were fabricated by cold pressing and sintering. Samples were examined for their compressive strengths. The results of compression experiments showed that sample A (50 wt.% TiO_2 -30 wt.% HA- 20 wt.% Al_2O_3) was superior compared with sample B (30 wt.% TiO_2 -50 wt.% HA- 20 wt.% Al_2O_3). In addition, the examination of porosity in samples' surfaces showed that sample A has less porosity than sample B. In vitro bioactivity of the nanobiocomposites in a simulated body fluid (Simulated Body Fluid (SBF)) was also investigated. After immersing the samples in the SBF solution for 7 days, sample B exhibited greater ability to form calcium phosphate compounds on the surface. In vitro studies showed that MG-67 osteoblast-like cells were attached and spread on the samples' surfaces. The results showed that cells proliferated in greater numbers on the B sample compared to the A sample. Finally, X-Ray diffraction (XRD) and scanning electron microscopic examinations, energy-dispersive X-ray Analysis (EDX), and Fourier transform infrared spectroscopy (FTIR) were performed in order to identify different phases, to study the microstructures, to determine concentration of different elements, and to identify the bonds formed in samples, respectively. To prevent the formation of microcracks and secondary phases, sintering operation was conducted at 1000°C . Based on the results obtained and considering desirable properties of samples, both nanobiocomposites can be used in dental implants and orthopedic applications.

Key Word Nanobiocomposite, Sintering, Hydroxyapatite, Alomina, Titania, Bioactivity, Cell toxicity.

* نسخه‌ی نخست مقاله در تاریخ ۹۲/۷/۱ و نسخه‌ی پایانی آن در تاریخ ۹۳/۵/۶ به دفتر نشریه رسیده است.

(۱) نویسنده‌ی مسئول، استادیار گروه مهندسی پزشکی، واحد یزد، دانشگاه آزاد اسلامی.

(۲) دانشجوی دکتری، گروه مهندسی پزشکی، پردیس علوم و تحقیقات یزد، دانشگاه آزاد اسلامی.

(۳) دانشجوی دکتری، دانشگاه صنعتی امیرکبیر، دانشکده مهندسی پزشکی.

می‌کند و تولید مواد مرکب چگال در دمای تفجوشی پایین را میسر می‌سازد، ولی ساخت مواد مرکب هیدروکسی آپاتیت در دماهای بالا، عمل کرد آنها را محدود می‌کند، زیرا در اثر وقوع واکنش‌های سطحی بین هیدروکسی آپاتیت و ماده‌ی تقویت کننده در ماده‌ی مرکب در فرایند ساخت آن در دماهای بالا، فازهای جدیدی تشکیل می‌شوند که بر خواص آن تأثیر می‌گذارد. افزون بر این، فازهای کلسیم فسفات مانند تری کلسیم فسفات (TCP) و تترا کلسیم فسفات (TTCP) که فازهایی ترد با استحکام کم می‌باشند، در نتیجه‌ی تجزیه‌ی هیدروکسی آپاتیت به وجود می‌آیند که سبب تضعیف خواص مکانیکی آن می‌شود [19,20]. مواد مرکب زیست فعال با تشکیل لایه‌ی هیدروکسی آپاتیت بر روی سطح خود، می‌توانند به استخوان زنده متصل شوند. بنابراین، در گزارش‌های اخیر، مواد مرکب بر پایه‌ی هیدروکسی آپاتیت با تقویت کننده‌هایی مانند TiO_2 , Al_2O_3 و ZrO_2 برای بهبود خواص مکانیکی هیدروکسی آپاتیت، علاقه‌ی محققین را به خود جلب کرده است [21-24]. بیوسرامیک Al_2O_3 (آلومینا)، مقاومت به سایش و چقرمگی شکست را افزایش می‌دهد، در حالی که زیست‌سازگاری بهدلیل ماهیت خشی بودن آن، حفظ می‌شود. افزون بر این، این ماده قادر است تا مقاومت حرارتی مواد مرکب را به طور چشم‌گیری افزایش دهد [21].

TiO_2 (تیتانیا) تقویت کننده‌ی متداول دیگری در مواد مرکب است. حضور این بیوسرامیک در حالی که زیست‌سازگار، ضدبakterیال و فوتوكاتالیست است، موجب افزایش مقاومت به خوردگی مواد کاشتنی نیز می‌شود [25]. افزون بر این، اضافه شدن TiO_2 به عنوان تقویت کننده در مواد مرکب هیدروکسی آپاتیت بر ساختار آنها تأثیر می‌گذارد و خواص بهبود می‌یابند [26]. اخیراً گزارش‌هایی مبنی بر ساخت مواد مرکب $\text{Ag-TiO}_2/\text{HA}/\text{Al}_2\text{O}_3$ به عنوان غشاء [27] و $\text{HA}/\text{Al}_2\text{O}_3$, $\text{Al}_2\text{O}_3/\text{TiO}_2$ [28] و HA/TiO_2 [29] برای کاربردهای پزشکی ارائه شده‌اند، اما گزارش‌ها و مقاله‌های مرتبط با ساخت مواد مرکب سه فازی HA -

مقدمه

توسعه‌ی بیومواد جدید برای کاربردهای درمانی، یکی از دغدغه‌های اصلی محققان می‌باشد. ارتوپدی، یکی از دسته علمی است که به منظور التیام و جای‌گزینی اجزای از بین رفته، معمولاً به چنین موادی نیاز دارد [1,2]. امروزه، مواد مصنوعی مختلف از جمله مواد مرکب، به عنوان جای‌گزین استخوان برای غلبه بر مشکلات مربوط به ترمیم عیوب‌های استخوان، به کار می‌روند [3-5]. استخوان یک ماده‌ی مرکب طبیعی است که بخش معدنی آن را هیدروکسی آپاتیت کربناتی تشکیل می‌دهد و با الیاف کلاژن تقویت شده است [6-8]. در بسیاری از شکستگی‌ها و عیوب‌های استخوانی، به مواد جای‌گزین یا پر کننده برای ترمیم بافت استخوان نیاز است. بنابراین، نمی‌توان ماده‌ای را یافت که به تنها بی خواص شیمیایی و مکانیکی استخوان را داشته باشد. مواد مرکب بیوپزشکی، اغلب به منظور فراهم کردن زیست‌سازگاری و رفتار مکانیکی مناسب طراحی می‌شوند [9,10].

هیدروکسی آپاتیت (HA)، سرامیکی است که برای کاشتنی‌های ارتوپدی و دندانی استفاده می‌شود. این ماده، یک سرامیک زیست‌سازگار است که از نظر ترکیب شیمیایی بسیار شبیه به بخش معدنی استخوان و دندان است. این ماده می‌تواند پیوند مناسبی با بافت استخوانی برقرار کند. البته، کاربرد هیدروکسی آپاتیت بهدلیل چقرمگی و استحکام خمی پایین، در محل‌های تحت بار مکانیکی محدود است [11-13]. به همین دلیل، از آن به عنوان پر کننده در نقص‌های کوچک استخوانی و پوشش بر روی ایمپلنت‌های فلزی مانند تیتانیم، استفاده می‌شود [14,15]. در تحقیقات اخیر، بهبود فرایند استخوان‌سازی و تثبیت کاشتنی‌ها بهروش‌های گوناگون از جمله پلاسما اسپری و لیزر گزارش شده است [16-18].

امروزه، تولید مواد مرکب با هیدروکسی آپاتیت در ابعاد نانومتری، امکان طراحی مواد نوین با ساختاری شبیه به استخوان را فراهم آورده است. چنین مواد نوینی، یکنواختی شیمیایی بالایی در پوشش‌ها ایجاد

زیست‌فعالی و زیست‌سازگاری دو نانویوماده‌ی مرکب سه فازی $\text{HA}-\text{TiO}_2-\text{Al}_2\text{O}_3$ با درصدهای وزنی متفاوت هیدروکسی آپاتایت و TiO_2 در دمای پایین تف‌جوشی برای کاربرد در کاشتنی‌های دندانپزشکی و ارتوپدی می‌باشد.

مواد و روش‌های آزمایش ساخت نانویوماده‌ی مرکب

برای ساخت نانویوماده‌ی مرکب، یک قالب استوانه‌ای از جنس فولاد به قطر ۲ cm به منظور فشردن سرد مواد اولیه به کار رفت. سپس، پودرهای رُتیل TiO_2 , $\alpha\text{-Al}_2\text{O}_3$ و هیدروکسی آپاتایت به ترتیب با اندازه‌های 20 nm , 80 nm , $2 \mu\text{m}$ به عنوان مواد اولیه تشکیل دهنده‌ی بیوماده‌ی مرکب و چسب سیلیکات سدیم برای افزایش چسبندگی ذرات، از شرکت یونکس خریداری شد. دو نمونه با درصدهای وزنی متفاوت مطابق با جدول (۱)، ساخته شد. در نمونه‌ی A، ذرات هیدروکسی آپاتایت با ۵۰ درصد وزنی به عنوان فاز زمینه و ذرات تیتانیا و آلومینا به عنوان فاز تقویت کننده، به ترتیب با ۳۰ و ۲۰ درصد وزنی ترکیب شدند. نمونه‌ی B با ۵۰ درصد وزنی ذرات تیتانیا به عنوان فاز زمینه و به ترتیب با ۳۰ و ۲۰ درصد وزنی ذرات هیدروکسی آپاتایت و آلومینا به عنوان فاز تقویت کننده، مخلوط شد.

جدول ۱ درصد وزنی مواد تشکیل دهنده‌ی نانویوماده‌ی مرکب

نمونه	Al_2O_3 (%)	TiO_2 (%)	HA (%)
A	۲۰	۵۰	۳۰
B	۲۰	۳۰	۵۰

برای ساخت نانویوماده‌ی مرکب، ابتدا پودرهای درصدهای وزنی متفاوت (جدول ۱) با سیلیکات سدیم مخلوط شدند و برای رسیدن به یکنواختی بیشتر، به مدت ۱۰ دقیقه به هم زده شدند. سپس، ۴ گرم از پودر مخلوط شده درون قالب استوانه‌ای ریخته شد و مخلوط توسط پرس سرد تک محوری با فشار

برای کاربردهای پزشکی محدود نشد. $\text{TiO}_2-\text{Al}_2\text{O}_3$ یکی از بهترین تقویت کننده‌ها در مواد مرکب بیوسرامیکی HA می‌باشد، ولی به دلیل ایجاد فازهای جدید در فصل مشترک آن‌ها در دماهای بالاتر از 1200°C تا 1400°C ، کاربرد آن محدود شده است. در برخی از موارد، شکل‌گیری فازهای جدید هنگام ساخت مواد مرکب سبب افت خواص مکانیکی و حتی خواص بیولوژیکی ماده‌ی مرکب می‌شود. بنابراین، باید توجه داشت که ساخت ماده‌ی مرکب در دماهای بالای تف‌جوشی باعث ایجاد تغییرات فازی زیادی در آن می‌شود [30].

هیدروکسی آپاتایت به طور گسترده به عنوان بیوماده در کاربردهای پزشکی استفاده می‌شود. این ماده به تنهایی می‌تواند بیواکتیویته و تمایل به جذب مواد زیستی نظری پرتوئین را افزایش دهد، اما از نقطه نظر خواص مکانیکی (چermگی شکست) و استحکام چسبندگی هنگام پوشش دهی بر روی زیر لایه‌ی تیتانیمی، ضعیف است. در تحقیقات انجام شده گزارش شده است که حضور TiO_2 در کنار هیدروکسی آپاتایت در ماده‌ی مرکب پوشش داده شده بر روی زیر لایه‌ی تیتانیمی، نه تنها سبب افزایش استحکام چسبندگی به زیر لایه می‌شود، بلکه مقاومت به خوردگی تیتانیم را نیز افزایش می‌دهد [23]. افزون بر این، بدون این‌که توانایی تشکیل آپاتایت به خطر بیافتد، سختی سطح را نیز افزایش می‌دهد. حضور Al_2O_3 در سطح ماده‌ی مرکب، در فرایند کلسینه شدن تأثیری نخواهد داشت. از سوی دیگر، چermگی شکست و استحکام هیدروکسی آپاتایت با افزوده شدن ۲۰ درصد Al_2O_3 به آن، تا دو برابر افزایش می‌یابد [30]. به عنوان تقویت کننده به کار رفته در ماده‌ی مرکب، قابلیت جذب آب و تشکیل گروههای Ti-OH بر روی سطح را دارد و این در نهایت، منجر به تشکیل هسته‌های آپاتایت و بلورین در محلول شبیه سازی شده بدن (SBF) Simulated Body Fluid می‌شود. بنابراین، این تقویت کننده در چسبندگی استخوان به قطعه‌ی کاشتنی نقش مؤثری را بازی می‌کند [26]. هدف از انجام این تحقیق، ساخت، مقایسه‌ی خواص،

الگوی پراش پرتوی ایکس از نمونه‌ها

آزمون تعیین الگوی پراش پرتوی ایکس (XRD) (Philips, X'PertPro) با هدف شناسایی فازهای تشکیل شده در نمونه‌های ماده‌ی مرکب و بررسی میزان بلورینگی آن‌ها انجام گرفت. فازهای موجود در نمونه‌ها به کمک نرم افزار (Panalytical Soft ware X'PDF-2 Pert High score Plus [32] و پوششی Pert High score Plus مشخص شدند.

طیف‌سنجی مادون قرمز تبدیل فوریه

برای شناسایی گروههای عاملی و پیوندهای تشکیل شده در ماده‌ی مرکب ساخته شده، از طیف مادون قرمز تبدیل فوریه (FTIR) در محدوده $4000-400\text{ cm}^{-1}$ ساخت شرکت FT-IR Spectrometers (Bruker) استفاده شد. ابتدا نمونه‌های A و B با پودر KBr (با نسبت $KBr = 1/100$ / نمونه) آسیا شدند و پس از آن با استفاده از دستگاه فشار، نمونه‌هایی به‌شکل قرص نازک تهیه و در دستگاه FTIR برای بررسی پیوندهای ایجاد شده قرار داده شدند.

غوطه‌وری نمونه‌ها در محلول SBF

به‌منظور ارزیابی رفتار زیست‌فعالی نانوپیوماده‌ی مرکب در محیط آزمایشگاه، محلول SBF با استفاده از دستورالعمل ارائه شده توسط کوکوبو (KOKUBO)، آماده‌سازی شد [33]. در جدول (۲)، ترکیب‌های SBF که شبیه به پلاسمای خون انسان است، مشاهده می‌شود. نمونه‌ها پس از تفجوشی، در 60 میلی لیتر مایع شبیه‌سازی شده بدن غوطه‌ور شدند و به‌مدت ۷ روز در آنکوباتور در دمای مشابه با دمای بدن (37°C)، با 98% درصد رطوبت و حضور 5 درصد گاز CO_2 قرار گرفتند. افزون بر این، هر روز محلول SBF بر روی نمونه‌ها با محلول تازه جای‌گزین می‌شد. در نهایت و پس از پایان آزمایش، مُرفولوژی سطحی نمونه‌ها با استفاده از میکروسکوپ الکترونی روشی (SEM) بررسی شد.

معادل 150 kg/cm^2 ($14/7\text{ MPa}$) فشرده شد. در مرحله‌ی بعد، نمونه‌های به‌دست آمده به‌مدت ۲ ساعت در کوره‌ای با دمای 150°C خشک شدند. برای افزایش استحکام ماده‌ی مرکب، نمونه‌ها در دمای 1000°C به‌مدت ۴۰ دقیقه تفجوشی و سپس، تا دمای اتاق سرد شدند.

بررسی ریزساختار نمونه‌ها

ریزساختار نمونه‌ها توسط میکروسکوپ الکترونی SEM، VEGA II، Tescan, USA روشی (SEM) نوع (مایع شبیه‌سازی SBF) در محلول (مایع شبیه‌سازی شده بدن)، در بزرگنمایی‌های مختلف به‌دست آمد. افزون بر این، درصد عناصر موجود در نمونه‌ها با انجام ENERGY DISPERSIVE X-RAY ANALYSIS (EDX) و نحوه‌ی توزیع عناصر در آن‌ها، با انجام آزمون نقشه پرتو ایکس (X-RAY MAP) ارزیابی شد.

اندازه‌گیری تخلخل ظاهری و چگالی نمونه‌ها چگالی حجمی و تخلخل ظاهری نمونه‌های تفجوشی شده، توسط روش آرشمیدس اندازه‌گیری شد. برای انجام آزمایش، نمونه‌ها در آب غوطه‌ور شدند و چگالی آن‌ها با استفاده از پیکنومتر محاسبه شد [31].

استحکام فشاری

به‌منظور انجام آزمون فشار، نمونه‌ها به‌شکل استوانه‌هایی به‌ارتفاع 15 mm و قطر 20 mm میلی‌متر تهیه شدند و پس از تفجوشی در دمای 1000°C در دستگاه کشش-فشار یونیورسال (STM Series) قرار داده شدند. نمونه‌های استوانه‌ایی به صورت تکمحوری با سرعت جابجایی فک برابر با 0.5 mm/s بر دقیقه فشرده شدند. برای هر آزمون فشار، 5 نمونه تحت آزمایش قرار گرفتند و مقدار میانگین به‌دست آمده، به عنوان استحکام فشاری گزارش شد.

جدول ۲ غلظت یون‌های محلول SBF و پلاسمای خون انسان (mmol/L)

نمونه	Na ⁺	K ⁺	Ca ²⁺	Mg ²⁺	HCO ₃ ⁻	Cl ⁻	HPO ₄ ²⁻	SO ₄ ²⁻
SBF	۱۴۲/۰	۰/۵	۲/۵	۱/۵	۴/۲	۱۴۷/۸	۱/۰	۰/۵
پلاسمای خون	۱۴۲/۰	۰/۵	۲/۵	۱/۵	۲۷/۰	۱۰۳/۰	۱/۰	۰/۵

ظرف دیگری برای انجام فرایند ثبیت سلول‌ها منتقل شدند. برای ثبیت سلول‌ها، از محلول گلوتارآلدهید ۲/۵ درصد استفاده شد. ابتدا نمونه‌ها با بافر فسفات استریل دو مرتبه شسته شدند. سپس، هر نمونه درون ۲ میلی‌لیتر محلول گلوتارآلدهید به مدت ۱/۵ ساعت قرار داده شد. نمونه پس از خروج از درون گلوتارآلدهید، دوباره با بافر فسفات شسته شد و در ادامه، فرایند آب‌گیری از نمونه‌ها انجام شد. آب‌گیری از نمونه‌ها، با استفاده از محلول الكل ایناول با غلظت‌های به ترتیب ۶۰، ۷۰، ۸۰ و ۹۰ درصد انجام شد. نمونه‌ها به ترتیب در ۲ میلی‌لیتر از محلول‌های الكل به مدت ۱۰۰ زمان ۵ دقیقه قرار گرفتند و در نهایت، در الكل ۱۰۰ درصد به مدت ۱۰ دقیقه قرار گرفتند. پس از انجام آب‌گیری، رطوبت سطحی نمونه‌ها در هوای محیط گرفته شد و نمونه‌ها در دمای ۴°C تا زمان انجام آزمون، نگهداری شدند [34].

آزمون تعیین میزان رشد و سمیت سلولی (MTT)
میزان تکثیر و زندمانی سلول‌های استئوبلاست رده سلولی (MG67) روی سطح نمونه‌ها توسط آزمون MTT ارزیابی شد. به همین منظور، ۲۰ میکرولیتر محلول MTT با غلظت ۵ میلی‌گرم در میلی‌لیتر به چاهک‌های حاوی نمونه و کنترل اضافه شد. پس از گذشت ۴ ساعت قرارگیری در آنکوباتور، محیط کشت تخلیه شد و ۲۰۰ میکرولیتر دی‌متیل سولفُکسید (DMSO) (Dimethyl Sulfoxide) جای گزین شد. ۱۰ دقیقه زمان برای حل شدن بلورهای رنگ تشکیل شده کافی بود. پس از گذشت ۱۰ دقیقه، ۲۰۰ میکرولیتر محلول از هر چاهک برداشته شد و درون

آزمون کشت سلول در محیط آزمایشگاه

برای انجام آزمون تعیین سمیت سلولی و تعیین تکثیر سلولی، از رده‌ی سلولی MG67 تهیه شده از آنیستیتو پاستور ایران استفاده شد. با توجه به ابعاد نمونه‌های آزمون، از صفحه‌ی کشت سلول مخانه ۲۴ استفاده شد. محیط کشت سلول مورد استفاده، DULBECHO'S MODIFIED EAGGLE MEDIUM FBS (DMEM) به همراه ۱۰ درصد سرم جنین گاوی بود [34]. ابتدا ۱ میلی‌لیتر از محیط کشت حاوی سرم، درون چاهک‌های مورد نظر ریخته شد و پس از آن، نمونه‌های A و B که در اتوکلاو استریل شده بودند، درون این چاهک‌ها قرار داده شدند. پس از کسب اطمینان از غوطه‌وری کامل نمونه‌ها درون محیط کشت و قرارگیری صحیح آنها به‌نحوی که بیشترین فضای ممکن از کف چاهک را بپوشاند، تعداد ۳۰۰۰۰ سلول به همراه ۱ میلی‌لیتر از محیط کشت حاوی سرم به چاهک‌ها اضافه شد. در این آزمون، یک چاهک بدون نمونه و حاوی همین تعداد سلول به عنوان کنترل منفي، در نظر گرفته شد. نمونه‌ها به همراه سلول‌ها به مدت ۳ روز درون آنکوباتور با ۵ درصد CO₂ و ۹۸ درصد رطوبت قرار داده شدند و محیط کشت آنها یک روز در میان عوض می‌شد.

مُرفلوژی سلول‌ها

مُرفلوژی سلول‌ها پس از مدت ۳ روز کشت، با استفاده از میکروسکوپ الکترونی رویشی بررسی شد. به همین منظور، پس از طی زمان ۷۲ ساعت از تماس نمونه‌ها و سلول‌ها، محیط کشت تخلیه شد و نمونه‌ها تحت شرایط استریل از درون ظرف کشت خارج و به

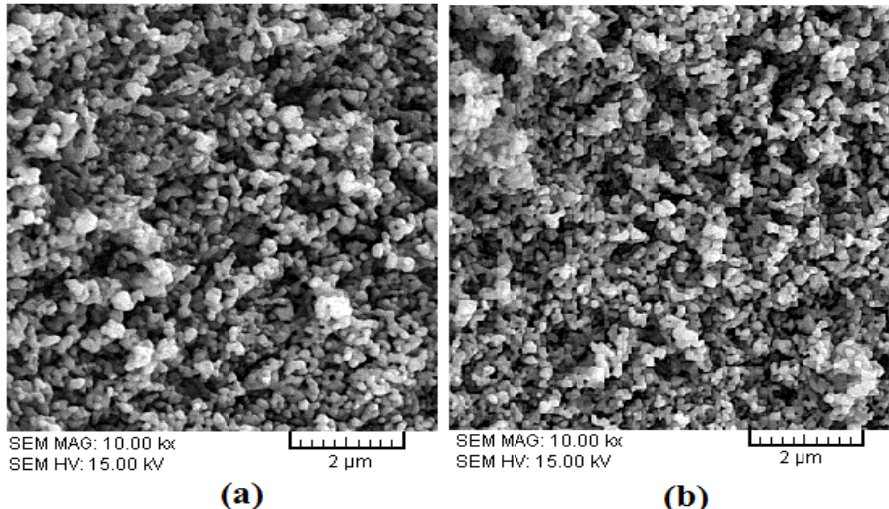
نمونه کاملاً تفجوشی شده است. بنابراین، ذرات به خوبی با یکدیگر اتصال برقرار کرده‌اند و نمونه‌ها از تراکم و تخلخل مناسبی برخوردارند. البته، اندازه‌ی ذرات پس از تفجوشی متغیر است. اندازه‌ی میانگین تخلخل در سطح نمونه‌های A و B برابر با ۱۰۰ تا ۳۰۰ نانومتر است. تفاوت موجود در ضریب انبساط حرارتی مواد تشکیل‌دهنده‌ی ماده‌ی مرکب حین حرارت‌دهی و سرد کردن، می‌تواند منجر به تشکیل ریزترک در آن‌ها شود [36]. در این مطالعه، برای جلوگیری از تشکیل ریزترک، نمونه‌ها در دمای 1000°C به مدت ۴۰ دقیقه تفجوشی شدند. همان‌طور که در شکل (۱) مشاهده می‌شود، هیچ‌گونه ترکی در سطح نمونه‌ها وجود ندارد. در جدول (۳)، درصد وزنی عناصر شیمیایی موجود در سطح نانوپیومواد مرکب مشاهده می‌شود.

صفحه‌ی ۹۶ چاهک قرار گرفت. جذب نوری چاهک‌ها، با استفاده از دستگاه الایزرایدر (BioTek, Elx808, USA) با طول موج ۵۷۰ نانومتر خوانده شد [35]. آزمون‌های آماری در این مقاله، به کمک نرم‌افزار اکسل با روش روش تجزیه و تحلیل آماری One-Way ANOVA انجام شد.

نتایج و بحث

بررسی مُرفولوژی و خواص مکانیکی نمونه‌ها

مواد مرکب پیشرفته با چگالی کم، استحکام مکانیکی بالا و زیست‌سازگاری عالی، به عنوان کاشتنی‌های مناسب در کاربردهای ارتوپدی و دندان‌پزشکی به کار برده می‌شوند. با مشاهده تصویرهای SEM، ریزساختار و مُرفولوژی سطح نمونه‌های نانوپیوماده‌ی مرکب A و B بررسی شدند. تصویرهای شکل (۱)، نشان می‌دهند که سطح هر دو

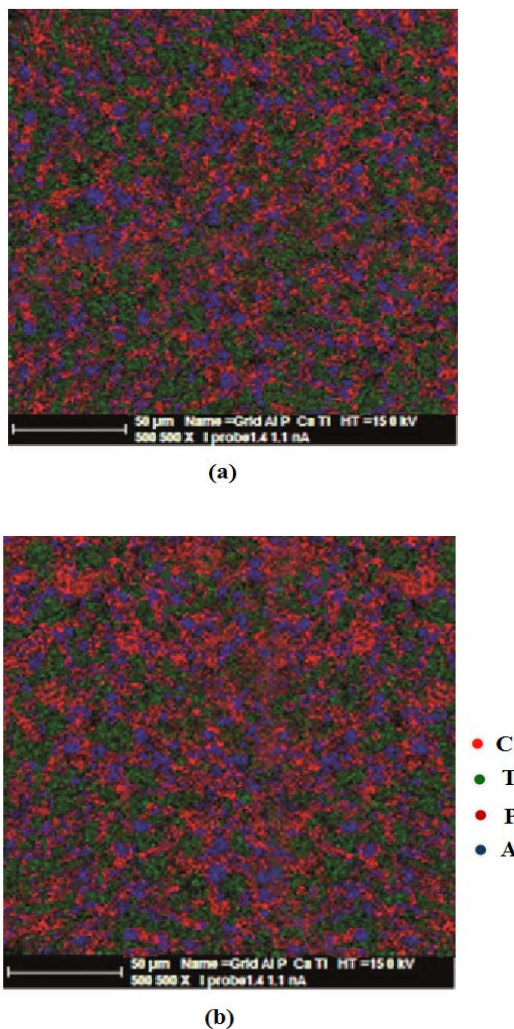


شکل ۱ تصویرهای SEM از نمونه‌ی A (a) و نمونه‌ی B (b) قبل از غوطه‌وری در محلول SBF

جدول ۳ درصد وزنی عناصر شیمیایی در سطح نمونه‌ها قبل از غوطه‌وری در محلول SBF

نمونه	Ca (wt.%)	Ti (wt.%)	O ₂ (wt.%)	P (wt.%)	Al (wt.%)
A	۷/۷۶	۲۶/۵۳	۵۳/۷۷	۴/۴۵	۷/۴۹
B	۱۳/۴۳	۱۸/۹۱	۵۳/۳۸	۷/۱	۷/۱۸

نانو که باعث پرشدن حفره ها و فضاهای خالی بین ذرات می شود، دارای با مدول یانگ 64 MPa نسبت به نمونه B با مدول یانگ 39 MPa دارای استحکام بالاتری می باشد. از طرف دیگر، کاهش استحکام و مدول یانگ نمونه B نسبت به نمونه A را می توان به تشکیل بیشتر فاز بتا- تری کلسیم فسفات نسبت داد.



شکل ۲ تصویرهای نقشه پرتو ایکس (X-RAY MAP) از نمونه (a) و نمونه (b) A

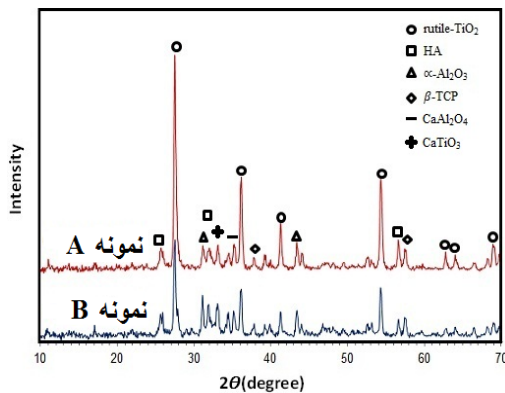
جدول ۴ درصد تخلخل و چگالی نمونه ها

نمونه	تخلخل ظاهری (%)	چگالی (gr/cm^3)
A	۳۱/۳۰	۲/۰۱۶
B	۴۱/۹۹	۱/۹۹۴

از طرفی، تصویرهای نقشه پرتو ایکس (X-RAY MAP) نشان می دهد که عناصر تشکیل دهنده نانوبیوماده مركب (Al, Ti, P, Ca) در تمام ساختار به صورت یکنواخت پراکنده شده اند و یکنواختی خواص در نواحی مختلف نمونه برقرار شده است (شکل ۲). درصد تخلخل و چگالی نمونه ها، در جدول (۴) مشاهده می شود. نمونه B دارای توزیع اندازه هی ذرات بهتر، سطح یکنواخت تر و درصد تخلخل بیشتری (۴۱/۹۹ درصد) نسبت به نمونه A (با تخلخل ۳۱/۳۰ درصد) می باشد. در نتیجه، در نمونه B با افزایش درصد تخلخل، فضای خالی برای رشد و تغذیه سلول های استخوانی فراهم می باشد و با افزایش میزان هیدروکسی آپاتایت در آن، خاصیت بیوакتیویته و استئوکنداکتیویته این ماده کاشتنی افزایش می یابد [37]. افزون بر این، نمونه های A و B به ترتیب دارای چگالی ۲/۰۱۶ و ۱/۹۹۴ گرم بر سانتی متر مکعب می باشند. بنابراین، چگالی هر دو نمونه بسیار نزدیک به چگالی استخوان ($1/85 \text{ gr}/\text{cm}^3$) می باشد. البته، چگالی نمونه A به دلیل به کار بردن TiO_2 در آن در مقایسه با نمونه B اندکی افزایش یافته است. استفاده از ذرات هیدروکسی آپاتایت به عنوان فاز زمینه و افزودن ذرات تیتانیا و آلمینیا به عنوان فاز تقویت کننده به ترتیب به میزان تا ۳۰ و ۲۰ درصد وزنی در نمونه B، باعث بهبود زیست فعالی ماده کاشتنی در مناطقی که نیاز به بهبود فرایند استخوان سازی و ثبت ماده کاشتنی و افزایش چسبندگی بیوماده مركب به استخوان می باشد، می شود.

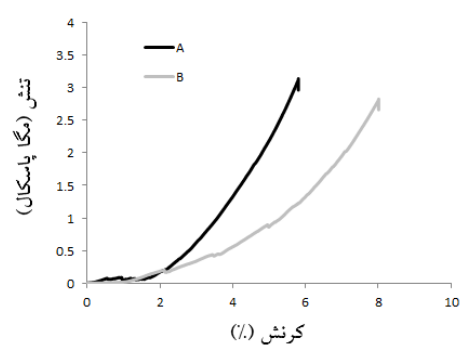
نتایج حاصل از آزمون فشار بر روی نمونه های نانوبیوماده مركب A و B، در شکل (۳) نشان داده شده اند. استحکام شکست فشاری نمونه های A و B به ترتیب برابر با 3 MPa و $2/7 \text{ MPa}$ می باشد. اندازه هی ذرات و نحوه توزیع مواد تشکیل دهنده مواد مركب در استحکام آنها مؤثرند. نمونه A به دلیل دارا بودن درصد وزنی بالاتری از TiO_2 و اندازه هی ذرات در حد

فصل مشترک آنها تشکیل شده است. البته، مقدار β -TCP در نمونه‌ی B بهدلیل وجود درصد بیشتری از هیدروکسی آپاتایت، بیش از نمونه‌ی A می‌باشد.



شکل ۴ الگوی پراش پرتوی ایکس نمونه‌های نانوپیومادهی مرکب نمونه‌ی A (a) و نمونه‌ی B (b)

اگر چه هیدروکسی آپاتایت در محیط بدن ثابت و پایدار است، اما حضور فازهای ثانویه باعث حل شدن آن و در نتیجه، تخریب قطعه‌ی کاشتنی در بدن موجود زنده می‌شود. بنابراین، افزایش دمای تفجوشی و به دنبال آن، افزایش بلورینگی، برای عمر بیشتر قطعه‌ی کاشتنی ضروری است [36]. از طرفی، دمای بالای تفجوشی 80°C منجر به تجزیه‌ی هیدروکسی آپاتایت به $\beta\text{-TCP}$ و $\alpha\text{-Ca}_3(\text{PO}_4)_2$ می‌شود. حضور این مواد در ماده‌ی مرکب سبب کاهش زیست‌سازگاری قطعه‌ی کاشتی می‌شود. افزو برا این، $\beta\text{-TCP}$ با قرارگیری نمونه‌ها در محیط‌های بیولوژیکی نظیر پلاسمای خون، ناپایدار است و به مرور زمان تخریب می‌شود. از این رو، دلیل افت استحکام ماده‌ی مرکب پس از قرارگیری در محلول SBF را می‌توان حضور این فاز دانست [36]. در این تحقیق، فاز $\beta\text{-TCP}$ به مقدار ناچیز در ساختار هر دو نمونه‌ی نانوپیومادهی مرکب در نتیجه‌ی حرارت‌دهی نمونه‌ها در دمای 1000°C مشاهده شد، ولی این مقدار نمی‌تواند تأثیر چندانی بر زیست‌سازگاری نمونه‌ها داشته باشد. نانوآلومینا به عنوان بهترین ماده‌ی تقویت‌کننده در بیوسرامیک‌های هیدروکسی آپاتایت به شمار می‌رود. این ماده استحکام شکست و سختی ماده‌ی مرکب را



شکل ۳ نمودار نش-کرنش نمونه‌ها

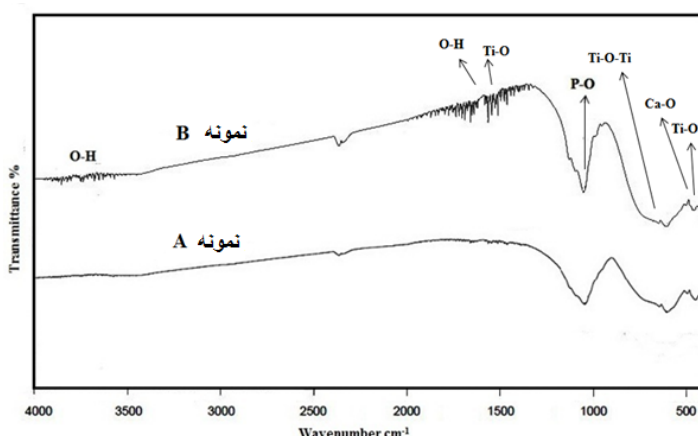
بررسی‌های ریزساختاری

صفحه‌های بلوری و فازهای موجود در نمونه‌ها به کمک آزمون پراش پرتوی ایکس (XRD) تعیین شد. با انجام این آزمون، فازهای موجود در نمونه‌های A و B قبل از قرارگیری در محلول SBF مشاهده شد (شکل ۴). قله‌های مربوط به هیدروکسی آپاتایت در نزدیکی‌های زاویه‌های $2\theta = 26^{\circ}$ و $32^{\circ} = 32$ آشکار می‌شود. به ترتیب در صفحه‌های (201) و (211) اشکار می‌شود. افزون بر این، پیک $\beta\text{-TCP}$ در نزدیکی زاویه‌ی $31/5 = 2\theta = 20^{\circ}$ در صفحه‌ی (221) دیده می‌شود که بسیار نزدیک به پیک مربوط به هیدروکسی آپاتایت است. پیک مربوط به TiO_2 با دامنه‌ی بزرگ، در اطراف زاویه‌ی $36^{\circ} = 2\theta = 2\theta = 10^{\circ}$ با صفحه‌ی بلوری (110) مشاهده می‌شود. دامنه‌ی پیک TiO_2 در نمودار پراش پرتوی ایکس مربوط به نمونه‌ی A بلندتر است. آلومینا، تقویتکننده‌ی دیگری در نانوپیومادهی مرکب است که در نزدیکی‌های زاویه‌های $2\theta = 58^{\circ}$ و $38^{\circ} = 2\theta = 58^{\circ}$ دارای صفحه‌های بلوری (110) و (111) می‌باشد. افزون بر این، فاز آلمینات کلسیم (CaAl_2O_4) در زاویه‌های $35/5 = 2\theta = 57^{\circ}$ و $2\theta = 57^{\circ}$ و فاز CaTiO_3 در نزدیکی زاویه‌ی $32/5 = 2\theta = 32^{\circ}$ در هر دو نمونه، دارای پیکی با دامنه‌ی کوتاه می‌باشد. فصل مشترک بین هیدروکسی آپاتایت، Al_2O_3 و TiO_2 با تشکیل فازهای جدید CaAl_2O_4 , CaTiO_3 و $\beta\text{-TCP}$ ایجاد می‌شود [۱۹]. نتایج نشان می‌دهند که پس از ۴۰ دقیقه تفجوشی هر دو نمونه در دمای 1000°C ، تنها مقدار ناچیزی از فازهای CaAl_2O_4 , $\beta\text{-TCP}$ و CaTiO_3 در

طول موج 1042 cm^{-1} در نمونه‌ی B، دارای دامنه‌ی بزرگ‌تری نسبت به نمونه‌ی A می‌باشد و این، وجود درصد بیش‌تری از هیدروکسی آپاتایت را در نمونه‌ی B ثابت می‌کند. افرون بر این، پیک‌های موجود در طول موج‌های 421 cm^{-1} , 450 cm^{-1} , 595 cm^{-1} , 1413 cm^{-1} و 1483 cm^{-1} در نمونه‌های A و B را می‌توان به گروه‌های Ti-O نسبت داد. پیک‌های ظاهر شده در طول موج‌های 410 cm^{-1} , 468 cm^{-1} , 500 cm^{-1} و 580 cm^{-1} ، به گروه‌های Ti-O-Ti مربوطند [39]. هم‌چنین، پیک مشاهده شده در طول موج 545 cm^{-1} را می‌توان به Al-O-Al و پیک‌های موجود در طول موج‌های 602 cm^{-1} , 678 cm^{-1} و 699 cm^{-1} را به Al_2O_4 نسبت داد [40]. پیک مورد نظر در طول موج‌های 463 cm^{-1} و 560 cm^{-1} مربوط به Ca-O و پیک حاضر در طول موج 1439 cm^{-1} مربوط به Ca-OH می‌باشد. پیک‌های ظاهر شده در نزدیکی های طول موج‌های 1650 cm^{-1} و 3570 cm^{-1} نیز نشان‌دهنده‌ی حرکت‌های کششی یون‌های هیدروکسیل موجود در شبکه‌ی هیدروکسی آپاتایت می‌باشد [41].

افزایش می‌دهد، ولی در فرایندهای دما بالا (1400°C - 1200°C) حین مراحل تولید به دلیل افزایش سطح وسعت منطقه‌ی واکنش، فازهای جدیدی از جمله فاز آلومینات کلسیم ایجاد می‌شود که باعث افت خواص مکانیکی ماده‌ی مرکب می‌شود و کاربرد آن را محدود می‌کند [30]. در این مطالعه، به دلیل تفجوشی نمونه‌های نانویوماده‌ی مرکب در دمای 1000°C ، فاز آلومینات کلسیم در ریزساختار به مقدار ناچیز مشاهده شد.

به منظور کسب اطمینان از انجام واکنش بین اجزای تشکیل دهنده‌ی نانویوماده مرکب، آزمون FTIR انجام شد. در شکل (۵)، طیف FTIR مربوط به نمونه‌های A و B در محدوده طول موج 4000 cm^{-1} - 400 cm^{-1} در نشان داده شده است. حضور پهن‌ترین پیک در نمونه‌های A و B قبل از غوطه‌وری در محلول SBF نشان‌دهنده‌ی وجود گروه‌های فسفاتی (پیوند کششی P-O) در طول موج 1042 cm^{-1} می‌باشد. وجود این پیک، حضور هیدروکسی آپاتایت را در نمونه‌های ماده‌ی مرکب را نشان می‌دهد [38]. پیک موجود در



شکل ۵ طیف FTIR مربوط به نمونه‌های نانویوماده‌ی مرکب

جدول ۵ درصد وزنی عناصر موجود در سطح نانویوماده مرکب پس از غوطه‌وری در محلول SBF

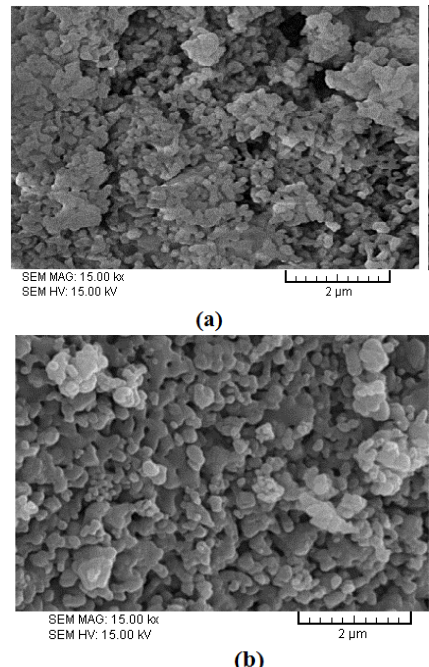
نمونه	Ca (%)	Ti (%)	O_2 (%)	P (%)	Al (%)
A	۱۸/۲۶	۲۰/۷۵	۴۷/۶۱	۹/۷۴	۳/۶۴
B	۲۵/۶	۸/۳۳	۴۹/۲۶	۱۴/۶۲	۲/۱۹

زیست‌فعالی بیوسرامیک‌ها به دلیل توانایی آن‌ها در تشکیل هیدروکسی آپاتایت در محیط‌های فیزیولوژیک (SBF) می‌باشد [43,44]. در این مطالعه، تشکیل آپاتایت و سایر انواع کلسیم فسفات بر روی نانوپیومواد مرکب سرامیکی ارزیابی شده است و ارتباط بین تشکیل آپاتایت و زیست‌فعالی بیوسرامیک‌ها تعیین شده است. با توجه به نتایج به دست آمده از آزمون (EDX) (جدول ۵)، مشاهده می‌شود که میزان کلسیم و فسفر بعد از غوطه‌وری نمونه‌ها در مقایسه با قبل از غوطه‌وری آن‌ها در محلول SBF (جدول ۳)، به میزان چشم‌گیری افزایش یافته است و این در حالی است که نسبت کلسیم به فسفر در نمونه‌ها تغییر چندانی نکرده است. غاظت یون کلسیم از یک طرف با تشکیل لایه‌ی آپاتایت در محلول SBF و از سوی دیگر، با میزان رهایش آن از نمونه‌ی ماده‌ی مرکب کترل می‌شود [45].

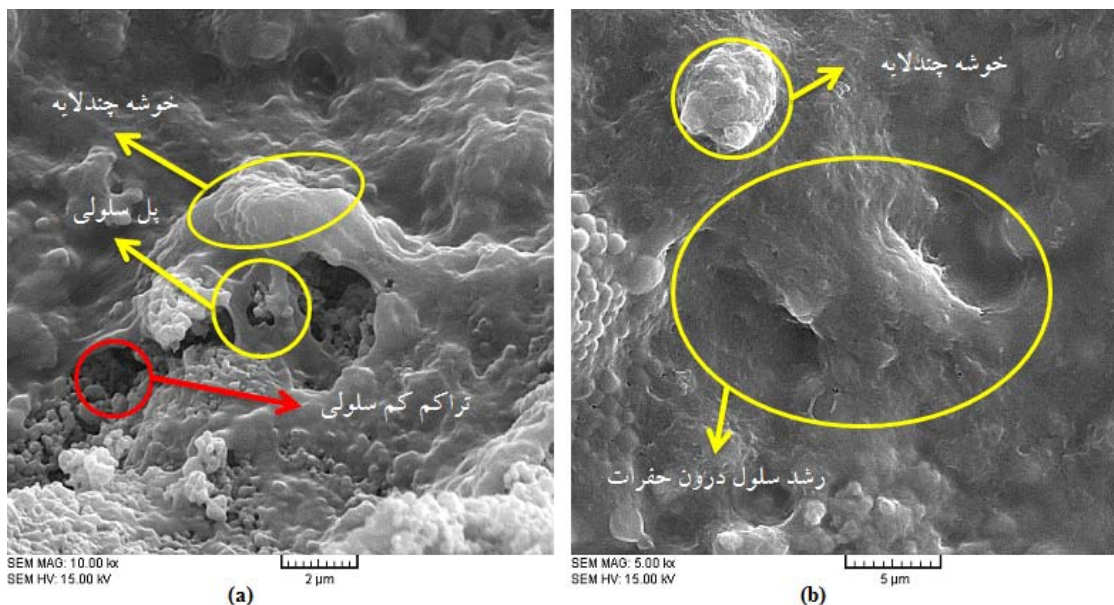
تصویرهای میکروسکوپ الکترونی رویشی در شکل (۷)، چسبندگی، رشد، پهن‌شوندگی و مُرفو‌لوزی سلول‌های MG-67 بر روی نمونه‌ها را پس از ۳ روز کشت نشان می‌دهند. همان‌گونه که مشاهده می‌شود، سلول‌ها به خوبی در سطح هر دو نمونه گسترش یافته‌اند و سلول‌ها از طریق ترشحات ریز سلولی مثل فلوریدیا، به یکدیگر و به ماده‌ی زمینه چسبیده‌اند، با این تفاوت که سطح نمونه‌ی B با تعداد سلول‌های بیش‌تری نسبت به نمونه‌ی A و به طور کامل با سلول‌های دارای ترشحات فلوریدیای بزرگ چسبیده به سطح پوشیده شده است. افزون بر این، رشد سلولی درون حفره‌های نمونه‌ی B رخ داده است، در حالی که بر روی سطح نمونه‌ی A، رشد سلولی کم‌تر است و سلول‌ها پراکنده‌اند. سلول‌ها بر روی تمام سطح نمونه‌ی A به دلیل بزرگ شدن حفره‌ها، به تلاقی کامل نرسیده‌اند. در این حالت، سلول‌ها بر روی سطح یک خوش‌هی چند لایه پل ارتباطی تشکیل داده‌اند.

مطالعه زیست‌فعالی و زیست‌سازگاری نمونه‌ها

رفتار زیست‌فعالی و تشکیل فاز کالسیم فسفاتی بر روی سطح نانوپیو مواد مرکب در محلول ENERGY توسط میکروسکوپ SEM و آزمون DISPERSIVE X-RAY ANALYSIS (EDX) ارزیابی شد. در شکل (۶)، تصویرهای SEM مربوط به نمونه‌های A و B پس از غوطه‌وری در محلول SBF نشان داده می‌شود. با بررسی نتایج غوطه‌وری نمونه‌ها در محلول SBF، تشکیل جوانه‌های آپاتایت بر روی هر دو نمونه مشاهده می‌شود، اماً تفاوت چشم‌گیری در میزان توانایی تشکیل جوانه‌های آپاتایت در نمونه‌ی B نسبت به نمونه‌ی A وجود دارد. درصد بیش‌تر هیدروکسی آپاتایت در نمونه‌ی B، دلیلی بر پوشانده شدن تمام سطح آن توسط جوانه‌های آپاتایت است، در حالی که این جوانه‌ها در نمونه‌ی A به طور پراکنده در نقاط مختلف تشکیل شده‌اند. اخیراً، محققان [42] گزارش کردند که افزایش میزان هیدروکسی آپاتایت در ترکیبات مواد مرکب باعث تغییر تشکیل جوانه‌های آپاتایت بر روی سطح نمونه‌ها درون محلول SBF می‌شود.

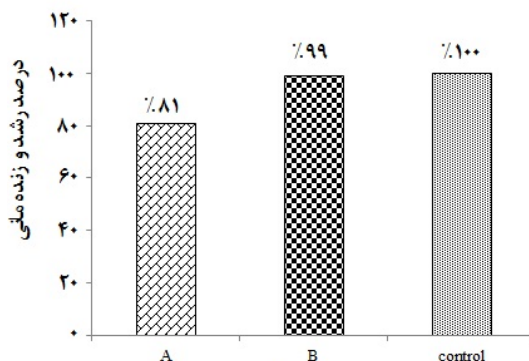


شکل ۶ تصویرهای SEM از نمونه‌ی A (a) و نمونه‌ی B (b) پس از غوطه‌وری در محلول SBF



شکل ۷ تصویرهای میکروسکُپ الکترونی رویشی نشان دهندهٔ مُرفلوژی سلول‌های MG-67 پس از ۳ روز کشت در نمونهٔ A (a) و در

(b) نمونهٔ B



شکل ۸ نتایج آزمون MTT مربوط به سلول‌های MG-67 پس از ۳ روز کشت بر روی نمونه‌ها

نتیجه‌گیری

در این مطالعه، نانوپیومادهٔ مرکب TiO_2 - Al_2O_3 -HA با خواص مطلوب به روش فشردن سرد و تفجوشی ساخته شد. افرون بر این، تشکیل فازهایی از نوع کلسیم فسفات بر روی سطح نانوپیوماد مرکب در محلول SBF بررسی شد. بر روی سطح نمونهٔ B، درصد وزنی بیشتری از هیدروکسی آپاتایت و فازهای نوع کلسیم فسفات نسبت به نمونهٔ A تشکیل شد. ایجاد سطحی بدون ریزترک، کاهش احتمال ایجاد فازهای جدید از جمله CaAl_2O_4 و $\beta\text{-TCP}$ و جلوگیری از ایجاد فاز $\alpha\text{-Ca}_3(\text{PO}_4)_2$ ، از دیگر نتایج

برای تعیین کمی تکثیر سلول‌های استخوانی در هر دو نمونهٔ A و B، آزمون MTT انجام شد. در شکل (۸)، درصد زنده‌مانی سلول‌ها در نمونه‌ها پس از ۳ روز کشت نشان داده شده است. در مدت زمان کشت، تکثیر سلول‌های بیشتری بر روی نمونهٔ B در مقایسه با نمونهٔ A مشاهده شد. درصد رشد و زنده ماندن سلول‌ها بر روی سطح نمونهٔ B با بیشترین میزان تخلخل، ۹۹ درصد و در روی سطح نمونهٔ A برابر با ۸۱ محاسبه شد. نتایج به دست آمده بیان‌گر زیست‌سازگاری عالی هر دو نمونه با توجه به تکثیر ۱۰۰ درصدی نمونهٔ کنترل منفی هستند.

مناطقی که نیاز به بهبود فرایند استخوان‌سازی، تثبیت قطعه‌ی کاشتنی، پرکننده استخوان و افزایش چسبندگی بیوماده‌ی مرکب به استخوان می‌باشد، به کار برده شود. این در حالی است که نمونه‌ی A در مناطقی که نیاز به پوشش بهمنظور افزایش زیست‌سازگاری، چسبندگی و استحکام ماده‌ی کاشتنی می‌باشد، می‌تواند استفاده شود.

قدرتانی و تشکر

نویسنده‌گان این مقاله، از مدیریت و کارکنان آزمایشگاه مواد گروه متالورژی و مکانیک در دانشگاه آزاد واحد یزد، به‌دلیل حمایت از انجام این کار تحقیقاتی و همکاری در انجام آزمایش‌ها، تشکر می‌نمایند.

این مطالعه می‌باشدند. افرون بر این، استحکام فشاری نمونه‌ی A بیش از نمونه‌ی B و مدول یانگ آن تقریباً ۱/۵ برابر بزرگ‌تر از نمونه‌ی B بود. نتایج آزمون برون تنی *in vitro* نشان دادند که سلول‌ها بر روی سطح هر دو نمونه پس از ۳ روز به‌شكلی مطلوب پهنه شده‌اند، با این تفاوت که بیشترین رشد سلولی بر روی سطح نمونه‌ی B رخ داده بود. بنابراین، نتایج آزمون تعیین میزان سمیت سلولی، بیان‌گر زیست‌سازگاری عالی نمونه‌های A و B و توانایی بهبود چسبندگی و تکثیر سلولی بودند. به‌این ترتیب، نشان داده شد که هر دو نانو بیوماده‌ی مرکب با توجه به خواص متفاوتی که دارند، می‌توانند برای کاربردهای متفاوت ارتوپدی و دندانپزشکی مفید باشند. بنابراین، نمونه‌ی B با داشتن زیست‌فعالی مناسب برای ماده‌ی کاشتی، می‌تواند در

مراجع

1. Dorozhkin, S.V., "Bioceramics of calcium orthophosphates", *Biomaterials.*, Vol. 31, pp. 1465-1485, (2010).
2. Bellucci, D., Cannillo, V., Sola, A., Chiellini, F., and Gazzarri, M., Migone, C., "Macroporous Bioglass®-derived scaffolds for bone tissue regeneration", *Ceramics International.*, Vol. 37, pp. 1575-1585, (2011).
3. Lee , S.-H., and Shin,H., "Matrices and scaffolds for delivery of bioactive molecules in bone and cartilage tissue engineering", *Advanced Drug Delivery Reviews.*, Vol. 59, pp. 339-359, (2007).
4. Uemura, T., Dong, J., Wang, Y., Kojima, H., Saito, T., Iejima, D., Kikuchi, M., Tanaka, J., and Tateishi, T., "Transplantation of cultured bone cells using combinations of scaffolds and culture techniques", *Biomaterials.*, Vol. 24, pp. 2277-2286, (2003).
5. Yoneda, M., Terai, H., Imai, Y., Okada, T., Nozaki, K., Inoue, H., Miyamoto, S., and Takaoka, K., "Repair of an intercalated long bone defect with a synthetic biodegradable bone-inducing implant", *Biomaterials.*, Vol. 26, pp. 5145-5152, (2005).
6. Olszta, M.J., Cheng, X., Jee, S.S., Kumar, R., Kim, Y.-Y., Kaufman, M.J., Douglas, E.P., and Gower, L.B., "Bone structure and formation: A new perspective", *Materials Science and Engineering: R: Reports.*, Vol. 58, pp. 77-116, (2007).
7. Sun, F., Zhou, H., and Lee, J., "Various preparation methods of highly porous hydroxyapatite/polymer nanoscale biocomposites for bone regeneration", *Acta Biomaterialia.*, Vol. 7, pp. 3813-3828, (2011).
8. Nandakumar, A., Cruz, C., Mentink, A., Tahmasebi Birgani, Z., Moroni, L., van Blitterswijk, C., and

- Habibovic, P., "Monolithic and assembled polymer–ceramic composites for bone regeneration", *Acta Biomaterialia.*, Vol. 9, pp. 5708-5717, (2013).
9. Chen, Q.Z., Wong, C.T., Lu, W.W., Cheung, K.M.C., Leong ,J.C.Y., and Luk, K.D.K., "Strengthening mechanisms of bone bonding to crystalline hydroxyapatite in vivo", *Biomaterials.*, Vol. 25, pp. 4243-4254, (2004).
10. Rath, P.C., Besra,L., Singh, B.P., and Bhattacharjee, S., "Titania/hydroxyapatite bi-layer coating on Ti metal by electrophoretic deposition: Characterization and corrosion studies", *Ceramics International.*, Vol. 38, pp. 3209-3216, (2012).
11. Swetha, M., Sahithi, K., Moorthi, A., Srinivasan, N., Ramasamy, K., and Selvamurugan, N., "Biocomposites containing natural polymers and hydroxyapatite for bone tissue engineering", *International Journal of Biological Macromolecules*, Vol. 47, pp. 1-4, (2010).
12. Zhou, H., and Lee, J., "Nanoscale hydroxyapatite particles for bone tissue engineering", *Acta Biomaterialia*, Vol. 7, pp. 2769-2781, (2011).
13. Balani, K., Anderson, R., Laha, T., Andara, M., Tercero, J., Crumpler, E., and Agarwal, A., "Plasma-sprayed carbon nanotube reinforced hydroxyapatite coatings and their interaction with human osteoblasts in vitro", *Biomaterials*, Vol. 28, pp. 618-624, (2007).
14. Sadat-Shojaei, M., Atai, M., Nodehi, A., and Khanlar, L.N., "Hydroxyapatite nanorods as novel fillers for improving the properties of dental adhesives: Synthesis and application", *Dental Materials.*, Vol. 26, pp. 471-482, (2010).
15. Sato, M., Sambito, M.A., Aslani, A., Kalkhoran, N.M., Slamovich, E.B., and Webster, T.J., "Increased osteoblast functions on undoped and yttrium-doped nanocrystalline hydroxyapatite coatings on titanium", *Biomaterials*, Vol. 27, pp. 2358-2369, (2006).
16. Topić, M., Ntsoane, T., and Heimann, R.B., "Microstructural characterisation and stress determination in as- plasma sprayed and incubated bioconductive hydroxyapatite coatings", *Surface and Coatings Technology*, Vol. 201, pp. 3633-3641, (2006).
17. Khosroshahi, M.E., Mahmoodi, M., and Saeedinasab, H., "In vitro and in vivo studies of osteoblast cell response to a titanium-6 aluminium-4 vanadium surface modified by neodymium:yttrium-aluminium-garnet laser and silicon carbide paper", *Lasers Med Sci*, Vol. 24, pp. 925-939, (2009).
18. Khosroshahi, M.E., Tavakoli, J., and Mahmoodi, M., "Analysis of Bioadhesivity of Osteoblast Cells on Titanium Alloy Surface Modified by Nd:YAG Laser", *J Adhes.*, Vol. 83, pp. 151-172, (2007).
19. Aminzare, M., Eskandari, A., Baroonian, M.H., Berenov, Razavi Hesabi, A. Z., Taheri, M., and Sadrnezhaad, S.K., "Hydroxyapatite nanocomposites: Synthesis, sintering and mechanical properties", *Ceramics International*, Vol. 39, pp. 2197-2206, (2013).
20. Andronescu, E., "Ceramics in substitutive and reconstructive surgery: Edited: P. Vincenzini, Faenza, Italy Materials Science Monographs Volume 69 Publisher: Elsevier Science Publisher, Sara

- Burgerhartstraat 25, P.O. Box 211, 1000 AE Amsterdam The Nederlands, (ISBN 0-444-89060-2)", Microelectronics Reliability., Vol. 33, pp. 767, (1993).
21. Kalmodia, S., Goenka, S., Laha, T., Lahiri, D., Basu, B., and Balani, K., "Microstructure, mechanical properties, and in vitro biocompatibility of spark plasma sintered hydroxyapatite–aluminum oxide–carbon nanotube composite", Materials Science and Engineering: C, Vol. 30, pp. 1162–1169, (2010).
22. Kratschmer, T., and Aneziris, C.G., "Amorphous zones in flame sprayed alumina–titania–zirconia compounds", Ceramics International., Vol. 37, pp. 181-188, (2011).
23. Wen, C.E., Xu, W., Hu, W.Y., and Hodgson, P.D., "Hydroxyapatite/titania sol–gel coatings on titanium– zirconium alloy for biomedical applications", Acta Biomaterialia., Vol. 3, pp. 403-410, (2007).
24. Sopyan, I., Fadli, A., and Mel, M., "Porous alumina–hydroxyapatite composites through protein foaming – consolidation method", *Journal of the Mechanical Behavior of Biomedical Materials.*, Vol. 8, pp. 86-98, (2012).
25. Cho, J., Schaab, S., Roether, J., and Boccaccini, A., "Nanostructured carbon nanotube/TiO₂ composite coatings using electrophoretic deposition (EPD)", *J Nanopart Res.*, Vol. 10, pp. 99-105, (2008).
26. Beherei, H.H., Mohamed, K.R., and El-Bassyouni, G.T., "Fabrication and characterization of bioactive glass (45S5)/titania biocomposites", Ceramics International., Vol. 35, pp. 1991-1997, (2009).
27. Ning, M., Xinfei, F., Xie, Q., and Yaobin, Z., "Ag–TiO₂/HAP/Al₂O₃ bioceramic composite membrane: Fabrication, characterization and bactericidal activity", *Journal of Membrane Science*, Vol. 336, pp. 109–117, (2009).
28. Habibpanah, A.A., Pourhashem, S., and Sarpoolaky, H., "Preparation and characterization of photocatalytic titania– alumina composite membranes by sol–gel methods", *Journal of the European Ceramic Society.*, Vol. 31, pp. 2867-2875, (2011).
29. Enayati-Jazi, M., Solati-Hashjin, M., Nemati, A., and Bakhshi, F., "Synthesis and characterization of hydroxyapatite/titania nanocomposites using in situ precipitation technique", Superlattices and Microstructures., Vol. 51, pp. 877-885, (2012).
30. Viswanath, B., and Ravishankar, N., "Interfacial reactions in hydroxyapatite/alumina nanocomposites", Scripta Materialia., Vol. 55, pp. 863-866, (2006).
31. Wan, Y., Wu, H., Cao, X., and Dalai, S., "Compressive mechanical properties and biodegradability of porous poly(caprolactone)/chitosan scaffolds", Polymer Degradation and Stability., Vol. 93, pp. 1736-1741, (2008).

32. David, B., Pizúrová, N., Schneeweiss, O., Klementová, M., Šantavá, E., Dumitrache, F., Alexandrescu, R., and Morjan, I., "Magnetic properties of nanometric Fe-based particles obtained by laser-driven pyrolysis", *Journal of Physics and Chemistry of Solids.*, Vol. 68, pp. 1152-1156, (2007).
33. Kokubo, T., Kim, H.M., Miyaji, F., Takadama, H., and Miyazaki, T., "Ceramic–metal and ceramic–polymer composites prepared by a biomimetic process", *Composites Part A: Applied Science and Manufac.*, Vol. 30, pp. 405-409, (1999).
34. Kim, H., Kong, Y., Bae, C., Noh, Y., and Kim, H., "Sol–gel derived fluor-hydroxyapatite biocoatings on zirconia substrate", *Biomaterials.*, Vol. 25, pp. 2919-2926, (2004).
35. Huang, Y., Hsiao, P., and Chai, H., "Hydroxyapatite extracted from fish scale: Effects on MG63 osteoblast-like cells", *Ceramics International.*, Vol. 37 , pp. 1825-1831, (2011).
36. Kwok, C.T., Wong, P.K., Cheng, F.T., and Man, H.C., "Characterization and corrosion behavior of hydroxyapatite coatings on Ti6Al4V fabricated by electrophoretic deposition", *Applied Surface Science.*, Vol. 255, pp. 6736-6744, (2009).
37. Harle, J., Kim, H.-W., Mordan, N., Knowles, J.C., and Salih, V., "Initial responses of human osteoblasts to sol–gel modified titanium with hydroxyapatite and titania composition", *Acta Biomaterialia.*, Vol. 2, pp. 547-556, (2006).
38. Salehi, S., and Fathi, M.H., "Fabrication and characterization of sol-gel derived hydroxyapatite/zirconia composite nanopowders with various yttria contents", *Ceram Int.*, Vol. 36, pp. 1659-1667, (2010).
39. Cordeiro, D., Vasconcelos,L., and Costa, V., "Infrared Spectroscopy of Titania Sol-Gel Coatings on 316L Stainless Steel", *Materials Sciences and Applications.*,Vol. 2, pp. 1375-1382, (2011).
40. Kumara ,K., Singhb,A.K., and Rai, S.B., "Laser excited long lasting luminescence in CaAl₂O₄:Eu³⁺/Eu²⁺+Nd³⁺phosphor", *Spectrochimica Acta Part A: Molecular andBiomolecular Spectroscopy.*, Vol. 102, pp. 212-218, (2013).
41. Barinov, S.M., Rau, J.V., Cesaro, S.N., and Durisin, J., "Carbonate Release from Carbonated Hydroxyapatite in the Wide Temperature Rage", *Journal of Materials Science Materials in Medicine.*, Vol. 17, pp. 597-604, (2006).
42. Kong, L., Gao,Y., Lu,G., Gong,Y., Zhao, N., and Zhang, X., "A study on the bioactivity of chitosan/nano- hydroxyapatite composite scaffolds for bone tissue engineering", *European Polymer Journal.*, Vol. 42, pp. 3171-3179, (2006).
43. Fujibayashi, S., Neo, M., Kim, H.-M., Kokubo, T., and Nakamura, T., "A comparative study between in vivo bone ingrowth and in vitro apatite formation on Na₂O–CaO–SiO₂ glasses", *Biomaterials.*, Vol. 24, pp. 1349-1356, (2003).
44. Rámila, A., and Vallet-Regí, M., "Static and dynamic in vitro study of a sol–gel glass bioactivity", *Biomaterials.*, Vol. 22, pp. 2301-2306, (2001).

-
45. Martínez, A., Izquierdo-Barba, I., and Vallet-Regí, M., "Bioactivity of a CaO–SiO₂ Binary Glasses System", *Chemistry of Materials.*, Vol. 12, pp. 3080-3088, (2000).

* تهییه‌ی پوشش مناسب برای مقاومت سیم‌پیچی شده‌ی نیکل-کروم و بررسی گرانروی و کشش سطحی آن*

مهدی محسنی^(۱) علیرضا میرحبیبی^(۲) حسین قصاعی^(۳)

چکیده

در پژوهش حاضر، برای یافتن پوشش مناسب، ترکیب‌های مختلفی از میناها بررسی شد. نتایج نشان دادند که ترکیب حاوی یک درصد وزنی اکسید کبالت و سه درصد وزنی اکسید کروم ($E_{6.307}$) با دمای پخت 840°C ، ترکیب بهینه‌ای می‌باشد. با بررسی رفتار ذوب ترکیب بهینه به کمک میکروسکوپ حرارتی و اندازه‌گیری دماهای انتقال به حالت شیشه‌ای، T_g و نرم‌شوندگی، T_s و دیلاتومتری، ثابت‌های معادله‌ی VFT تعیین شد. نتایج نشان دادند که گرانروی پوشش مناب در دمای پخت برابر با $10^{3.8} \text{ Pa.s}$ ، زاویه‌ی تماس یا ترشوندگی مناب با زیرپایه‌ی سرامیکی 135° و کشش سطحی مناب برابر با 245.1 mN/m می‌باشد.

واژه‌های کلیدی مقاومت سیم‌پیچی شده، مینا، نیکل-کروم، گرانروی، کشش سطحی.

Preparation of an Appropriate Coating for Ni-Cr Wire-Wound Resistor and Investigation on its Viscosity and Surface Tension

M. Mohseni A. Mirhabibi H. Ghasaei

Abstract

In the present work, attempts have been made to find appropriate coating by testing different compounds. Results showed that the optimum enamel is a compound with 1 wt.% cobalt oxide, 3 wt.% chromium oxide (in addition to hundred percent) with the firing temperature of 840°C . Constants of VFT equation were determined by examination of melting behavior of the optimum enamel and measurement of the transition and softening temperatures (T_g and T_s). Results also showed that in the firing temperature, the viscosity of coating is $10^{3.8} \text{ Pa.s}$, the contact angle (wetting of melt with the ceramic substrate) is 135° and the surface tension of the melt is 245.1 mN/m .

Key Word Wire-wound resistor, Enamel, Ni-Cr, Viscosity, Surface tension.

* نسخه‌ی نخست مقاله در تاریخ ۹۲/۷/۳ و نسخه‌ی پایانی آن در تاریخ ۹۳/۹/۱ به دفتر نشریه رسیده است.

(۱) دانش آموخته‌ی کارشناسی ارشد، دانشکده مهندسی مواد و متالورژی، دانشگاه علم و صنعت ایران.

(۲) نویسنده‌ی مسئول، دانشیار دانشکده مهندسی مواد و متالورژی، دانشگاه علم و صنعت ایران.

(۳) مرتبی کارشناسی ارشد، دانشکده مهندسی مواد و متالورژی، دانشگاه علم و صنعت ایران.

سیم حین پخت مینا هم اشاره کرد. از اکسید کبالت نیز به عنوان عامل چسبندگی مینا به فلز در این میناهای استفاده شده است [11-13]. جدول (۱)، برخی از میناهای گزارش شده در مراجع را نشان می‌دهد [۱,4,5,14].

از سوی دیگر، شکل هندسی زیرپایه‌ی سرامیکی احتمال ریزش مینا حین پخت را افزایش می‌دهد. در نتیجه، گرانروی پوشش در دمای پخت بسیار مهم است. به همین دلیل، در پژوهش حاضر گرانروی پوشش نیز بررسی شده است.

در بررسی رفتار ذوب لعاب‌های سرامیکی، چند نقطه‌ی مشخص اهمیت دارند. با افزایش دما بعد از نقطه‌ی T_g ، ذرات تفجوشی می‌شوند و گرانروی به سرعت کاهش می‌یابد. با افزایش دما و عبور از نقطه‌ی T_s ، کاهش بیشتری در گرانروی قابل مشاهده است و لعاب رفتاری مشابه با یک مایع با گرانروی بالا از خود بروز می‌دهد. در پیک دمایی پخت لعاب، گرانروی آن به صورت ایده‌آل در بازه‌ی 10^4 Pa.s می‌باشد. وابستگی گرانروی به دما در شیشه‌ها و لعاب‌های سرامیکی بعد از دمای T_g و دمایی بالا، با استفاده از معادله‌ی زیر بیان می‌شود:

$$\log \eta = A + B/T \quad (1)$$

که در آن، η گرانروی مذاب و A و B ثابت هستند. بعد از دمای T_g ، گرانروی حقیقی بزرگ‌تر از آنچیزی است که از معادله‌ی (۱) به دست می‌آید، زیرا انرژی فعال‌سازی برای جریان ویسکوز ثابت نیست. در معادله‌ی وُگل - فالچر - تامان - (VFT, Vogel-Flucher-Tammann)، ثابت T_0 به معادله‌ی (۱) اضافه می‌شود:

$$\log \eta = A + B / (T - T_0) \quad (2)$$

ثابت‌های معادله‌ی VFT را می‌توان با استفاده از سه نقطه‌ی دمایی مرجع (T_g , T_s و $T_{1/2}$) و معادله‌های (۳)، (۴) و (۵) به دست آورد.

مقدمه

مقاومت‌های الکتریکی سیم پیچی شده به دلیل طراحی ویژه، دارای توان بالاتری نسبت به سایر مقاومت‌های الکتریکی هستند. این نوع از مقاومت‌ها از یک هسته‌ی سرامیکی و یک سیم پیچ فلزی تشکیل شده‌اند. سیم مورد استفاده از انواع المنت‌های دارای مقاومت الکتریکی، به‌ویژه آلیاژهای نیکل - کرم، و هسته‌ی سرامیکی به‌شکل لوله یا میله می‌باشد. پرسلان‌های الکتریکی و استاتیکی، متداول‌ترین هسته‌های سرامیکی به‌کار رفته در این مقاومت‌ها هستند. از مهم‌ترین کاربردهای این مقاومت‌ها می‌توان به استفاده از آن‌ها در صنایع نظامی و استفاده به عنوان منبع تأمین گرما اشاره کرد [1-3].

برای محافظت در برابر عوامل محیطی مانند رطوبت و صدمات مکانیکی، لازم است تا مقاومت پوشش داده شود [۱,4,5]. میناهای شیشه‌ای و شیشه‌سرامیکی، متداول‌ترین پوشش به‌کار رفته در این نوع مقاومت‌ها می‌باشند [۵,6].

با توجه به تغییر ساختار سیم نیکل - کروم (تاب‌کاری سیم) در دمایی بالاتر از 870°C و در نتیجه، تغییر مقاومت الکتریکی آن، پوشش اعمال شده می‌باید دارای دمای پختی کمتر از این دما باشد [۶,7]. عامل مهم دیگری که در پوشش‌دهی آلیاژهای نیکل - کروم مهم است، نفوذ سریع و اتحلال کروم موجود در آلیاژ به درون پوشش است که می‌تواند تأثیر مهمی بر ترکیب فاز و ریزساختار حاصل داشته باشد [۸]. از جمله کارهایی که می‌توان برای حل این مشکل انجام داد، استفاده از میناهای غنی از اکسید کروم [۹]، و اکسایش اولیه‌ی آلیاژ پیش از استفاده از مینا می‌باشد [۱0]. میناهای به‌کار رفته در تحقیقات انجام شده غالباً حاوی اکسید کروم می‌باشند. محدوده تغییرات اکسید کروم در این میناهای کمتر از یک تا چهار درصد وزنی گزارش شده است. افزون بر دلیل فوق الذکر برای استفاده از اکسید کروم در این میناهای می‌توان به افزایش چسبندگی مینا به سیم و جلوگیری از اتحلال

که ارتفاع نمونه نصف عرض آن و زاویه تماس آن با سطح 90° باشد [15,16]. فوجینو و همکاران، پرابهو و همکاران و شارتیس و همکاران، گرانروی و کشش سطحی شیشه‌های سیلیکات سربی و بُروسیلیکات سربی را بررسی کردند [17-19].

در پژوهش حاضر، ترکیب مینای مناسب برای پوشش دهی مقاومت‌های الکتریکی سیم پیچی شده و شرایط پخت آن بررسی شده است. از سوی دیگر، با توجه به این که خواص میناهای مذکور تاکنون مطالعه نشده‌اند و در منابع موجود تنها اطلاعاتی در مورد ترکیب آن‌ها وجود دارد، در این پژوهش برای نخستین بار رفتار ذوب مینای مناسب که یکی از خواص مهم در پوشش دهی است، بررسی شده است.

$$\frac{T_0 = \frac{12T_g - 3.55T_{1/2} + (9.25T_s - 12T_g) \frac{T_{1/2}-T_g}{T_s-T_g}}{8.45 - 2.75 \frac{T_{1/2}-T_g}{T_s-T_g}}}{(3)}$$

$$A = \frac{(9.25T_s - 12T_g + 2.75T_0)}{(T_s - T_g)} \quad (4)$$

$$B = (T_g - T_0)(12 - A) \quad (5)$$

گرانروی مذاب را می‌توان با استفاده از اندازه‌گیری‌های دیلاتومتری و میکروسکُپ حرارتی و بر اساس سه نقطه دمای مرتع تخمین زد. این سه نقطه عبارتند از $T_g = 10^{12}$ Pa.s در نقطه‌ی $T_g = 10^{9.25}$ Pa.s، $T_{1/2} = 10^{3.55}$ Pa.s در نقطه‌ی $T_{1/2} = 10^{7.75}$ Pa.s (دماهی که در آن، نمونه در میکروسکُپ حرارتی به شکل نیم‌کره در می‌آید). شکل نیم‌کره زمانی ایجاد می‌شود

جدول ۱ ترکیب شیمیایی میناهای گزارش شده در مراجع بر حسب درصد وزنی

E ₉	E ₈	E ₇	E ₆	E ₅	E ₄	E ₃	E ₂	E ₁	(wt.%) اکسید
۴۸/۲۹	-	۳۱/۰۹	۵۰	۳۹	۵۹/۵۲	۵۶/۶۹	۵۶/۶۹	۵۶/۶۹	PbO
۲۷/۵۹	۱۰/۲	۳۳/۹۲	۲۰	۲۱/۵	۲۷/۹۶	۱۲/۵۸	۱۲/۵۸	۱۲/۵۸	SiO ₂
۵/۵۲	۱۳/۸	۲/۹۷	۱۲	۷	۲/۸۱	۰/۹۹	۰/۹۹	۰/۹۹	Al ₂ O ₃
۴/۴	۱۷	۲/۳۵	-	۱۲/۵	-	۹/۵۴۵	۹/۵۴۵	۹/۵۴۵	ZnO
۱۴/۲	۳۷/۷	۲۰/۱۹	۱۴	۲۰	۶/۵۳	۸/۴۱۱	۸/۴۱۱	-	B ₂ O _۳
-	۴	-	۲	-	۰/۶۹	۳/۲۰۹	۳/۲۰۹	۳/۲۰۹	Na ₂ O
-	۱/۵	۱/۱۶	-	-	۰/۶	-	-	-	MgO
-	-	-	-	-	۱/۰۹	-	-	-	K ₂ O
-	۷/۶	-	-	-	۰/۸	-	-	-	CaO
-	-	۴/۴۴	-	-	-	-	-	-	BaO
-	-	۱/۲۱	-	-	-	-	-	-	NaF
-	-	۲/۲۴	-	-	-	-	-	-	CaF ₂
-	۰/۷	۰/۴۳	۱	-	۰/۵	-	-	-	CoO
-	-	-	۱	-	-	-	-	-	TiO ₂
-	۷/۵	-	-	-	-	-	-	-	ZrO ₂
-	-	-	-	-	-	۸/۵۷۹	۸/۵۷۹	۸/۵۷۹	SnO ₂
-	-	-	-	-	-	۱۰۰/۰/۵ علاوه بر	-	۸/۴۱۱	Cr ₂ O _۳
[۱۴]	[۴]	[۱]	[۱۲]	[۵]	[۱]	شاهد	شاهد	شاهد	مرجع

وزنی سود سوزآور (NaOH) در دمای 80°C غوطه‌ور شد [5]. نمونه‌ها پس از خروج از محیط قلیائی، درون کوره‌ی الکتریکی تا دمای 200°C ۲۰۰ گرم شدند و در نهایت، سطوح آن‌ها مجدداً با الكل تمیز شد. اعمال پوشش بر روی سیم‌پیچ، با استفاده از قلم مو انجام شد و پس از آن، نمونه‌ها در کوره‌ی الکتریکی پخته شدند. در نهایت، ترکیب‌های فریت E_5 و E_6 به‌دلیل دمای ذوب مناسب (اندازه‌گیری دمای ذوب با استفاده از میکروسکوپ حرارتی انجام شد)، اتصال مناسب با زیرپایه و نداشتن عیب‌های ظاهری، به عنوان ترکیب‌های بهینه انتخاب شد. به‌منظور بهبود اتصال بین سیم و پوشش و افزایش ضریب انبساط حرارتی پوشش، از اکسید کروم (۱ تا ۷ درصد وزنی) استفاده شد.

بررسی عوامل مؤثر بر گرانروی - برای بررسی رفتار ذوب مینا، تعیین ثابت‌های رابطه‌ی VFT و زاویه‌ی ترشوندگی، از میکروسکوپ حرارتی استفاده شد. تعیین دماهای T_g و T_s با استفاده از دستگاه دیلاتومتر مدل 402E ساخت شرکت آلمانی Netzsch انجام شد.

روش‌های آزمایش

در این پژوهش، از سیمی از نوع تجاری با ترکیب $90\text{Ni}-10\text{Cr}$ و زیرپایه‌ی چینی الکتریکی صنعتی استفاده شد. برای ساخت پوشش‌ها، ابتدا فریت پوشش‌ها تهیه شد (انتخاب ترکیب فریت‌های مناسب، با بهره‌گیری از نتایج تحقیقات مشابه (جدول (۱)) صورت گرفت). کار ساخت فریت، درون بوته‌های شاموتی و در محدوده دمای 1200°C تا 1300°C با استفاده از کوره‌ی گازی با توقف ۳۰ دقیقه‌ای در این دما، انجام شد. سرد کردن مذاب آن‌ها، در هوا و بر روی یک صفحه‌ی فولادی انجام شد.

برای تهیه‌ی دوغاب پوشش‌ها، فریت‌های تهیه شده ابتدا توسط آسیای ماهواره‌ای آسیا شدند و سپس از درون آلکی با مش عبور داده شدند. در مرحله‌ی بعد، پودر فریت تهیه شده با $1/1$ درصد وزنی چسب کربوکسی متیل سلولز CMC به‌شكل تر مخلوط شد. مواد اولیه‌ی مورد استفاده برای ساخت پوشش‌ها، ترکیب شیمیابی سیم نیکل-کروم و زیرپایه‌ی چینی، به ترتیب در جدول‌های (۲)، (۳) و (۴) آمده‌اند. پیش از اعمال پوشش، مجموعه‌ی سیم‌پیچ و بدنه ابتدا به مدت زمان ۲ دقیقه در محلول آبی 10°C درصد

جدول ۲ مواد اولیه‌ی استفاده شده در این تحقیق

ماده‌ی اولیه	ماده‌ی اولیه	ماده‌ی اولیه	ماده‌ی اولیه
اکسید کالت	سیلیس همدان	کربنات کلسیم	سُرنج (اکسید سرب قرمز)
فلورید سدیم	اکسید تیتانیوم	کربنات میزیم	اسید بوریک
فلورید کلسیم	اکسید روى	کربنات باریم	هیدروکسید آلومنیوم
اکسید کروم	اکسید زیرکونیم	کربنات سدیم	کربنات سدیم

جدول ۳ ترکیب شیمیابی سیم نیکل-کروم

Fe	Cr	Ni	عنصر
۰/۳۲	۹/۲۷	۹۰/۴۲	درصد وزنی

جدول ۴ ترکیب شیمیابی بدنه‌ی چینی

Fe ₂ O ₃	K ₂ O	Na ₂ O	Al ₂ O ₃	SiO ₂	اکسید
۱/۹۶	۰/۹۸	۰/۹۸	۲۱/۵۶	۶۸/۶	درصد وزنی

نکته، اکسید کروم به عنوان یک افزودنی به فریت‌ها در نظر گرفته شد.

پخت میناها یا پوشش نهایی (فریت‌ها همراه با اکسید کروم) نشان داد که فریت₆ E₆ حاوی ۳ درصد وزنی اکسید کروم، مطلوب‌ترین پوشش است. بنابراین، این پوشش (E_{6-3Cr}) به عنوان ترکیب نهایی انتخاب شد. تعیین دما و زمان توقف بهینه برای پخت پوشش E_{6-3Cr}، با پخت نمونه‌ها در شرایط مختلف و بر اساس اندازه‌گیری‌های میکروسکوپ حرارتی انجام شد (جدول ۶). در نهایت، شرایط بهینه‌ی پخت در دمای ۸۴۰ °C به مدت زمان ۲ دقیقه به دست آمد. نمودار مربوط به شرایط بهینه‌ی پخت، در شکل (۱) نشان داده شده است.

نتایج و بحث

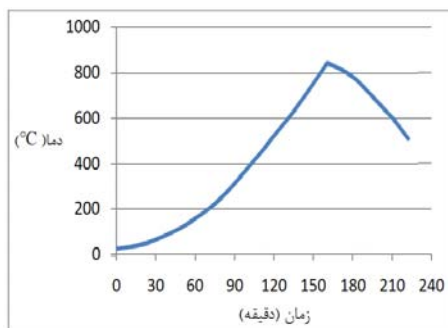
انتخاب پوشش بهینه - نتایج مربوط به دمای ذوب و نرم‌شوندگی (حالاتی که در میکروسکوپ حرارتی، گوشه‌های نمونه پخ می‌شود) انواع فریت، در جدول (۵) آورده شده‌اند. همان‌گونه که مشاهده می‌شود، دمای ذوب فریت₇ بالاتر از دمای پخت مناسب می‌باشد و فریت‌های E₁ و E₃ نیز در محدوده دمایی مناسب برای ذوب قرار ندارند (با توجه به ذوب نشدن دو ترکیب فوق در محدوده دمایی مورد نظر، این دو ترکیب در جدول (۵) حضور ندارند). با توجه به دیرگذار بودن اکسید کروم، این رفتار می‌تواند ناشی از حضور این اکسید در فریت باشد، چرا که فریت ۲ که با حذف اکسید کروم از فریت ۱ حاصل شده است، در محدوده دمایی مناسب ذوب شده است. با توجه به این

جدول ۵ دمای نرم‌شوندگی و ذوب فریت‌ها

E ₉	E ₈	E ₇	E ₆	E ₅	E ₄	E ₂	کد فریت
۷۰۰	۷۵۰	۸۰۰	۶۵۰	۷۰۰	۶۵۰	۶۵۰	دمای نرم‌شوندگی (°C)
۷۵۰	۸۳۰	۸۶۰	۷۵۰	۷۵۰	۷۲۵	۷۷۰	دمای ذوب (°C)

جدول ۶ شرایط پخت پوشش E_{6-3Cr}

محیط سرمایش	زمان توقف در دمای بیشینه (دقیقه)	دمای پخت (°C)
هوای	۰	۸۰۰
هوای	۱۰	۸۰۰
کوره	۱۰	۸۰۰
کوره	۲	۸۴۰



شکل ۱ نمودار پخت نمونه‌ی E_{6-3Cr}

تنش‌های ایجاد شده در نمونه در مقایسه با سرمایش سریع، می‌تواند نتیجه‌ی مطلوب‌تری داشته باشد.

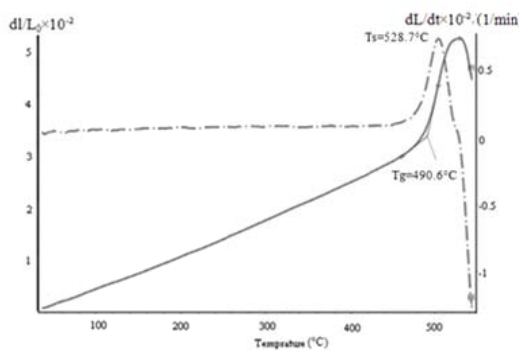
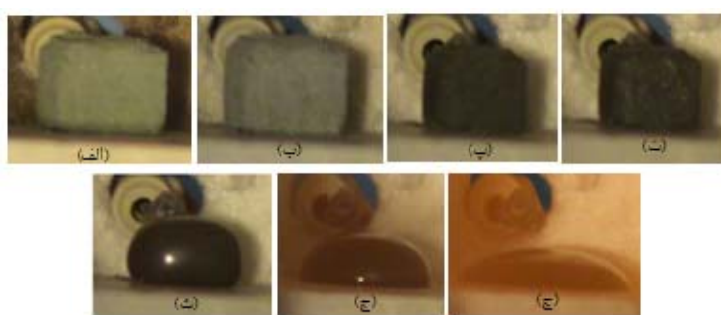
گرانروی

برای تعیین ثابت‌های معادله‌ی VFT در مورد نمونه‌ی بهینه، دماهای مرجع با استفاده از نمودار دیلاتومتری (شکل (۲)) و تصویرهای میکروسکپ حرارتی (شکل (۳)) مشخص شدند. شکل (۲)، تغییرات طول نمونه را نسبت به طول اولیه‌ی آن (محور عمودی سمت چپ) و نیز مشتق این تغییرات نسبت به زمان (محور عمودی سمت راست) را در دماهای مختلف نشان می‌دهد. در شکل (۳)، مراحل مختلف پخت مینای E6-3Cr از دمای محیط تا ذوب کامل در میکروسکپ حرارتی نشان داده شده است. همان‌گونه که مشاهده می‌شود، پیش از رسیدن به دمای نرم‌شوندگی در نمودار دیلاتومتری (C ~ 530)، تغییر خاصی در ابعاد نمونه مشاهده نمی‌شود که این، نشان‌دهنده‌ی عدم اتصال ذرات به‌یکدیگر است. البته، تغییر جزئی در ابعاد به‌دلیل افزایش دما منطقی است. اما، از این دما به بعد (C ~ 550)، کاهش ابعاد آغاز می‌شود و این، نشان‌دهنده‌ی شروع اتصال ذرات به‌یکدیگر و یا آغاز فرایند تفجوشی مینا می‌باشد.

ذوب مینا در دمای C 640 شروع شده است (شروع پخش‌شدنگی گوشه‌های نمونه) و در دمای C 850 به پایان رسیده است (تبديل نمونه به یکسوم کره). با توجه به تصویرهای ارائه شده، مشاهده می‌شود که زاویه‌ی تماس مینا با زیرپایه در دمای C 784 تقریباً ۹۰° می‌باشد. در نتیجه، این دما به عنوان دمای نیم‌کره شدن مینا در نظر گرفته شد.

دماهای مرجع و ثابت‌های محاسبه شده (با استفاده از رابطه‌های (۳)، (۴) و (۵)) در جدول (۷) گزارش شده‌اند.

همان‌گونه که در جدول (۶) دیده می‌شود، نمونه‌ها در شرایط مختلفی از دما، زمان و محیط سرد شدن پخته شده‌اند. نمونه‌ی E6-3Cr ابتدا در دمای C 800 و بدون توقف پخته شد. نتیجه‌ی پخت مینا در این دما از نقطه نظر اتصال مینا به زیرپایه رضایت‌بخش بود، اما از نظر ظاهری چندان مطلوب نبود. این نقص احتمالاً ناشی از افزایش گرانروی مینا با افزودن اکسید کروم به آن بوده است که مانع از خروج کامل حباب‌های هوای محبوس شده گردیده است. برای بهبود ظاهر نمونه، ابتدا مدت زمان توقف در پیک دمایی پخت تا ۲ دقیقه افزایش یافت، اما این مدت نگهداری کافی نبود و به‌این ترتیب، زمان توقف افزایش یافت. نتیجه‌ی پخت به مدت ۱۰ دقیقه در دمای C 800 هم رضایت‌بخش نبود. بنابراین، در مرحله‌ی بعدی، از افزایش دما به عنوان عامل کاهنده‌ی گرانروی استفاده شد. با توجه به افزایش نسبتاً سریع سیالیت مذاب با افزایش دما از C 800 به بعد و احتمال ریزش مینا، رفتار مذاب حین گرمایش درون کوره به‌طور پیوسته کنترل شد و در نهایت، دمای C 860 به عنوان دمای مناسب (بدون زمان توقف) در نظر گرفته شد. اما، با توجه به آنچه پیش‌تر در رابطه با دمای تاب‌کاری سیم نیکل-کروم گفته شد، می‌توان گفت که دمای C 860 دمای بالایی برای پخت می‌باشد. بنابراین، دمای پخت تا C 840 کاهش داده شد و این دما و زمان توقف در آن به میزان ۲ دقیقه، به عنوان شرایط پخت بهینه انتخاب شد. در رابطه با محیط سرمایش هم مشاهده شد که چگونگی سرمایش تأثیر چندانی بر اتصال مینا ندارد، اما با توجه به این که مقاومت‌ها پس از ساخت می‌باید تحت آزمون شوک حرارتی نیز قرار گیرند، احتمالاً سرمایش درون کوره به‌دلیل کاهش

شکل ۲ نمودار دیلاتومتری نمونه‌ی E_{6-3Cr}

شکل ۳ تغییرات نمونه‌ی E_{6-3Cr} از دمای محیط تا ذوب کامل در میکروسکوپ حرارتی؛ (الف) دمای محیط، (ب) شروع تفجوشی در ۵۵۰ °C، (پ) پایان تفجوشی در ۸۵۰ °C، (ت) شروع ذوب در ۱۴۰ °C، (ث) حداقل سطح تماس در ۷۰ °C، (ج) نیم کرده در ۷۸۴ °C، (چ) پایان ذوب (تبدیل به یکسوم کره) در ۸۵۰ °C

جدول ۷ دماهای مرجع و ثابت‌های محاسبه شده معادله VFT

ثابت‌های معادله VFT		دماهای مرجع (°C)			
B	A				
۱۲۲۱/۰	۱/۱	۳۷۸/۲	۷۸۴	۵۲۸/۷	۴۹۰/۶

شیشه‌ی بُروسیلیکات سرب (-3PbO-25B₂O₃-12SiO₂، بر حسب درصد وزنی)، منطقی به نظر می‌رسد [17]، زیرا مقدار سیلیسیس SiO₂ در مینا که افزایش دهنده‌ی گرانروی است، نسبت به شیشه افزایش یافته است و در مقابل، اکسید سرب و اکسید بور که کاهنده‌ی شدید گرانروی هستند، در مینا کاهش یافته است. افزون بر این، مینا حاوی مقادیر نسبتاً بالایی از اکسیدهای آلومینیم (۱۲ درصد وزنی) و کروم (۳ درصد وزنی) می‌باشد که می‌توانند گرانروی را باز هم

شکل (۴)، تغییرات گرانروی را با دما برای مینای E_{6-3Cr} و شیشه‌ی بُروسیلیکات سرب (PBS) که با استفاده از نتایج استخراج شده از مرجع [17] رسم شده است، نشان می‌دهد. همان‌گونه که مشاهده می‌شود، نمودارهای گرانروی این دو ماده شبیه به یکدیگرند، با این تفاوت که نمودار مربوط به مینا نسبت به شیشه به دماهای بالاتر انتقال یافته است. این انتقال به آن معناست که در یک دمای خاص، گرانروی مینا بیش از شیشه است. این اختلاف با توجه به ترکیب شیمیایی

کشش سطحی و زاویه‌ی تماس. برای محاسبه‌ی کشش سطحی، می‌توان از رابطه‌ی (۶) استفاده کرد که حاصل جمع کشش سطحی را بر حسب mN/m نشان می‌دهد [21]:

$$\gamma_g = \sum_{i=1}^n a_i \gamma_i \quad (6)$$

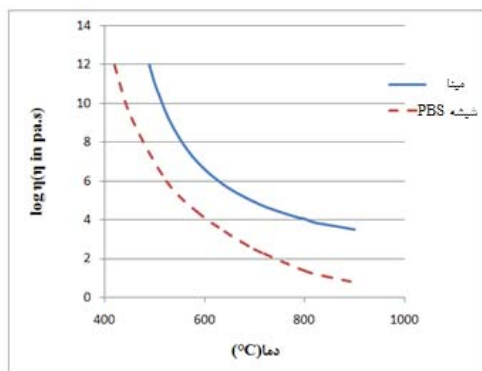
که در آن، a_1, a_2, a_3, \dots و a_n درصد وزنی اکسیدهای موجود در لعاب و $\gamma_1, \gamma_2, \dots$ و γ_n ضریب‌های کشش سطحی اکسیدها در دمای 900°C می‌باشدند. کشش سطحی در بقیه‌ی دماها (F_T), با استفاده از رابطه‌ی (۷) محاسبه می‌شود [21]:

$$\gamma_{GFT} = \gamma_{g900} - 0.04(F_T - 900) \quad (7)$$

که در آن، γ_{GFT} کشش سطحی در دمای دلخواه F_T می‌باشد. برای تعیین زاویه‌ی تماس بین نمونه‌ی $E_{6-3\text{Cr}}$ و پایه‌ی چینی، از تصویرهای تهیه شده با میکروسکوپ حرارتی استفاده شد (شکل‌های (۳) و (۵)).

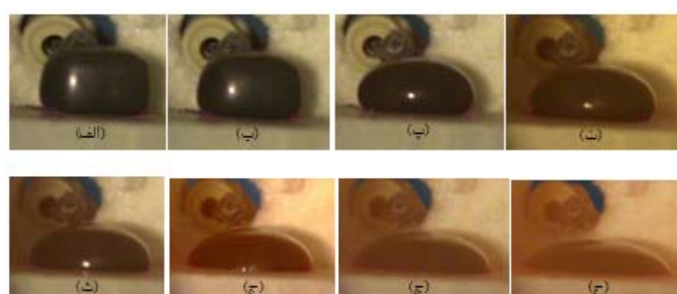
در شکل (۶)، تغییرات زاویه‌ی تماس (ترشوندگی) و کشش سطحی مذاب با دما نشان داده شده است. همان‌گونه که انتظار می‌رود، روند تغییرات کشش سطحی و زاویه‌ی تماس با دما عکس یک‌دیگرند. مشاهده می‌شود که کشش سطحی با افزایش دما به صورت خطی کاهش می‌یابد.

افزایش دهنده [۱۴]. با توجه به نتایج در شکل (۴)، گرانروی مینای مذاب در پیک دمایی پخت (840°C) $10^{3.781}$ Pa.s می‌باشد. گرانروی به دست آمده در این دما، در بازه‌ی گرانروی ایده‌آل برای مذاب‌ها در پیک دمایی پخت (یعنی 10^{3-4} Pa.s) [15] قرار دارد و تقریباً با گرانروی مناسب برای نقطه‌ی کاری (یعنی 10^3 Pa.s) برابر است [۲۰].

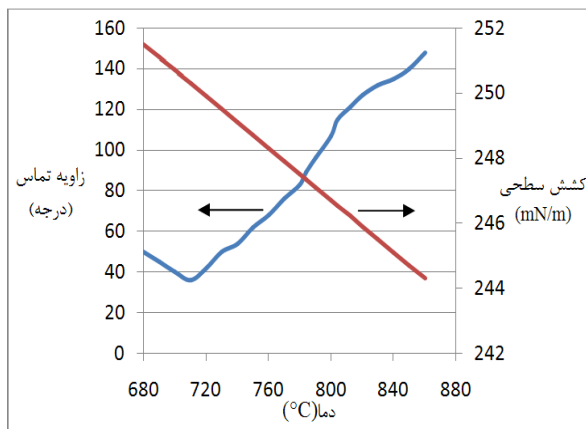


شکل ۴ تغییرات گرانروی نمونه‌ی $E_{6-3\text{Cr}}$ با دما در مقایسه با شیشه‌ی بُروسیلیکات سرب

دماهای نرم‌شوندگی و ذوب به دست آمده نشان می‌دهند که مینا دارای محدوده دمایی پخت وسیعی است ($840-860^{\circ}\text{C}$). این برای مینا یک مزیت به حساب می‌آید، زیرا امکان پخت آن در یک محدوده دمایی وسیع، بدون ایجاد عیب، فراهم می‌شود [۱۴].



شکل ۵ تصویرهای میکروسکوپ حرارتی از نمونه‌ی $E_{6-3\text{Cr}}$ ذوب شده بر روی پایه‌ی چینی برای تعیین زاویه‌ی تماس؛ (الف) 780°C ، (ب) 800°C ، (ث) 820°C ، (ج) 840°C ، (د) 860°C ، (ه) 880°C ، (ز) 900°C و (ب) 920°C



شکل ۶ تغییرات زاویه‌ی تماس و کشش سطحی مربوط به مینای E_{6-3C} با دما

می‌یابند. در این مرحله از فرایند، نیروهای تماسی فصل مشترک مینا-زیرپایه افزایش می‌یابند. زاویه‌ی تماس بین مینا و زیرپایه به دلیل ترشوندگی افزایش می‌یابد، تا این‌که زاویه‌ی تماس به 90° (نیم‌کره) برسد. هنگامی که دما از مقدار مربوط به حالت نیم‌کره فراتر می‌رود، زاویه‌ی تماس از 90° بیشتر می‌شود [16]. زاویه‌ی تماس با سطح در دمای 784°C تقریباً 90° می‌باشد که نشان‌دهنده‌ی حالت نیم‌کره است. پوشش در دمای پخت (840°C) کاملاً ذوب می‌شود و زاویه‌ی تماس نیز برابر با 135° می‌باشد که نشان‌دهنده‌ی ترشوندگی مناسب سطح توسط مذاب است. باید توجه کرد که زاویه‌ی تماس در نقطه‌ی ذوب به بیشترین مقدار خود می‌رسد و سطح را کاملاً می‌پوشاند. مقادیر کشش سطحی محاسبه شده با مقادیر اندازه‌گیری شده توسط شارتیسیس و همکاران در مورد شیشه‌های سیلیکات سربی اختلاف چندانی ندارند [19]. بالا بودن کشش سطحی را می‌توان به نوع ترکیب مینا مربوط دانست. به طور کلی، میناهایی که گران‌روی بالایی دارند از کشش سطحی بالایی نیز برخوردارند. با توجه به این‌که مینا دارای مقدار زیادی اکسید آلمینیم است و اکسید آلمینیم پس از اکسید منیزیم بالاترین ضریب دیتزل (Dietzel factor) کشش سطحی را دارد

نمودار تغییرات زاویه‌ی تماس با دما نشان می‌دهد که با افزایش دما در محدوده دمایی 780°C تا 710°C (از نقطه‌ی نرم‌شوندگی تا دمایی که نمونه کروی شکل می‌شود)، زاویه‌ی تماس کاهش می‌یابد و در دمای 710°C به کمترین مقدار خود (۳۶ درجه) می‌رسد. در واقع در این حالت، سطح تر نمی‌شود. دلیل این پدیده آن است که مینا در طول فرایند ذوب شدن، فازی از جنس ماده‌ی مرکب تشکیل می‌دهد که مخلوطی از جامد و مایع است. هنگامی که فاز مذاب ظاهر می‌شود، انقباض (گرد شدگی) کمی را می‌توان در ناحیه‌ی تماس بین مینا و زیرپایه مشاهده کرد (شکل ۳-۳). با افزایش دما در مرحله‌ی اولیه‌ی ذوب شدن (از شروع نرم‌شدن تا رسیدن به حداقل زاویه‌ی تماس)، زاویه‌ی تماس بین مینا و زیرپایه کاهش می‌یابد و شکل نمونه به سمت کروی پیش می‌رود. بیشترین میزان کروی شدن زمانی است که زاویه‌ی تماس به کمترین مقدار خود می‌رسد. در این دما، مقدار مذاب ایجاد شده که به نیروهای فصل مشترک داخلی جامد-مایع واپس است، به اندازه‌ای است که می‌تواند بیشترین همبستگی را در نمونه ایجاد کند. با افزایش بیشتر دما که با افزایش مقدار مذاب و کاهش گران‌روی همراه است، نیروهای فصل مشترک داخلی کمتر می‌شود و در نتیجه، نیروهای همبستگی کاهش

مینای E_6 حاوی ۳ درصد وزنی اکسید کروم دارای خواص مناسب است. نتایج نشان دادند که شرایط پخت برای مینای انتخاب شده، توقف به مدت ۲ دقیقه در دمای 840°C می‌باشد. بررسی رفتار ذوب پوشش با استفاده از میکروسکوپ حرارتی و کاربرد معادله‌ی VFT^{۳۷۸۱}، گرانروی مینا در دمای پخت را برابر با 10 Pa.s تعیین کرد که در محدوده‌ی گرانروی ایده‌آل برای میناهای در دمای پخت قرار دارد. کشش سطحی مینای مذاب $245/1 \text{ mN/m}$ و زاویه‌ی تماس با سطح 135° بود که ترشوندگی مناسبی را می‌توانند ایجاد کنند.

و نیز، با توجه به حضور اکسید کروم با تأثیری مشابه با اکسید آلمینیم در افزایش کشش سطحی، این رفتار منطقی به نظر می‌رسد. البته با وجود بالا بودن کشش سطحی مینا، مشاهده می‌شود که ترکتندگی مینا قابل‌توجه است. از سوی دیگر، بالا بودن کشش سطحی می‌تواند میزان تبخیر و فراریت اجزای مینا را کاهش دهد [۱۹].

نتیجه‌گیری

در پژوهش حاضر، پس از بررسی پوشش‌های مختلف، پوشش مناسب بر اساس دمای پخت و اتصال به زیرپایه انتخاب شد. نتایج تحقیق نشان دادند که

مراجع

1. Marbaker, E., "Coatings for Wire-Wound Resistors", Am. Ceram. Soc, Vol. 28, pp. 329-342, (1945).
2. Jones, D., "Navy electricity and electronics training", naval education and training professional development and technology center, Washington, D.C., (1998).
3. Hailing, J., "Power wire-wound resistors", electronics and power, Vol. 29, pp. 244-245, (1983).
4. Hubertus, J., deceased, J., "wire-wound resistor", US patent NO.4406994, (1983).
5. Deyrup, A. J., "Enamels for resistors", US patent NO.2425032, (1944).
6. Costa, U., Electrical resistor with a polycrystalline ceramic cover and process for Manufacture, US patent NO. 3919682, (1975).
7. ASM Handbook. Vol. 2, "Properties and selection: nonferrous alloys and special-purpose materials", pp. 822-839, (2000).
8. Hong, F., Holland, D., "Studies of interface reactions between glass ceramic coatings and metals", Non-crystalline solids, Vol. 112, pp. 357-363, (1989).
9. Grunling, H., Schneider, K., "Coating in industrial gas turbines: experience and further requirements", thin solid films, Vol. 184, pp. 1-15, (1981).
10. Hong, F., Holland, D., "Bonding glass ceramics to high temperature alloys, surface and coating technology", Vol. 39, pp. 19-27, (1989).
11. Goodman, G., "Porcelain enamel", US patent NO. 2481474, (1949).
12. Cahill, R., "Process for wire-wound resistor", US patent NO.2994945, (1957).
13. Zubekhin, A., Manysheva, E. and Ochkurova, L., "technological species of devitrified composite heat-resistant coatings for nichrome alloys", glass and ceramics, Vol. 57, pp. 30-33, (2000).

۱۴. میر محمد عباسیان، "صنعت لعاب سازی و رنگ های آن"، انتشارات گوتنبرگ، صفحه ۶۶-۶۴ (۱۳۷۹).
15. Ahmed, M., Earl, D., "Characterizing glaze-melting behavior via HSM", Am. Ceram. Soc. Bull, Vol. 81, pp. 47-51, (2002).
16. Dumitache, R., "melting behavior of feldspar porcelain glazes", U.P.B. Sci. Bull, Vol. 68, pp. 3-16, (2006).
17. Prabhu, A., Gary, L. and Vest, R., "viscosity and surface tension of a molten lead borosilicate glass", Am. Ceram. Soc, Vol. 58, pp. 144-145, (1975).
18. Fujino, S., Hwang, C. and Morinaga, Kenji., "density, surface tension and viscosity of PbO-B₂O₃-SiO₂ glass melts", Am. Ceram. Soc, Vol. 187, pp. 10-16, (2004).
19. Shartsiss, L., Spinner, S. and Smock, A., "Surface Tension of Compositions in the Systems PbO-B₂O₃ and PbO-SiO₂", Am. Ceram. Soc, Vol. 31, pp. 23-27, (1948).
۲۰. واهاک مارقوسیان، "شیشه: ساختار، خواص و کاربرد"، انتشارات دانشگاه علم و صنعت ایران، چاپ دوم، صفحه ۲۲۵-۲۱۸ (۱۳۸۶).
21. Dietzel, A., "Emaillierung Wissenschaftliche Grundlagen and Grundzuge der Technologie", Springer Verlag., Berlin, pp. 352-358, (1981).

اتصال اسفنج آلومینیمی به ورق آلومینیمی در سازه‌های ساندویچی *

آروین تقی‌زاده تبریزی^(۱) مازیار آزادبه^(۲)

چکیده

سازه‌های ساندویچی به دلیل سخت‌پایی ویژه و استحکام بالا، خواص جذب صدا، عایق حرارتی و جذب انرژی ضربه‌ای بهتری نسبت به سازه‌های دیگر، به میزان گستردگی کاربرد دارند. در روش‌های متدائل تولید صفحه‌ی ساندویچی، از چسب برای اتصال ورق و اسفنج استفاده می‌شود. در تحقیق حاضر، به منظور اتصال دهی نفوذی اسفنج فلزی به ورق، از روش تف‌جوشی فاز مایع با استفاده از مخلوط پودری آلومینیم و روی استفاده شنده است. اتصال دهی در دمای 610°C و به مدت زمان 30 دقیقه انجام شد. استحکام برشی اتصال، در حدود 4.8 kPa به دست آمد.

واژه‌های کلیدی سازه‌های ساندویچی، تف‌جوشی فاز مایع، اسفنج فلزی.

Joining Aluminum foam to aluminum plate in sandwich structures

A. Taghizadeh Tabrizi

M. Azadbeh

Abstract

Structural sandwich beams are widely used because of their high specific stiffness and strength, noise reduction, thermal insulation and impact energy absorption characteristics. Conventional manufacturing method of composite sandwich structures is completed by a separate adhesive joining stage by which the composite faces are joined to the core. In this investigation, liquid phase sintering in the Al-Zn alloy system was used in order to form a diffusion bond between metallic foam and plate. Joining treatment was conducted at 610°C for 30 minutes in an inert atmosphere. The shear strength of the joint was measured to be about 4.8 kPa .

Key Word Structural sandwich, Liquid phase sintering, Metallic foam.

* نسخه‌ی نخست مقاله در تاریخ ۹۲/۸/۱۱ و نسخه‌ی پایانی آن در تاریخ ۹۳/۳/۲۴ به دفتر نشریه رسیده است.

(۱) نویسنده مسئول: کارشناسی ارشد مهندسی مواد، دانشکده مواد، دانشگاه صنعتی سهند تبریز.

(۲) دانشیار دانشکده مواد، دانشگاه صنعتی سهند تبریز.

ناهم خوانی این مواد با کاربردهایی است که در آن‌ها از گرما استفاده می‌شود. برای مثال، برای اتصال صفحه‌های ساندویچی تولید شده با این روش به یکدیگر نمی‌توان از روش‌های جوش‌کاری و یا لحیم‌کاری بهدلیل گرمای زیاد ایجاد شده، استفاده کرد. برای اتصال آن‌ها به سازه‌های مختلف، باید از روش‌های مکانیکی مانند پیچ و مهره کردن، پرچ‌کاری و یا اعمال چسب استفاده کرد.

متداول‌ترین روش اتصال‌دهی اسفنج به ورق در صفحه‌های ساندویچی، استفاده از چسب است. بهدلیل استحکام کم اتصال اسفنج به ورق در این روش در دماهای بالا، استفاده از این صفحه‌های ساندویچی با محدودیت‌هایی همراه است. برای بهبود استحکام اتصال، از پودر فلزی برای ایجاد اتصال به روش تف‌جوشی فاز مایع استفاده می‌شود.

فرایند تف‌جوشی در حضور فاز مایع شامل شکل‌گیری فاز مایع به‌منظور کاهش دمای تف‌جوشی است. در حین انجام تف‌جوشی در حضور فاز مایع، یک فاز مایع در کنار ذرات جامد قرار می‌گیرد. در مجموعه‌های دو فازی شامل پودرهای مخلوط، تشکیل فازی با نقطه‌ی ذوب پایین امکان‌پذیر است. در چنین مجموعه‌ای، مذاب می‌تواند باعث انتقال سریع و در نتیجه، بهبود تف‌جوشی شود. نخستین نیاز در این حالت، ترکنندگی است. مذاب باید یک لایه‌ی نازک دور فاز جامد تشکیل دهد. کوچک بودن زاویه‌ی تماس، نشانه‌ی این است که مایع در سطح جامد پخش شده است. جامد باید در مایع محلول باشد. نهایتاً این‌که انتقال نفوذی اتم‌های حل شده‌ی جامد باید به حد کافی باشد تا بهبود تف‌جوشی را تضمین کند. در تف‌جوشی فاز مایع، مذاب به‌محض تشکیل جاری می‌شود و دانه‌ها را تر می‌کند. با ادامه‌ی عمل گرمایش، فاز جامد در مذاب حل می‌شود و پس از آن، فلز مایع به عنوان حاملی برای اتم‌های فاز جامد در فرایندی موسوم به حل کردن و تهشیینی مجدد عمل می‌کند که در آن، دانه‌های جامد ریز در مایع حل می‌شود و مجدداً بر روی سطح دانه‌های درشت رسوب می‌کند [11].

مقدمه

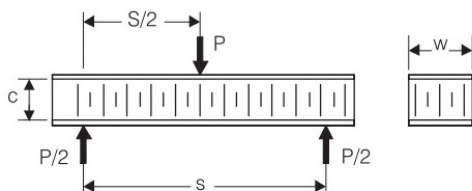
نسبت استحکام به وزن، یکی از عوامل اصلی در انتخاب سازه‌های مناسب برای کاربرد در زمینه‌های مختلف حمل و نقل شامل هوایی، زمینی و دریایی است. اسفنج‌های فلزی با وجود چگالی کمی که دارند، از استحکام نسبتاً خوبی برخوردارند و بهاین دلیل، در ساخت بسیاری از سازه‌ها استفاده شده‌اند و نتیجه‌ی قابل اطمینانی ارائه داده‌اند. ساختار سلولی و متفاوت اسفنج‌های فلزی، استفاده از روش‌های خاصی برای انجام عملیات برش‌کاری، جوش‌کاری، اتصال، پوشش و مانند آن را ایجاب می‌کند [1-3].

اگر لازم باشد تا از اسفنج‌های فلزی در صنایع مهندسی استفاده شود، باید روشی را برای اتصال آن‌ها به مواد مهندسی دیگر پیدا کرد. برخلاف سایر مواد مهندسی، اسفنج‌های فلزی قابل فشرده شدن به‌شكل مومسان را دارند. این خاصیت ویژه‌ی مواد اسفنجی، یک مزیت به‌شمار می‌آید و باعث می‌شود تا از چسب چوب، میخ و سایر روش‌های مشابه اتصال مکانیکی نیز بتوان استفاده کرد. برای اتصال اسفنج به ورق، از روش معمول برای اتصال موقّت و دائم استفاده می‌شود. از بین این روش‌ها، می‌توان به اتصال موقّت پیچ و مهره، پرچ و استفاده از چسب [4]، و روش‌های اتصال دائم مانند جوش‌کاری لیزری، لحیم‌کاری [5]، اتصال نفوذی [6]، و تف‌جوشی پلاسمایی [7] اشاره کرد. برای مثال، در جوش‌کاری گرمای زیاد موجود باعث ایجاد آسیب در ساختار سلولی در نتیجه‌ی ذوب شدن حین جوش‌کاری ذوبی و اعوجاج در جوش‌کاری نفوذی می‌شود. صفحه‌های ساندویچی آلومینیمی برای تولید انبوه در صنایعی هم‌چون صنعت خودرو مناسبند. در حال حاضر، این مواد سبک جایگاه ویژه‌ای را در بین کاربردهای صنعتی در مهندسی مکانیک و در زمینه‌ی خودروهای مسابقه پیدا کرده‌اند [8]. افزون بر این، تحقیقاتی در این زمینه با هدف تولید انبوه در حال انجام هستند [9]. تعریف ابتدایی موجود از صفحه‌های ساندویچی، استفاده از چند لایه در کنار یکدیگر و به‌کارگیری یک ماده‌ی چسب برای در کنار هم نگه‌داشتن این مواد می‌باشد [10]. این وضعیت باعث

آزمون، در شکل (۲) نشان داده شده است. محاسبات به کمک رابطه‌ی زیر انجام شدند:

$$\tau = \frac{P}{2cw} \quad (1)$$

که در آن، P نیروی اعمالی کل، c ضخامت هسته نمونه (بخش اسفنج) و w عرض نمونه است.



شکل ۲ طرح‌واره‌ای از آزمون خمش سه نقطه‌ای [12]

افزون بر این، پس از انجام حکاکی شیمیایی به وسیلهٔ محلول کلر، مطالعات میکروسکوپ الکترونی روبشی به منظور بررسی‌های ریزساختاری، انجام شد.

نتایج و بحث

پس از بررسی سطوح قطعات با چشم غیرمسلح (شکل (۳)، هیچ گونه عیی در اتصال و سلول‌های اسفنج آلومینیم مشاهده نشد. باریک‌شدگی ورق بالایی در عملیات اتصال‌دهی، در تصویرهای شکل (۳) قابل مشاهده است. علت وقوع این پدیده را می‌توان به اعمال فشار به منظور نگهداری نمونه‌ها بر روی هم در فرایند تفجوشی نسبت داد. این فشار برای شکستن لایه‌های اکسیدی پایدار بر روی ذرات پودر آلومینیم در تفجوشی آلومینیم وارد می‌شود.



شکل ۳ تصویری درشت از نمونه‌ی اتصال داده شده

نمودار فازی آلومینیم- روی در شکل (۴)،

در این تحقیق، امکان اتصال‌دهی اسفنج آلومینیمی به ورق آلومینیم به روش تفجوشی فاز مایع و با استفاده از مخلوط پودرهای آلومینیم و روی برای بهبود اتصال نفوذی و افزایش استحکام اتصال، بررسی شده است.

مواد و روش‌های آزمایش

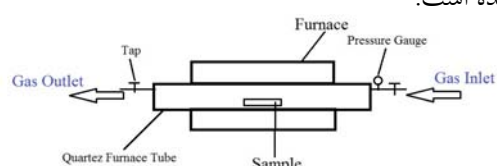
در این تحقیق، از اسفنج آلومینیم- سیلیسیم تولید شده به روش ریخته‌گری در کارخانه‌ی نت اسفنج مشهد استفاده شده است. ابتدا اسفنج‌ها در ابعاد $50 \times 25 \times 10$ میلی‌متر با استفاده از دستگاه برشی سیمی (وایرکات) بریده شد. ورق‌های آلومینیم تجاری به ابعاد $50 \times 25 \times 1$ میلی‌متر آماده شدند. عملیات آماده‌سازی سطحی برای از بین بردن اکسیدهای سطحی در آلومینیم بر روی سطوح اتصال، به ترتیب زیر انجام شد:

- ۱- سنباده‌زنی سطوح اتصال اسفنج آلومینیمی با مش

۸۰.

- ۲- از بین بردن اکسیدهای سطحی در ورق‌های آلومینیمی با استفاده از برس سیمی.
- ۳- شستشوی سطحی با آسیتون به روش فراصوتی به مدت زمان ۱۰ دقیقه.
- ۴- خشک کردن قطعات در خشک‌کن به مدت زمان ۱۰ دقیقه.

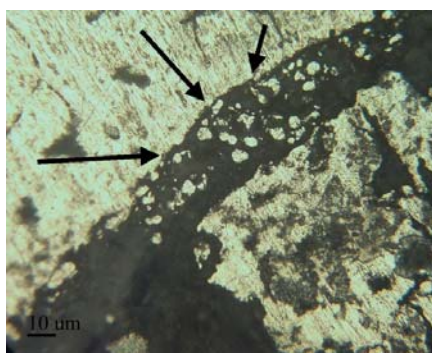
در مرحله‌ی بعد، مخلوط پودر آلومینیم- $5/5$ درصد وزنی روی که در محلول آسیتون به صورت سوسپانسیون آماده شده بود، بر روی سطوح اتصال ریخته شد. عملیات تفجوشی در محیط گاز نیتروژن در دمای 610°C به مدت زمان ۳۰ دقیقه انجام شد. طرح‌واره‌ای از فرایند اتصال‌دهی، در شکل (۱) آورده شده است.



شکل ۱ طرح‌واره‌ای از فرایند اتصال‌دهی

برای تعیین استحکام برشی اتصال، از آزمون خمش سه نقطه‌ای استفاده شد. طرح‌واره‌ای از این

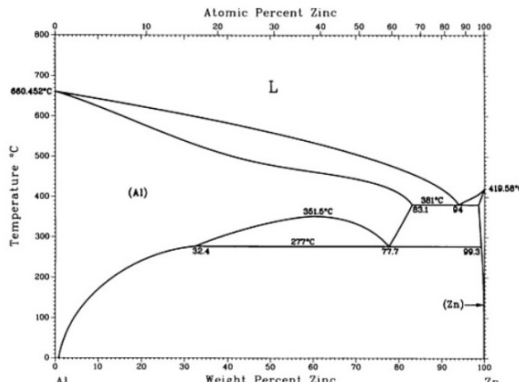
(۶) نشان داده شده‌اند. در این تصویرها، نواحی مختلف سازه‌ی ساندویچی مشخص شده‌اند. سه ریزساختار متفاوت در ناحیه‌ی اتصال قابل تشخیص است. این نواحی به ترتیب مربوط به اسفنج آلومینیمی سلول بسته، ناحیه‌ی اسفنجی سلول باز تشکیل شده توسط پودر میان لایه‌ای و ورق آلومینیمی هستند. در مناطقی که با پیکان مشخص شده‌اند، هیچ مرزی دیده نمی‌شود که این نشان‌دهنده‌ی برقراری اتصال متالورژیکی بین اسفنج و ورق می‌باشد.



شکل ۵ ناحیه‌ی اسنجی تشکیل یافته در فصل مشترک اتصال

تصویرهای میکروسکوپ الکترونی رویشی، در شکل (۷) ارائه شده‌اند. این تصویرها نشان می‌دهند که فاز مایع فوق الذکر تشکیل شده است و انجام آن سریع بوده است. این مقدار فاز مایع، باعث بهبود و تسريع نفوذ به کمک نیروی موینگی ایجاد شده توسط سلول‌های اسفنج آلومینیمی در فصل مشترک اتصال شده است. این هم راستایی نیروی موینگی و نیروی جاذبه، در تصویر میکروسکوپ الکترونی رویشی به شکل کشیدگی‌ها و برجستگی‌هایی مشخص است. این کشیدگی باعث شده است تا فاز مایع به درون سلول‌های اسفنج آلومینیومی راه بیابد و امکان نفوذ ذرات روی را در اسفنج فراهم کند. افزون بر این، در تف‌جوشی فاز مایع، مذاب در محل‌های حضور ذرات افزودنی به وجود می‌آید. این مذاب تشکیل شده، ذرات پودری آلومینیم را احاطه می‌کند. در شکل (۷)، ذرات آلومینیم که به صورت جزیره‌هایی توسط فاز مایع احاطه شده‌اند، قیاب مشاهده‌اند.

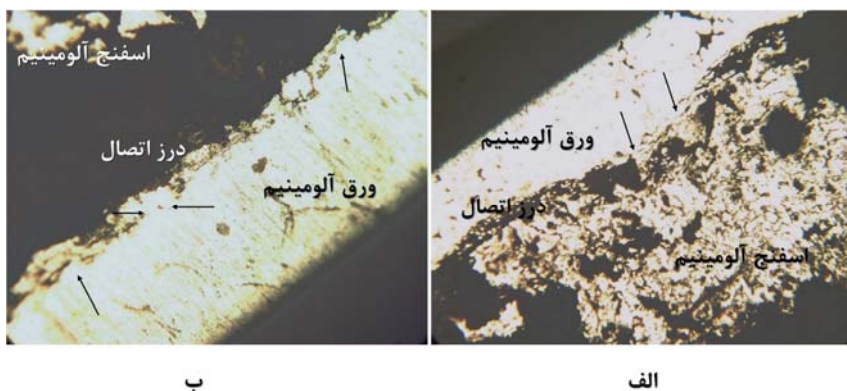
نشان دهنده‌ی ویژگی‌های یک سیستم ایده‌آل برای تفجوشی فاز مایع است. این ویژگی‌ها، نقطه‌ی ذوب پایین فلز خالص روی، عدم تشکیل فاز میانی و حلایت کامل در حالت مایع می‌باشند. با این حال، حلایت در حالت جامد غیرایده‌آل است. در دمای ۳۸۱ °C، حلایت بیشینه‌ی روی در آلومینیم در حالت جامد برابر با ۸۳/۱ درصد و برای آلومینیم در روی برابر با ۱۰/۲ درصد می‌باشد. بنابراین، فاز مایع تشکیل شده در دستگاه آلیاژی آلومینیم-روی، شدیداً گذراست. این فاز مایع، مربوط به فاز $\text{Al}_{0.7}\text{Zn}_{0.29}$ در دمای ۴۳۷ °C می‌باشد، ضمن آن‌که فرایند ذوب شدن روی در دمای ۴۲۰ °C رخ می‌دهد.



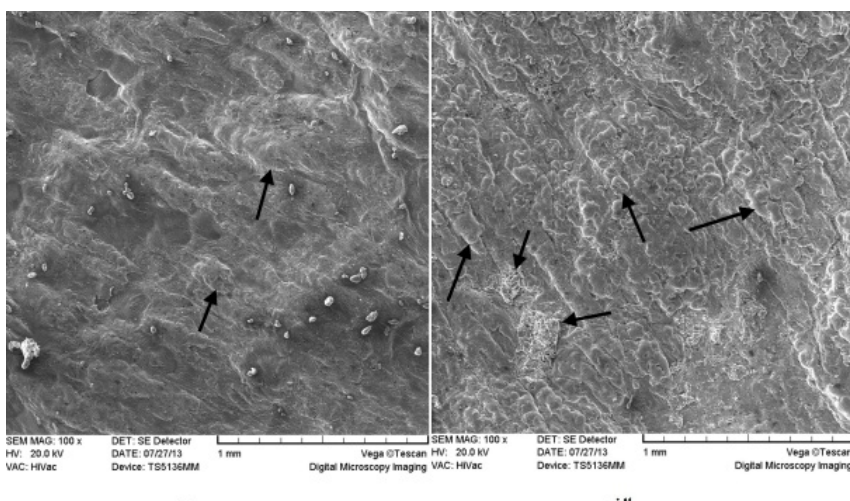
شکل ۴ نمودار فازی آلومینیم- روی [13]

همان گونه که در شکل (۵) مشاهده می‌شود، در طول عملیات اتصال دهی و تفجوشی فاز مایع، یک ناحیه‌ی باریک از اسفتح در فصل مشترک اتصال ایجاد می‌شود که بر اساس نتایج آزمون خمن، باعث تقویت و بهبود خواص اتصال می‌شود. این ناحیه در شکل (۵) که با میکروسکوپ نوری تهییه شده است، مشاهده می‌شود. افزون بر این، فشار بخار بالای فلز روی باعث ایجاد تخلخل اضافی در فصل مشترک می‌شود و این خود باعث ایجاد یک ناحیه‌ی اسفتحی در فصل مشترک و جلوگیری از بروز تغییرات ناگهانی ریزاساختاری در این ناحیه می‌شود. این جزئیات، در فصل مشترک شکل (۵) قابل مشاهده‌اند.

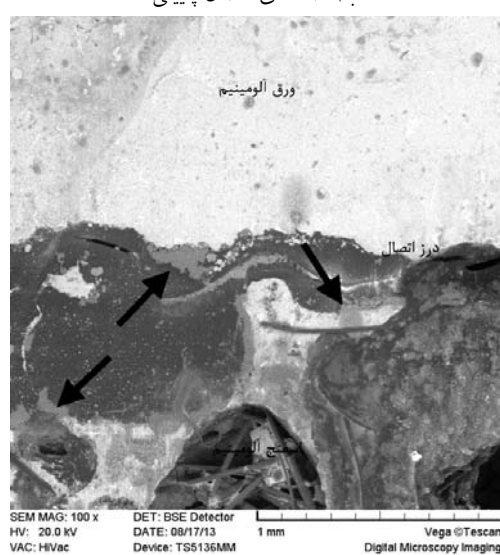
تصویرهای میکروسکوپی مربوط به درز اتصال که تو سط محلول کلر حکاکی شمیاب شده‌اند، در شکل



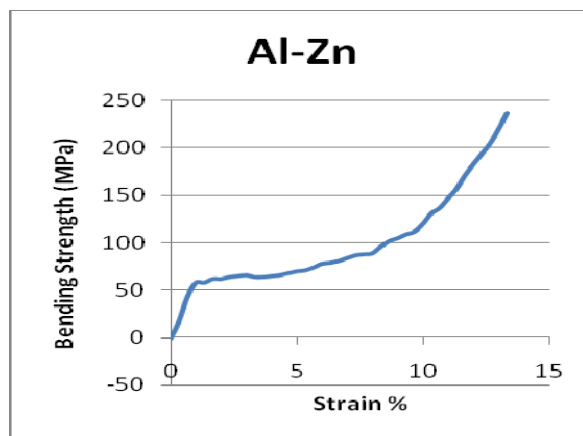
شکل ۶ تصویر میکروسکوپی از فصل مشترک اتصال؛ (الف) صفحه‌ی بالایی اتصال و (ب) صفحه‌ی پایینی اتصال



شکل ۷ تصویرهای میکروسکپ الکترونی رویشی از سطوح شکست صفحه‌های اتصال؛ (الف) صفحه‌ی اتصال بالایی و (ب) صفحه‌ی اتصال پائینی.



شکل ۸ آخال‌های اکسیدی نشان داده با پیکان، مانع از پخش شدن کامل فاز مایع شده‌اند.



شکل ۹ نمودار تنش-کرنش خمی نمونه‌ی آزمون

کشش قرار داشت، رخ داد.

نمودار تنش-کرنش خمی به دست آمده از آزمون، در شکل (۹) نشان داده شده است. در این نمودار، رفتار کشسان خطی در کرنش‌های پایین قابل مشاهده است. همان‌گونه که دیده می‌شود، این نمودار بسیار وسیع و هموار است. سطح زیر نمودار، نشان‌دهنده‌ی میزان انرژی در واحد حجم اولیه‌ی نمونه است و می‌تواند توسط جاذب انرژی جذب شود. استحکام خمی نهایی در نقطه‌ی شکست به دست آمده است و مقدار آن در حدود 240 MPa به ازای ازدیاد طول برابر با $13/5$ درصد می‌باشد. مطابق با رابطه‌ی (۱)، استحکام برشی اتصال در حدود $4/8 \text{ kPa}$ به دست آمد.

نتیجه‌گیری

صفحه‌ی ساندویچی با اسفنج آلمینیومی، با اتصال‌دهی اسفنج به ورق با استفاده از میان لایه‌ی پودری محلول آلمینیم-روی و تفجوشی فاز مایع در دمای 610°C به مدت زمان 30 دقیقه ساخته شد.

اگر چه هم راستایی نیروهای موینگی و جاذبه باعث افزایش احتمال نفوذ عنصر روی به درون اسفنج آلمینیومی در سطح اتصال شده است، ولی از بین نرفتن آحال اکسیدی درون سلول‌ها در عملیات آماده‌سازی سطحی که در شکل (۸) مشخص شده است، به عنوان سد عمل کرده و مانع از پخش کامل فاز مایع شده است. افزون بر این، نامهواری‌های سطحی در سطح اتصال اسفنج و فرورفتگی‌های مربوط به تخلخل موجود در اسفنج باعث ایجاد موانعی برای پخش شدن مداد در طول فصل مشترک اتصال می‌شوند.

هم راستایی نیروهای موینگی و گرانش در صفحه‌ی بالایی، باعث حضور میزان بیشتری از فاز مایع درون حفره‌های اسفنج آلمینیومی شده است و فرست بیشتری را برای نفوذ عناصر در این فصل مشترک و برقراری پیوند متالورژیکی ایجاد کرده است و در نتیجه، باعث افزایش استحکام سطح اتصال بالایی شده است. در آزمون خمی، هیچ شکستگی و از کارافتادگی در سطح بالایی تحت فشار دیده نشد و شکست در محل اتصال در ورق پایینی که تحت

تخلخل اضافی در فصل مشترک شد و این باعث ایجاد یک ناحیه‌ی اسفنجی در فصل مشترک و بیش‌تر شدن بخش قومی (اسفنجی) و جلوگیری از تغییرات ناگهانی ریزساختاری در این ناحیه شد. به این وسیله، خواص مکانیکی اتصال بهبود یافت.

استحکام خمشی برابر با 240 MPa در نقطه‌ی شکست و استحکام برشی به میزان $4/8 \text{ kPa}$ (محاسبه شده) به دست آمد. به علت وجود فاز مایع گذرا و همسویی نیروهای مویینگی و گرانش در سطح بالای اتصال، هیچ شکستگی و از کارافتادگی در این سطح دیده نشد. افزون بر این، فشار بخار بالای فلز روی باعث ایجاد

مراجع

۱. م. دیواندری، ع. وحید گلپایگانی، ح.ر. شاهوردی، "فوم‌های فلزی"، مرکز انتشارات دانشگاه علم و صنعت ایران، (۱۳۸۹).
۲. س.م. زبرجد، ح. خدیوی آیسک، ن. سasanی، ا. ظهور وحید کریمی، "مقدمه‌ای بر مواد پیش‌رفته"، موسسه چاپ و انتشارات دانشگاه فردوسی مشهد، (۱۳۸۹).
3. Hans-Peter Degischer, Brigitte Kriszt, "Handbook of Cellular Metals, Production, Processing, Applications", Wiley-VCH, (2002).
4. O. B. Oluran, N. A. Fleck, M. F. Ashby, "Joining of aluminum Foams with fasteners and adhesives", *Journal of Material Science*, 35, pp. 1079-1085, (2000).
5. Yongxian Huang, Jing Gong, Shixiong Lv, Jinsong Leng, Yao Li, "Fluxless soldering with surface abrasion for joining metal foams", *Materials Science and Engineering A*, (2012).
6. K. Kitazono, A. Kitajima, E. Sato, J. Matsushita, K. Kurabayashi, "Solid state diffusion bonding of closed cell aluminum foams", *Materials Science and Engineering A*, 327, pp. 128-132, (2002) .
7. Young Ho Ko, Se Hun Chung, Ik Hyun Oh, Jae Ik Cho, Chang Seog Kang, "Joining of Aluminum Foam/Aluminum Metal by Spark Plasma Sintering", *Advanced Materials Research*, 8, pp. 1394-1352, (2007).
8. E. Bozhevolnaya, A. Lyckegaard, O.T. Thomsen, "Novel design of foam core junctions in sandwich panels", *Composites: Part B*, 39, pp. 185-190, (2008).
9. Dirk Schwingel, Hans-Wolfgang Seelinger, Claude Vecchionacci, Detlef Alwes, Jurgen Dittrich, "Aluminum foam sandwich structures for space application", *Acta Astronautica*, 61, pp. 326-330, (2007).
10. Chang Sup Lee, Dai Gil Lee, Je Hoon Oh, "Co-cure binding method for foam core composite sandwich manufacturing", *Composite Structures*, 66, pp. 231-238, (2004).
11. Randall M. German, *Liquid Phase Sintering*, Plenum Press, 1-2, (1985).
12. Mechanical Testing of Sandwich Panels, Technical Notes, Hexcel Composites, Publication LTU035b, (2007).

13. Alloy Phase Diagrams, ASM Handbook, Vol. 3, ASM International, Materials Park, OH, (1992).

ریزساختار و خواص مکانیکی یک فولاد پرکربن و کم آلیاژ فراوری شده با فرایند سرمایش سریع و بخش‌بندی*

عبدال... شیرعلی^(۱)عباس هنربخش رئوف^(۲)سهیلا بزار بنایی^(۳)

چکیده

فرایند سرمایش سریع و بخش‌بندی (Q&P)، یک عملیات حرارتی جدید برای تولید نسل سوم از فولادهای پیشرفته‌ی استحکام بالا و بر اساس نفوذ کربن از فاز مارتنتیت به فاز آستنیت باقی‌مانده است. به کارگیری این فرایند برای فولادهای مختلف، منجر به ایجاد ترکیب جالب توجهی از خواص مکانیکی شامل استحکام بالا همراه با انعطاف‌پذیری خوب می‌شود. استفاده از این فرایند در صنعت خودرو باعث عمل کرد مکانیکی بهتر، امنیت بالاتر و کاهش وزن و هزینه‌های تولید می‌شود. در این تحقیق، یک فولاد پرکربن کم آلیاژ با این فرایند عملیات حرارتی شد و ریزساختار و خواص مکانیکی آن بررسی شد. نتایج نشان دادند که ریزساختار فولاد سریع سرد و بخش‌بندی شده، شامل آستنیت پایدار شده‌ی غنی از کربن و مارتنتیت تخلیه شده از کربن است که با هم باعث افزایش استحکام فولاد به‌ازای انعطاف‌پذیری قابل قبول می‌شود. انجام فرایند سرمایش سریع و بخش‌بندی، باعث افزایش کسر فاز آستنیت باقی‌مانده و افزایش سختی فولاد شد. فرایند شکست در نمونه‌ی تولیدی به این روش، از نوع شکست ترد و سطح شکست به شکل شبکه کلیوژر بود.

واژه‌های کلیدی سرمایش سریع (کوئنچ)، بخش‌بندی، آستنیت باقی‌مانده، مارتنتیت.

Microstructure and Mechanical Properties of a Low Alloy High Carbon Steel Processed by Quenching and Partitioning Process

A. Shirali A. H. Raouf S. B. Bonabi

Abstract

The quenching and partitioning (Q&P) process is a new heat treatment cycle to produce the third generation of advanced high strength steels based on diffusion of carbon from martensite to retained austenite phase. The application of this process for various steels leads to a remarkable combination of mechanical properties including high strength and good ductility. Using this process in automotive industry causes better mechanical performance, greater car safety, weight saving and cost reduction. In this study, a low alloy high carbon steel has been subjected to Q&P process and its microstructure and mechanical properties have been investigated. The results showed that the microstructure of the quenched and partitioned steel contains carbon-enriched stabilized austenite and carbon-depleted martensite resulting in increasing the strength of steel with an acceptable ductility. Conducting Q&P heat treatment caused the retained austenite content and the hardness of steel to increase. Fracture in specimens treated by Q&P process was of brittle type and their fracture surface was considered to be quasi-cleavage.

Key Word Quenching, Partitioning, Retained Austenite, Martensite.

* نسخه‌ی نخست مقاله در تاریخ ۹۲/۸/۱۶ و نسخه‌ی پایانی آن در تاریخ ۹۳/۳/۲۵ به دفتر نشریه رسیده است.

(۱) دانشجویی کارشناسی ارشد، دانشکده مهندسی مواد و متالورژی، دانشگاه سمنان.

(۲) دانشیار دانشکده مهندسی مواد و متالورژی، دانشگاه سمنان.

(۳) عضو هیأت علمی دانشکده مهندسی مواد و متالورژی، دانشگاه سمنان.

آلیاژی کم تر و قیمت پایین تر، ویژگی های مهم این فولادها می باشند [4-1]. اسپیر و همکاران در سال ۲۰۰۳، یک فرایند عملیات حرارتی جدید را مبنی بر نفوذ کرین از مارتنتزیت به آستنیت باقیمانده تعریف کردند و فرایند را "سرماش سریع و بخش بندی" (Quenching and Partitioning, Q&P) نام گذاری کردند تا از فولادهای سریع سرد شده و باز پخت شده (Quenching and Tempering, Q&T) متمایز باشند [5]. به این ترتیب، فولادهای Q&P از جمله فولادهای نسل سوم می باشند. در فرایند Q&P، کترل کامل کسر مارتنتزیت (فاز قوی) و غنی شدن کرین در آستنیت امکان پذیر است. این ویژگی، فولادهای Q&P را از سایر فولادهای پیشرفته استحکام بالا متمایز می کند [6,7].

فرایندهای سرماش سریع و بخش بندی شامل چهار مرحله است: ۱- آستنیتی کردن کامل یا جزئی، ۲- سرماش سریع تا زیر دمای شروع استحاله مارتنتزیت (M_s) و بالای دمای پایان استحاله مارتنتزیت (M_f)، ۳- بخش بندی بعدی در دمای سرماش سریع (عملیات تک مرحله ای) یا بالای دمای M_s (عملیات دو مرحله ای) و ۴- سرماش سریع تا دمای محیط. به این ترتیب، ریز ساختار نهایی فولاد شامل فریت (در مورد آستنیتی کردن جزئی)، مارتنتزیت و آستنیت باقیمانده خواهد بود [8,9].

مُرفولوژی فازها در ریز ساختار به دست آمده از فرایند Q&P، تحت تأثیر متغیرهای عملیات حرارتی و ریز ساختار اولیه فولاد پیش از فراوری است. بنابراین، استفاده از ریز ساختارهای اولیه متفاوت پیش از فرایند Q&P، به خصوص فرایندی که با آستنیتی کردن جزئی شروع می شود، می تواند توزیع متفاوتی از مُرفولوژی فازها را ایجاد کند که منجر به ایجاد ترکیب جالب توجهی از خواص مکانیکی شود [10].

ملزومات فرایند Q&P نشان می دهد که آلیاژهایی با ترکیب شیمیایی شبیه به فولادهای متداول TRIP برای این نوع عملیات حرارتی مناسبند [11]. اما،

مقدمه

در صنعت خودرو، نیاز به کاهش هزینه، پایین آوردن وزن، صرفه جویی سوت، عمل کرد مکانیکی بهتر و امنیت بالاتر در پاسخ به ملاحظات اقتصادی و زیست محیطی، باعث توسعه ای انواع فولادهای جدید اصلاح شده و اعمال روش های پیشرفته ای عملیات حرارتی برای اصلاح شده است.

در چند سال گذشته، فولادهای پیشرفته ای استحکام بالا (AHSS) برای رسیدن به ترکیب بهتری از استحکام (Steels) از این فولادها به سه نسل طبقه بندی می شوند. نسل اوّل، شامل فولادهای مارتنتزیتی و فولادهای پایه فریتی شامل (فولادهای دوفازی، با رفتار موم سانی Transformation-Induced Plasticity (TRIP) و چند فازی) می باشند. اگرچه استحکام فولادهای نسل اوّل بسیار بیشتر از فولادهای متداول استحکام بالا بود، اما انعطاف پذیری محدود آنها مشکل بزرگی بود. نسل دوم، فولادهای بر پایه ای ریز ساختار آستنیتی و شامل محصولات پرآلیاژتر است. فولاد با رفتار موم سانی حاصل از دوقلویی (TWIP)، فولاد سبک وزن با Rupture Induced Plasticity (L-IP) و فولاد با رفتار موم سانی حاصل از تشکیل باند بر پایه ای (SIP)، انواع متفاوت فولاد در این نسل هستند. در این فولادها، زمینه ای آستنیتی نرم، شکل پذیری بهتری را نسبت به فولادهای نسل اوّل فراهم می کند. اگرچه میزان زیاد عناصر پایدار کننده ای فاز آستنیت (مثلًا ۲۰ درصد وزنی منگنز و نیکل)، استفاده از این فولادها را به دلیل قیمت بالا و چالش های فراوری مرتبط با آن، محدود می کند. نسل سوم، فولادهایی با ترکیب بهتری از استحکام و انعطاف پذیری نسبت به فولادهای نسل اوّل و قیمت پایین تر نسبت به فولادهای نسل دوم هستند. عناصر

افزون بر مطالب گفته شده، فولاد فراوری شده با عملیات Q&P می‌باید دارای کربن بالا برای مرحله‌ی بخش‌بندی و پایدارسازی حرارتی آستینیت باقی‌مانده در دمای اتاق باشد، زیرا کربن بالاتر منجر به پایداری بهتر آستینیت باقی‌مانده نهایی در طول سرد کردن تا دمای اتاق می‌شود. در مورد صفحه‌ها، وجود توازنی بین مقدار کربن و قابلیت جوشکاری فولاد مورد نیاز است. البته، در فولادهای کم کربن نسبت به فولادهای پرکربن، رسوب کاربید کمتر و قابلیت جوشکاری بهتر است [14,15]. از جمله مزیت‌های فرایند Q&P، استحکام بالا و چقرمگی ضربه‌ی بالا در مقایسه با سایر روش‌های عملیات حرارتی می‌باشد که به‌دلیل حضور آستینیت باقی‌مانده در غیاب سمتیت است. در واقع، در فرایند Q&P با استفاده از عناصر آلیاژی مناسب در فولاد، از تشکیل کاربیدها جلوگیری می‌شود [16]. در این تحقیق، ریزساختار و خواص مکانیکی یک فولاد پرکربن کم آلیاژ با انجام فرایند Q&P بررسی شده است.

مواد و روش‌های تحقیق

ماده‌ی اولیه‌ی مورئ استفاده یک فولاد پرکربن کم آلیاژ به‌شکل میل‌گرد به قطر اولیه‌ی ۲۵ میلی‌متر بود. ترکیب شیمیایی این فولاد با انجام کوانتمتری به‌طور دقیق تعیین شد (جدول ۱).

جدول ۱ ترکیب شیمیایی فولاد
بر حسب درصد وزنی

C	Si	Mn	Cr	Ni
۰/۶۳۹	۰/۹۹۳	۱/۰۳	۰/۳۰۵	۰/۱۳۸

برای انجام عملیات حرارتی، لازم بود تا دماهای بحرانی از جمله دمای شروع استحاله‌ی مارتنتیت (M_s)، تعیین شوند. با توجه به ترکیب شیمیایی فولاد و

طرأحی فولاد با ترکیب مناسب عناصر آلیاژی و عملیات حرارتی می‌باید به‌ نحوی باشد که برای دست‌یابی به ریزساختاری شامل مارتنتیت و آستینیت باقی‌مانده مناسب باشد و قادر به برآوردن شرایط زیر هم باشد:

(الف) جلوگیری از وقوع واکنش‌های رقابتی و اجتناب از تشکیل کترول نشده‌ی فریت و یا پرلیت در مرحله‌ی سرمایش سریع اولیه.

(ب) به‌تأخیر انداختن تشکیل بینایت و کاهش دمای شروع استحاله‌ی بینایت به‌منظور به حداقل رساندن اشتراک ممکن بین بخش‌بندی کربن از مارتنتیت به آستینیت و تشکیل بینایت.

(پ) به حداقل رساندن رسوب کاربید در مرحله‌ی بخش‌بندی به‌طوری که بیشترین مقدار کربن از مارتنتیت به آستینیت نفوذ کند، زیرا کاربیدها به عنوان منبع سینک (sink) کربن عمل می‌کنند.

شرایط (الف) و (ب) ایجاب می‌کنند که فولاد شامل عناصر آلیاژی مثل منگنز، نیکل و کروم [6]، باشد که باعث افزایش پایداری آستینیت و کاهش دمای شروع بینایت می‌شوند، سختی‌پذیری کافی را فراهم می‌کنند و احتمال وقوع استحاله‌ی دما بالای آستینیت به فریت - بینایت را در مرحله‌ی سرمایش سریع کاهش می‌دهند.

در مورد شرط (پ)، از عناصر آلیاژی مثل سیلیسیم و یا آلمینیوم [12]، استفاده می‌شود. سیلیسیم به‌دلیل قابلیت انحلال نزدیک به صفر در فاز سمتیت، برای جلوگیری از تشکیل سمتیت در عملیات حرارتی دما پایین مارتنتیت مناسب است. افزون بر این، سیلیسیم شروع انتقال را از مرحله‌ی اوّل بازپخت (وقتی کاربیدهای ϵ یا η موجود هستند) به مرحله‌ی آخر بازپخت (وقتی $\theta\text{-Fe}_3\text{C}$ موجود است) به‌تأخیر می‌اندازد. عیب سیلیسیم در فرایند Q&P این است که کاربید اپسیلون انتقالی را پایدار می‌کند [8,13].

کسر حجمی فاز آستینیت باقیمانده با استفاده از بازتاب‌های (۱۱۱)، (۲۰۰) و (۳۱۱) مربوط به آستینیت و بازتاب‌های (۱۱۰)، (۲۰۰) و (۲۱۱) مربوط به فریت (مارتنزیت) و بر اساس رابطه‌ی زیر محاسبه شد [17,18]:

$$V_\gamma = \frac{\left(\frac{1}{q} \sum_{j=1}^q \frac{I_{\gamma j}}{R_{\gamma j}}\right)}{\left(\frac{1}{p} \sum_{i=1}^p \frac{I_{ai}}{R_{ai}}\right) + \left(\frac{1}{q} \sum_{j=1}^q \frac{I_{\gamma j}}{R_{\gamma j}}\right)} \quad (2)$$

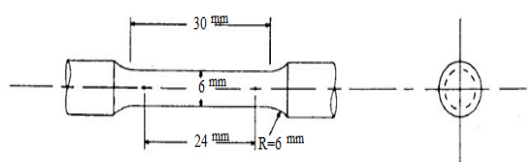
که در آن، V_γ کسر حجمی آستینیت باقیمانده، I_α و I_γ به ترتیب شدت پیک‌ها برای فازهای فریت (مارتنزیت) و آستینیت، R ضریب شدت نسبی نظری و p و q به ترتیب تعداد پیک‌های پراش برای فازهای فریت و آستینیت می‌باشند.

غلظت کربن موجود در فاز آستینیت باقیمانده، با استفاده از رابطه‌ی زیر محاسبه شد [6]:

$$a_\gamma = 0.3556 + 0.00453X_C + 0.00095X_{Mn} + 0.00056X_{Al} - 0.0002X_{Ni} \quad (3)$$

در این رابطه، a_γ پارامتر شبکه‌ی آستینیت بر حسب نانومتر و X_C ، X_{Mn} ، X_{Al} و X_{Ni} به ترتیب غلظت کربن، منگنز، آلومینیم، کروم و نیکل بر حسب درصد وزنی هستند. پارامتر شبکه‌ی آستینیت با استفاده از روش کوهن [19] تعیین شد.

آزمون سختی‌سنجی در مقیاس راکول C و با استفاده از دستگاه ارنست انجام شد. آزمون کشش با استفاده از دستگاه اینسترون با سرعت کشش ۲ mm/min و در دمای اتاق انجام شد. هندسه و ابعاد نمونه‌ی آزمون کشش بر اساس استاندارد ASTM E8 [20]، در شکل (۱) نشان داده شده است.



شکل ۱ هندسه و ابعاد نمونه‌ی آزمون کشش

با استفاده از رابطه‌ی تجربی زیر [13]، دمای شروع استحاله‌ی مارتنزیت برابر با 256°C به دست آمد.

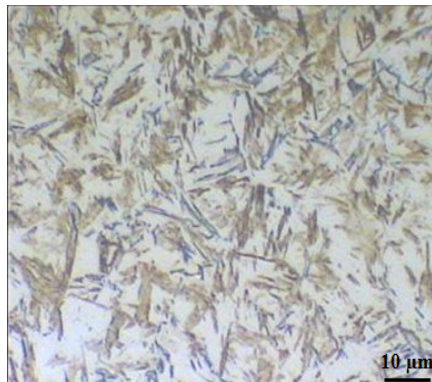
$$M_s (\text{ }^\circ\text{C}) = 542/5.350C - 45Mn - 20Ni - 5Si \quad (1)$$

برای انجام عملیات حرارتی، نمونه‌هایی نمونه‌های با شکل استوانه‌ای با قطر ۲۰ میلی متر و طول (ارتفاع) ۱۰ میلی متر می‌باشند. از ماده‌ی اولیه تهیه شدند. نمونه‌های مختلف تحت فرایند Q&P تک مرحله‌ای، دو مرحله‌ای و سرمایش سریع مستقیم قرار گرفتند. در فرایند Q&P تک مرحله‌ای، مرحله‌ی آستینیتی کردن کامل در دمای 900°C به مدت ۱۰ دقیقه در یک کوره‌ی الکتریکی و مرحله‌ی سرمایش سریع (بخش‌بندی) در دمای 175°C به مدت ۱۲۰ ثانیه در یک حمام نمک انجام شد. در فرایند Q&P دو مرحله‌ای، نمونه‌ها پس از آستینیتی شدن، در حمام نمک با دمای 175°C به مدت ۲۰ ثانیه سریع سرد شدند و پس از آن، بخش‌بندی در دمای 350°C در حمام نمک دیگری انجام گرفت و در نهایت، نمونه‌ها تا دمای اتاق در آب سریع سرد شدند.

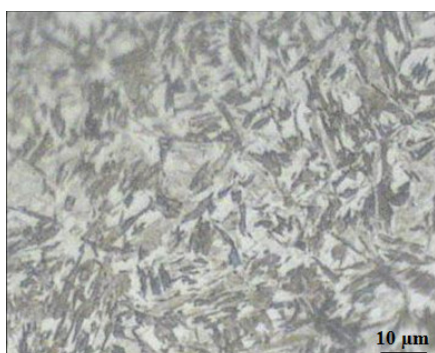
برای مشاهده و بررسی ریزساختار، از میکروسکوپ‌های نوری و الکترونی رو بشی (SEM) استفاده شد. از محلول نایتال ۲ درصد برای حکاکی نمونه‌ها استفاده شد. برای بررسی و مطالعه‌ی سطوح شکست هم از میکروسکوپ الکترونی رو بشی استفاده شد. تصویرهای میکروسکوپ الکترونی رو بشی توسط دستگاه VEGA\\TESCAN با ولتاژ کاری 15 kV تعیین شدند.

برای تعیین کسر حجمی آستینیت باقیمانده و میزان کربن در این فاز، از آزمون پراش پرتوی ایکس (XRD) استفاده شد. آزمون‌های پراش پرتوی ایکس برای نمونه‌های مختلف در دمای اتاق و با استفاده از دستگاه Bruker D8 با پرتوی Cu-K α با طول موج $1/5406\text{ \AA}$ آنگستروم انجام شد. نمونه‌ها در محدوده زاویه‌ی 2θ از 30° تا 110° با 0.5° روش شد.

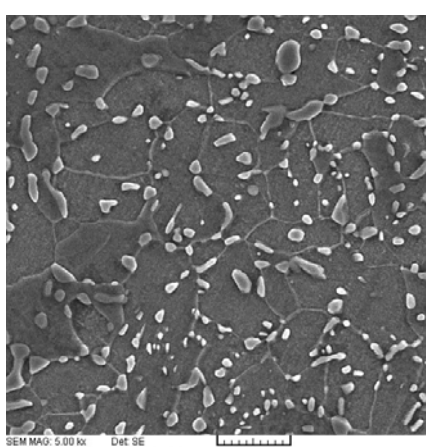
آستنیت باقیمانده از مارتنتزیت مشکل است، ولی می‌توان مُروفولوژی فاز مارتنتزیت را مشاهده کرد که غالباً به شکل صفحه است.



شکل ۲ ریزساختار فولاد پس از عملیات Q&P تک مرحله‌ای، حکاکی شده با محلول نایتال ۲ درصد



شکل ۳ ریزساختار فولاد پس از سرمایش سریع مستقیم در آب، حکاکی شده با محلول نایتال ۲ درصد



شکل ۴ تصویر SEM از ریزساختار فولاد پیش از انجام Q&P فرایند

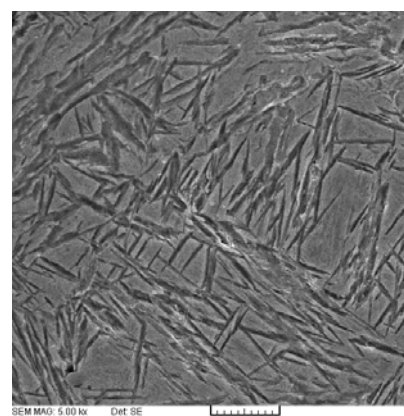
نتایج و بحث

ریزساختار، شکل (۲)، ریزساختار فولاد پس از فرایند Q&P تک مرحله‌ای را نشان می‌دهد که دمای سرمایش سریع (بخش‌بندی) 175°C و زمان بخش‌بندی ۱۲۰ ثانیه بوده است. همان‌طور که مشاهده می‌شود، ریزساختار شامل مارتنتزیت و آستنیت باقیمانده است. در ریزساختارهای میکروسکوپ نوری، فاز تیره مارتنتزیت و فاز روشن آستنیت باقیمانده است. در شکل (۳)، ریزساختار فولاد پس از سرمایش سریع مستقیم از دمای آستنیتی کردن نشان داده شده است. همان‌طور که مشاهده می‌شود، فاز آستنیت باقیمانده به دست آمده از فرایند Q&P در مقایسه با سرمایش سریع مستقیم تا دمای اتاق بیشتر است و این، نشان‌دهنده‌ی وقوع مقداری بخش‌بندی کربن از مارتنتزیت به آستنیت و پایداری بیشتر آستنیت در طول نگهداری در دمای سرمایش سریع است. افزون بر این، ساختار مارتنتزیت در نمونه پس از سرمایش سریع مستقیم نسبت به فرایند Q&P بسیار درشت‌تر است. ریزساختار فولاد پس از فرایند Q&P، شامل مارتنتزیت اولیه، مارتنتزیت جدید و آستنیت باقیمانده است. مارتنتزیت اولیه در مرحله‌ی سرمایش سریع اولیه شکل می‌گیرد، در حالی که مارتنتزیت جدید در مرحله‌ی سرمایش سریع نهایی تا دمای اتاق تشکیل می‌شود که به شکل بلوك می‌باشد.

شکل (۴)، تصویر SEM از ریزساختار نمونه‌ی اولیه پیش از انجام فرایند Q&P را نشان می‌دهد. این ریزساختار شامل فریت و کاربید است. در شکل (۵)، تصویرهای SEM از نمونه پس از فرایند Q&P دوم مرحله‌ای نشان داده شده است. همان‌طور که مشاهده می‌شود، پس از انجام فرایند تقریباً هیچ کاربیدی در ریزساختار وجود ندارد، زیرا این کاربیدها در دمای بالا (900°C) حل شده‌اند. افزون بر این، فاز فریت موجود در ریزساختار اولیه به آستنیت تبدیل شده است. با انجام فرایند Q&P، بخشی از این آستنیت در مرحله‌ی سرمایش سریع به مارتنتزیت تبدیل می‌شود. اگر چه در تصویرهای SEM تشخیص فاز

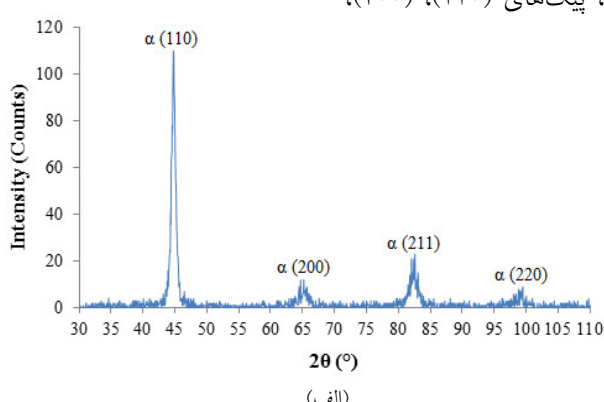
(۲۱۱) و (۲۲۰) مربوط به مارتینزیت و پیکهای (۲۰۰)، (۲۲۰) و (۳۱۱) مربوط به آستنیت قابل مشاهده‌اند. با مقایسه‌ی دو الگوی پراش، مشاهده می‌شود که شدت پیکهای آستنیت در نمونه‌ی تحت فرایند Q&P بسیار بیشتر از نمونه‌ی سریع سرد شده مستقیم است.

با توجه به شدت پیک‌ها در الگوهای پراش و با استفاده از رابطه‌ی (۲)، کسر حجمی فاز آستنیت باقی‌مانده قابل محاسبه است. کسر حجمی آستنیت باقی‌مانده در نمونه‌ی سریع سرد شده مستقیم برابر با $10/9$ درصد و در نمونه‌ی فراوری شده با P تک مرحله‌ای در دمای 175°C به مراتب 120 ثانیه برابر با $22/6$ درصد می‌باشد که نشان‌دهنده‌ی پایداری بیش‌تر فاز آستنیت باقی‌مانده در مرحله‌ی بخش‌بندی است.

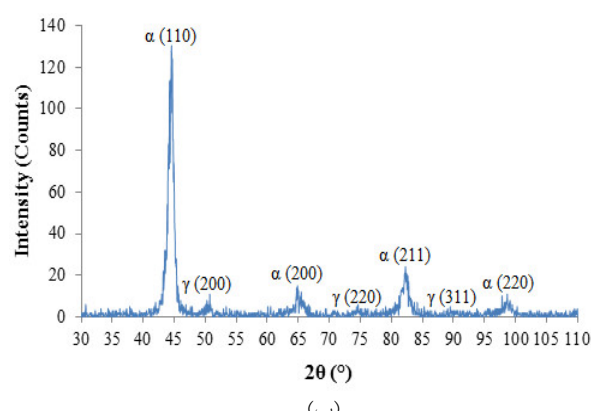


شکل ۵ تصویر SEM از ریزساختار فولاد پس از انجام فرایند Q&P، سریع سرد شده در دمای 175°C به مدت 20 ثانیه و بخش‌بندی شده در دمای 350°C به مدت 100 ثانیه

کسر حجمی آستنیت باقیمانده. شکل (۶)، الگوی پراش پرتونی ایکس مربوط به نمونه‌ی سریع سرد شده در آب و نمونه‌ی تحت فرایند Q&P تک مرحله‌ای را نشان می‌دهد. در این شکل، پیک‌های (۲۰۰)، (۳۱۱)



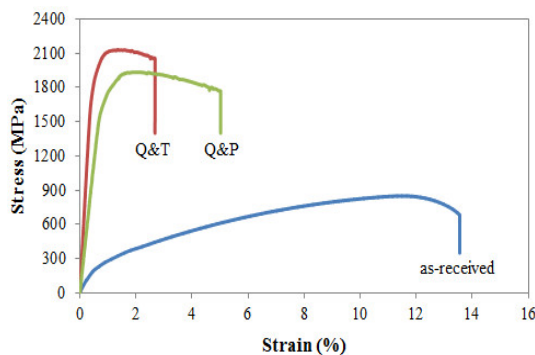
(الف)



(ب)

شکل ۶ الگوی پراش پرتونی ایکس؛ (الف) نمونه‌ی سریع سرد شده مستقیم در آب و (ب) نمونه‌ی سریع سرد و بخش‌بندی شده در دمای 175°C به مدت 120 ثانیه

سریع و بازپخت (Q&T) و سرد کردن سریع و بخش‌بندی (Q&P)، در شکل (۷) نشان داده شده‌اند. عملیات سریع سرد کردن و بازپخت بعدی، در دمای ۵۲۲ °C و به مدت یک ساعت انجام شد. نمودار تنش - کرنش نمونه در فرایند Q&P مربوط به حالت سریع سرد شدن در ۱۷۵ °C به مدت ۲۰ ثانیه و بخش‌بندی شده در ۳۵۰ °C به مدت ۱۸۰۰ ثانیه است.



شکل ۷ نمودارهای تنش - کرنش نمونه‌ی اولیه، پس از Q&T و Q&P در دمای اتاق

واضح است که نمونه پس از عملیات Q&T دارای بالاترین استحکام کششی (بیش از ۲۱۰۰ MPa) و میزان کم ازدیاد طول کل (تنها حدود ۳ درصد) می‌باشد. نمونه اولیه بهترین ازدیاد طول (حدود ۱۳/۵ درصد) و کمترین استحکام کششی (تنها حدود ۸۵۰ MPa) را داشته است. نمونه پس از فرایند Q&P استحکام کششی بالایی (بیش از ۱۹۰۰ MPa) را نشان می‌دهد و ازدیاد طول آن نسبت به عملیات Q&T بیش تر است (حدود ۵ درصد). این نتایج نشان می‌دهند که نمونه پس از فرایند Q&P در مقایسه با عملیات حرارتی Q&T، ترکیب بهتری از استحکام و انعطاف‌پذیری را نشان می‌دهد که می‌تواند مربوط به ریزساختار خاص این فولاد باشد. از یک طرف، زمینه‌ی مارتنتزیت لایه‌ای و ریز منجر به استحکام‌دهی قابل توجه فولاد Q&P می‌شود. از طرف دیگر، آستینیت باقی‌مانده نقش کلیدی در افزایش انعطاف‌پذیری بازی می‌کند. در واقع، آستینیت شبیه به لایه‌ی بین لایه‌های

غلاخت کربن در فاز آستینیت باقی‌مانده. برای تعیین غلاخت کربن موجود در فاز آستینیت باقی‌مانده، از آزمون XRD و رابطه‌ی (۳) استفاده شد. مقدار کربن این فاز برای هر نمونه با میانگین‌گیری از پیک‌های آستینیت تعیین شد. در جدول (۲)، کسر حجمی، مقدار کربن فاز آستینیت باقی‌مانده و حاصل ضرب این دو کمیت برای فرایند Q&P تک مرحله‌ای و سریع سرد کردن مستقیم ارائه شده‌اند. همان‌طور که مشاهده می‌شود، غلاخت کربن فاز آستینیت باقی‌مانده در فرایند Q&P نسبت به فرایند سریع سرد کردن مستقیم افزایش یافته است که این نشان‌دهنده‌ی تخلیه و بخش‌بندی کربن از مارتنتزیت به آستینیت است. ستون آخر در جدول (۲) نشان می‌دهد که پس از فرایند Q&P، میزان ۰/۱۹۱ درصد وزنی از کل مقدار کربن فولاد (۰/۶۳۹ درصد وزنی) در فاز آستینیت است. بقیه‌ی کربن یا در فاز مارتنتزیت است و یا به شکل رسوب کاربیدی مصرف شده است.

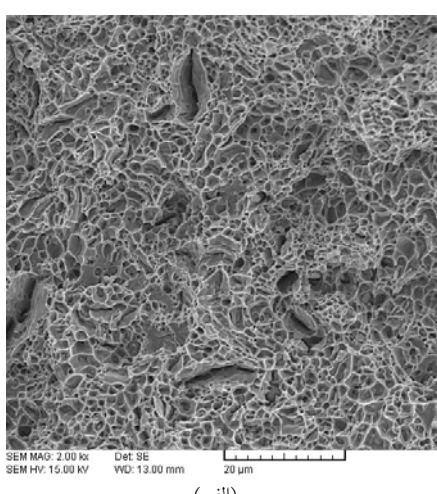
جدول ۲ کسر حجمی و میزان کربن موجود در فاز آستینیت باقی‌مانده برای فرایند سریع سرد کردن مستقیم و Q&P تک مرحله‌ای

عملیات	V_{γ}	x_C (wt.%)	$V_{\gamma} \times x_C$
سریع سرد کردن	۰/۱۰۹	۰/۶۹۰	۰/۰۷۵
Q&P تک مرحله‌ای	۰/۲۲۶	۰/۸۴۶	۰/۱۹۱

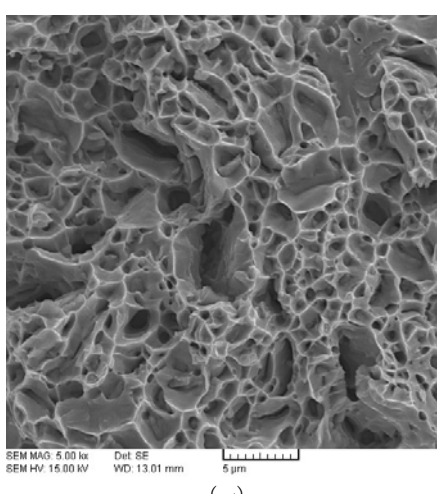
خواص مکانیکی . سختی نمونه اولیه برابر با ۲۲ راکول C و سختی نمونه‌ای که در دمای ۱۷۵ °C به مدت ۱۰ ثانیه تحت فرایند Q&P تک مرحله‌ای قرار گرفت، برابر با ۶۲ راکول C بود. این نشان می‌دهد که فرایند Q&P به علت ایجاد فاز مارتنتزیت در ریزساختار، باعث افزایش زیاد سختی می‌شود. سختی نمونه‌ای که مستقیماً سریع سرد شده بود برابر با ۶۴ راکول C به دست آمد.

نمودارهای تنش - کرنش نمونه اولیه و پس از انجام فرایندهای عملیات حرارتی سرد کردن

داده شده است. فرایند Q&P برای این نمونه شامل سرد کردن سریع در 175°C به مدت ۲۰ ثانیه و بخش بندی در دمای 350°C به مدت ۶۰۰ ثانیه بوده است. همان‌طور که مشاهده می‌شود، شکست در این نمونه عمدتاً از نوع شکست ترد است، اگرچه تعدادی فرورفتگی کم عمق نیز دیده می‌شود. در واقع، سطح شکست در این نمونه، شبکه‌کلیواژ (quasi-cleavage) است. شکست ترد دارای سطوحی شفاف با ظاهری درخشان است. خطهای مشخص شده با پیکان در شکل (۹-ب)، الگوی رودخانه‌ای (river pattern) نامیده می‌شود که مسیرهای کلیواژ را نشان می‌دهند.



(الف)



(ب)

شکل ۸ تصویرهای SEM از سطح شکست نمونه اولیه در بزرگنمایی (الف) ۲۰۰۰ برابر و (ب) ۵۰۰۰ برابر

مارتنزیت می‌تواند مانع تولید و پخش ترک‌ها شود و در عوض، چقمرنگی را به طور مؤثری بهبود ببخشد. بنابراین، فاز آستنیت باقی‌مانده می‌تواند به طور جزئی به مارتینزیت تبدیل شود و اثر "TRIP" را حین تغییر شکل و با حذف تمرکز تنش و به تأخیر انداختن گردنی شدن به وجود آورد. این اثر منجر به افزایش استحکام و از دیاد طول کل می‌شود.

مشخصات ریزساختاری، دلیل تفاوت خواص مکانیکی در این سه نوع فولاد را نشان می‌دهد. ریزساختار تقریباً ۱۰۰ درصد مارتینزیت در نمونه‌ی Q&T منجر به استحکام بسیار بالای آن به از دیاد طول کم می‌شود. حضور حدود ۱۲ درصد آستنیت، باقی‌مانده درون زمینه‌ی مارتینزیتی در نمونه‌ی Q&P منجر به افزایش از دیاد طول آن تا ۵ درصد و رسیدن به استحکام بالا می‌شود. در نمونه‌ی اولیه، استحکام کششی به دلیل وجود زمینه‌ی فریت نرم، بسیار پایین‌تر از دو نمونه‌ی دیگر است.

شکست نگاری – در شکل (۸)، تصویرهای سطح شکست پس از انجام آزمون کشش برای نمونه اولیه نشان داده شده است. با بررسی این تصویرها مشاهده می‌شود که شکست در نمونه اولیه از نوع شکست نرم است، زیرا سطح شکست شامل فرورفتگی‌های کروی (dimples) بی‌شماری است. البته، همان‌طور که در شکل (۸-ب) مشاهده می‌شود، قسمت‌هایی از سطح شکست مشخصات شکست ترد را نیز نشان می‌دهند. وجود این فرورفتگی‌ها، مشخصه‌ی شکست حاصل از کشش تکمحوری است. هر فرورفتگی نیمی از یک ریزحفره است که شکل گرفته و سپس، رشد کرده است. همان‌طور که مشاهده می‌شود، سطح شکست ظاهری خاکستری و تیره دارد که از مشخصات شکست نرم است. این نوع شکست، به‌آرامی و پس از تغییر شکل مومسان زیاد ظاهر می‌شود. در شکل (۹)، تصویرهای سطح شکست نمونه‌ای که تحت فرایند Q&P قرار گرفته است، نشان

نتیجه‌گیری

این تحقیق، به منظور بررسی فرایند سریع سرد کردن و بخش‌بندی در یک فولاد پرکربن کم آلیاژ انجام شده است. نتایج به دست آمده، به صورت زیر خلاصه می‌شود:

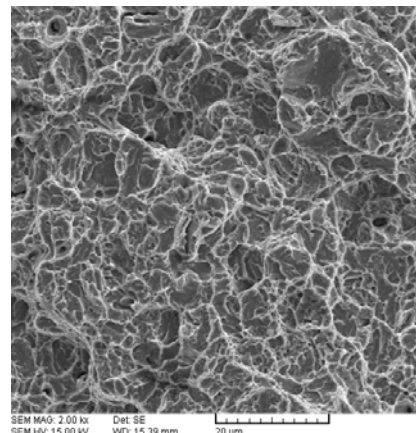
۱- ریزساختار فولاد پس از انجام فرایند سریع سرد کردن و بخش‌بندی، شامل مارتنتزیت و آستینیت باقی‌مانده بود و مُرفولوژی فاز مارتنتزیت عمدتاً صفحه‌ای بود.

۲- کسر حجمی فاز آستینیت باقی‌مانده و غلظت کربن موجود در آن، در نمونه‌ی سریع سرد و بخش‌بندی شده نسبت به نمونه‌ی سریع سرد شده مستقیم بیش‌تر بود که این، نشان‌دهنده‌ی بخش‌بندی کربن از مارتنتزیت به آستینیت و پایداری آستینیت باقی‌مانده در این مرحله است.

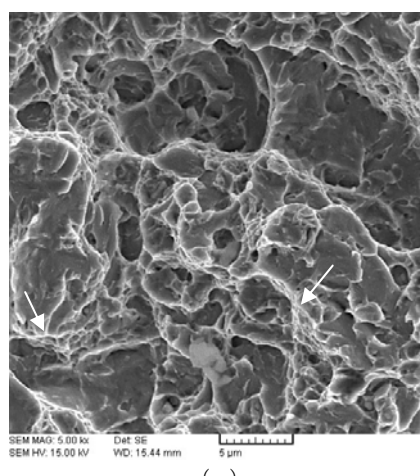
۳- سختی نمونه‌ی سریع سرد و بخش‌بندی شده به علت ایجاد فاز مارتنتزیت در ریزساختار، به میزان زیادی افزایش یافت.

۴- نمونه پس از فرایند سرمایش سریع و بخش‌بندی، در مقایسه با عملیات حرارتی سرمایش سریع و بازپخت، ترکیب بهتری از استحکام و انعطاف‌پذیری را خود نشان داد.

۵- شکست ناشی از آزمون کشش در نمونه‌ی سریع سرد و بخش‌بندی شده، از نوع شکست ترد بود و به دلیل وجود تعدادی فرورفتگی کم عمق، سطح شکست این نمونه شبکه‌کلیوژ در نظر گرفته شد.



(الف)



(ب)

شکل ۹ تصویرهای SEM از سطح شکست نمونه‌ی سریع سرد شده در دمای 175°C به مدت ۲۰ ثانیه و بخش‌بندی شده در دمای 350°C به مدت ۶۰۰ ثانیه، در بزرگ‌نمایی (الف) و (ب) برابر پیکان‌ها در تصویر (ب)، نشان‌دهنده‌ی مسیر رودخانه‌ای هستند.

مراجع

1. Speer, J.G., De Moor, E., Findley, K.O., Matlock, D.K., De Cooman, B.C. and Edmonds, D.V., "Analysis of Microstructure Evolution in Quenching and Partitioning Automotive Sheet Steel", *Metallurgical and Materials Transactions A*, Vol. 42A, pp. 3591-3601, (2011).
2. Matlock, D.K., Speer, J.G., De Moor, E. and Gibbs, P.J., "Recent Developments in Advanced High Strength Sheet Steels for Automotive Applications: An Overview", *JESTECH*, Vol. 15(1), pp. 1-12, (2012).
3. Qu, H., "Advanced High Strength Steel through Paraequilibrium Carbon Partitioning and Austenite Stabilization", *Master's Thesis*, Department of Materials Science and Engineering, Case Western

- Reserve University, (2011).
4. Jirková, H., Kučerová,L. and Mašek, B., "Effect of Quenching and Partitioning Temperatures in the Q-P Process on the Properties of AHSS with Various Amounts of Manganese and Silicon", *Materials Science Forum*, Vols. 706-709, pp. 2734-2739, (2012).
 5. Edmonds, D.V., He, K., Rizzo, F.C., De Cooman, B.C., Matlock,D.K. and Speer, J.G., "Quenching and partitioning martensite—A novel steel heat treatment", *Materials Science and Engineering A*, Vols. 438-440, pp. 25-34, (2006).
 6. Santofimia, M.J., Zhao, L., Petrov, R., Kwakernaak, C., Sloof, W.G. and Sietsma, J., "Microstructural development during the quenching and partitioning process in a newly designed low-carbon steel", *Acta Materialia*, Vol. 59, pp. 6059-6068, (2011).
 7. Speer, J.G.,Edmonds, D.V.,Rizzo,F.C. and Matlock, D.K., "Partitioning of carbon from supersaturated plates of ferrite, with application to steel processing and fundamentals of the bainite transformation", *Current Opinion in Solid-State and Materials Science*, Vol. 8, pp. 219-237, (2004).
 8. Santofimia, M.J.,Nguyen-Minh, T., Zhao, L.,Petrov, R.,Sabirov,I. and Sietsma, J., "New low carbon Q&P steels containing film-like intercritical ferrite", *Materials Science and Engineering A*, Vol. 527, pp. 6429-6439, (2010).
 9. Santofimia, M.J.,Zhao, L.,Petrov,R. and Sietsma, J., "Characterization of the microstructure obtained by the quenching and partitioning process in a low-carbon steel", *Materials Characterization*, Vol. 59, pp. 1758-1764, (2008).
 10. Santofimia,M.J.,Zhao,L.and Sietsma,J., "Overview of Mechanisms Involved During the Quenching and Partitioning Process in Steels", *Metallurgical and Materials Transactions A*, Vol. 42A, pp. 3620-3626, (2011).
 11. Sun,J. and Yu,H., "Microstructure development and mechanical properties of quenching and partitioning (Q&P) steel and an incorporation of hotdipping galvanization during Q&P process", *Materials Science and Engineering A*, Vol. 586, pp. 100-107, (2013).
 12. Liu,H.,Jin,X.,Dong,H.and Shi, J., "Martensitic microstructural transformations from the hot stamping, quenching and partitioning process", *Materials Characterization*, Vol. 62, pp. 223-227, (2011).
 13. Nayak, S.S.,Anumolu, R.,Misra, R.D.K.,Kim,K.H. and Lee, D.L., "Microstructure-hardness relationship in quenched and partitioned medium-carbon and high-carbon steels containing silicon", *Materials Science and Engineering A*, pp. 442-456, (2008).
 14. Pastore, E.,De Negri, S.,Fabbreschi, M.,Ienco, M.G.,Pinasco, M.R.,Saccone,A. and Valentini, R., "Experimental investigation on low-carbon quenched and partitioned steel", *La Metallurgia Italiana*, Vol. 9, pp. 25-35, (2011).
 15. Kucerova, L.,Aisman, D.,Jirkova, H.,Masek,B.and Hauserova, D., "Optimization of Q-P process parameters with regard to final microstructures and properties", Proceedings of the 20th International DAAAM Symposium Intelligent Manufacturing & Automation: Theory, Practice & Education, Vol.

- 20, No. 1, pp. 1035-1036, (2009).
- [16. S.C. Hong, J.C. Ahn, S.Y. Nam, S.J. Kim, H.C. Yang, J.G. Speer and D.K. Matlock, "Mechanical Properties of High-Si Plate Steel Produced by the Quenching and Partitioning Process", *Metals and Materials International*, Vol. 13, No. 6, pp. 439-445, 2007.
17. Jatczak, C.F., Larson, J.A. and Shin, S.W., "Retained Austenite and Its Measurement by X-Ray Diffraction", Manual SP-452, SAE, (1979).
18. ASTM Standards, "Standard Practice for X-Ray Determination of Retained Austenite in Steel with Near Random Crystallographic Orientation", E 975 – 03.
19. Cullity, B.D., "Elements of X-ray Diffraction" Addison-Wesley Publishing Company, Inc., Reading, Massachusetts, (1956).
20. ASTM Standards, "Standard Test Methods for Tension Testing of Metallic Materials", E8/E8M–09.

CONTENTS

Plasma Electrolytic Oxidation of 2024-T3 Aluminum Alloy and the Study of its Corrosion Resistance and Tribological Behavior	H. Fadaee - M. Javidi	1
Thermodynamic Investigation of Pack Aluminizing Process of Pure Titanium	H. R. Karimi Zarchi M. Soltanieh M. R. Aboutalebi Xiping Guo	13
Slope Casting and its Combined Effect with Qualitative Melt Treatment on Morphology of Silicon in Al-17%Si Alloy	B. Korojy K. Ghorbani	27
Pulse Current Efficiency in Coating Process of Gold Nanoparticles from Potassium Dicyanoaurate Solution	P. Vahdatkhan - S.K. Sadrnezhaad	41
The Effects of Mechanical Activation and Sodium Carbonate on Kinetics of Carbothermic Reduction of Molybdenite	K. Sheybani - M.H. Abbasi - M. shamanian	53
Fabrication of TiO ₂ -Al ₂ O ₃ -HA Nanobiocomposite by Sintering and Evaluation of in Vitro Bioactivity and Cell Toxicity for Orthopedic Applications	M. Mahmoodi - P. M. Hashemi R. Imani	69
Preparation of an Appropriate Coating for Ni-Cr Wire-Wound Resistor and Investigation on its Viscosity and Surface Tension	M. Mohseni -A. Mirhabibi H. Ghasaei	85
Joining Aluminum foam to Aluminum plate in sandwich structures	A. Taghizadeh Tabrizi - M. Azadbeh	97
Microstructure and Mechanical Properties of a Low Alloy High Carbon Steel Processed by Quenching and Partitioning Process	A. Shirali - A. H. Raouf - S. B. Bonabi	105



JOURNAL OF METALLORGICAL AND MATERIALS ENGINEERING

FERDOWSI UNIVERSITY OF MASHHAD

Ferdowsi University of Mashhad

ISSN 2008-7462

General Director: A. Haerian Ardakani

Editor-Chief : J. Vahdati Khaki

Published: Ferdowsi University of Mashhad

Editorial Board:

R. Azari khosroshahi	Associate professor	Sahand University of Technology
R. Bagheri	Professor	Sharif University of Technology
J. Javadpour	Professor	Iran University of Science & Technology
A. Haerian Ardakani	Professor	Sadjad Institute of higher Education
M. Haddad Sabzevar	professor	Ferdowsi University of Mashhad
S. M. Zebarjad	professor	Ferdowsi University of Mashhad
S. A. Sajjadi	professor	Ferdowsi University of Mashhad
M. Salehi	Professor	Isfahan University of Technology
M. R. Torroghinejad	Associate professor	Isfahan University of Technology
H. Arabi	Professor	Iran University of Science & Technology
M. Kashefi Torbati	Associate professor	Ferdowsi University of Mashhad
A. R. Kiani Rashid	professor	Ferdowsi University of Mashhad
M. Mazinani	Associate Professor	Ferdowsi University of Mashhad
J. Vahdati Khaki	Professor	Ferdowsi University of Mashhad

Text Editor : M. Mazinani

Administrative Director: T. Hooshmand

Journal of Metallurgical and Materials Engineering

Department of Materials Science and Engineering, Ferdowsi University of Mashhad,

P. O. Box. 91775-1111, Mashhad, I.R.IRAN

Tel: +98 511 8763301 ; Fax: +98 511 8806024 ; Email: ejour@um.ac.ir

Web site : <http://jm.um.ac.ir>

ISSN 2008 -7462



Ferdowsi University
of Mashhad

JOURNAL OF
METALLURGICAL
AND MATERIALS
ENGINEERING

(Journal of School of Engineering)

Plasma Electrolytic Oxidation of 2024-T3 Aluminum Alloy and the Study of its Corrosion Resistance and Tribological Behavior H. Fadaee - M. Javidi	1
Thermodynamic Investigation of Pack Aluminizing Process of Pure Titanium H. R. Karimi Zarchi - M. Soltanieh M. R. Aboutalebi- Xiping Guo	13
Slope Casting and its Combined Effect with Qualitative Melt Treatment on Morphology of Silicon in Al-17%Si Alloy B. Korojy - K. Ghorbani	27
Pulse Current Efficiency in Coating Process of Gold Nanoparticles from Potassium Dicyanoaurate Solution P. Vahdatkhah - S.K. Sadrnezhaad	41
The Effects of Mechanical Activation and Sodium Carbonate on Kinetics of Carbothermic Reduction of Molybdenite K. Sheybani - M.H. Abbasi - M. shamanian	54
Fabrication of TiO₂-Al₂O₃-HA Nanobiocomposite by Sintering and Evalution of in Vitro Bioactivity and Cell Toxicity for Orthopedic Applications M. Mahmoodi - P. M. Hashemi - R. Imani	69
Preparation of an Appropriate Coating for Ni-Cr Wire-Wound Resistor and Investigation on its Viscosity and Surface Tension M. Mohseni - A. Mirhabibi - H. Ghasaei	85
Joining Aluminum foam to Aluminum plate in sandwich structures A. Taghizadeh Tabrizi - M. Azadbeh	97
Microstructure and Mechanical Properties of a Low Alloy High Carbon Steel Processed by Quenching and Partitioning Process A. Shirali - A. H. Raouf - S. B. Bonabi	105

Vol. 26, No.1
Autumn & Winter 2015